

# Magazin für Amateurfunk Elektronik · Funktechnik

- EH-Antennen geprüft
- CIAO: Software-Radio mit Sound-Chip
- Kurzdipol für Einsteiger
- C93DY DX aus Afrika
- ZF-Filter für Digi-Modes
- Leistung und SWV direkt anzeigen
- Kreditkarten-Elektronik



## ANZEIGENSEITE



Das Magazin für Amateurfunk, Elektronik und Funktechnik

Verlag

Chefredakteur:

Anschrift:

Dipl.-Jur. Knut Theurich, DGØZB

www.funkamateur.de

Box 73 Amateurfunkservice GmbH Berliner Straße 69, 13189 Berlin Tel.: (030) 44 66 94-60 · Fax: -69 Dr.-Ing. Werner Hegewald, DL2RD

(Amateurfunktechnik) Redaktion@funkamateur.de Tel.: (030) 44 66 94-59

Redaktion:

Dipl.-Ing. Ingo Meyer, DK3RED (Elektronik/Computer) Elektronik@funkamateur.de Tel.: (030) 44 66 94-57

Wolfgang Bedrich, DL1UU (Amateurfunkpraxis/QTC) OTC@funkamateur.de Tel.: (030) 44 66 94-54

Harald Kuhl DI 1AR.I

(Rundfunk/CB/Jedermannfunk) CBJF@funkamateur.de Tel.: (030) 44 66 94-53

Redaktion FUNKAMATEUR Berliner Straße 69, 13189 Berlin

Dipl.-Ing. Bernd Petermann, DJ1TO postbox@funkamateur.de Fachberatung:

Ständige freie Mitarbeiter: Dr. M. Dornach, DL.9RCF, DX-Berichte; J. Engelhardt, DL.9HOH, Packet-OTC; Th. Frey, HB9SKA, Sat-OTC; W. Heß, DL.1RXA, und F. Janda, OK.1HH, Ausbreitung; P. John, DL.7YS, UKW-OTC; H. Kinzel, DK8KW, VLF-/LF-OTC; H. Kuhl, DL.1ABJ, Rundfunktechnik, CB-/Jdedermannfunk, F. Langner, DJSZB, DX-Infos; B. Mischlewski, DF2ZC, UKW-OTC; Th. M. Rösner, F. Langner, Dij32E, DX-Intos; B. Mischiewski, DF2CG, UKW-UTC; Th. M. Kosner, DL8AAM, IOTA-OTC; F. Rutter, DLZ/UFR, Technik; Dr.-Ing, K. Sander, Elektronik; H. Schönwitz, DL2HSC, SOTA-QTC; C. Stehlik, OE6CLD, OE-QTC; M. Steyer, DK7ZB, Antennen; R. Thieme, DL7VEE, DX-OTC; A. Wellmann, DL7UAW, SWL-QTC; M. Wenzel, DL5KZA, OSL-Telegramm; H.-D. Zander, DJ2EV, EMV(U); P. Zenker, DL2FI, QRP-QTC

Abo-Verwaltung: Angela Burkert, Tel.: (030) 44 66 94-60

Abo@funkamateur.de

Dipl.-Ing. Peter Schmücking, DL7JSP, Tel.: (030) 44 66 94-72, shop@funkamateur.de Leserservice:

Online über www.funkamateur.de → Inserieren bzw. mit Kleinanzeigen:

Bestellkarte oder formlos an Box 73 GmbH

Klubstation DFØFA, DF3R, DOK FA

Möller Druck und Verlag GmbH, Berlin Druck ASV Vertriebs GmbH, Tel.: (040) 347-29287 Vertrieb:

Manuskripte: Für unverlangt eingehende Manuskripte, Zeichnungen, Vorlagen u. Ä. schließen wir jede Haftung aus. Wir bitten vor der Erarbeitung umfang cher Beiträge um Rücksprache mit der Redaktion – am besten telefonis cher Beiträge um Rücksprache mit der Redaktion – am besten telefonisch. Manuskripthinweise auf www.funkamateur.de unter "Mitmachen"

Kein Teil dieser Publikation darf ohne ausdrückliche schriftliche Genehmi-gung des Verlages in irgendeiner Form reproduziert oder unter Verwen-dung elektronischer Systeme verarbeitet, vervielfältigt, verbreitet oder im Internet veröffentlicht werden.

Haftung: Alle Beiträge, Zeichnungen, Platinen, Schaltungen sind urheberrechtlich realung. And Beingage, Zeichnungen, Frahline, Schladungen sind unterdemenheit geschützt. Außerdem können Patent- oder andere Schutzrechte vorliegen. Die gewerbliche Herstellung von in der Zeitschrift veröffentlichten Leiterplatten und das gewerbliche Programmieren von EPROMS usw. darf nur durch vom Verlag autorisierte Firmen erfolgen. Die Redaktion haftet nicht für die Richtigkeit und Funktion der veröffentlichten Schaltungen sowie technischen Beschreibungen. Beim Herstellen, Veräußern, Erwerben und Betreiben von Funksende- und -emp-fangseinrichtungen sind die gesetzlichen Bestimmungen zu beachten. Bei Nichtlieferung ohne Verschulden des Verlages oder infolge von Störungen des Arbeitsfriedens bestehen keine Ansprüche gegen den Verlag.

Erscheinungsweise: FUNKAMATEUR erscheint monatlich jeweils am letzten Dienstag des Vormonats. Inlandsabonnenten erhalten ihr Heft vorher.

Heftpreise beim Kauf im Zeitschriftenhandel: Deutschland 3,50 €, Euro-Ausland 3,80 €, Schweiz 6,90 SFr, Dänemärk 22 DKK, Polen 15 PLZ

Inland-Abonnements mit uneingeschränkter Kündigungsmöglichkeit: 36,–für 12 Ausgaben (3,–/Heft) (als PLUS-Abo 42,–).

Inland-Jahresabonnement (iir 12 Ausgaben 34,80 (2,90/Hett) bei Lastschrift vom Girokonto (als PLUS-Abo 40,80); Schüler/Studenten gegen Nachweis nur 29,80 (als PLUS-Abo 35,80).

Jahresabonnement: Ausland für 12 Ausgaben 38,90 (als PLUS-Abo 44,90); nach Übersee per Luftpost 72,- (als PLUS-Abo 78,-)

PL**US-Abonnement**: 12 Ausgaben plus Jahrgangs-CD jeweils 6.– Aufschlag. Die CD wird Ende Dezember mit dem Heft 1 des Folgejahrgangs geliefert. Kündigungen von Jahresabonnements bitte der Box 73 Amateurfunkservice

GmbH 6 Wochen vor Ablauf schriftlich anzeigen

In den Abonnementpreisen sind sämtliche Zustell- und Portokosten enthalten Preisänderungen müssen wir uns vorbehalten.

Bestellungen von Abonnements bitte an die Box 73 Amateurfunkservice GmbH oder online auf unserer Homepage www.funkamateur.de

Bankverbindung in Deutschland: Box 73 Amateurfunkservice GmbH Konto 659992108, Postbank Berlin, BLZ 10010010

Überweisungen aus dem Euro-Ausland: Box 73 Amateurfunkservice GmbH IBAN DE18 1001 0010 0659 9921 08, BIC (SWIFT) PBNKDEFF Bankverbindung in der Schweiz: Box 73 Amateurfunkservice GmbH,

Konto 40-767909-7, PostFinance, Währung SFr Anzeigen: Zurzeit gilt die Preisliste Nr. 16 vom 1.1.2006. Für den Inhalt der Anzeigen sind allein die Inserenten verantwortlich

Private Kleinanzeigen: Abonnenten können pro Ausgabe eine bis zu 200 Zei-chen lange private Kleinanzeige kostenlos veröffentlichen, wenn diese über www.funkamateur.de → Abo-Service aufgegeben wird. Pauschalpreis für private Kleinanzeigen bis zu 10 Zeilen mit je 35 Anschlägen bei Vorkasse (Scheck, Bargeld oder Übermittlung der Kontodaten zum Bankeinzug) 5 €. Jede weitere Zeile kostet 1 € zusätzlich

Gewerbliche Anzeigen: Mediadaten bitte beim Verlag anfordern oder als PDF-File von www.funkamateur.de/imp/FA\_Media.pdf downloaden

Vertriebs-Nr. A 1591 · ISSN 0016-2833

Redaktionsschluss: 17. 10. 2006 Erstverkaufstag: 31. 10. 2006

Druckauflage: 44 900

Der FUNKAMATEUR wird weitgehend auf Recyclingpapier gedruckt © 2006 by Box 73 Amateurlunkservice GmbH · Alle Rechte vorbehalten

## Amateurfunkprüfung "echt easy" – und dann?

Durch die neuen Prüfungsbedingungen in Deutschland wird die Attraktivität der E-Klasse zweifellos erhöht. Bei Genehmigung und Errichtung der Antennenanlage wird sich der Newcomer jedoch möglicherweise mit der Elektrosmoghysterie seiner Nachbarn konfrontiert sehen. Diese Probleme bestehen auch in anderen Industrieländern; Amateure weltweit haben inzwischen Mittel und Wege gefunden, um trotzdem funken zu können. Einige davon lasen Sie schon im FA.

Wenn trotzdem die Anzahl der Funkamateure zurückgeht, liegt das u. a. an zunehmend starken Empfangsstörungen. Amateurfunk ist eben Experimentalfunk und spielt sich oft an der "Grasnarbe" ab. Beispielsweise ist der Bereich 144,000 bis 144,050 MHz in Ballungsgebieten nicht mehr verwendbar, weil sich da die Oberwellen sämtlicher Computerquarze "treffen". Die dort tätig gewesenen EME-Freaks sind auf andere Frequenzbereiche ausgewichen.

Besonders krass sind ungesetzliche Störungen durch PLC. In Mannheim z.B. wurden 2003 von der RegTP Störfeldstärken von 30 dB über den NB30-Grenzwerten gemessen. Trotzdem sperrte die Behörde bisher die PLC-Anlagen von Energieunternehmen nicht. PLC wird sich wegen Unattraktivität und Unwirtschaftlichkeit totlaufen, aber leider nur langfristig. Ein weiteres Problem stellt die In-Haus-PLC-Technik dar, die aber teilweise – dank Initiative der Funkamateure – Amateurfunkbereiche ausspart. Äußerst verwunderlich ist hier allerdings, wieso sich die öffentlich-rechtlichen Rundfunkanstalten, die im KW-Bereich auch innovative Verfahren wie DRM einsetzen, nicht massiv dagegen zur Wehr setzen.

Zusätzlich machen es Bandeindringlinge jeder Art den Funkamateuren schwer. Die DARC-Bandwacht, die solche Informationen sammelt und Verstöße dankenswerterweise anprangert, braucht die Unterstützung aller Funkamateure! Und schließlich stören ja nicht nur Schwarzfunker mutwillig auf den KW- und UKW-Bändern. Gegenmaßnahme: Keinesfalls antworten!

Es ist bereits vorgeschlagen worden, nach technischen Lösungen gegen bestimmte Arten von Funkstörungen zu suchen, z. B. computergestützte Signalanalysen einzusetzen oder von allen nutzbare, abgesetzte KW-Empfangsstationen außerhalb der Ballungsgebiete zu errichten. Gerade hier wären Newcomer gefragt, die ihr an Hochund Fachschulen frisch erworbenes Wissen einbringen können! Und die kommerziellen Hersteller von Amateurfunkgeräten werden sich ebenfalls auf neue Herausforderungen einstellen müssen.

Vergessen Sie nicht, dass wir auch gemeinsam Möglichkeiten gefunden haben, der zunächst als existenzielle Bedrohung empfundenen Pflicht zur Abgabe der "Selbsterklärung" mit vertretbarem Aufwand nachzukommen – und wir haben dabei obendrein eine ganze Menge gelernt!

Werner Mywal DLZRI

Werner Hegewald, DL2RD

UKW-Tagung 2006 -

**Amateurfunk** 

Hochstimmung an der Bergstraße

#### Alex, UT5UY, beim Funkbetrieb unter Markt C91UY. Anschließend aktivierten er und sein ukrainisches Team eine neue afrikanische IOTA. Literatur Foto: A. Yakovlev Bezugsquellenverzeichnis Ausbreitung November 2006 Unterwegs im Süden Afrikas -1254 Erstaktivierung der Insel Chiloane Inserentenverzeichnis Wie gut, wie stark, wie rein? 72 Jahre RST-System *1260* QTCs Synoptische Tagesanalyse 1343 Arbeitskreis Amateurfunk der Kurzwellenausbreitung OJ0B: Funkbetrieb auf den 1344 DX-QTC Lowbands vom Polarkreis 1350 Jubiläum an der TU Dresden 101A-QTC 1351 1. Viadrina HAM-Radio-Meeting Für den Praktiker: Der FT-1802E von Yaesu -1258 nicht nur für 2-m-Einsteiger CW-QTC Alternative für Limitierte? Ganz nett: QsoNet 1268 **QRP-QTC** Schaltnetzteile in der Hand **UKW-QTC** *1276* des Funkamateurs (3) VLF-/LF-QTC Besonders für die Digi-Modes Diplome, SWL-QTC 500 Hz Filter wünscht man sich bisweilen mehr ZF-Filter im Transceiver, als der Hersteller Sat-QTC, SO1A-QTC vorgesehen hat. Wir zeigen Möglichkeiten der Nachrüstung auf. Foto: DC9ZP SSB-Filter Termine November 2006 Nachrüstung von Zusatzfiltern DL-QTC *1286* für Digi-Modes am Beispiel des FT-847 Amateurfunkwelt Das Bild zeigt eine EH-Antenne für 20 m neben der Referenzantenne, einem 14-MHz-Vertikal-**OE-QTC** dipol. Der Beitrag untersucht Theorie und Praxis dieses unter räumlich beschränkten Bedingungen durchaus einsetzbaren Antennentyps. Foto: DK7ZB Yaesu hat Ende vorigen Jahres EH-Antennen 1292 kritisch betrachtet LF-Exciter – ein Steuersender 1303 für das 136-kHz-Band (2)

1299

1252



#### **Unser Titelbild**

diesen kompakten 2-m-FM-Mobiltransceiver herausgebracht, der sich vor allem durch einen attraktiven Preis auszeichnet. Lesen Sie mehr zu dessen sonstigen Features ab S. 1258. Fotos: Werkfoto, Pixelquelle.de Design: A. Steinheisser

FA-Typenblatt: FT-2000

Beilage:



### Funk

Der Winzling aus Italien repräsentiert durch seinen internen Soundchip eine neue Generation softwaredefinierter Empfänger. Foto: Seidenberg

Willkommen: CIAO Radio H101 – ein softwaredefinierter Empfänger

1266

CB- und Jedermannfunk

1339

Computer

Rund um PDF **1250** 



## Wissenswertes

Geht die Entwicklung weiter wie bisher, könnten demnächst simple Wasserstoff-Kartuschen z.B. in Fahrradlampen als Batterieersatz die Regel werden. Foto: Angstrom Power

Licht aus Wasserstoff 1248

HAARP: Leuchtreklame am Himmel oder Krieg im All? **1263** 

Rundfunksendestelle Zehlendorf 1264

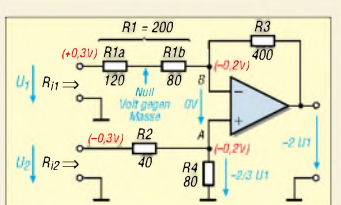
Von Kreditkarten bis SmartCards – die Welt der Chipkarten

1272

## Elektronik

Multifunktionsrelais – Alleskönner im Schaltschrank

*1269* 



In diesem Beitrag kommen HF-Techniker auf ihre Kosten: DL1SNG und DF5FC erklären die Schaltung des FA-NWT bis ins letzte Detail. Sie wollen auf diese Weise zu eigenen Konstruktionen anregen.

Bausatz Netzwerktester FA-NWT (2): Funktion und Details

1278

Propeller bringt Bewegung in die Controllerfamilie (2)

1283



Dieses Kombigerät ermöglicht die Überwachung des Stehwellenverhältnisses und gleichzeitige Anzeige der abgegebenen Leistung im KW-Bereich. Foto: DJ8UZ

Direkt anzeigender SWVund Leistungsmesser

*1288* 



## BC-DX

BC-DXer empfangen aus Äthiopien auf Kurzwelle den Staatssender Radio Ethiopia und zwei Regionalstationen. QSL: Kuhl

Kurzwelle in Deutsch

1340

BC-DX-Informationen

1341

### Bauelemente

T1-xxx-X65 bis T36-xxx-X65:

HF-Breitbandübertrager für 50-Ω-Systeme

1295

RD00xxx bis RD100xxx:

Silizium-MOSFETs für HF-Leistungsverstärker 1301



## Einsteiger

Wo es an Platz oder einer Genehmigung zur dauerhaften Antennenmontage mangelt, kann ein verkürzter Portabel-Dipol die Lösung sein. Der hier vorgestellte besteht aus Mobilantennenstäben. Foto: DL4OBP

Mobilantenne wird zum KW-Dipol

1306

Überspannungsschutz bei KW-Antennen

*1307* 

#### In der nächsten Ausgabe:

#### Richtkoppler für den FA-NWT

In Zusammenhang mit einem externen Richtkoppler kann der FA-NWT mit der Software von DK3WX auch die Anpassung von Antennen und anderen Zweipolen messen. Der Beitrag führt ferner in die theoretischen Grundlagen ein.

Foto: DJ1UGA





#### OH2BHs Story: DXCC-Gebiet 336

DXpeditionäre aus aller Herren Länder und einheimische Funkamateure trafen sich im Juli 2006 in Montenegro, um weltweit Tausenden von DXern Kontakte mit 403B zu verschaffen.

Foto: OH2BH

#### Sprechendes Thermometer

Der Blick auf das Thermometer kann nach dem Aufbau dieser Baugruppe entfallen, denn es gibt die Temperatur als kurze Sprachnachrichten aus.

Foto: OK2UCX

#### ...und außerdem:

- Neues WinRadio WR-G305e
- Datenrettung von CD und DVD
- Langzeit-Ionosphärenmessungen
   Erfahrungen mit Beverage-Antennen
- ZF-Verstärker/-Demodulator mit großem Frequenzbereich

Vorankündigungen ohne Gewähr.

Im Einzelfall behalten wir uns aus Aktualitätsgründen Änderungen vor.

Die Ausgabe 12/06 erscheint am 28. November 2006



Redaktion FUNKAMATEUR Postfach 73, 10122 Berlin postbox@funkamateur.de

#### **APRS** unbekannt

Die Juli-Umfrage des Funkportals (www.funkportal.de) befasste sich mit der Aktivität der Funkamateure in APRS. Ständig QRV sind 1,6 % der immerhin 2275 Umfrage-Beteiligten, nur mobil 0,6 %, nur von der Heimstation 2,5 %. Vielleicht später einmal wollen sich 8,8 % damit befassen, 86,5 % aber klickten auf "Was ist APRS?".

Nun, es bedeutet Automatic Packet/Position Reporting System und bezeichnet eine Betriebsart, bei der mit unprotokollierten (UI) Datenpaketen via Packet-Radio Positions- oder Wetterdaten ausgetauscht werden. Mehr dazu bei www.aprs.de oder in etlichen Beiträgen im FA (Archivsuche unter www.funkamateur.de)

#### **Letzter Termin**

Bitte teilen Sie der Abo-Verwaltung bis spätestens 27. November mit, wenn Sie die Jahrgangs-CD 2006 im PLUS-Abo für 6 € Zuschlag mit abonnieren möchten. E-Mail, Fax, Brief, Anruf ... Egal, alles geht.

#### **Old Man**

Weise Voraussicht bewiesen die Schweizer Funkamateure, als sie anno 1933 ihr Verbandsorgan "Old Man" tauften – die heutige Altersstruktur der Funkamateure vorausahnend.



#### Amateurfunk – elitär oder "echt easy"?

Während ich beim Lesen des September-Editorials ohne das am Ende genannte Ri fzeichen vermutet hätte, statt einer Amateui funk- versehentlich eine Computerzeitschr.ft in die Hand genommen zu haben, schlägt der Leitartikel des Oktoberhefts dem Fass den Boden

Amateur funktechnik ist nur für den den fiziler geworden, der meint, auf den heute üblichen Schnickschnack für Weicheier nicht auskommen zu können. Ebenso gibt es keinen Zwang, SMD-Bauteile einzusetzen. Der Nachwuchs muss mit dem "HF-Bazillus" im zarten Alter von zehn bis zwöß Jahren ir fiziert werden, dann wird er ihn auch nicht wieder los.

Ende der 50er-Jahre gab es in Deutschland etwa 6000 lizenzierte Funkamateure. Trotz des damals ungleich höheren Bedarfs an kommerziellen KW-Frequenzen dachte die Bundespost nicht daran, diesem Interessengrüppehen Privilegien zu beschneiden. Auch jammerte keiner ob der ach so geringen Zahl der Funkamateure und verlangte eine Herabsetzung des Pri fungsniveaus. Im Gegenteil, es wurde die drangvolle Enge auf den Bändern beklagt.

Das Privileg des technisch experimentellen Funkdienstes wird vielmehr einer Amateur funkgesellschaft aberkannt werden, die keinerlei technische Qual fikation mehr at fzuweisen braucht. Bereits die heutigen bei der Pri fung zur Lizenzklasse A gestellten Arforderungen liegen abgrundtief unter der nach Kriegsende angelegten Messlatte.

Wenn Ihr jetzt an den Gruncfesten ebendieses technisch experimentellen Funkdienstes in aller  $\tilde{C}_{\omega}$  fentlichkeit meint graben zu müssen, seid Ihr nicht nur keinen Deut besser als der DARC, dem es ja schon lange nicht mehr um den Amateu funk, sondern nur noch um eine möglichst hohe Zahl zahlender Mitglieder geht. Ihr überschreitet damit auch die Grenze des für mich Erträglichen. Mein Kündigungsschreiben ist per Briefpost unterwegs.

Edmund Ramm, DK3UZ

#### Sie sind eBay-süchtig, wenn ...

... Sie beim Vorlesen eines Kinderbuches einen schönen Nicknamen fürs Forum finden,

...Ihr Kind als erstes Wort Ebay spricht, weil es glaubt, das sei Ihr Name,

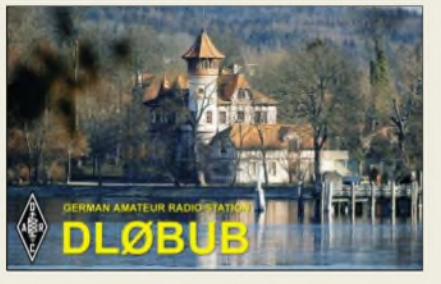
... Ihre Kinder Sie übers Netzwerk anmailen: "Abendbrot ist fertig!"

Wir bedauern diesen Schritt, zumal ja unsere Zeitschrift wohl genügend technisch anspruchsvolle Projekte veröffentlicht. Und "Zurück zu den Wurzeln" wird die Überalterung bestimmt nicht stoppen – ob es uns nun passt oder nicht! Genau das wollten wir ausdrücken.

Viele aktuelle ICs gibt es übrigens nur noch in SMD-Gehäusen. Aber zugegeben, nur Weicheier brauchen vermutlich Schaltkreise ...

#### Aus unserer Serie Gegensätze: belaubt und kahl







"Himmel, ist der Äther heut wieder vermüllt!"
Zeichnung: Achim Purwin

Immer wieder ei fahre ich speziell bei unseren "Oldtimern", dass alles, was über den ihnen bekannten Kommunikationshorizont hinausgeht, verurteilt und den Jugendlichen und allen innovativ denkenden Newcomern als "nicht amateur funkgerecht" vermiest wird. So denkend wird der Amateur funk in den nächsten Jahren mit diesen Oldtimern aussterben. Amateur funk ja – aber auch neue Medien mit einbeziehen und umdenken, mitdenken und toleranter werden. (gefunden unter people.freenet.de/dl/ahw/Amateurfunk.html)

#### FT-2000-Test

Im FA 9/06 wurde ein Test des FT-2000 angekündigt. Voller Volfreude ziehe ich das neue Heft aus dem Briefkasten, und kein Test. Auch kein Hinweis dazu. Im Internet (eham.net) wurden aber schon mehrere Tests eingestellt.

#### Jürgen-Hendrik Kuhn, DL3JK

Einer besonderen Erwähnung o. Ä. bedarf es in solchen Fällen nicht, da ja wir uns in den Vorankündigungen Änderungen aus aktuellen Anlässen vorbehalten (müssen). In diesem Fall wollte Yaesu anstelle des ersten nicht voll funktionsfähigen Vorseriengeräts lieber ein Seriengerät getestet haben, was ja auch im Interesse unserer Leser ist. Eigentlich sollte es entgegen *eham* auch noch gar kein echtes Seriengerät gegeben haben. Wir erwarten, den Test im FA 12/06, spätestens 1/07, veröffentlichen zu können.

#### **CAT-Interface fast umsonst**

Ein CAT-Inter face erhält man sehr kostengünstig aus Programmierkabeln älterer Handys, die noch keine Schnittstelle eingebaut hatten. Solch ein Inter face, ob für Icom, Yaesu oder Kenwood, ist ja nichts anderes als ein Pegelwandler zwischen der seriellen Schnittstelle und TTL. Ich habe das serielle Schnittstellenkabel von meinem Siemens S25 verwendet und Masse sowie die RX- und TX-Leitung au f meine Transceiver gelegt. Eir fach mit einem anderen (Adapter-)Stecker funktioniert das mit Kenwood TS-790 und TM-V7E, Icom IC-706 und IC-T81 sowie mit Yaesu VX-7R. Programmierkabel für die alten Handys gibt es bei eBay für 1€, die passenden Stecker z. B. bei Reichelt, Sc ftware aus dem Internet.

Franz Luft, DG2MFB



Diese Idee ist sehr interessant. Allerdings unterscheiden sich Yaesu und Icom/Ten-Tec dadurch, dass die RX- und TX-Daten über separate Leitungen laufen; bei Icom ist es ein und dieselbe Leitung. Bei Yaesu-Handys ist laut G4TIC eine zusätzliche Verstärkung der Ausgangs- und Pufferung der Eingangssignale vonnöten, ohne die es evtl. nicht geht. Ältere Kenwood-Geräte, wie TS-440, TS-790 und TS-850, arbeiten low-aktiv, d. h., alle Signale vom/zum PC sind zu invertieren (neuere verfügen über RS232-Schnittstellen).

Also lassen sich die verschiedenen Geräte vermutlich nicht durch bloßes Adaptieren der Stecker bedienen. Nutzer sollten ihr Kabel zunächst auf seine genaue Funktion untersuchen; im Hinblick auf die geringen Kosten ist das bestimmt lohnenswert.

In diesem Zusammenhang sei auf die exzellente Zusammenstellung von CAT-Interfaces für verschiedene Fabrikate im FA 9/04, S. 893 ff., verwiesen.

#### **Eine Zunge fehlt**



#### Transistoranschlüsse leicht bestimmt

In dem sehr lesenswerten Beitrag von F. Sichla und K. Bethge im FA 10/06 fehlt m.E. ein kleiner, aber wichtiger Tipp zum Thema "Anschlüsse eines Transistors". Diesen Tipp habe ich wohl vor vielen Jahren in einem Aufsatz von K. Hille, DL1VU, gelesen, und er hat mir immer wieder geho fen, die Anschlüsse eines Transistors zu ident fizieren.

Wenn man mit einem Multimeter den Widerstand der Basis/Emitter-Diode und der Basis/Kollektor-Diode in Durchlassrichtung vergleicht, dann ist stets der Widerstand der Basis/Kollektor-Strecke etwas geringer als der der Basis/Emitter-Strecke.

Dabei kommt es nicht auf den Absolutwert an; wichtig ist lediglich der Vergleich der beiden Werte. So kann man ganz ein fach und blitzschnell mit einem Multimeter nicht nur den Typ eines bipolaren Transistors, sondern im selben Zuge auch seine Anschlussbelegung ermitteln.

#### Martin Rothe DF3MC, AI4OW

Das ist nicht immer sicher; manchmal bleibt der Unterschied so gering, dass er eben doch nicht klar zu erkennen ist, was auch von der Herstellungstechnologie des Transistors abhängt. In diesem Fall wäre das Ergebnis zweifelhaft, eine eingehendere Prüfung unumgänglich.

#### Vergebene Sünde?

In einem Beitrag über Stromleitungs-Netzwerkadapter in Computerbild 21/06, S. 154, ist im Kasten "Zulassung trotz zu hoher Störaussendung" zu lesen: "Computerbild hat genau nachgemessen. Alle getesteten Netzwerkadapter sendeten zu hohe Störsignale in die Stromleitung. Der gesetzliche Grenzwert wurde

um ein Vie faches überschritten. Die gute Nachricht: Nur Amateun funkgeräte werden gestört. Andere Geräte bleiben meist unbeeir flusst."

Na prima. So weit ist man in Deutschland gekommen.

#### Walter Brenner, DJ0FX, OE6BVG

#### Geht auch ohne dBs

Bei der Signalstärken-Preisfrage genügte eigentlich das für eine aktuelle Amateurfunkprüfung erforderliche Wissen. Sende- und Empfangsstation nutzen Halbwellendipole, letztere nach IARU-Empfehlung exakt anzeigende S-Meter, und es wird Freiraumausbreitung vorausgesetzt. 1 W auf 3,6 MHz gesendet, erzeugen beim 80-m-Empfänger S 7. Welcher S-Wert entsteht am 2-m-Empfänger bei einer Sendeleistung von 4 W auf 144 MHz?

Die Lösung lässt sich wider Erwarten auch ohne Logarithmen und dB-Werte fast im Kopf ermitteln: 144 MHz sind das 40fache von 3,6 MHz; bei Freiraumausbreitung verändert sich die Empfangsspannung an (u. a.) einem Halbwellendipol proportional zur Wellenlänge, also umgekehrt proportional zur Frequenz. Das ist leicht einzusehen, weil der mit wachsender Frequenz kleiner werdende Dipol dem Feld bei gleicher Feldstärke weniger Energie entnehmen kann. Also sinkt so die Empfangsspannung auf 1/40 (–32 dB).

Laut IARU Region 1 Technical Recommandation R.1 (Torremolinos 1990) entspricht eine S-Stufe genau einer Verdopplung (bzw. Halbierung) der Empfangsspannung bzw. 6 dB; unter 30 MHz ist für S 9 eine Empfangsspannung von 50  $\mu$ V (an 50  $\Omega$ ) festgelegt, ab 144 aber nur noch 5  $\mu$ V – ein von vielen Einsendern übersehener Stolperstein! Daraus ergibt sich ein Verhältnis von 10 (20 dB).

Eine Leistungserhöhung von 4 entspricht dann noch einer Spannungsverdopplung (6 dB). Insgesamt:  $1/40 \cdot 10 \cdot 2 = 1/2 = 0,5$ . Das bedeutet am 2-m-Empfänger eine Anzeige von gerade einer S-Stufe weniger als an dem für  $80 \text{ m} \rightarrow \text{aus S 7}$  wird so  $\mathbf{S 6}$ .

Wer es in dB rechnen möchte: -32 dB + 20 dB + 6 dB = -6 dB.

Die 3 × 25 € für die richtige Lösung erhalten:

Peter Eitzenberger, DL8MCX Werner Grzemba, DK3NH Jens Pichler, DH2SP

Herzlichen Glückwunsch!

#### **Draht-Preisfrage**

Ein Antennendraht dehnt sich durch Zug um 2 %. Wie verändert sich dabei sein Gleichstromwiderstand und wie der Widerstand für eine sehr hohe Frequenz? Gerundete Werte genügen.

Unter den Lesern mit richtiger Antwort verlosen wir

3 × 25 €

Einsendeschluss ist der 30.11.06 (Poststempel oder E-Mail-Absendedatum). Die Gewinner werden in der Redaktion unter Ausschluss des Rechtsweges ermittelt. Wenn Sie die Lösung per E-Mail übersenden (an *quiz@funkamateur.de*), bitte nicht vergessen, auch die "bürgerliche" Adresse anzugeben, sonst ist Ihre Chance dahin.

Außerdem können Sie sich noch bis zum 31.10.06 an der Luftspalt-Preisfrage vom FA 10/06 versuchen. Sollte doch eigentlich nicht so schwer und auch für Elektroniker lösbar sein. Es geht sogar ohne Rechner mit Stift und Blatt Papier oder gar im Kopf. Uns genügt das gerundete Ergebnis.

### Funk, Netzwerkkabel und Glasfaser statt PLC!

Fortschritt statt vermüllter Äther!

#### Zeit zum Absegeln

















#### IC-R9500

#### Breitbandemptänger

- Frequenzbereich:5 kHz bis 3335 MHz
- Abstimmautlösung: 1 Hz
- Speicherkanäle: 1020
   Betriebsarten: AM, CW, FM, FM-breit, FSK, LSB, USB; optional: P25 (mit UT-122)
- Frequenzstabilität: ±0,05 ppm (bei 0 bis 50 °C)
- Dynamikbereich/IP3: 110 dB/ +40 dBm bei 14,1 MHz, 100 kHz Abstand, VV aus
- Spiegelfrequenz- und Nebenwellenunterdrückung: >70 dB
   Q 0,1...30 MHz, >50 dB sonst
- Empfindlichkeit, jeweils mit VV: 0,1...1,8 MHz: AM 6,3 μV; CW/FSK/SSB 0,5 μV 1,8...30 MHz: AM 1,0 μV; CW/FSK/SSB 0,16 μV; FM 0,5 μV (nur > 28 MHz) > 30 MHz: AM 1,4 μV; CW/FSK/SSB 0,32 μV; FM 0,5 μV; WFM 1,4 μV (FM 12 dB SINAD), 10 dB S/N sonst)
- ZF-Bandbreiten (-3 dB):
   500 Hz (CW)
   2,4 kHz (FSK, LSB, USB)
   15 kHz (FM), 150 kHz (WFM)
- Antennenanschlüsse: SO239 (HF): 1 × N (30 ... 1150 MHz); 1 × N (≥1150 MHz)
- Stromversorgung: 100...240 V≈Abmessungen: 424 × 149 ×
- 340 mm<sup>3</sup> (B × H × 1) • Masse: 18 kg
- Preis: noch nicht bekannt



Noch viel mehr Produkte rund ums Morsen präsentiert der aus dem Internet herunterladbare Katalog.

#### SSB-Electronic 30 Jahre Proti-Funktechnik

■ SSB-Electronic, Handwerkerstraße 19, 58638 Iserlohn; Tel. (02371) 95 90 -0, Fax -20, E-Mail: info@ssb.de; www.ssb-amateur.de

#### Schlachtschiff für SWLs

**Icoms** neuer Kommunikations- und Messempfänger **IC-R9500** stellt praktisch das Pendant zum **IC-7800** dar. Er verfügt u. a. über ein Relais-geschaltetes Bandpassfilter, eine Dual-DSP-Einheit, 7"-Farbdisplay  $(800 \times 480)$  mit hochauflösendem Spetrum-Scope, Zweikanal-Noiseblanker, digitale ZF-Filter, fünf Roofing-Filter  $(1.\ ZF)$ , zehn VFOs, digitalen Sprachrecorder  $(max.\ 60\ min)$ , AM-Synchrodetektor und sieben verschiedene Scan-Modi. Bemerkenswert ist ferner, dass sich die Signalstärke in Dezibel pro Mikrovolt  $(dB\mu)$  und Dezibel pro Milliwatt (dBm) anzeigen lässt.

Ir.fo: www.icomeurope.com; Bezug: Fachhändler, siehe S. 1308



#### Weihnachten für CWer

Morsetasten-Designer Marshall G. Emm, **N1FN**, hat auch in diesem Jahr wieder eine limitierte Serie manuell gefertigter, voll funktionsfähiger und präzise justierbarer **Miniatur-Handtasten** (Grundfäche 5 cm × 3 cm) aufgelegt, die sich aufgrund ihres geringen Gewichts von nur etwa 120 p sogar als Weihnachtsbaumschmuck eignen.

Sie bestehen, bis auf den Tastknopf, aus vergoldetem Messing und sind für 69,95 US-\$ zuzüglich Versandkosten zu haben.

Milestone Technologies, Inc., 10691 E. Bethany Dr., Suite 800. Aurora, CO 80014-2670. USA; Tel. 001-303-752-3382, Fax: -745-6792; www.MorseX.com

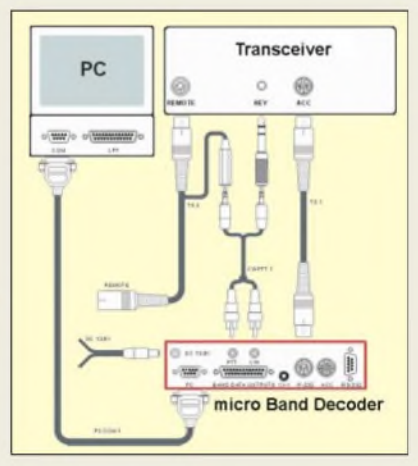
#### **SSB Electronic wird 30**

SSB-Electronic ist ein mittelständisches Unternehmen in Iserlohn/Sauerland, das seit 1976 Produkte für die Funk- und Nachrichtentechnik entwickelt, fertigt und liefert. FA-Lesern ist der Betrieb sicher durch rauscharme Mastvorverstärker, 2-m- und 70-cm-PAs, OSCAR-Konverter bzw. -Transverter und Koaxialkabeltypen wie Aircom und Aircell bekannt. Der FUNKAMATEUR gratuliert!



#### microKEYER im Doppelpack

Die neuen **microKeyer 2R** und **2R+** von **microHAM** erlauben es, zwei verschiedene Funkgeräte unabhängig von einem PC aus zu steuern. Das ist neben dem Contestbetrieb (SO2R oder Multiband mit zwei Transceivern) z. B. für die Nutzung der Sonderbetriebsarten (RTTY, SSTV, PSK-31 usw.) mit getrennten Geräten für UKW und KW sinnvoll.



Der **microKeyer 2R** bietet praktisch alle Funktionen, die man von einem modernen Stationscontroller erwartet, jeweils in doppelter Ausführung – siehe Tabelle. Das Ganze bleibt bei aller Komplexität durch die klar gegliederten Bedienelemente gut beherrschbar.

Der **microKeyer 2R+** bringt zusätzlich noch eine eigene zweikanalige Soundkarte mit, die speziell für Amateurfunkanwendungen entwickelt wurde und einen sehr hohen Signal-Rausch-Abstand bietet. Kabelsätze für nahezu alle Transceivertypen sind lieferbar. Bezug: WiMo GmbH, Am Gäxwald 14. 76863 Herxheim, Tel. (07276) 96689. Fax 966811; www.wimo.com; ir fo@wimo.com

#### CX570-D in TNC

Neu bei *UKW-Berichte* gibt es ein 50-Ω-HF-Relais *CX 570 D* mit TNC-Buchsen, das den Produktbereich HF-Schalter/HF-Relais ergänzt. Dieses Koaxial-Relais erreicht bei 150 MHz 60 dB und bei 1 GHz noch 46 dB Isolation. Die übertragbare Leistung liegt bei 300 bzw. 250 W. Der nicht benutzte Kontakt wird jeweils geerdet. Das Relais zieht bei 12 V Gleichspannung, wobei etwa 160 mA fließen. Das für 77,80 € erhältliche Relais misst 60 mm × 55 mm × 30 mm und bringt 230 g auf die Wage.

UKWBerichte, Jahnstraße 7, 91083 Baiersdorf, Tel. (09135) 7798-0, Fax -33, in fo@ukwberichte.com; www.ukw-berichte.de

Die Frontplatte des microKeyers ist trotz vieler Funktionen übersichtlich.

## microKeyer MK2R Sound- und CAT-Interface

#### Sound- und CAT-Interlac

- CAT-Interface
- (Pegelumsetzung)

  PTT-, CW- und FSK-Tastung
  mit Ablaufsteuerung
  für Vorverstärker, FAs usw.
- alle Signale optisch bzw.
- galvanisch isoliert

  gegenseitige Verriegelung
- der Sender mit einstellbarer Priorität
- Winkey2-Chip für präzise CW-Zeichengabe mit 9 Speichern
   unabhängige FSK-Tastung
- mit jeweils 9 Speichern
- NF-Umleitung über den MK2R, Soundkarte oder direkt
- zuschaltbare Vorverstärker für Mikrofon
- 9 Sprachspeicher
- Mischung von bis zu sechs NF-Quellen
- automatische Ansteuerung von Antennenwahlschaltern
- kompatibel zu nahezu allen Log-/CAT-/Contest-Programmen, selbst zu DOS-Programmen wie CT
- Preise: 529 € (MK2R)
   625 € (MK2R+)
   59,50 € (Kabelsatz)

#### Markt-Infos

Die Marktseiten sollen über neue bzw. für die Leserschaft interessante Produkte informieren und beruhen auf von der Redaktion nicht immer nachprüfbaren Angaben von Herstellern bzw. Händlern. Die angegebenen Bezugsquellen bedeuten keine Exklusivität, d.h., vorgestellte Produkte können auch bei anderen Händlern und/oder zu anderen Preisen erhältlich sein. Red. FA



Ungewöhnlich, aber bisweilen händeringend gesucht: Koaxialrelais mit TNC-Buchsen



Das Modem ARD-9000 von AOR ermöglicht digitale Sprach- und SSTV-Übertragung ohne Eingriff ins Funkgerät.



#### PVC-Kappen tür Masten und Rohre

- Außen-Ø 20 mm 2,50 € ■ Außen-Ø 25 mm 250€
- Außen-Ø 30 mm 280€ Außen-Ø 35 mm 280€ ■ Außen-Ø 40 mm 3.20 €
- Außen-Ø 45 mm 320€ ■ Außen-Ø 50 mm
- 350 € ■ Außen-Ø 55 mm 3.50 €
- 3.50 €
- Außen-Ø 60 mm Außen-Ø 70 mm 4.50 €

#### DOCxxx/QEV66 Quarzoszillatoren

- DOC5079: 10 MHz, Temperaturdrift ≤200 ppb, Rauschen -90 dBc/Hz hei 10 Hz Bandbreite, Alterung ≤500 ppb/Jahr
- DOC5525: 10 MHz, Temperaturdrift ≤20 ppb, Rauschen -127 dBc/Hz bei 10 Hz Bandbreite, Alterung ≤ 100 ppb/Jahr
- DOC5383: 10 MHz, Temperaturdrift ≤200 ppb, Rauschen -90 dBc/Hz bei 10 Hz Bandbreite, Alterung ≤500 ppb/Jahr
- DOC5204: 10 MHz, Temperaturdrift ≤0,2 ppb, Rauschen –120 dBc/Hz bei 10 Hz Bandbreite, Alterung ≤20 ppb/Jahr
- DOEV66: 80...240 MHz, Frequenzvariation ±50 ppm, Frequenzstabilität +15 nom Rauschen -98 dBc/Hz bei 100 Hz Bandbreite



#### **UKW-Tagung gern besucht**

Für bogerfunk war die UKW-Tagung in Bensheim am 23. September 2006 ein voller Erfolg. "Die UKW-Tagung in Bensheim hat sich etabliert und dies nicht zuletzt durch das Engagement des Veranstalters – wir sind gerne hier und werden 2007 wieder ausstellen" so Hildegard Boger, Geschäftsführerin der bogerfunk Funkanlagen GmbH.

Bestseller bei **bogerfunk** waren in diesem Jahr insbesondere Geräte von Alinco und AOR. Bei Letzteren gingen vor allem die OFDM-Modems ARD-9000 und ARD-9800BO über die Ladentheke. Mit diesen kann jeder am technischen Fortschritt teilhaben, ohne sich ein neues, teures Gerät kaufen zu müssen.

Bezug: Bogerfunk GmbH, Grundesch 15, 88326 Aulendorf; Tel. (07525) 451, Fax 2382; www.boger.de; ir.fo@boger.de

#### Rohre verkappt

Ein breites Angebot an Kappen aus PVC für Masten oder Rohre gibt es bei WiMo. Die Größe ist für den Außendurchmesser des Rohres angegeben, sie gilt für Rohre mit einer Wandstärke bis zu 2,5 mm.

Bezug: WiMo GmbH, Am Gäxwald 14, 76863 Herxheim, Tel. (07276) 96680, Fax 966811; www.wimo.com; ir.fo@wimo.com

#### Neue Oszillatoren

Temex bringt mit den DOC5079, DOC5525, DOC5383 und DOC5204 neue temperaturgesteuerte Quarzoszillatoren (OCXO) bzw. mit dem **QEV66** einen spannungsgesteuerten HF-Quarzoszillator (VCXO) auf den Markt. Während Erstere mit einer festen Frequenz von 10 MHz erhältlich sind. steht der Letztgenannte für 80 bis 240 MHz zur Verfügung. Die ersten beiden OCXO werden im SMD-Gehäuse mit 25.4 mm × 22 mm  $\times$  10/15 mm produziert, die anderen beiden in metallischen Gehäusen mit 36 mm × 26 mm  $\times$  18 mm bzw. 50 mm  $\times$  50 mm  $\times$  38 mm. Hersteller: Temex, 399 route des Crêtes, BP 232, 06 904 Sophia-Antipolis Cedex, Frankreich, Tel. +33-4 97 23 30 00, www.temex.com

#### Katalog verfügbar

Stabo bietet einen neuen staboKatalog an, der sich per E-Mail anfordern oder beim Fachhändler einsehen lässt. In ihm enthalten sind u. a. neben Scannern im Allgemeinen auch diverse CB-, Betriebsfunk-, Amateurfunk- und Seefunkgeräte, aber auch solche für den PMR-Bereich, Satellitenempfang und optische Überwachungseinrichtungen.

Bezug: stabo Elektronik GmbH, Münchewiese 14-16, 31137 Hildesheim, Tel. (0 51 21) 76 20-0, Fax 51 68 47, www.stabo.de, ir.fo@stabo.de

#### Antenne für DXer

Von Karl-Heinz Mühlau, DK2WM. kommt die neue, asymmetrische vertikale Mehrband-KW-Antenne **DX-2005**, die sich durch eine auf allen Bändern verlustarme Anpassung auszeichnet. Die Technik dieses Antennensystems beruht auf der besonderen Auslegung einzeln zugeordneter Rohrschwingkreise, die auf hohe Selektion optimiert sind.

Die Möglichkeit des Betriebs auf den Bändern von 40 bis 6 m ohne einen Antennenkoppler macht die **DX-2005** besonders für Fieldday-, DXpeditions- und sonstigen Portabelbetrieb interessant. Die Antenne verfügt über ein Gegengewichts-Kreuz aus vier 2 m langen Rohren, siehe Bild rechts, und strahlt vorzugsweise flach ab.

Ir fo und Bezug: K. H. Mühlau, Spezialantennen, Schulhaus-Str. 16. 79713 Bad Säckingen; Tel. (07761) 8932





#### Fast überall fernsehen

Mit dem **DMR 402** stellte **Albrecht** erstmals auf der IFA 2006 einen portablen Receiver des koreanischen Herstellers Perstel vor, der sich für den DMB-Multimedia- und DAB-Digitalradioempfang auf jedem multimediafähigen Windows-PC mit USB-Schnittstelle eignet. Das nur 5,1 cm  $\times$  9 cm  $\times$ 2,1 cm große und nur 74 g schwere Gerät ist für alle frei empfangbaren Programme im Band III und L-Band geeignet und für 179 € (UVP) verfügbar.

Information: Alan Electronics GmbH, Dovenkamp 11, 22952 Lü jensee, Tel. (0 41 51) 84 9-0, Fax -148, www.albrecht-online.de; ir.fo@albrecht-online.de



Fertig errichtete Antenne sowie unterer Rohrsteckaufbau mit Einspeisung und abgleichbereiten **Fußpunktspulen** 

#### DX-2005

Vertikalantenne tür KW

- Frequenzbereiche: alle Amateurhänder von 40 bis 6 m 40 m bereits 7,0...7,2 MHz
- Stehwellenverhältnis.  $s \le 1.6$  auf allen Bändern, ohne Antennenkonnler
- vertikale Ausdehnung: 7,6 m
- Sendeleistung:  $\geq 750 \text{ W}$  Anschluss:  $50 \Omega$ , S0239
- Eintührungspreis: 864,20 €



In der mittlerweile dreimal im Jahr erscheinenden Sonderliste präsentiert Pollin Electronic auch diesmal wieder auf über 250 Seiten Elektronik und aktuelle Schnäppchen, wie z. B. das Akku-Ladegerät für 29,95 € oder Solarmodule ab 2.13 W Nennleistung und ebenfalls 29,95 €. Der Katalog lässt sich via Tel. (0 84 03) 92 09 20 oder im Internet unter www.pollin.de anfordern.

#### TTL-8743UDJ

#### Schallplattenspieler

- Drehzahl: 33,3 oder 45 U/min
- Pitchbereich: +16 %
- Antrieb: über Riemen
- Abtastung: Magnet-System weitere Eigenschaften: RIAA-Entzerrer mit Vorverstärker einstellbarer Übertragungspegel
- Anschlüsse: NF-Ausgang, USB-Schnittstelle, Spannungsversorgung
- Lieferumfang: USB-Plattenspieler, Puck als Adapter für Singles, USB-Kabel, Aufzeichnungs-/Editier-Software
- Spannungsversorgung: 230 VAC/ 50 Hz 5 W
- Abmessungen (B × H × 1): 43 cm × 11,8 cm × 34 cm
- Masse: 3 kg
   Preis: 149,95 €

#### Schallplatten-Digitalisierung

Die von UltraMedia angebotenen Plattenspieler TTL-8743UDJ von Roadstar ermöglichen die unkomplizierte Digitalisierung von Schallplatten und die Übertragung der Musikstücke via USB-Schnittstelle an einen PC. Darüber hinaus lassen sie sich dank noch vorhandenem NF-Ausgang an bestehende Anlagen ankoppeln.

Bezug: UltraMedia GmbH & Co. Handels KG, Steinstr. 5, 21357 Bardowick, Tel. (04131) 9239-0, Fax -55, www.ultramedia.de, ultramedia@ultramedia.de



In Silber und Schwarz erhältlich: TTL-8743UDJ

#### Portux920T

#### Embedded-PC

- Kern: ARM920T
- Taktfrequenz: 180 MHz Speicher: 64 MB SDRAM, 16 MB Flash, erweiterbar über
- MMC-/SD-Karteneinschub Betriebssystem: Linux 2.6
- Schnittstellen: Ethernet, 96-poliae VG-Leiste mit TWI SPI USB und 32 einzeln programmierbaren I/O-Adressen
- Starterkit: Portux920T EU, FXB-USB (USB-Erweiterung). DBGU-Adapter, Netzteil, diverse Kabel, Dokumentation, Software auf CD-ROM (Linux, U-Boot GNU-Tools)
- Abmessungen  $(B \times H \times 1)$ . 10 cm × 1,6 cm × 7.1 cm
- Masse: 145 g
   Preise: Portux920T 230,84 € Starterkit ab 381,64 € USB-Erweiterung 56,84 € Analog-Modem 203 € ISDN-Modem 214.60 €

Der Portux920T, hier die EU-Version, ist ohne Installationen sofort einsatzfähig.



**Mobilteil mit Basisstation** 

### Embedded-PC aufgerüstet

taskit stattet seine Embedded-PCs Portux9207, die einen ARM920T-Kern besitzen, nun mit 16 MB Flash aus. Linux 2.6 und Bootlader sind bereits vorinstalliert, sodass die Baugruppe mit dem Journaling Flash File-System und zahlreichen Netzwerkdiensten sofort einsetzbar ist.

Bezug: taskit GmbH, Seelenbinder Str. 33, 12555 Berlin, Tel. (0 36) 61 12 95-0, ir.fo@taskit.de, www.taskit.de



#### Für Skype und Festnetz

USRobotics bietet mit dem USR809630 ein sowohl für Gespräche von Skype zu Skype als auch via SkypeOut ins Festnetz nutzbares schnurloses Telefon an, dass ab sofort für 99,99 € verfügbar und um ein ab November erhältliches zusätzliches Mobilteil **USR809631** (49,90 €) erweiterbar ist.

Informationen: USRobotics Deutschland GmbH, Freischützstr. 77, 81927 München, Tel. (089) 99 24 93-0, Fax -10, www.usr.com/de



#### Variable Kraftpakete

Conrad bietet insgesamt sechs Labor-Schaltnetzteile der Serie VPS 1xxx/2xxx HE von Volteraft an, die sich durch zwei bzw. drei hoch belastbare Ausgänge mit stufenlos einstellbaren Spannungen und Strombegrenzungen auszeichnen. Die Geräte mit doppelten Ausgangsspannungen lassen sich über die Tracking-Funktion parallel verstellen oder in Reihen- bzw. Parallelschaltung betreiben. Spannungen und Ströme lassen sich auf zweizeiligen LC-Displays ablesen und mit jeweils zwei Knöpfen grob und fein einstellen. Bezug: Conrad Electronic GmbH, Klaus-Conrad-Str. 2, 92530 Wernberg-Köblitz, Tel. (01 86) 5 31 21-11, Fax -10, www.conrad.de

#### Sony wirft Handtuch

Der japanische Elektronikkonzern Sony wird den Verkauf von LC-Monitoren aufgrund zu geringer Gewinnmargen weltweit einstellen. Die letzten Geräte gehen im Dezember 2006 an den Fachhandel.

### Kompaktes Messsystem

Kathrein bietet mit dem MSK 200 ein Messgerät der neuesten Generation in kompakter Bauform an, das bei der Überprüfung von Antennen- oder Kabelanlagen und auch bei professionellen Kopfstationen keine Wünsche offen lässt. Das Gerät eignet sich sowohl für den Laboreinsatz als auch zur Überwachung mit Fernsteuerung und für Abnahmemessungen.

Hersteller: Kathrein-Werke KG, Anton-Kathrein-Str. 1-3, 83004 Rosenheim, Tel. (08031) 184-0, Fax -3 06, www.kathrein.de



In sechs Varianten sind Voltcraft-Labornetzteile bei Conrad erhältlich.

#### VPS 1xxx/2xxx HE

#### Labor-Schaltnetzteile

- VPS 1220 HE: 1 × 0.1...20 V. ≤20 A, 409 W, 249 €
- VPS 1410 HE: 1 × 0,1...40 V, ≤10 A, 409 W, 249 €
- VPS 1605 HE: 1 × 0,1...60 V, ≤5 A. 309 W. 249 € VPS 2206 HE: 2 × 0,1...20 V,
- ≤6 A, 249 W, 259 € VPS 2403 HE: 2 × 0,1...40 V,
- ≤3 A. 249 W. 259 €
- VPS 1220 HE: 2 × 0,1...20 V,
- ≤5 A, 409 W, 299 € alle Typen: 1 × 0...6 V, ≤1,5 A
- Spannungsversorgung. 230 VAC, 50 Hz
- Abmessungen  $(B \times H \times 1)$ VPS 1xxx 33,3 cm × 8,8 cm × 34 cm VPS 2xxx
- 43,7 cm × 8,8 cm × 34 cm Massen: VPS 1xxx 5,8 kg, VPS 2xxx 7,7 kg



Fachhändlern steht ab sofort der neue Kathrein-Katalog Receiver-Programm 2006/2007 zur Verfügung.

#### MSK 200

#### Antennen-Messsystem

- Funktionen: u. a. MER-/BER-Messung; Spektrumanalysator; MPEG- bzw. analoger TV-Monitor: Demodulation von AM-. FM-, DVB-C-, DVB-T-, DVB-Sund USA-Standard-Signalen; Anzeige von SID, PMT-/PCR-PID. CA-Information. NIT: automatische Messungen für
- Abmessungen (B × H × 1): 37,4 cm × 10,8 cm × 27,6 cm ■ Masse: 7,6 kg

Kathreins neues Messsystem: das MSK 200



### Selber, M., DM2APG: 3 in 1

Wer wie der Rezensent in den Endfünfzigern, Sechzigern oder Siebzigern des vorigen Jahrhunderts als Jugendlicher in der ehemaligen DDR sein Interesse für Elektronikbasteln, Funktechnik oder gar Amateurfunk entdeckte, dem ist garantiert mindestens eines der drei Bücher

- Mit Spule, Draht und Morsetaste,
- Mit Radio, Röhre und Transistor.
- Mit Logbuch, Call und Funkstation

auch heute noch ein Begriff. Es war die besondere Gabe des Schriftstellers Martin Merbt alias Martin Selber, jugendliche Leser an technische Zusammenhänge heranzuführen und zum Nachvollziehen der kleinen und größeren Basteleien zu animieren, die die genannten Bücher zu Bestsellern werden ließ. Es ist erfreulich, dass Verleger Hein nunmehr die drei Bücher in einem Werk zusammengefasst nachdruckt. Dabei steht nicht pure Nostalgie im Vordergrund, sondern die Absicht, Lesern einen Einblick zu geben, wie sich der Amateurfunk seinerzeit entwickelte und welche nahezu unerschöpfliche, heute verwundernde, Motivation er für den Selbstbau bildete. Eigentlich steht nichts im Wege, dass Opa und Enkel einmal den Morsesummer oder den 0-V-2 nachbauen

noch gibt es hier und da
Elektronenröhren!
Leider verstarb Martin
Merbt im März 06. -rd

Funk Verlag Bernhard Hein e.K., Dessau 2006 348 Seiten, 24 € FA-Leserservice Z-4884



#### Sichla, F., DL7VFS: HF-Technik mit dem NE/SA 602/612

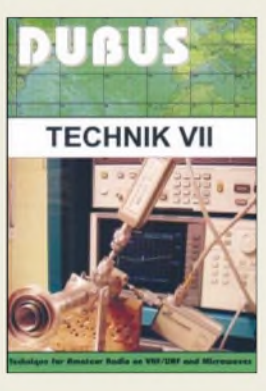
Sieht man sich in den Stromlaufplänen einfacher Empfänger, Sender und Transceiver um, kommt dort recht oft der Mischerschaltkreis NE612 oder einer seiner Brüder mit fast identischen Eigenschaften und daher ähnlichen Bezeichnungen zum Einsatz. Doch was macht sie so beliebt?

Der Autor nimmt den Leser auf einen Streifzug in die Welt rund um diese scheinbaren Alleskönner mit. Angefangen von den wichtigen technischen Daten, der empfehlenswerten Peripherie und dem Großsignalverhalten über einfache Anwendungen in Mittel- und Langwellenempfängern bis hin zu Direktmischern, Superhets sowie Sendern und anspruchsvollen Transceivern werden Schaltungen vorgestellt, die diesen Schaltkreis nutzen. Aber auch eher exotische Projekte wie Flugfunk- und VLF-Fax-Empfänger, verschiedene Konverter sowie der Einsatz in DRM-Geräten sind enthalten.

sind enthalten.
Sehr zu Wünschen übrig lässt jedoch der recht freie Umgang mit dem Urheberrecht. So finden sich im Buch fast durchgängig Reproduktionen aus Zeitschriften und Büchern aus aller Herren Ländern, gemischt mit Schaltungen von nicht näher bezeichneter Seite aus dem Internet und solchen völlig ohne Quellenangabe.

Beam-Verlag Marburg 2006 142 Seiten, 19,80 € FA-Leserservice B-0546

-red



#### Kraft, J., DL8HCZ (Hrsg.): DUBUS Technik VII

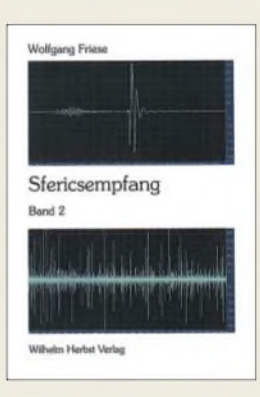
DUBUS steht für DX. Ueberreichweiten, Bau von Geräten, UHF und SHF. Der aktuelle Sammelband. Reprint der besten Technik-Beiträge aus den Jahren 2004 bis 2006, spannt den Bogen sogar noch weiter: Von Software-Untersuchungen an Audiosignalen (VLF und ELF) bis hin zu DL2AMs Transverter für 122 GHz (EHF) geht das mit den Beiträgen überdeckte Frequenzspektrum.

Dabei kommen Fans des 6-m-Bandes mit einer 500-W-VMOS-PA (DUBUS erscheint weltweit!) ebenso auf Ihre Kosten wie EME-Enthusiasten, die im Bereich von 144 MHz bis 24 GHz arbeiten. Selbst ganz bodenständige Themen, z. B. Modifikationen an verbreiteten Transceivern oder SM5BSZs Tipps zum Hören extrem schwacher Signale, kommen zur Sprache.

Dank bestehender gegenseitiger Nachdruckvereinbarung findet sich sogar DJ9YWs 23-cm-Yagi aus FA 1/06 wieder.

Schön, dass auch die vielen, in Englisch vorliegenden Beiträge ausländischer Autoren durchweg ins Deutsche übersetzt wurden. Wermutstropfen: Ausgerechnet den interessanten Aufsatz der deutschen Autorin Sabine Cremer, DL1DBC, über die Software Virgo zur Visualisierung von Meteorbahnen gibt es nur in Englisch!

Verlag Joachim Kraft Hamburg 2006 388 Seiten, 25 € FA-Leserservice Z-0002



#### Friese, W., DG9WF: Sfericsempfang Band 2

Elektromagnetische Impulse, deren Ursprung vorwiegend in Blitzentladungen ihren Ursprung haben, werden als Sferics bezeichnet.

Nachdem der Autor im Band 1 die Vorgänge bei ihrer Ausbreitung erläutert die notwendigen und Grundlagen für die praktische Signaldeutung vermittelt hat, folgen im jetzt vorliegenden Band 2 nach einer kurzen Darstellung von Wettersferics Hinweise dazu, mit welchen technischen Geräten und nicht zuletzt Antennen sich diese Signale aufnehmen lassen. Dabei kommen auf der Empfängerseite sowohl solche Baugruppen zur Sprache, die in Form von Datenloggern eine Langzeitregistrierung realisieren, als auch solche, die eine unmittelbare Anzeige in der Art eigenständiger Geräte bzw. softwaregestützt auf einem Computer ermöglichen.

Die dargebotene Fülle von Schaltungsbeispielen basiert dabei hauptsächlich auf dem vom Autor entworfenen, einfachen aber trotzdem sehr flexibel einsetzbaren UAP-Platinensystem und dem ELF/VLF-Empfangssystem.

Den Schwerpunkt dieses
Bandes bilden, neben den
Antennenformen, verschiedene Antennenanpassschaltungen, diverse Filter und
nicht zuletzt Vorschläge für
die Auswertespeicherung
der aufgenommenen Messwerte. -red

Wilhelm Herbst Verlag Dessau 2006 150 Seiten, 18 € FA-Leserservice H-5751



#### Schmid, E.: DDS-Signalgeneratoren praktisch aufbauen und anwenden

War vor einigen Jahren die digitale Erzeugung von periodischen Signalen in Hobbyanwendungen noch auf den NF-Bereich begrenzt, dringt die Digitaltechnik heute dank gut verfügbarer Schaltkreise, Baugruppen und ganzer Geräte in Bereiche vor, die bisher ausschließlich der Analogtechnik vorbehalten waren.

Im vorliegenden Buch vermittelt der Autor dem Leser einen gut verständlichen Einblick in die faszinierende Technik der direkten digitalen Synthese (DDS) von periodischen Signalen, die vom Subhertz- bis in den UHF-Bereich reichen können. Neben den wichtigsten theoretischen Grundlagen und der Darstellung der prinzipiellen Funktionsweise der DDS stehen hauptsächlich verschiedene praktische Anwendungen im Mittelpunkt, die auch als Anregung für eigene Versuche oder Projekte dienen können.

Neben der Vorstellung gebräuchlicher DDS-ICs werden besonders die als Bausätze bzw. Fertiggeräte verfügbaren DDS 20 und DDS 10 näher beleuchtet. Einige beispielhafte Anwendungen dieser Generatoren runden zusammen mit Erweiterungen den praktischen Teil des Buches ab, das insgesamt einen guten Einstieg in dieses Gebiet der Digitaltechnik bietet. -red

Franzis Verlag GmbH Poing 2006 128 Seiten, 19,95 € FA-Leserservice F-2065

## Licht aus Wasserstoff

NIELS GRÜNDEL

Die Zeiten der Batterien und Akkumulatoren scheinen vorbei zu sein, denn ein kanadisches Unternehmen hat eine Taschenlampe angekündigt, die ohne solche Energiespeicher bis zu 24 Stunden leuchten soll.

Das kanadische Unternehmen Angstrom Power Inc. [1] hat unter dem Namen A2 eine Taschenlampe angekündigt, die mit einer Brennstoffzelle arbeiten soll. Die 15 cm große Lichtquelle wiegt stolze 450 g und ist mit einer Luxeon-LED ausgestattet, die zehnmal leuchtstärker als eine herkömmliche LED ist. Doch bis auf Weiteres ist für das Aufladen eine Ladestation notwendig – später soll ein Nachtanken auch mit Kartuschen möglich sein. Der Ladevorgang dauert lediglich 10 min. Gespeichert wird der betriebsnotwendige Wasserstoff in einem Metall-Hybrid-Behälter. Als Oxidationsmittel dient Luftsauerstoff.



Eine simple Wasserstoff-Kartusche könnte z.B. in Fahrradlampen Batterien ersetzen.

Das Unternehmen aus Vancouver arbeitet an einer Reihe weiterer Produkte, wie z. B. dem Brennstoffzellen-Ladegerät G2, das Akkumulatoren von mobilen Geräten aufladen soll. Das Gerät arbeitet mit 5 V und liefert 2 W. Per USB-Anschluss sind mit ihm Akkumulatoren von Handys, PDAs, Digitalkameras und anderen Geräten aufladbar. Darüber hinaus sollen auch Fahrradlichter mit Wasserstoff betrieben werden.

Eine 21 cm³ große Kartusche liefert dabei etwa soviel Energie wie zehn Alkaline-Batterien des Typs AA. Das reicht nach Firmenangaben für 20 h Licht im Dauerbetrieb. Die so genannte Micro-Hydrogen-Fahrradleuchte musste sich bereits im Dauerbetrieb mit zehn freiwilligen Radlern auf einer Strecke von 5000 km und unter allen Wetterbedingungen beweisen. "Die Micro-Hydrogen-Fahrradleuchte hat eine außergewöhnlich gute Leistung im Winter und Frühjahr erbracht", so Annalise Czerny, Technologiekoordinatorin bei *Angstrom Power*. "Die Rückmeldungen der Nutzer in Bezug auf Lichtausbeute, Wiederbefül-

lung und Nutzung insgesamt war überaus positiv." Konkrete Angaben zu Preisen und Verfügbarkeitsdaten gab das Unternehmen allerdings noch nicht bekannt.

#### **■** Kommerzieller Einsatz naht

Zusammen mit Partnern aus der Industrie haben Forscher des Fraunhofer-Instituts eine Technik entwickelt, die Brennstoffzellen preisgünstig und langlebig macht und ebenfalls bald auf den Markt kommen soll.

"Keramische Hochtemperaturbrennstoffzellen werden schon bald ein Massenmarkt sein", prognostiziert Prof. Alexander Michaelis, Leiter des Fraunhefer-Instituts für Keramische Technologien und Systeme IKTS [2] in Dresden. "Sie eignen sich als mobile Stromgeneratoren für Campingfahrzeuge, Boote, LKWs oder PKWs, aber auch für stationäre Anwendungen zur Strom-, Wärme- und Kältegewinnung oder zur Verstromung von Biogas in der Landwirtschaft."

Mit der Entwicklung kostengünstiger und langlebiger Stacks, dem Herzstück der Hochtemperaturbrennstoffzellen, haben Forscher vom *IKTS* jetzt die Voraussetzung für eine kommerzielle Nutzung geschaffen. Stacks sind Stapel aus dünnen keramischen Platten, an deren Oberfläche die Brennstoffe durch einen elektrochemischen Prozess direkt in elektrische Energie umgewandelt werden.

Verglichen mit Polymeren, die in Niedertemperatur-Brennstoffzellen eingesetzt werden, haben diese keramischen Zellen einen großen Vorteil: Sie können nicht nur reinen Wasserstoff, der schwer zu bekommen ist, sondern auch Methan, Benzin, Diesel, Erdoder Biogas verstromen. Dieser Prozess ist



Eine Taschenlampe mit Brennstoffzelle: klein, kompakt und daher für jede Tasche geeignet, aber nicht ganz leicht.



Das Herzstück der keramischen Hochtemperaturbrennstoffzelle: ein Stack genannter Komponentenstapel

technisch relativ einfach und daher kostengünstig. In Kombination mit Strom-, Wärme- beziehungsweise Kältekopplung lassen sich Wirkungsgrade von mehr als 90 % erreichen – mehr als mit jeder anderen Technologie.

Die Stacks im Inneren der Brennstoffzelle müssen dabei allerdings einiges aushalten: Die Betriebstemperatur kann bis zu 1000 °C betragen. Dabei herrschen auf der Brenngasseite extrem reduzierende und auf der Luftseite extrem oxidierende Bedingungen. Die Entwicklung von Materialien, die solche aggressiven Bedingungen dauerhaft

Die in der Fahrradlampe eingesetzten Luxeon-LEDs sind leuchtstärker als normale LEDs.



Fotos: Angstrom Power (3), Fraunhofer (1)

aushalten, ist selbst für erfahrene Werkstoffforscher eine Herausforderung. Ein Team am *IKTS* entwickelt derzeit zusammen mit Industriepartnern Verbundstoffe aus Metall, Keramik und Glas. Diese Materialien sind hervorragend für den Bau kostengünstiger und robuster Stacks geeignet – bereits jetzt wurde eine Lebensdauer von über 5000 h erreicht. Und das neue Stack-Design soll schon bald in Serie gehen.

#### **■** Funktionsweise Brennstoffzelle

Im Allgemeinen steht der Begriff für die Wasserstoff-Sauerstoff-Brennstoffzelle eine Brennstoffzelle kann aber auch mit anderen Energieträgern, wie z. B. Methanol, betrieben werden. Grundsätzlich ist jede Brennstoffzelle eine galvanische Zelle, die die chemische Reaktionsenergie eines kontinuierlich zugeführten Brennstoffes und eines Oxidationsmittels in elektrische Energie umwandelt. Wasserstoff ist letztlich deshalb in den meisten Anwendungsfällen die interessanteste Energiequelle, weil er durch erneuerbare Energien gewinnbar ist und unbegrenzt zur Verfügung steht. Der außerdem erforderliche Sauerstoff wird unmittelbar aus der Erdatmosphäre zugeführt.

#### Literatur

- [1] Angstrom Power Inc.: www.angstrompower.com
- [2] Fraunhofer-Institut für Keramische Technologien und Systeme IKTS: www.ikts.fraunhofer.de

## ANZEIGENSEITE

## Rund um PDF

#### **NIELS GRUENDEL**

Nicht jeder, der PDF-Dateien schreiben möchte, will viel Geld in die Hand nehmen und das teure Original von Acrobat kaufen. Alternativen existieren inzwischen genug.

Benutzer hassen PDF, weil es schlecht am Bildschirm zu lesen und die Navigation diffizil und ungewohnt ist, so Web-Usability-Guru Jakob Nielsen [1]. Außerdem ist PDF nicht wirklich durchsuchbar, schwer zu pflegen und die Ladezeiten vielfach unfreundlich. Darüber hinaus ist es nur begrenzt barrierefrei.

Gleichwohl hat sich das properitäre portable Daten-Format der Firma Adobe wie ein Lauffeuer im Internet verbreitet, denn die Aufbereitung als PDF-Dokument bietet sich an, wenn Dokumente für den Ausdruck bereitgestellt werden sollen. Dann spielt es seine wahren Stärken aus: Texte und Bilder lassen sich nicht nur für den Druck aufbereiten. PDF stellt sicher, dass das Originallayout erhalten bleibt.

Grundsätzlich bietet der Format-Erfinder nicht nur einen kostenlosen Reader für erzeugte PDF-Dokumente an, sondern selbstverständlich auch jene Software, um PDF-Dateien zu erstellen. Das Produkt kostet – je nach Ausführung – ab etwa her noch gescheut hat, vom Office-Paket aus Redmond auf die kostenlose Konkurrenz umzuschwenken, den kann vielleicht die Exportfunktion für PDF-Dateien überzeugen. Ohnehin findet man sich leicht in OpenOffice zurecht, wenn man bereits ein anderes Office-Paket kennt.

Das Paket enthält die Textverarbeitung Writer, die Tabellenkalkulation Calc und die Präsentationslösung Impress. Das offene Lizenzmodell bedeutet, dass keine Lizenzgebühren anfallen. OpenOffice.org gibt es für Microsoft Windows, Sun Solaris, Linux und Mac OS X.

#### ■ Plug-in für Windows

Professionelle PDF-Dokumente aus nahezu allen Windows-Anwendungen einschließlich Schriftarteneinbettung, Dokumentenschutz und Bildkomprimierung lassen sich mit dem 4 MB großen Plug-in C1B format/pcf [3] erzeugen. Das Programm ist auf die Plattformen Windows NT4, 2000 und XP beschränkt.



OpenOffice beherrscht seit der Version 1.1 einen nativen PDF-Export aus allen Bestandteilen des Office-Pakets.

400 € aufwärts und ist damit für viele Anwender, die mehr oder weniger häufig eine PDF-Datei erzeugen möchten, schlicht zu teuer.

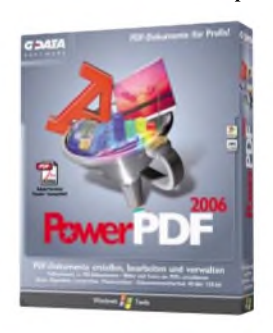
#### ■ Kostenlos-Office mit PDF-Export

Die Open-Source Office-Suite CpenC\_fice. org [2] stellt Ihnen alles zur Verfügung, was Sie von einem modernen Office-Paket erwarten, sogar einen nativen Export in das PDF-Format (seit Version 1.1), allerdings beschränkt auf die Programmbestandteile des Office-Pakets. Wer sich bis-

Nach der Installation kann CIB für den privaten Einsatz und für Tests kostenlos und ohne Lizenz genutzt werden. Eine Lizenz für den kommerziellen Einsatz kostet 19 €, wobei professionellen Anwendern auch einige Zusatzfunktionen geboten werden. Dazu zählen beispielsweise die Dokumentverschlüsselung und die Freigabe für Änderungen oder Notizfunktionen.

#### ■ PowerPDF

Der Hersteller GData aus Bochum bietet sein Produkt *PowerPDF 2006* [4] als preiswerten Adobe-Ersatz für 29,95 € an. Der PDF-Konverter installiert sich als Druckertreiber und kann so aus allen Programmen mit Druckfunktion gestartet werden. In Microsoft-Word und MS-Excel können sogar auf Knopfdruck PDF-Dateien erstellt werden – mit automatischer Einbindung von interaktiven HTML-Links oder E-Mail-Verknüpfungen.



GData bietet mit dem Produkt PowerPDF 2006 einen preiswerten Ersatz zum Erzeugen von PDF-Dateien aus allen Anwendungen an.

Der Hersteller zielt auf den Einsatz in Unternehmen und Small- sowie Home-Offices. Dabei können oft genutzte Dokumente wie Word-Texte, Excel-Tabellen, Grafiken und Internet-Seiten einzeln umgewandelt und auch zu einer einzigen PDF-Datei zusammengefasst werden. Die automatische Gliederung erstellt dabei anhand der Lesezeichen eine umfassende Übersicht. Je nach Anwendung kann die Auflösung des zu erstellenden PDFs zwischen 100 bis zu 4800 dpi betragen. Auch der umgekehrte Vorgang ist möglich: Texte und Bilder können aus dem PDF extrahiert und in separate Dateien gespeichert werden, sofern das PDF nicht geschützt ist.

Sensible Inhalte sind durch die 128-Bit-Verschlüsselung sowie durch die Vergabe von Zugriffs- und Editierrechten vor neugierigen Blicken oder ungewollter Entnahme von Text und Bild abgeschirmt.

Das Programm stellt für angefertigte PDF-Dokumente eine eigene Dokumentenverwaltung mit Dateibrowser bereit. Auf Wunsch fügt die automatische Suche und Indizierung der Datenbank auch PDFs hinzu, die bereits auf der Festplatte oder den Laufwerken vorliegen. Dokumenteneigenschaften wie Autor, Titel, Thema oder andere Schlüsselwörter können frei vergeben werden und fördern so das schnelle Auffinden von Dateien. Weitere Suchfilter und die Volltextsuche stehen ebenfalls parat.

Systemvoraussetzungen sind mindestens ein Pentium 233 MHz, Win 98SE/ME/NT/ 2000 und XP, 64 MB RAM und 30 MB Festplattenspeicher. Alles Bedingungen, die sich leicht erfüllen lassen.

#### ■ Noch mehr PDF-Kreatoren

Ein Urgestein der kostenlosen PDF-Erzeugung ist die Installation des kostenlosen Druckertreibers *Ghostscript/Ghostview* [5]; unter heutigen Gesichtspunkten

eher zu aufwändig, sodass viele Anwender eine der komfortablen Komplettlösungen vorziehen dürften.

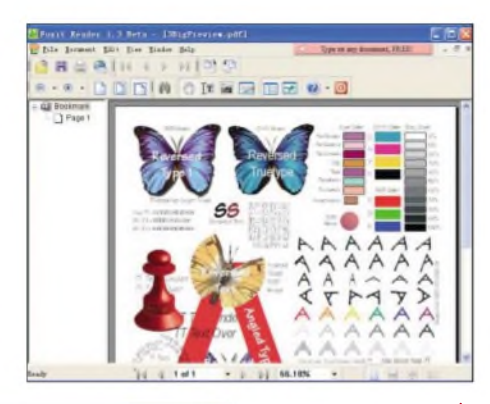
Wer lediglich im Einzelfall eine Word-Datei (von maximal 2 MB) in ein PDF umwandeln möchte, der sollte auf den Service *PDF Online* [6] zurückgreifen. Die Datei wird über ein Formular im Browser hochgeladen und per E-Mail als konvertiertes PDF zurückgesandt.

Eine komfortable Lösung ist der Druckertreiber Go2PDF [7], der das Konvertieren aller denkbaren Dateien in ein PDF ermöglicht. Das gerade einmal 261 KB große Programm wird als virtueller Drucker installiert. Statt eine Datei auf den eigenen Drucker zu senden, wird einfach der virtuelle Drucker ausgewählt, der anschließend eine entsprechende PDF-Datei erzeugt.

Darüber hinaus gibt es noch eine Reihe weiterer Programme zum Erzeugen von PDF-Dokumenten, beispielsweise ScanScft PDF Create! 3, DocuCom FDFDriver, BCL easyPDF, Ovis pcf-C\_fice, Broadgun pcfMachine oder FinePrint pcfFactory. In der

programm kopiert, erhält auch den Text hinter geschwärzten Stellen.

Wer wirklich sicher gehen will, kann auf das *Plug-in Redax* [8] setzen. Damit können bestimmte Wörter in PDF-Dokumenten unkenntlich gemacht werden, sogar mit einer "Suchen und Ersetzen"-Funktion. Das Ergebnis der Nachbearbeitung ist ein neues PDF-Dokument, das ohne Bedenken verteilt werden kann. Zur Sicherheit wird ein Protokoll erstellt, das alle Textstellen dokumentiert, die geschwärzt worden sind.



Der Foxit Reader ist ein super-schlankes PDF-Anzeigeprogramm, das ohne Installation auskommt und auch auf einem USB-Stick problemlos Platz findet.



PowerPDF installiert einen Druckertreiber, über den PDF-Dateien aus allen Anwendungen erzeugt werden können.

> Quellen: OpenOffice.org, GData, Foxit Software Company



Funktion unterscheiden sie sich für Privatanwender nur geringfügig, denn dort stehen die gängigen Funktionen im Vordergrund – und natürlich der Preis.

#### ■ Vertrauliche Inhalte schützen

Die Sicherheitseinstellungen im PDF-Format erlauben durchaus gewisse Kontrollelemente. So kann beispielsweise ausgeschlossen werden, dass ein Dokument inhaltlich oder gestalterisch verändert oder ausdruckt wird. Auch lässt sich ein Passwortschutz vor unbefugtem Öffnen integrieren. Darüber hinaus können mit dem Adobe-Produkt einzelne vertrauliche Stellen in einem Dokument geschützt werden. Wirklich sicher ist diese Variante aber nicht. Denn wer die Textinhalte über die Zwischenablage in ein anderes Schreib-

Redax wurde von Appligent entwickelt; es ist unter Windows und MacOS X kompatibel mit Acrobat 5.x, 6.x und 7.x. Das englischsprachige Zusatzprogramm ist ab 175 € erhältlich.

#### **■ PDF-Konverter**

Das Softwareangebot, um Dateien als PDF zu speichern, ist groß, aber in einigen Fällen ist auch der umgekehrte Weg notwendig. Der PDF Converter [9] von Scan-Soft von Nuance Germany GmbH verwandelt PDF-Dateien in vollständig formatierte Dokumente, Formulare und Arbeitsblätter – komplett mit Text, Spalten, Tabellen und Grafiken. Die Software arbeitet mit allen gängigen Anwendungen wie Microsoft Word, Excel und Outlook sowie Corel WordPerfect zusammen.

Sie beherrscht ebenso den umgekehrten Weg und kann gescannte Dokumente, etwa Angebote, Verträge oder Korrespondenz, zwecks Bearbeitung in Textverarbeitungsoder Tabellenkalkulationsdateien konvertieren. Dabei können Tabellen und Grafiken aus PDF-Dateien extrahiert und in anderen Anwendungen wieder verwendet werden. Für professionelle Anwender besonders interessant ist die Umwandlung statischer PDF-Formulare in bearbeitbare Word-Formulare.

Die Systemvoraussetzungen halten sich in Grenzen: Windows 98 (SE), ME, 2000 und XP, MS-Word 97, 2000, XP oder 2003 sowie mindestens 50 MB freier Festplattenspeicher. Das Programm kostet 49 €

#### ■ Tipp: Schlanker Reader

Die Systemanforderungen für den aktuellen Adobe Reader 7.0.7 – die wahrscheinlich weitestverbreitete Betrachtungssoftware schlechthin unter Windows (wenn auch nicht unbedingt in der aktuellsten Version) – halten sich zwar grundsätzlich in Grenzen, allerdings benötigt der Reader nicht nur gut 90 MB freien Speicherplatz auf der Festplatte, sondern gängelt seine Anwender mit langen Ladezeiten.

Eine besonders schlanke Alternative ist der PDF-Betrachter *Foxit Reader* [10]. Er ist aktuell in der Version 2.0 erhältlich und bietet nun sogar in der kostenlosen Version die Möglichkeit, Notizen in einem Dokument anzulegen.

Praktisch an dem PDF-Reader ist sein kleiner Umfang: Gerade 1,5 MB sind herunterzuladen – und er ist auch ohne jede Installation unmittelbar ausführbar. Ohne Probleme kann er damit sogar auf einem USB-Stick transportiert werden. Dabei beherrscht der Reader die üblichen Funktionen wie Zoom, Suchen im Dokument oder das Kopieren von Text.

Neben der kostenlosen Variante bietet der Hersteller eine kostenpflichtige Pro-Version für 39 US-\$ mit einigen Zusatzfunktionen an, beispielsweise erlaubt sie den Druck und das Speichern von Notizen.

#### Literatur und URL

- [1] Jakob Nielsen's Alertbox: www.useit.com/alertbox/20030714.html
- [2] OpenOffice: http://de.openoffice.org
- [3] CIB format/pdf: www.cib.de/deutsch/
- [4] PowerPDF 2006: www.gdata.de
- [5] Ghostscript/Ghostview: www.haw-hamburg.de/pers/Lueddecke/ghost/
- [6] PDF Online:
  https://www.pdfonline.com/convert\_pdf.asp
- [7] Go2PDF: www.go2pdf.com/product.html
- [8] Appligent Redax:
- www.actino.de/pluginsh/appligent\_redax.htm
  [9] ScanSoft PDF Converter:
- www.scansoft.de/pdfconverter/
- [10] Foxit Reader: www.foxitsoftware.com/pdf/rd\_intro.php

## **UKW-Tagung 2006 – Hochstimmung an der Bergstraße**

PETER PFLIEGENSDÖRFER – DL8IJ

Zum dritten Mal im südhessischen Bensheim, führte die 51. UKW-Tagung die Tradition der erstmals 1956 anberaumten Veranstaltung erfolgreich fort. Das bewährte Konzept aus familiärer Atmosphäre, hochkarätigen Referaten und einem breiten Händlerangebot fand große Zustimmung.

Es ist nicht einfach, einem Außenstehenden zu erklären, was genau den Reiz der UKW-Tagung ausmacht. Wie kann man vermitteln, weshalb ausgerechnet diese Veranstaltung nach so langer Zeit noch ihren festen Platz auf dem Terminplan der Funkamateure hat?

In Bensheim, zwischen den Flohmarktständen, versuchten wir einem Mitarbeiter der südhessischen Lokalpresse eben jene Faszination begreiflich zu machen. Der engagierte Journalist bemühte sich redlich, zu verstehen, was um ihn herum vorging, machte dabei fleißig Notizen und nickte hin und wieder verständnisvoll.

In der Tageszeitung war dann allerdings zu lesen, die Veranstaltung habe "an eine Invasion Außerirdischer" erinnert, die sich mit "mysteriösen Symbolen" auf ihren Mützen und T-Shirts identifizierten, beobachtet vom "liebevollen Blick" des Veranstalters, der das Treiben mit dem Satz "Hier hat fast jeder eine Macke" kommentiert habe.

Als Vollblut-Funkamateur deckt man über die Behauptung mit der Macke natürlich den Mantel der Nächstenliebe. Es bleibt indes festzuhalten, dass dies keinesfalls das herausragende Element der 51. Weinheimer UKW-Tagung gewesen ist. Vielmehr darf man den Organisatoren hoch

#### ■ Tagung mal Zwei

Wie in den Vorjahren fuhr man zweigleisig: Die Hauptveranstaltung fand am Samstag in der Bensheimer Karl-Kübel-Schule statt, mit Flohmarkt, kommerziellen und ideellen Ausstellern sowie dem umfangreichen Vortragsprogramm und einer Podiumsdiskussion. Schon zwei Wochen vor der Tagung hatten im 14 km entfernten Weinheim auf einer frisch gemähten Wiese die ersten Camper ihre Zelte und Antennen aufgebaut.

Neben dem "Wasserhaus" genannten Klubheim [1] der Weinheimer Funkamateure fand Freitag- und Samstagabend das traditionelle Grillfest am Lagerfeuer statt, Sonntagmorgen ein Brunch. Hier gab es reichlich Gelegenheit zum Austausch mit gleich Gesinnten, die aus vielen Ländern Europas angereist waren. In diesem Jahr traf man auffallend viele OMs aus Skandinavien und Ländern des russischen Sprachraums.

Der Messplatz von Volker Winterscheid, DF7IT, fand ebenso großes Interesse wie die Vorführung von für Lichtsprechen geeigneter Hardware durch Peter Greil, DL7UHU. Nach Einführung eines *cpenWRT*-Routers war dieses Jahr der WLAN-Hotspot am Klubheim deutlich einfacher zu erreichen.

Das herrliche Spätsommerwetter ließ den Flohmarkt am Samstag zu einer Attraktion werden.



anrechnen, dass sie es auch in diesem Jahr wieder geschafft haben, die langjährige Tradition der Tagung in einem den aktuellen Gegebenheiten angepassten Rahmen zu präsentieren. Die aktive Mitarbeit der Lehrer und Schüler, die sich so ganz nebenbei ihre Abitur-Feier finanziert haben, verdient besondere Erwähnung.

Die zahlreichen
Fachvorträge sowie
– hier im Bild –
die Podiumsdiskussion deckten
ein breites Interessenspektrum ab.

Etwa 40 Camper loggten sich mit ihren Laptops in das Netz ein, in dem vier TNCs mit 614 kB/s auf 10 GHz verbunden waren.

#### ■ Schwerpunkt: Referate

Traditionell bildet das umfangreiche Vortragsprogramm den Schwerpunkt der Tagung [2]. Thematisch war von Röhrenendstufen bis in den Bereich der Millimeter-Wellen das gesamte Spektrum des Amateurfunks abgedeckt. Aufgrund der aktuellen Entwicklungen im Amateurfunk hat man in diesem Jahr großen Wert darauf gelegt, dass neben den Themen von (und für) Spezialisten auch einige Referate für Hobby-Einsteiger im Programm enthalten waren, korrespondierend mit dem freien Eintritt für alle unter 18.

Die Vortragsräume der Schule waren nicht selten bis auf den letzten Platz gefüllt, teilweise mussten zur Seite geräumte Klassentische als zusätzliche Sitzgelegenheit herhalten. Hervorzuheben ist hier der Vortrag über praktisches Stocken von UKW-Antennen von Martin Steyer, DK7ZB, der enorm viele Zuschauer angelockt hat.

Dr. Jochen Jirmann, DB1NV, referierte über die Grundlagen digitaler Modulationsverfahren. Dr. Wolf-Henning Rech, DF9IC, hat sich recht intensiv um das Großsignalverhalten von 144-MHz-Transceivern gekümmert. Wer bisher geglaubt hat, je neuer ein Transceiver, umso besser, wurde hier eines Besseren belehrt.

#### ■ Podiumsdiskussion

Bei der zweistündigen Podiumsdiskussion zum Thema Relaisfunkstellen waren neben drei maßgeblichen Mitarbeitern der Bundesnetzagentur zahlreiche Relaisbetreiber anwesend [3]. Diese nutzten die seltene Gelegenheit, einen Dialog mit der Behörde zu führen, der zeitweise einer Fragestunde – mit allerdings hohem Informationsgehalt – glich. Festzuhalten bleibt, dass in einigen Punkten die von bemerkenswertem Engagement geprägte Sichtweise der Behördenvertreter die anwesenden Funkamateure positiv überrascht hat. Von beiden Seiten gab es viele konkrete Anregungen zur zukünftigen Koordinie-



rung und Konzipierung von Relaisfunkstellen, wobei Jochen Berns, DL1YBL, besonders auf die zunehmende Bedeutung digitaler Relaisfunkstellen hinwies. Was die Vernetzung angeht, sei es erfahrungsgemäß den meisten Nutzern egal, auf welchem Wege diese erfolgt. Helmut Möller von der Bundesnetzagentur schlug eine Arbeitsgruppe zur Ausarbeitung einer praxisnahen Relaisinfrastruktur vor, etwa eine Unterteilung in Reichweitengruppen (überregional, regional, lokal), um die Frequenzressourcen besser zu nutzen.



Das besondere Fluidum der Grillabende am Wasserhaus ist seit vielen Jahren ein Besuchermagnet im Rahmen der UKW-Tagung.

Da auch zahlreiche Vertreter von DARC-Referaten und RTA anwesend waren, bleibt die Hoffnung, dass diese Anregung aufgegriffen wird. Nicht unerwähnt bleiben soll, dass sich nicht alle Funkamateure von DARC und RTA hinreichend vertreten fühlen, beispielsweise bei der seit Jahren immer wieder aufkommenden Forderung nach zusätzlichen Relaiskanälen im 10-m-Band. Das ist aber keineswegs ein deutsches Problem: In England und Schweden wurden bereits durch mehrere Relaisfunkstellen, die nicht dem Bandplan der IARU-Region 1 entsprechen, Fakten geschaffen.

Werden Relaisfunkstellen absichtlich gestört, ist das konsequente Ignorieren des

Störers nach wie vor die empfehlenswerteste Vorgehensweise. Diese Erkenntnis ist wahrlich nicht neu, wird aber leider nur in den seltensten Fällen beherzigt. "Niemand geht in den Wald und spricht mit den Bäumen", so Hermann Böhm, DK6XH, Betreiber der Augsburger UKW-Relais.

Bei Störungen durch Kabelfernsehen hält die Behörde Massenaktionen für nicht dienlich, will aber einzelnen Störungsmeldungen weiterhin nachgehen. An der Problematik selbst werde sich voraussichtlich nichts ändern. Auch sei durch die Vielzahl der Kabelnetzbetreiber selbst eine Verschiebung des störenden Tonträgers (Sonderkanal S6, 145,750 MHz) nicht mehr zu realisieren. Aus berufenem Munde fiel die Redewendung: "Beim Kabelfernsehen wurde schon immer in DM gerechnet, nicht in dB."

#### Selbstbauwettbewerb

Nach einigen erfolgreichen Jahren kann man den Selbstbauwettbewerb auf der UKW-Tagung in Weinheim/Bensheim fast schon als feste Institution bezeichnen. In diesem Jahr hatten acht Teilnehmer neun Exponate eingereicht, siehe Tabelle.

Als Gesamtsieger für dieses Jahr wurde von der Jury die Arbeit von Peter Drescher, DC2PD, in der Sektion 5 auserkoren, weil das Thema wegen des zunehmenden Einsatzes von PCs für die analogen und digitalen Betriebsarten immer wichtiger wird. Der im Interface integrierte Sound-Chip dient exklusiv der Amateurfunkanwendung und verhindert die üblichen Konflikte mit anderen Multimediaanwendungen auf dem PC. Konsequente Potenzialtrennung mittels modernster Bauelemente vermeidet auch die berüchtigten Brummund HF-Schleifen (FA-Beitrag in Vorbereitung – d. Red.).

Alle eingereichten Arbeiten zeigen, dass es auch im Selbstbau möglich ist, gute und für den Amateurfunk nützliche Arbeiten zu erstellen. Die Industrie "beliefert" uns mit immer mehr und teueren Scheininnovationen, der echte Fortschritt muss aber ge-



Fachsimpeln mit gleich Gesinnten stand für viele auf dem Pflichtprogramm; hier zwei der Entwickler des FA-Netzwerktesters, links Norbert, DL1SNG, rechts Günther, DF5FC.

Fotos: DB2FQ, DF1GW, DF6IH, DL2RD

sucht werden. Gefordert sind einfache und trotzdem zukunftsweisende Konzepte, so wie der hier vorgestellte SDR-Einsteigerkit (DM2CQL) oder der 80-m-DDS-Peilempfänger (DK8OH). Dass jedoch selbst mit beinahe amateurmäßigen Mitteln professionelle Ergebnisse zu erzielen sind, zeigen der Vektoranalysator (DG4RBF) und der DDS-Generator (DK5LV).

In der Zeit fertiger Industriegeräte ist deshalb der Selbstbau für viele Amateure immer noch ein wesentlicher Teil des Amateurfunks. Es sollte sich aber von den hier vorgestellten guten Arbeiten kein selbstbauender OM oder XYL abschrecken lassen, an zukünftigen Selbstbauwettbewerben teilzunehmen. Scheinbar einfache Arbeiten können durch Nachbausicherheit und einen hohen Nutzen für den Amateurfunk überzeugen – wo also bleibt Ihr Beitrag?

#### ■ Besucherzahl konstant

2100 zahlende Besucher (ungeschönt und netto) zählte die 51. UKW-Tagung, und damit blieb die Besucherzahl gegenüber dem Vorjahr praktisch stabil. Zusammen mit den 135 Ausstellern ist dies in einem tendenziell eher rückläufigen Umfeld durchaus als Erfolg zu werten, zumal unter den befragten Besuchern Zufriedenheit und positive Stimmung vorherrschend waren. Die 52. UKW-Tagung findet voraussichtlich am 15./16. September 2007 statt [4]. Auf Wiedersehen in Bensheim und Weinheim!

#### Literatur und URL

- [1] DARC-OV Weinheim: Homepage. http://dl0wh.de
- [2] DARC-OV Weinheim (Hrsg.): 51. Weinheimer UKW-Tagung, Skriptum der Vorträge. Weinheim 2006; FA-Leserservice # U-2006 bzw. # 1306
- [3] FAC Weinheim e. V.: Podiumsdiskussion 2006 zum Thema Relaisfunkstellen. www.ukw-tagung.com/ 25.39.0.0.1.0.phtml
- [4] FAC Weinheim e. V.: UKW-Tagung. www.ukw-tagung.de

#### Ergebnisse des Selbstbauwettbewerbs

#### Sektion Funktechnik/Antennen bis 30 MHz

Günther Fromhagen, DK8OH
 Klaus Raban, DM2CQL
 Henning Weddig, DK5LV
 BOR-Einsteigerkit für 40/80 m
 DDS-Generator mit dem AD9951

#### Sektion Funktechnik/Antennen bis 3 GHz

1. Hermann Böhm, DK6XH 2-m-Relaisfunkstelle

2. Martin Steyer, DK7ZB leichtgewichtige Antennenanlage für SOTA/BBT

#### Sektion Funktechnik/Antennen über 3 GHz

leider keine Teilnehmer

#### Sektion Messtechnik

 1. Bernd Kaa, DG4RBF
 Vektor-Anpassungsanalyser mit grafischer Darstellung

 2. Günther Fromhagen, DK8OH
 Frequenz- und Leistungsmesser

 3. Wolfgang Borschel, DK2DO
 Power-SWR-Meter aus Flohmarktteilen

Sektion Zubehör und sonstige Geräte

1. Peter Drescher, DC2PD USB-Transceiverinterface mit integrierter Soundkarte

# *Unterwegs im Süden Afrikas – Erstaktivierung der Insel Chiloane*

ALEXEY YAKOVLEV – UT5UY

Unter der Leitung von Alex, UT5UY, gelang einem mehrköptigen ukrainischen Team die Erstaktivierung der Mosambiks Küste vorgelagerten Insel Chiloane (IOTA AF-098). Weniger der Funkbetrieb als solcher, sondern vielmehr die An- und Abreise stellten die Teilnehmer vor nicht geringe organisatorische Probleme. Doch lesen Sie selbst.

Schon vor Jahren hatte Igor, UY5LW, die Idee zur Erstaktivierung der Insel Chiloane vor der Küste Mosambiks. Doch die Zeit verging und der Plan musste immer wieder verschoben werden. Erst 2005 schien die Zeit reif und die DXpedition konnte endlich stattfinden. Dank glücklicher Umstände waren wir recht schnell in der Lage, ein geeignetes Team zu bilden. Danach begannen unverzüglich die Vorbereitungen.

Die seit zehn Jahren in Mosambik lebende Familie Eliseev war unser Gastgeber. Auch sie war nicht untätig geblieben. Dank ihrer Hilfe wurden Antennenmasten beschafft, Generatoren gekauft und ein Team-Bus angemietet. Überdies half die Familie bei der chen Aufkleber und verschwand sodann auf dem Förderband. Ein langer Flug von Kiew nach Dubai, Johannesburg und sodann Maputo lag vor uns.

Schon der Abflug von Kiew verzögerte sich etwas. Aber wir machten uns keine Sorgen, weil wir vor dem Weiterflug nach Johannesburg noch einige Stunden Aufenthalt in Dubai hatten. Nach einem fünfstündigen Flug landeten wir in Dubai. Beim Aussteigen schlug uns ungewohnt heiße Luft entgegen. Es war 2 Uhr morgens, aber die Temperatur lag immer noch bei 35 °C. Der Flughafen von Dubai beeindruckt mit seiner Schönheit und Großzügigkeit. Man kann den Orient, die Pracht und den Reich-

Das erfolgreiche ukrainische C93DY-Team vor der A3S-Cushcraft-Yagi



Max, UR7HTZ, mit elf Jahren das jüngste Teammitglied, im Pile-Up

Beschaffung der Amateurfunklizenzen und ließ die gesamte Mannschaft in ihrem Haus wohnen, womit sie echt ukrainische Herzlichkeit und Gastfreundschaft bewies. Lieber Alexander Ivanovich, Sergey, C91EL, und Oleg – alle Mitglieder der DXpedition danken Euch aufs herzlichste für diese Unterstützung!

#### Abflug nach Mosambik

Am Morgen des 22.7.05 trafen wir uns am Flughafen Borispol. Unsere Ausrüstung wog mehr als 200 kg, was Missfallen der Angestellten der Fluggesellschaft hervorrief. Erst nachdem wir der Gepäckabteilung den Zweck unserer Reise erklärt hatten, machte man uns keine weiteren Schwierigkeiten. Das Gepäck erhielt die erforderli-



tum Dubais fast mit Händen greifen. Während der Zollinspektion kam es zu ersten Problemen. Ein Angestellter des Sicherheitsdienstes fand im Handgepäck von Alex, UX0LL, zwei Funkgeräte. Alex hatte die Transceiver mit in sein Handgepäck genommen, um jede Transportbeschädigung zu vermeiden. Unsere Argumente,



dass es sich dabei um Amateurfunkgeräte handele, überzeugten die Sicherheitsleute nicht. Unter Umständen hat der Hinweis auf "Amateurfunk" die Situation noch verschlimmert. Jedenfalls wurde Alex mit zur Polizeiwache genommen und für rund eineinhalb Stunden war sein Schicksal ungewiss.

Zu unserer großen Erleichterung kam Alex jedoch mit guten Nachrichten zurück. Seine Tasche mit den Funkgeräten war versiegelt worden, und man hatte versprochen, dass die Funkausrüstung in den Frachtraum des Flugzeugs gebracht werden würde. Weitere Probleme gab es nicht, und wir stiegen in den Airbus der "Emirates", um unseren neunstündigen Flug nach Südafrika anzutreten.

#### ■ Probleme

Unmittelbar nach der Landung in Südafrika warteten die nächsten Probleme. Weil Angestellte der Fluglinie "South African Airways" streikten, verzögerte sich der Anschlussflug von Johannesburg nach Maputo um einige Stunden. Wir hofften, dass sich das Problem bald lösen ließ. Als Ausgleich erhielten wir einen Gutschein für ein Abendessen. Dann kam die gute Nachricht. Die Manager von "South African Airlines" hatten mit der mosambikanischen Fluglinie LAM eine Vereinbarung getroffen: LAM würde uns nach Maputo fliegen. Man versicherte, dass die gesamte Ausrüstung mit an Bord gehen würde.

Der Flug von Johannesburg nach Maputo, der Hauptstadt Mosambiks, dauerte nur 50 min. Am Flughafen wurden wir von unserer Gastgeberfamilie und von Andy, OK8ANM, begrüßt, der bereits am Morgen angekommen war. Dann gab es die große Enttäuschung: Unser Gepäck war in Südafrika zurückgeblieben. Was wir zu diesem Zeitpunkt noch nicht wussten: Diese Ausrüstungsgegenstände sollten wir erst nach unserer Inselaktivität wiedersehen.

Der Umstand, dass der größte Teil der Ausrüstung fehlte, brachte uns in große Schwierigkeiten. Die nächsten Tage verbrachten wir damit, mehrmals täglich den Flughafen aufzusuchen, um etwas über das Schicksal unserer Ausrüstung zu erfahren. Es gelang allerdings nur, die Antennen zu bekommen. Roman, UR0MY, war zutiefst enttäuscht – der Verbleib seines FT-1000 blieb völlig ungewiss.

Doch selbst in Afrika sind Funkamateure erfinderisch. Wir erwarben eine Autobatterie, um den TS-570DG betreiben zu können. Glücklicherweise hatten wir diesen Transceiver im Handgepäck mitgenommen. Weiterhin ließen sich 75-Ω-Fernsehkabel sowie Draht auftreiben. Damit konnte man immerhin schon funken.

Aus mehreren zugeteilten C9-Lizenzen wählten wir das Rufzeichen C91CW, das allen Beteiligten am besten gefiel. Aber wir befanden uns immer noch in Maputo. Unser eigentliches Ziel bestand jedoch in der Erstaktivierung der Insel Chiloane. Wir wollten deshalb unbedingt weiterreisen. Mit jedem Tag, an dem das Gepäck nicht eintraf, verschlechterte sich die Stimmung. Wir verpulverten täglich US-\$ 150 für den Bus, den wir für die Fahrt zur Hafenstadt Beira angemietet hatten. Die Distanz zwischen Maputo und Beira, der zweitgrößten Stadt Mosambiks, beträgt etwa 1400 km.

#### ■ Mit dem Bus durch Mosambik

Als nach drei Tagen das Gepäck immer noch nicht in Sicht war, hieß es, Maputo zu verlassen. Wir hatten inzwischen die unbedingt erforderliche Ausrüstung gekauft, wie z.B. Zelte, Schlafsäcke, Kleidung und Werkzeug. Auch eine große Menge Nahrungsmittel durfte nicht fehlen. Cossa, unser Busfahrer, hat uns beim Erwerb der Lebensmittel und der noch fehlenden Ausrüstung tatkräftig unterstützt. Allerdings vermissten wir den Teil der Funkausrüstung schmerzlich, der in Mosambik nicht erhältlich ist. Uns kam daher die Idee, die Motorala-Niederlassung der Firma Spac aufzusuchen. Dank der Unterstützung von Silvano, C91A, dem Leiter der Niederlassung, bekamen wir alles zusammen, um zwei Funkstationen betreiben zu können. Silvano zeigte echten Ham Spirit, wir sind ihm zu großem Dank verpflichtet.

Am Morgen des 27.7. ging es mit dem Bus Richtung Beira. Nun begann ein wirkliches Abenteuer: mit dem Bus durch Mosambik! Etwa 200 km von Maputo entfernt durchquerten wir unter großem Jubel den bekannten afrikanischen Fluss Limpopo.

Eigentlich hatten wir erwartet, dass die Straße zwischen der Hauptstadt und der größten Hafenstadt Mosambiks in gutem Zustand sein würde. Aber da täuschten wir uns. Fast 300 km der Gesamtstrecke bestanden aus reiner Sandpiste. Vor unserem Abflug hatten wir versucht, so viel wie möglich über das Land in Erfahrung zu bringen. Dabei fiel vor allem auf, dass der lange Bürgerkrieg in Mosambik gefährliche Minenfelder hinterlassen hatte. Das

war der Grund, weshalb jegliches Verlassen der asphaltierten Straße bei uns eine gewisse Nervosität hervorrief. Und immer wenn weiße Streifen an den Bäumen besonders gefährliche Stellen der Strecke kennzeichneten, entstand im Team eine große Anspannung. In Mosambik kann jeder die schreckliche Hinterlassenschaft des Bürgerkrieges und die Auswirkungen der Landminen sehen: Mehr als in jedem anderen Land begegnet man Leuten, die entweder eines oder sogar beide Beine verloren haben. Auf unserem Weg in die Hafenstadt Beira machten wir mehrmals in kleineren Städten Halt. Die Einheimischen leben in Armut, scheinen sich darüber aber nur wenig Sorgen zu machen. Ich sah die Menschen jedenfalls öfters lächeln, als Leute in anderen Ländern mit einem viel höheren Lebensstandard.

einheimischen Seeleuten bekannt, die uns mit einem Schiff auf Chiloane übersetzen sollten. Doch bei dem versprochenen Motorschiff handelte es sich nur um ein kleines Boot mit Motor. Mit diesem Boot betrug die Fahrzeit zur Insel sieben Stunden. Nach eingehender Begutachtung weigerten sich jedoch die meisten Teammitglieder, in diesem wenig Vertrauen erweckenden Gefährt in See zu stechen.

#### ■ Ein neues Schiff muss her!

Schnell stand fest, nach einem verlässlicheren Schiff zu suchen. In dem Teil des Hafens, in dem die größeren Schiffe und Fischerboote vor Anker lagen, waren leider keine Schiffseigner vor Ort. So ließ sich nicht ermitteln, ob und zu welchem Preis die Schiffe zu mieten waren. Ein Bootsmann sagte uns, sein Schiff lasse sich



Alex, UT5UY, beim Funkbetrieb als 3DA0UY im Shack von Andy, 3DA0TM.

#### **■** Im Hafen von Beira

Am Morgen des 28.7.05 erreichten wir die Hafenstadt Beira. Der Hafen selbst präsentierte sich farbenprächtig und voller Leben. Doch überall sah man halbverrottete Schiffsrümpfe und Wracks. Dicht am Strand befindet sich der größte Fischmarkt Mosambiks.

Dinyu, ein Freund von Sergey Eliseev, hatte sich als Stadtführer angeboten. Mit seiner Hilfe beschafften wir 200 1 Kraftstoff, um während unseres Aufenthalts auf der Insel den Generator rund um die Uhr betreiben zu können. Er machte uns mit



Erst dieser größere Kutter machte einen halbswegs seetauglichen Eindruck



zum Transport zwischen Beira und Chiloane einsetzen; fünf Tage Chartern würde etwa US-\$ 4000 kosten. Diese Summe überstieg unser Budget jedoch um ein Vielfaches. Wir hatten mit etwa US-\$ 1000 gerechnet.

Man riet uns, den Eigner aufzusuchen und gab uns seine Adresse in der Stadt. Zu unserer Überraschung stellte sich "der" Eigner als eine knapp 50jährige Frau namens Maria Otila Pereyo Americano heraus. Nach einer halbstündigen Verhandlung waren wir uns einig: 2300 US-\$ für fünf Tage. Umgehend ging es zurück zum Hafen. Auch die Eignerin erschien und teilte der Besatzung des Schiffes die neue Route

mit. Nun lag noch jede Menge Arbeit vor uns: Wir mussten die Ausrüstung und die Vorräte in dem Laderaum des Schiffes verstauen. Als wir das Material einluden, hatte sich an unserem Liegeplatz eine ziemlich große Menschenmenge eingefunden. Alle wollten sehen, wie sich zwölf Weiße auf eine Schiffsreise vorbereiten.

Bis zum Ablegen stand genügend Zeit zur Verfügung, um das Schiff genauer unter die Lupe zu nehmen. Auf uns Landratten machte es jedenfalls einen soliden und verlässlichen Eindruck. Navigationsgeräte gab es keine, abgesehen von einem alten Kompass auf der Brücke. Für die Kommunikation mit dem Hafen stand dem Kapitän ein uns Funkamateuren wohlbekannter IC-735 zur Verfügung, der im Frequenzbereich von 4 MHz eingestellt war.



Die C93DY-QSL: Mehr als 7000 QSOs von AF-098 machten viele Inseljäger glücklich.

zu Hause sein, vor dem Fernseher sitzen oder gemütlich im warmen Bett liegen!" Nur die Suche nach Abenteuern und neuen Erfahrungen rechtfertigte das Risiko, dem wir uns ausgesetzt hatten. Der Sturm hielt die ganze Nacht an, doch unsere Gesichter angenehmen Eindruck, dass sich der Kapitän mit der Navigation nicht so recht auskannte. Nach insgesamt elf Stunden auf See kam immer noch kein Land in Sicht, weder die

Nach insgesamt elf Stunden auf See kam immer noch kein Land in Sicht, weder die ersehnte Insel noch irgendeine Küste. Schließlich half uns der Einsatz der Funkstation aus der Misere. Die Hafenbehörde in Beira wurde kontaktiert und sie teilte uns, nachdem wir die aktuelle Position übermittelt hatten, mit, dass der Kurs falsch sei. Der Kapitän nahm daraufhin eine Kursänderung um 90° vor – wir schöpften Hoffnung, bald Land zu sehen. Der Bootsmaat meldete jedoch, dass man nur noch über wenig Kraftstoffreserven verfüge.

Es folgte eine Zeit quälender Ungewissheit. Endlich, nach vier Stunden, vernahmen wir den Ruf: "Land in Sicht". Die Insel Chiloane – Ziel unserer DXpedition! Mit jeder Minute nahm die tropische Insel mehr Gestalt an. In einer Bucht gegenüber einem Fischerdörfchen gingen wir vor Anker. Hier und da sah man kleinere Boote, die zum Fischfang aufs Meer fuhren.

Unsere Ankunft zog sogleich das Interesse der Einwohner auf sich. Ein Motorboot kam längsseits und bot uns Hilfe beim Übersetzen an. Wir beschlossen, zunächst zwei "Späher" auf die Insel zu senden. Diese kamen schnell zurück und berichteten, dass wir die Erlaubnis hätten, an Land zu gehen.

Es bedurfte mehrerer Fahrten, um das gesamte Team und die Ausrüstung auf Chiloane überzusetzen. Man bot uns an, das Lager auf dem Gelände einer kleinen Konservenfabrik aufzuschlagen. Danach statteten wir dem Gouverneur der Insel einen Höflichkeitsbesuch ab. Nachdem wir ihm die Ziele unserer Aktivität kurz erklärt hatten, gab er auch schon grünes Licht.

Bereits vor Antritt der Reise hatten wir uns darauf geeinigt, von der Insel nur unter einem Rufzeichen, nämlich C93DY, zu funken. Da die Erstaktivierung einer derart gesuchten afrikanischen IOTA mit einem sehr hohen Aufwand verbunden ist, wollten wir möglichst vielen Inseljägern eine Chance zu einem Erstkontakt geben.

Binnen weniger Stunden hatten wir Antennen und Zelte errichtet. Danach folgte die erste Verbindung mit JA8MS. Uns blieb keine Zeit mehr, Atem zu holen, da unmittelbar nach dem ersten Funkkontakt ein ganz massives Japan-Pile-Up einsetzte. Die verwendete Cushcraft-Yagi (A3S) leistete dabei gute Dienste; wir mussten die Antenne nicht einmal mehr abstimmen. Dank dieses Beams gelangen mehr als 7000 Verbindungen von der Insel Chiloane.

Hinter dem Zaun standen dabei rund um die Uhr neugierige Dorfbewohner, die unser seltsames Treiben bestaunten. Abwechselnd funkten wir, erkundeten die Insel und



Ganz schön luftig: unser Funk-Shack auf der Insel Chiloane

Wir entschlossen uns zum Aufbau einer kleinen Funkstation, um als C93DY/mm ein paar Verbindungen zu tätigen. Dazu befestigten wir am Mast eine Drahtantenne und starteten einen auf dem Deck befindlichen Generator.

#### ■ Wir stechen in See

Als es dunkel wurde, bereiteten wir das Abendessen vor. Wir öffneten Büchsen, schnitten Brot und füllten unsere Gläser mit Wodka. Dann stießen wir fröhlich darauf an, immer sieben Fuß Wasser unter dem Kiel zu haben. Zu dieser Zeit wussten wir nicht, welche Überraschung das Meer noch für uns bereithalten würde.

Um 21 Uhr Ortszeit legten wir ab. Das Wetter war gut, das Meer ruhig und wir waren sicher, dass die rund siebenstündige Reise auf offener See keinerlei Probleme bereiten würde. Die meisten DXpeditionsmitglieder legten sich in Schlafsäcken auf das Deck. Nur Boris, UT7UT, funkte unermüdlich als C91UT/mm.

Gegen 2 Uhr morgens geriet unser Schiff in schwere See. Die Wellen stiegen so hoch, dass es schien, als ob das Schiff jederzeit kentern könnte. Schnell begaben wir uns ins Innere des Gefährts. Einige dachten: "Warum bin ich bloß hier? Ich könnte jetzt begannen sich indes ungesund grün zu verfärben. Besonders tapfer hielt sich unser jüngstes Teammitglied Max, UR7HTZ, der erst elf Lenze zählte.

#### ■ Ankunft auf Chiloane

Am nächsten Morgen beruhigte sich die See. Die Stimmung im Team besserte sich, obwohl die Fahrt schon 8 Stunden dauerte, ohne die Insel zu erblicken. Schlimmer noch, selbst mit guten Ferngläsern war kein Land zu sehen. Der Kapitän bestätigte, dass es aufgrund des Unwetters starke Kursabweichungen gegeben habe. Mittels GPS bestimmten wir die aktuelle Position selbst, doch auch das schien dem Kapitän nicht recht weiter zu helfen. Man bekam den un-



Mit diesen fröhlichen Kindern von Chiloane schlossen wir schnell Freundschaft.

inspizierten den herrlichen Sandstrand. Unser Schiff setzten wir zum Angeln ein, und die einheimischen Fischer unterstützten uns bei Ausflügen rund um die Insel. Bei einer derartigen Exkursion besuchten wir ein kleines Dorf. Dort spielten wir mit den Kindern Fußball. Man schloss schnell Freundschaft mit ihnen, und beide Seiten nahmen schöne Erinnerungen an diesen Tag mit.

Die vier Tage auf der Insel vergingen wie im Fluge. Wir verlängerten sogar noch um einen Tag. Am 1.8. sandten wir unseren Fahrer, Cossa, mit einem Jungen aus dem Dorf mit einem Boot nach Beira. Cossa sollte den Bus von Beira in ein Küstendorf fahren, das genau gegenüber der Insel Chiloane lag. Wir wollten dann am 2.8.05 mit Fischerbooten übersetzen. Auf diese Weise schlugen wir zwei Fliegen mit einer Klappe: wir konnten einen Tag länger auf der Insel verweilen und waren näher an Maputo, da das Dorf etwa 300 km von Beira entfernt in Richtung Hauptstadt lag.

#### ■ Abschied von Chiloane

Schließlich nahte unser letzter Tag des Aufenthaltes auf der Insel. Wir bauten die Antennen ab und packten zusammen. Unsere nicht verbrauchten Vorräte und den Generator überließen wir den Dorfbewohnern. um ihnen für ihre Gastfreundschaft zu danken. Dann bestiegen wir das Boot und sagten Chiloane auf Wiedersehen. Bereits nach einer Stunde landeten wir an der Küste in der Nähe des Dorfes Divinhe. Wir hofften, dass der Bus bereits auf uns warten würde, aber zu unserem großen Erstaunen wusste niemand etwas von einem Bus. Es blieb nichts anderes übrig, als zu warten. Der Bus kam einfach nicht. Inzwischen knurrten unsere Mägen, da wir den Großteil der Vorräte verschenkt hatten, und wir begaben uns in das Dorf. Für einen Dollar pro Stück ließ man uns zwei magere Hähnchen fangen. Allerdings konnten diese mickrigen Grillhähnchen nicht ein ganzes Zwölf-Mann-Team satt machen.

Bei einsetzender Dunkelheit schlugen wir ein Lager auf. Zum Glück hatten wir die Zelte und die Schlafsäcke nicht auch noch verschenkt. Hier erlebten wir echte afrikanische Romantik: Man hörte wilde Tiere heulen, das südliche Firmament war mit funkelnden Sternen übersät, und von zu Zeit zu Zeit leuchteten die Augen eines Schakals in der Nähe.

Am Morgen fanden wir ein Fahrzeug, dessen Fahrer uns zur Hauptstraße bringen wollte. Und noch einmal war uns das Glück hold: Auf dem Weg zur Hauptstraße trafen wir auf unseren Bus. Cossa war nicht minder froh, uns zu sehen, als wir froh waren, ihn zu erblicken. Er hatte sich verfahren. Mehr als 12 Stunden irrte er durch die

Savanne. Nachts hatte dann eine Horde Affen versucht, den Bus aufzubrechen und zu plündern.

Die Fahrt nach Maputo verlief ohne Probleme. Erschöpft kamen wir am 4.8. in der Hauptstadt an. Anscheinend sollten wir für Rufzeichen, nämlich Andy, 3DA0TM, und Willy, 3DA0BD. Sonst gibt es nur einige 3DA1-Rufzeichen. Diese Funkamateure dürfen nicht auf Kurzwelle funken, benutzen aber erfolgreich die örtlichen Repeater. In Andys Jeep war ein UKW-Funkgerät



Die Spannung im Team war hoch, als wir auf der Insel Chiloane endlich anlandeten.

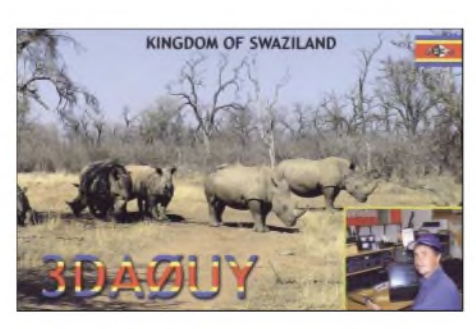
Fotos: UT5UY

all unsere Mühen belohnt werden: Das vermisste Gepäck war inzwischen unversehrt angekommen.

So machten wir während der verbleibenden Tage unseres Aufenthalts noch einmal unter C91CW Funkbetrieb. Hauptaugenmerk lag dabei auf den niederfrequenten Bändern. Einige Mitglieder des Teams machten noch für drei Tage einen Abstecher nach Swaziland, die anderen verweilten weiterhin in Maputo.

#### ■ Abstecher nach Swaziland

Es ist nicht verwunderlich, dass Swaziland die Schweiz Afrikas genannt wird. Das Land ist bergig und die Vegetation üppig. In der Hauptstadt Mbabane trafen wir Andy, 3DA0TM, der uns eingeladen hatte, bei ihm zu wohnen. An dieser Stelle danken wir Andy und Meri Cory herzlich für ihre Gastfreundschaft. Die Familie Cory lebt seit 30 Jahren in Afrika. Dank ihrer Hilfe durften wir in den drei Tagen unseres Besuchs die Pracht der afrikanischen Wild-



nis erleben. Obwohl wir sehr beschäftigt waren, konnte ich als 3DA0UY noch rund 150 Verbindungen machen. Die meisten dieser Kontakte gelangen von einem Ort, der 1300 m über dem Meeresspiegel liegt. Wir kamen zu diesem Platz, als wir Willy Long, 3DA0BD, den Präsidenten des Amateurfunkverbandes von Swaziland, besuchten. Es existieren nur zwei echte 3DA0-



Im "Hlane"-Nationalpark in Swaziland

eingebaut, dadurch konnte man etliche 3DA1-Rufzeichen arbeiten.

Auf dem Weg zurück nach Maputo besuchten wir den "Hlane" Nationalpark. Kein Geringerer als der König Mswati III selbst ist der Schirmherr dieses größten Wildparks von Swaziland, in dem Flusspferde, Löwen, Elefanten und andere Wildtiere zu bewundern sind. Als eine Herde von acht Nashörnern die Straße überquerte, mussten wir 15 min warten!

Am 7.8. ging es zurück nach Maputo, am 8.8. endete der Aufenthalt in Mosambik. Nur Andy, OK8ANM, funkte noch bis 10.8.05 unter dem Rufzeichen C91NM. Am Flughafen erwartete uns noch eine letzte unangenehme Überraschung, da man die Antennen nicht als Gepäck akzeptieren wollte. Unter diesen Umständen schien es günstiger, die Antennen in Maputo zurückzulassen, was wir letztlich auch taten.

Uns war trotz vieler Mühen die Erstaktivierung einer afrikanischen Insel gelungen und wir konnten vielen Funkamateuren zu einem seltenen IOTA-New-One verhelfen! Übrigens: Unsere Webseite sowie die Onlinelogs findet man unter www.dxer.com. ua/c9.

Übersetzung und Bearbeitung: Dr. Markus Dornach, DL9RCF

## Der FT-1802E von Yaesu – nicht nur für 2-m-Einsteiger

#### HERBERT SEEWALD

Noch ein 144-MHz-FM-Mobiltransceiver: Modellwechsel oder Weiterentwicklung? Unser Autor hat sich das neue, Ende letzten Jahres in den Handel gekommene, Yaesu-Mobilfunkgerät unter diesem Aspekt einmal genauer angesehen.

FM-Mobilgeräte gehören quasi zur Standardausstattung des Autos jedes Funkamateurs. Selbst wenn sich jetzt infolge der veränderten Gesetzeslage viele potenzielle Käufer mit DO-Präfix nach anspruchsvollerem Equipment umsehen, schreitet die technische Entwicklung weiter voran.

eine HF-Squelch zum Einsatz, mit der sich exakt der S-Meter-Wert festlegen lässt, ab welchem die Rauschsperre öffnet.

Während in der 1. ZF bei 21,7 MHz zwei 15 kHz breite zweipolige Quarzfilter für eine ausgezeichnete Selektion sorgen, sind in der 2. ZF für die beim 25- und 12,5-



Unter dem Gesichtspunkt eines Modellwechsels war der neue längst überfällig. Der Vorgänger FT-3000M kam 1996 in den Handel – zu einer Zeit also, zu der RoHS noch kein Thema war. Außerdem sind die Innovationen in dieser Geräteklasse beachtlich: Echolink und WiRES sowie APRS auf den VHF/UHF-Bändern bieten Möglichkeiten, die vor zehn Jahren undenkbar waren. Und schließlich zwingt die Bauelementeverfügbarkeit die Amateurfunkhersteller zu Neuentwicklungen.

#### **■** Empfänger

Der Frequenzbereich des Empfängers ist wie bei vielen FM-Geräten nicht auf das Amateurfunkband begrenzt. Zwischen 136 und 174 MHz können in FM diverse Funkdienste gehört werden, wobei die mitlaufende Vorselektion des Eingangsteils und die Scan-Funktionen einschließlich der zehn Speicherpaare für die Suchlaufeckfrequenzen sehr nützlich sind.

Vorteilhafterweise kommt bei dem als Doppelsuperhet ausgeführten Empfänger kHz-Raster unterschiedlichen Bandbreiten zwei verschiedene 450-kHz-Keramikfilter vorhanden.

#### ■ Sender

Die angegebenen 50 W HF-Leistung sind in dieser Geräteklasse Standard und reichen für den normalen FM-Funkverkehr in jedem Fall aus. Als Leistungsverstärker dient ein modernes MOSFET-Powermodul RA60H1317M von Mitsubishi, das laut Datenblatt 50 mW Eingangsleistung auf bis zu 60 W HF verstärken kann. Die HF-Leistung des FT-1802E ist in vier Stufen bis auf 5 W herabsetzbar, wodurch sich die maximale Stromaufnahme beim Senden auf unter 4 A senken lässt.

Das Mitsubishi-PA-Modul ist unempfindlich gegen Fehlanpassungen der Antenne und darf sich im Betrieb bis zu 110 °C erhitzen. Diese Eigenschaft nutzt Yaesu und realisiert die Wärmeableitung mit einem großen Aluminium-Spritzgusschassis. Ein nerviger Lüfter konnte unter diesen Umständen entfallen.

#### ■ Vielfältige Standardfunktionen

Der FT-1802E beherrscht CTCSS und DCS, und es ist auch möglich, CTCSS und DCS gleichzeitig oder CTCSS reverse zu nutzen – der Empfänger wird dann stumm geschaltet, wenn ein Signal mit dem passenden Subaudioton empfangen wird.

Immer wichtiger ist es, FM-Geräte im 12,5-kHz-Kanalraster betreiben zu können. Sendeseitig geschieht dies beim FT-1802E durch Hubreduzierung, beim Empfänger lässt sich die ZF-Bandbreite von 12 auf 9 kHz einschränken.

Bezüglich der Speichermöglichkeiten ist man mit 200 Speichern, die sich mit bis zu sechs Zeichen langen Namen versehen und acht Bänken zuordnen lassen, gut bedient.

#### ■ Extranutzen

Neben den Standardfunktionen dieser Geräteklasse bietet der FT-1802E noch ein paar interessante zusätzliche.

BCLO (Busy Channel Lock Out) wertet den Status der Rauschsperre aus und verhindert, dass man versehentlich auf einer belegten Frequenz sendet. Praktische Bedeutung erlangt diese Funktion, wenn die auf dem Kanal sendende Station CTCSS oder DCS verwendet und ihr Signal daher die Rauschsperre nicht öffnet.

Apropos CTCSS und DCS: Der FT-1802E ist auch für EPCS- und Klingel-Betrieb ausgelegt. Ersteres verwendet ein Subaudio-Tonpaar für gezielte Anrufe, zweites bietet eine akustische Signalisierung, wenn ein Anruf empfangen wird.

Die Passwortfunktion, die sich freilich nach dem Studium des Handbuchs leicht umgehen lässt, vereitelt das Einschalten und Funken durch ahnungslose Dritte.

ARTS (Automatic Range Transpond System) – also die Funktion, mit der sich periodisch und vollautomatisch prüfen lässt, ob Funkkontakt zu einer bestimmten anderen Station möglich ist – macht in bestimmten Situationen durchaus Sinn, wobei ARTS mit einem CW-IDer ergänzt wird, mit dem sich die gesetzliche Forderung erfüllen lässt, das eigene Rufzeichen zu nennen.

Und schließlich zeigt Yaesu, dass man es mit dem Amateurfunk ernst nimmt: Der FT-1802E kann zum CW-Training benutzt werden, wobei das Üben im Vordergrund steht, denn nur Tempo und Art der Texte sind wählbar. Lektionen, wie CW-Anfänger sie brauchen, gibt es leider nicht.

#### ■ Tasten, Knöpfe und Menüs

Was die Anzahl der Bedienelemente betrifft, ist der FT-1802E minimal ausgestattet. Kostendämpfend wirkt sich aus, dass sich das Bedienteil nicht abnehmen lässt



Blick von oben in das geöffnete Funkaerät. Gut zu erkennen sind das PA-Modul, die Spulen des Ausgangstiefpasses, die Abschirmung der PLL sowie die Filter

> Fotos: Werkfoto: Seewald

der 1. und 2. ZF.

und auf Spielereien, wie etwa wählbare Displayfarben, verzichtet wurde.

Großzügig zeigt sich Yaesu hingegen beim mitgelieferten Mikrofon, mit dem sich nicht nur Arbeitsfrequenzen direkt eingeben oder DTMF-Töne senden lassen. Darüber hinaus besitzt es vier im Set-Modus programmierbare Funktionstasten, die freilich werkseitig vorprogrammiert sind - Taste P4 beispielweise dient von Haus aus als 1750-Hz-Tonruftaste. Nachtfahrenden Mobilfunkern dürfte eine weitere Taste besonders wichtig sein, über die sich das Mikrofon illuminieren lässt.

Der Set-Modus des FT-1802E umfasst stattliche 59 Menüpunkte, deren sinnfällige Abkürzungen nach 1 s langem Drücken der MHz/Sat-Taste im gut ablesbaren großen Display erscheinen.

Die einzelnen Menüpunkte sind alphabetisch – also nicht nach ihrer Funktion – geordnet, sodass man gut beraten ist, zum Ändern von irgendwelchen Grundeinstellungen das Handbuch zuhilfe zu nehmen. Die Auswahl der Menüpunkte erfolgt mit dem Abstimmknopf, ihre Aktivierung wiederum mit der MHz/Sat-Taste und die Einstellungen innerhalb der Menüs ebenfalls mit dem Abstimmknopf. Einfacher geht es wirklich nicht.

Beim Studium der 86-seitigen Anleitung fallen beim Set-Modus einige ungewöhnliche Menüs auf, wie z. B. die Einstellbarkeit der Mikrofonverstärkung, was den Anschluss anderer Mikrofone ermöglicht.

#### ■ Speicherbetrieb und Suchlauf

Yaesu setzt beim FT-1802E auf ein bewährtes Konzept, das bei allen neueren Yaesu-FM-Geräten zum Einsatz kommt. Dieses umfasst die Smart-Search-Funktion, die Möglichkeit, Speicher alphanumerisch zu bezeichnen, Speicherbänke, das Memory-Tuning und die Maskierung von Speichern. Hinzu kommt eine spezielle Memory-Only-Funktion, die aktiviert werden kann, wenn man die Betriebsmöglichkeiten auf einige Kanäle beschränken will.

#### ■ WiRES, Echolink und Packet

Verständlicherweise setzt Yaesu beim FT-1802E auf den hauseigenen Internet-Standard WiRES, für den es im Set-Modus vier spezielle Menüs gibt.

DTMF-Sendegeschwindigkeit und -Verzögerung – programmiert werden. Packet-Radio geht leider nur mit 1200 bps.

#### ■ 50 W ohne Lüfter

Die Überprüfung des Musters (FT-1802M, SN 5L000019) ergab, dass der Transceiver die spezifizierte HF-Leistung von 50 W erreicht. Bei auf 10 V abgesenkter Betriebsspannung funktionierte der Empfänger noch einwandfrei, gesendet werden konnte aber nicht mehr.

Beim Senden mit voller Leistung erhitzte sich die Rückseite deutlich. Weil kein Lüfter eingebaut ist, sollte man die TOT-Funktion, die den Sender nach einer voreingestellten Zeit automatisch abschaltet, nicht deaktivieren. Testweise wollte ich ermitteln, ob der Sender über eine thermische Schutzschaltung verfügt. Nach 15 min "Vollgas" habe ich abgebrochen – immer waren 50 W am Lastwiderstand zu messen und das Chassis war inzwischen 65 °C heiß. Die über den Set-Modus einschaltbare Anzeige für die Innentemperatur zeigte während des Tests Grad Fahrenheit an. Leider hatte der Anzeigewert nach Umrechnung – rein gar nichts mit der Realität zu tun. Hoffentlich ein Exemplarfehler ...

#### ■ Fazit

Yaesu hat mit dem FT-1802E seine Mobiltransceiverpalette am unteren Ende der Preisskala abgerundet und zugleich modernisiert. Verglichen mit den 2-m-Konkurrenzprodukten von Alinco, Icom und Kenwood ist der FT-1802E ein Schnäppchen. Obwohl es sich um ein Einbandgerät handelt, sind alle wichtigen Features stan-

Der FT-1802E und die 2-m-Monoband- Konkurrenten	-MSSST -			
	FT-1802E	DR-135E	IC-2200H	TM-271E
Hersteller	Yaesu	Alinco	Icom	Kenwood
Jahr der Markeinführung	2005	2000	2005	2003
Leistung [W]	50, 25, 10, 5	50, 10, 5	65, 25, 10, 5	60, 25
Empfangsbereich [MHz]	136 174	144 146	118 174	136 174
FM-N (RX/TX)	●/●	<b>(</b>	●/●	●/●
CTCSS	•	•	•	•
DCS (DTCS)	•	•	•	•
DTMF (Coder/Decoder)	•/ 0	•/ ○	●/optional	•/ 0
Straßenpreis (9/06)	169 €	209 €	265€	275 €

Dank des mitgelieferten DTMF-Mikrofons ist das hierzulande verbreitete Echolink problemlos nutzbar – einen 2-m-Zugang in der Nähe natürlich vorausgesetzt. Als äußerst praktisch erweisen sich dabei die neun DTMF-Automatik-Wahlspeicher, mit denen es überflüssig wird, die Node-Nummern der meistgenutzten Repeater manuell einzugeben. Außerdem können im Set-Modus zwei wichtige Parameter –

dardmäßig vorhanden, die mit einer ganzen Reihe nützlicher Zusatzfunktionen ergänzt werden. Wer also ein preiswertes, einfaches Gerät anschaffen will, ist mit dem FT-1802E sehr gut bedient!

- [1] FA-Typenblatt: FT-1802E, VHF-FM-Transceiver, FUNKAMATEUR 55 (2006) H. 7, S. 803-804
- [2] Operating Manual FM-Transceiver FT-1802M, Vertex Standard Co. Ltd, 2005

## Wie gut, wie stark, wie rein? 72 Jahre RST-System

#### **WOLF HARRANTH - OE1WHC**

Die heute im Amateurfunk verwendeten RST-Rapporte als einfache Möglichkeit zur Bewertung von Verbindungen dürften jedem geläufig sein. Doch in den Anfangstagen waren verschiedene Systeme im Einsatz, die zum Teil sehr unterschiedlich angewandt wurden.

Als beim Funken noch im wahrsten Sinne des Wortes die Funken sprühten, beschrieben die Pioniere der neuen Kunst einander ihre Kommunikationserfolge in epischer Breite und mit der obligaten Kampflosung: "Sparks forever!" Doch der Fortschritt der Technik und der Siegeszug der QSL-Karte forderten bald prägnante Angaben und systematische Kürze. Für die Bewertung der Verbindung und die ergänzenden Angaben griff man zunächst auf die im kommerziellen Telegrafie-Verkehr üblichen Betriebsabkürzungen zurück. Die ARRL, schon damals Maßgeber der Faktensetzung, passte einige Kürzel nach Bedarf und Gutdünken an die Belange des Amateurfunks an.

Wer heute eine QSL-Karte der Frühzeit betrachtet, stößt auf so manche für uns unund wurde 1925 von der ARRL offiziell empfohlen.

## ■ 1925: Verwirrung um R, QSK und QSA

Der wichtigste Parameter war also nun QRK, die Lesbarkeit bzw. englisch readability der Zeichen. Das genügte für die stolzen Erfolgsmeldungen im QSO oder im Bulletin. Jedoch waren Rapporte à la 5ur wkd eakd R2-R7 nicht als Indikator für die Signalstärke und die Verständlichkeit verwendbar. Bald bürgerte sich daher der zusätzliche Hinweis ein, worauf die im Kopfhörer erzielte Lautstärke beruhte. Und so wurde der benutzte Empfängertyp bald Bestandteil des Empfangsberichts: QRK=R7 on 0-V-2.



Eine typische QSL der Frühzeit

verständliche Kombination – einige Beispiele zeigt die Tabelle 2 aus [1]. Wir sollten uns freilich vergegenwärtigen, wie damals eine Funkverbindung zu Stande kam und ablief: Erst rief man minutenlang CQ, klemmte dann den Sender ab, koppelte den Empfänger an die Antenne und drehte übers Band, in der Hoffnung, dass jemand die Zeichen nicht nur aufgenommen hatte und nun auf seiner Frequenz antwortete, sondern auch zu hören war.

Für die eigene Frequenz stand als ungefähre Angabe QRH, offiziell der Indikator für Frequenzschwankungen, etwa in der Art *QRH abt 43 m.* Die Arbeitsfrequenz der Gegenstation wurde mit QSS bewertet. Auftretende Veränderungen im Verlauf der Verbindung kommentierte man mittels QSSS, wie z. B. *QSSS later R3*. Die neunstufige R-Skala setzte sich rasch durch

Irgendjemand begann eines Tages damit, nach dem R-Wert einen zweiten für die Hörbarkeit, im Englischen audibility, anzuführen. Und dieser QSA-Code etablierte sich parallel zu QRK. So stand z. B. QSA R8 für eine Empfangssituation, die besagt: Ihre Zeichen können aus dem Kopfhörer noch aus mehreren Fuß/Metern Abstand aufgenommen werden. Man beurteilte somit die Hörbarkeit nicht nach der tatsächlichen Signalstärke, sondern nach dem Ergebnis der Verstärkerleistung im Empfänger.

der Verstärkerleistung im Empfänger. Doch für die Bewertung der Tonqualität gab es bis zu diesem Zeitpunkt überhaupt keine Vereinbarung. QSB – für uns heute die Angabe schwankender Stärke der Zeichen – wurde mit T analog zu R eingestuft oder mit Kürzeln bedacht, wie dc für einen Gleichstromton (engl.: direct current), ac für einen Wechselstromton (engl.: alternating current)

oder einfach mit gd oder bd für gut bzw. schlecht. Rapporte sahen dann beispielsweise so aus:  $QSB = dc \ vy \ gd$ , QSB = T5 some ac. Manche Stationen verzichteten gleich ganz auf Q-Gruppen und ersetzten sie durch Angaben wie ur Aud, Audio, Tone, Strength, Conditions oder dergleichen. Für QRN und QRM behalf man sich mit generellen Angaben wie nil oder vy.

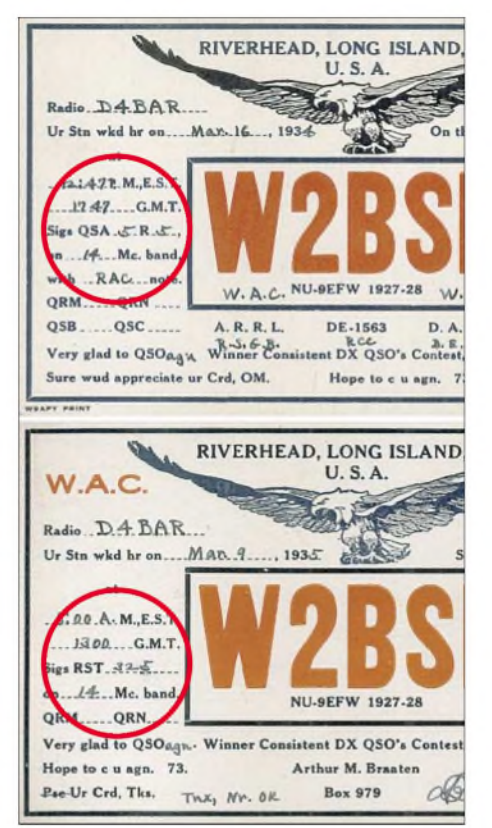
### ■ 1934: Arthur M. Braatens rettende Idee

Man hatte zwar erkannt, dass der herrschende Zustand, das WRT-System, unbefriedigend war, fand sich aber offenbar längere Zeit damit ab. Dann aber löste D. C. Redgrave, KA1NA, mit einem leidenschaftlichen Appell in [2] für ein neues System eine heftige Debatte aus. Redgrave berief sich auf den 1926 von der RCA für Großstationen eingeführten Trajfic FRAME Code. FRAME ist ein Akronym aus Frequency (Frequenz), Relative Strength (relative Stärke), Amplitude Variation (Amplitudenvariantion), Musicality of Note (Musikalität der Zeichen) und Estimated Readability (geschätzte Lesbarkeit). Reduziert auf die ersten vier, jeweils neunstufigen Werte, böte ein FRAM-Rapport brauchbare Schätzwerte, so seine Argumentierung.

Daraufhin meldeten sich einige Funkamateure mit Änderungsvorschlägen und eigenen Ideen zu Wort. Einer von ihnen war Arthur M. Braaten aus Riverhead auf Long Island im Bundesstaat New York. Lizenziert im Juli 1929 als NU9EFW und ab April 1931 als W2BSR, war er auch Mitglied beim DASD und ist in den Rufzeichenlisten zu finden als DE1563 und D4KAN. Gemeinsam mit G. S. Wickizer, W2DOG, hatte er bereits früher ein simples, aber sinnvolles System ausgetüftelt und zunächst ohne erkennbare Reaktionen im T&R Bulletin vorgestellt. Als er seinen Vorschlag jedoch im Oktoberheft 1934 der QST [3], dem Magazin der mächtigen ARRL, wiederholte, erntete er sofort durchschlagenden Erfolg.

Auch Arthur war vom FRAME-Code ausgegangen; seine Königsidee war aber, sämtliche Angaben auf nur drei Parameter zu konzentrieren: auf die Lesbarkeit, die Signalstärke und die Tonqualität. Arthur eröffnete seinen Vorschlag mit einem griffigen Argument, das belegte, wie absurd das bislang eingeführte System war. QSA3 R7 T5 bedeutet, genau genommen: Ihre Signalstärke ist mittel, lesbar, jedoch mit Schwierigkeiten, Ihre starken Zeichen können trotz QRM und QRN gut gelesen werden und es ist ein mäßig klingender Wechselstromton.

Und er folgert: "Schon mit den gegenwärtigen Anlagen sind Angaben über Frequenzstabilität und dergleichen entbehr-



Zwei QSLs von W2BSR - nach dem alten (oben) und dem neuen (unten) System.

lich, auf Fading, atmosphärisches Rauschen und störende Sender haben wir keinen Einfluss - dies alles lässt sich unter Readability mit R1-5 subsummieren." Und weiter riet er: "Statt der erzielbaren Lautstärke sollten wir nun als zweites die ankommende Signalstärke bewerten, wobei Signal Strength von einem Bestwert S = 5ausgeht und bis S = 1 entsprechend abgestuft wird. Das gewährleistet verlässliche und vergleichbare Werte, unabhängig vom Empfänger der Gegenstationen. ... Eine eindeutige Bewertung der Tonqualität ist kaum zu verwirklichen. Aber die im FRA-ME-Code getroffene Abstufung, die – für Amateurbetrieb leicht modifiziert - T1-9 vorsieht, deckt so gut wie alle Möglichkeiten ausreichend ab." Und Arthur schließt: "RST ist die einfachste Sache der Welt. Wir müssen bloß die Reihenfolge einhalten und uns bei Bedarf mit einfachen erläuternden Zusätzen wie "ur RST 3 5/2 8 QRN" begnügen."

Das RST-System wurde von der ARRL per 27. September 1934 für den eigenen Bereich eingeführt, also noch vor der Veröffentlichung des Beitrages, und zunächst von anderen Verbänden freiwillig übernommen, so auch vom ÖVSV [4].

#### Der DASD macht nicht mit

Bedingt durch die grundlegende Umstellung des deutschen Verbandes im NS-System (Auflösung, Neugründung und Eingliederung in die Reichskulturkammer) wird das Thema erst mit Verspätung aufgegriffen. Im Mitteilungsblatt der Hauptverkehrsleitung vom Mai 1935 [5] erläutert Rudi Hammer, D4CAF, das neue System, das er als "von der ARRL amtlich eingeführt" bezeichnet, und schließt mit dem Aufruf: "Also OMs, benutzt eifrig die neue Code und gebt jeden, der das neue RST-System noch nicht kennt, die nötige Auskunft. Hoffen wir alle mit unserem deutschamerikanischen Freunde W2BSR RST599X verkehren zu können, um ihm für seine praktischen Code zu danken."

Das Dementi folgt bereits einen Monat später. In den Mitteilungen der DASD-Leitung [6] wird klargestellt, dass der DASD das vorläufig "nur als Vorschlag" unterbreitete System nicht anerkenne: "Der DASD vertritt den Standpunkt, dass das alte WRT-System, insbesondere mit seiner neunteiligen R-Skala, unbedingt beibehalten werden muss, zumal gerade die Lautstärken-Beurteilung in der jetzigen Form auch in wissenschaftlichen Kreisen Anklang gefunden hat... Das RST-System ist jedenfalls nicht zu verwenden, solange dasselbe nicht offiziell von der IARU eingeführt wird."

Der DASD erhob bei der IARU Einspruch gegen die fünfteilige Lautstärkenskala, reklamierte den Erfolg hinterher für sich, legte aber dennoch in [7] fest: "Da von seiten des DASD kein Grund erkannt wird, in dem bisherigen WRT-System irgendwelche ... Mängel zu sehen, ... hat der Präsident entschieden, dass von den deutschen Amateuren nach wie vor das WRT-System anzuwenden ist."

#### Tabelle 1: Definition der Tonqualität 1934 und heute T 1934 heute extrem rauer, zischender Ton reiner Wechselstromton bis 50 Hz sehr rauer Wechselstromton ohne jeden Klang reiner Wechselstromton bis 150 Hz rauer Wechselstromton, etwas klingend Netzwechselstromton, leicht klingend gleichgerichteter Wechselstrom, schlecht mäßig klingender ziemlich rauer Wechseltromton gefiltert musikalisch klingender Ton musikalisch modulierter Ton modulierter Ton mit einer Brummspur Trillerton fast reiner Gleichstrom mit geglätteter Brummunstabiler Gleichstrom überlagerung Gleichstromton mit Brummspur stabiler Gleichstrom mit etwas Brummmodulareiner Gleichstromton reiner Gleichstromton

#### Tabelle 2: Einige 1926 gebräuchliche Abkürzungen kommerzieller Dienste

#### Im Schiffsverkehr

- Welches ist der Name Ihrer Station? ORA QRG Welcher Gesellschaft bzw. Schiff-
- fahrtslinie gehören Sie an? ORH Wie groß ist Ihre genaue Welle?
- ORK Wie ist Ihr Empfang?
- ORL. Soll ich 20-mal vvv geben?
- QRY Wann bin ich an der Reihe?
- QRZ Sind meine Zeichen schwach? **QSA** Sind meine Zeichen stark?
- OSB Ist mein Ton schlecht?
- OSL Haben Sie Quittung erhalten?
- **QSS** Haben Sie Fading?
- **QSSS** Schaukelt meine Welle?
- OTF
- Welches ist meine geographische Lage?

#### Im Überseeverkehr

- Wie sind die Empfangsbedingungen? ZHC
- 7511 Ihre Signale sind unlesbar.
- **ZWR** Ihre Signale sind schwach, aber lesbar.
- **ZMR** Ihre Signale sind mittelmäßig und lesbar.
- ZSR Ihre Signale sind stark lesbar.
- ZGS Ihre Signale werden stärker.
- ZGW Ihre Signale werden schwächer.
- ZSH Hier starke Luftstörungen.
- ZRO Empfangen Sie bestens? ZOK
- Wir empfangen Sie bestens.
- ZSB Ihre Signale sind unrein.
- ZSF Senden Sie schneller.
- ZMQ Warten Sie.

#### Tabelle 3: Bewertung der Modulation im RSM-System

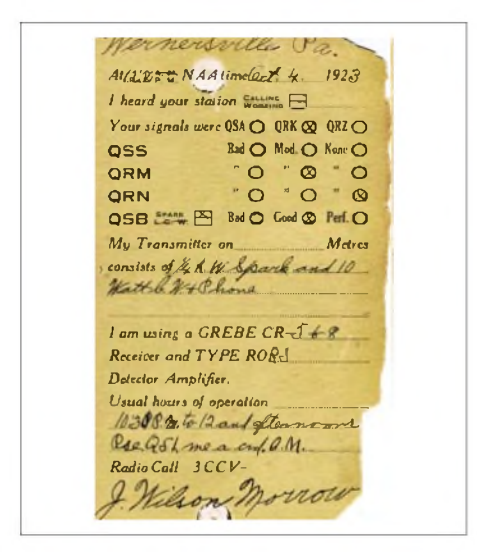
- 1 unverständliche Modulation
- 2 schlechte Modulation, hervorgerufen durch wilde Schwingungen oder unbekannte Ursachen
- schlechte Modulation infolge FM-Anteils
- 4 Übermodulation
- 5 gute Modulation, 100 % werden nicht überschritten

Offiziell wurde diese Verordnung bis 1945 nicht aufgehoben, aber bei den Angaben für internationale Wettbewerbe werden RST und WRT von nun an Seite an Seite genannt.

#### ■ Internationale Anerkennung

Als die IARU - und somit de facto die ARRL – das System den Ländersektionen zur Begutachtung vorlegte, lehnten diese es mehrheitlich ab, sodass die IARU ihren Antrag zurückzog und es vorübergehend beim alten neunstufigen WRT-System blieb, siehe [8].

Der IARU-Vorschlag fand erst Zustimmung, als auch der RST-Code auf neun R-Stufen erweitert wurde, gegen den Willen von Arthur M. Braaten, der nach wie vor der Meinung war: "Mehr als fünf Stufen sorgen bloß für Verwirrung." S1, S2, S3, S4, S5 alt entsprechen seitdem S1, S3, S5, S7, S9 neu. Zu einem formellen IARU-Beschluss kam es jedoch nicht. Noch im ARRL-Handbook 1936 [9] heißt es lapidar zu RST: "Der gegenwärtige Standard wird für den Gebrauch empfohlen." Dabei ist es bis heute geblieben. So formuliert etwa



Ausschnitt aus einer typische QSL der 20er-Jahre

die IARU in den Technischen Empfehlungen für die Region 1 [10]: "Es gibt keinen offiziellen Standard für die Rapporte. Aber das ... RST-System ist weit verbreitet."

#### ■ Die weitere Entwicklung

Bis heute folgt die RST-Skala im Grunde dem 1934 entwickelten System. Und das bedeutet, dass man allerlei Kniffe finden und Kompromisse eingehen musste, um mit der technischen Entwicklung Schritt zu halten

R ist unverändert in Gebrauch als subjektive Bewertung, die sich einer nachvollziehbaren Normierung weiterhin entzieht. Als Mitte der 50er-Jahre die Geräteindustrie begann, Bausätze und Fertiggeräte anzubieten, die nun alle mit einem S-Meter ausgestattet waren, stellte sich die Frage, nach welchen Kriterien das Messinstrument kalibriert werden sollte. Die Firmen Collins und Drake hielten sich, wenn auch nicht konsequent, an eine Regel, die 1978 von der IARU-Konferenz in Ungarn für die Region 1 zunächst nur zur Veröffentlichung in den Amateurfunkmagazinen angenommen wurde: Eine S-Stufe entspricht 6 dB und S9 entspricht 50 μV Signalspannung am Empfängereingang bei einer Antennenanpassung von 50 Ω. Bei der nächsten Tagung, 1981 in Brighton, wurde diese Empfehlung [11] als verbindliche Grundlage für Geräteproduzenten beschlossen mit der – nur anders formulierten – Festlegung, dass S9 der Leistung eines Signalgenerators am Empfängereingang von -73 dBm gleichzusetzen sei.

Dies bezog sich aber nur auf die Kurzwellenbereiche. Für Frequenzen über 144 MHz war längst eine andere Regelung in Gebrauch: Die UKW-Referenten der Region 1 hatten bei einer Tagung in Brüssel im November 1955 auf Vorschlag von PA0BL die Vorgabe des Physikalischen Laboratoriums in Den Haag für dessen Referenz-

station PE1PE übernommen, siehe [12]: "S5 gleich  $0.5~\mu V$  und S9 gleich  $5~\mu V$ , bezogen auf eine Anpassung an  $75-\Omega$ -Kabel."

Diesen Beschluss verifizierte die IARU 1981 dahingehend, dass S9 für Frequenzen über 144 MHz mit –93 dBm definiert wurde. 1990 beschäftigte sich die IARU bei der Konferenz von Torremolinos abermals mit dieser Frage [13] und bestätigte ausdrücklich die 1981 in Brighton getroffene Lösung, allerdings auch bei UKW mit 6 dB pro S-Stufe, aktuell nachzulesen in [17]. Die Geräteindustrie wurde überdies angeregt, S-Meter für UKW nach dem thermischen Rauschen zu kalibrieren – ein Appell, der offenbar ungehört verhallte.

Die größte Unschlüssigkeit herrschte bei der Bewertung von T, als sich in den Funkbuden zur Morsetaste das Mikrofon gesellte. Wie modifiziert man ein System, das für CW geschaffen wurde, für Fonie? Für AM, später für SSB, war die bisherige

Tabelle 4: S-Stufen im KW-Bereich (≤30 MHz)

H.

3-Stute	URX	■ RX	1 RX
1	200 nV	800 aW	-121 dBm
2	400 nV	3,2 fW	-115 dBm
3	816 nV	12,8 fW	-109 dBm
4	1,58 μV	50 fW	-103 dBm
5	3,16 µ V	200 fW	-97 dBm
6	6,32 μV	800 fW	–91 dBm
7	$12,7 \mu V$	3,2 pW	-85 dBm
8	25,3 μV	12,8 pW	−79 dBm
9	50,0 μV	50 pW	-73 dBm
9+ 5 dB	88,9 μV	158 pW	−68 dBm
9+10 dB	158 µ V	500 pW	−63 dBm
9+15 dB	281 μV	1,58 nW	−58 dBm
9+20 dB	500 μV	5 nW	-53 dBm
9+25 dB	889 µ V	15,8 nW	−48 dBm
9+30 dB	1,58 mV	50 nW	-43 dBm
9+35 dB	2,81 mV	158 nW	−38 dBm
9+40 dB	5 mV	500 nW	-33 dBm
9+45 dB	8,89 mV	1,58 µW	−28 dBm
9+50 dB	15,8 mV	5 μW	-23 dBm
9+55 dB	28,1 mV	15,8 μW	−18 dBm
9+60 dB	50 mV	50 μW	−13 dBm

Tabelle 5: S-Stufen im UKW-Bereich (>30 MHz)

5-Stute	$U_{RX}$	$P_{RX}$	$P_{RX}$
1	20 nV	8 aW	-141 dBm
2	40 nV	32 aW	-135 dBm
3	80 nV	128 aW	-129 dBm
4	158 nV	500 aW	-123 dBm
5	316 nV	2 fW	-117 dBm
6	632 nV	8 fW	-111 dBm
7	1,26 µV	32 fW	-105 dBm
8	2,53 μV	128 fW	−99 dBm
9	5 μ V	500 fW	-93 dBm
9+ 5 dB	8,89 μV	1,58 pW	-88 dBm
9+10 dB	15,8 μV	5 pW	-83 dBm
9+15 dB	28,1 μV	15,8 pW	−78 dBm
9+20 dB	50 μV	50 pW	-73 dBm
9+25 dB	88,9 μV	158 pW	−68 dBm
9+30 dB	158 μV	500 pW	-63 dBm
9+35 dB	281 μV	1,58 nW	−58 dBm
9+40 dB	500 μV	5 nW	-53 dBm
9+45 dB	889 μV	15,8 nW	−48 dBm
9+50 dB	1,58 mV	50 nW	-43 dBm
9+55 dB	2,81 mV	158 nW	−38 dBm
9+60 dB	5 mV	500 nW	-33 dBm

Bewertung der Tonqualität ungeeignet. Im Mai 1953 tagte die Gründungskonferenz der IARU-Region 1 in Lausanne. Die von der Tagungsleitung eingesetzte Technische Kommission befasste sich eingehend mit dem Thema und empfahl, im Sprechfunk den RST-Code durch ein RSM-System abzulösen, in dem M für eine fünfstufige Beurteilung der Modulation stand, siehe Tabelle 3 aus [14]. Ende 1954 wurde der Vorschlag nach Abstimmung mit 22 gegen die drei Stimmen der USA, Argentiniens und Uruguays angenommen.

Wie wir wissen, hat sich diese Regelung nicht durchgesetzt; stattdessen entfiel in der Praxis der dritte Wert ersatzlos. T bleibt nach wie vor ein subjektiver Wert. Wie Tabelle 1 zeigt, fasst man heute lediglich die Definitionen etwas verbindlicher. In [15] wurden z. B. die mit den Systemen für FAX (PST) und Meteor-Scatter ergänzten Beurteilungen veröffentlicht. Ein nachgestelltes X steht seit 1934 für kristallreinen Ton. Später eingeführt wurden weitere Zusätze: 1947 das C für Chirps, 1952 das K für Tastklicks und 1990 in [16] A für Aurora, S für Regenscatter und M für Mehrpfadausbreitung. Die Tabellen 4 und 5 zeigen der Vollständig-

keit halber die Zuordnung der S-Stufen in Frequenzbereichen unterhalb und oberhalb  $30\,\mathrm{MHz}$  zu den am Empfänger anliegenden Spannungen und Leistungen bei einer Eingangsimpedanz von  $50\,\Omega$ .

Die im Beitrag zitierten Unterlagen [1] bis [17] befinden sich im Zeitschriftenarchiv und in der QSL-Collection im Dokumentationsarchiv Funk. office@qsl.at

#### Literatur

- [1] Wunder, R.: Die kurzen Wellen, Sende- und Empfangsschaltungen. Verlag Julius Springer, Leipzig 1926
- [2] Redgrave, D. C., KA1NA: A New System of Signal Reports. QST 18 (1934) H. 8, S. 55
- [3] Braaten, A. M., W2BSR: A New Standard System of Reporting Signals. Use the R-S-T-System! QST 18 (1934) H. 10, S. 18 ff
- [4] DASD: MB. Berlin, Mai 1935
- [5] DASD: MB HVL. Mai 1935, S. 76
- [6] DASD: MB HVL. Juni 1945, S. 93
- [7] DASD: MB HVL. Oktober 1935, S. 154
- [8] ÖVSV: OEM, Nr. 11, September 1935
- [9] ARRL: Handbook 1936, S. 323
- [10] IARU: Technical Recommendations of IARU. Region 1, Oktober 1999, S. 3
- [11] IARU: Recommendation R.1, R.2. Brighton 1981 [12] N.N.: Punkt 4 des Protokolls. DL-QTC, 27 (1956)
- H. 2, S. 83
- [13] IARU: Recommendation R.1. Torremolinos 1990
- [14] IARU: Protokoll der Technischen Kommission. 1st Regional Conference, Lausanne 1953
- [15] Schwarz, H., DK5JI: Handbuch f
  ür den Funkamateur 2006. DARC-Verlag, Baunatal 2006, S. 39–40
- [16] IARU: Recommendation R.21. Torremolinos
- [17] IARU: Standardisation of S-Meter Readings. Technical Recommendation R.1, IARU Region 1 VHF Manager's Handbook, Version 5.11 vom 7. 8. 2006, S. 156, www.iaru-r1.org/VHF\_Handbook\_V5\_11.pdf

## HAARP: Leuchtreklame am Himmel oder Krieg im All?

**WOLF-DIETER ROTH - DL2MCD** 

Das HAARP-Projekt in Alaska strahlt auf Kurzwelle in die Ionosphäre, um diese zu erforschen. Dabei wird jedoch nicht nur wie gewohnt die MUF bestimmt – es handelt sich schließlich auch um militärische Forschung. Gebündelte KW-Aussendungen sollen die Ionosphäre "aufheizen" und modulieren. Zumindest ein Nordlicht wurde nun erfolgreich mit einer "persönlichen Note" versehen.

HAARP steht nicht nur für englisch "Harfe", sondern ist eine Abkürzung für High Frequency Active Auroral Research Program – aktives Hochfrequenz-Nordlichtforschungsprogramm. Das Projekt [3] wurde vom US-Militär in Alaska stationiert und bezeichnet seine Aufgabe selbst folgendermaßen: HAARP is a scientific endeavor aimed at studying the properties and behavior of the ionosphere, with particular emphasis on being able to understand and use it to enhance communications and surveillance systems for both civilian and defense purposes.

Es sollen somit neue Kommunikationsund Überwachungssysteme – also Funk und Radar – für zivile und militärische Anwendungen weiterentwickelt werden. Dies klingt zunächst harmlos, denn KW-Funk wird auch heute noch zivil und militärisch genutzt. Die Ionosphäre mit KW-Aussendungen zu vermessen ist seit Jahrzehnten geht weniger ums passive Vermessen als ums aktive Verändern der Ionosphäre.

Dabei sind recht abstruse Techniken im Gespräch; so soll HAARP beispielsweise ein Loch in die Ionosphäre brennen, um durch dieses anschließend in einer Art Riesen-FET oder -elektronenröhre die darüber liegenden Partikelströme zu modulieren und so einen gigantischen Verstärker samt Antenne für besonders langwellige Funkwellen (*ELF – Extremely Low Frequencies*) zu konstruieren. Diese durchdringen auch Wasser und sollen so der Kommunikation mit U-Booten dienen. Einer anderen Theorie nach soll ein Radar

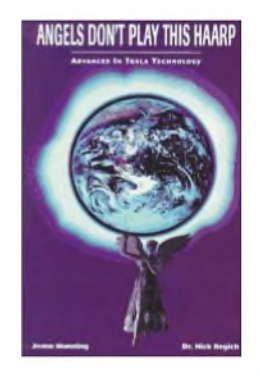
Einer anderen Theorie nach soll ein Radar entstehen, das mit langen Wellen nicht nur als Überhorizont-Radar arbeitet, sondern auch noch unterirdische Höhlen findet. Ebenso sind Klimabeeinflussungen denkbar und die Erzeugung eigener Nordlichter. Und auf jeden Fall ein Lahmlegen des KW-Funkverkehrs, der ja normalerweise weni-

Mit einer effektiven (gebündelten) Strahlungsleistung von 95 MW wurde ein Areal von 26 × 37 km² in etwa 100 km Höhe auf 5,95 MHz befunkt. Der große Kreis ist der Horizont, der kleine die angestrahlte Region. Die beiden Fotos sind im Abstand von 5 s aufgenommen.

Foto: Pedersen, Gerken ger anfällig für mutwillige Zerstörungen ist als Satelliten, die in einem "Star Wars"-Szenario als erstes matt gesetzt würden.

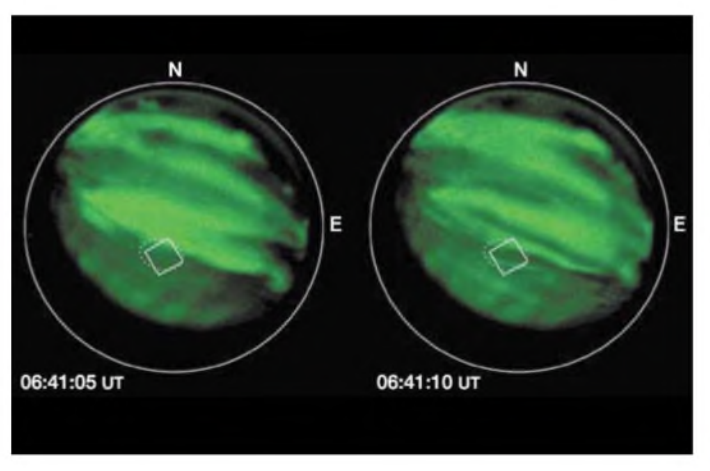
#### **■** Bombenstimmung im Weltall

Ab 1958 schafften die Militärforscher allerdings, mit roher Gewalt in Form von in die Ionosphäre geschossenen Megatonnen-Wasserstoffbomben statt heute Megawatt-Sendern alle drei Dinge auf einmal zu realisieren: Als Vorläufer des *Star Wars*-Projekts wurden im gerade entdeckten Van-Allan-Gürtel in der Ionosphäre gezielt starke Wasserstoffbomben zur Explosion gebracht, um mit den dadurch massiv freigesetzten Elektronen und Ionen wirksame "Strahlenwaffen" gegen feindliche Raketen und Satelliten zu erzeugen.



Kritisches Buch über die Gefahren erdumspannender Tesla-Versuche [9]

Die Folgen: Künstliche Nordlichter in der Südsee, kompletter Ausfall des Funkverkehrs und die – unbeabsichtigte – Verwandlung der ersten, gerade erst gestarteten Telekommunikationssatelliten Telstar in verstrahlten Elektronikschrott. Die Wissenschaftler protestieren, doch es fiel seitens der Militärs nur die flapsige Bemerkung "Das wird den Van-Allen-Gürtel nicht beschädigen – sagt Dr. Van Allen". Erst am 1.10.1958 startet der spätere Präsident Johnson auch die zivile wissenschaftliche Raumforschung mit der Gründung der NASA. Deshalb wird HAARP gerne als das "kleinere Übel" akzeptiert, bleibt aber umstritten: Ein Array von 180 Antennen mit insgesamt mehreren Megawatt gerichteter Sendeleistung kann zwar keine echten Löcher in die Atmosphäre schießen, ist aber



üblich, um Werte wie die aktuelle MUF (engl. *Maximal Usable Frequency*, höchste nutzbare Frequenz) zu bestimmen [4].

#### HAARP: Ionosphärenforschung militärisch

Doch dafür gibt es schon andere Forschungsstationen, von der Deutschen Welle in Jülich über Juliusruh [6] bis zu EIS-CAT [5] in Norwegen, Schweden und Finnland. Und auch wenn HAARP tatsächlich Ionosphärenmessdiagramme liefert, so ist dies nur ein Nebenprodukt des Projekts. Es

Webcam-Aufnahme des HAARP-Antennenfelds am 27. März 2005, 13:11:08 Alaska Time, 22:11:08 UTC Foto: HAARP



dennoch in den falschen Händen beängstigend. Die bei HAARP arbeitenden Wissenschaftler hielten sich über ihre in den Militärbereich fallenden Forschungsergebnisse bislang auch eher bedeckt.

Pedersen und Gerken beschreiben nun jedoch im englischen Wissenschaftsmagazin Nature [7], wie sie die Atome am 10. März 2004 in einem bereits existenten Nordlicht mit Funkbombardement verstärkt zum Leuchten anregen konnten. Sie hatten es diesmal nicht auf die sonst von HAARP meist attackierte F-, sondern die erdnähere E-Schicht abgesehen.

In einer bereits abflauenden Aurora wurde die HAARP-Anlage auf einen Himmelsausschnitt gerichtet und jeweils 7,5 s einund ausgeschaltet. Die Lichtemissionen natürlicher und künstlicher Nordlichter zeigen sich dabei hauptsächlich in den Spektrallinien atomaren Sauerstoffs bei 630 (rot) und 558 (grün) nm. Und schon sprießen wieder eher gruslige Zukunftsvisionen ins Feld, von der Straßenbeleuchtung per künstlichem Nordlicht bis zur blinkenden Coca-Cola-Neon-Nordlichtreklame [8], der man auch auf dem Land garantiert nicht mehr entkommen kann.

#### Literatur

[1] Schenz, G.: Zu EISCAT ans Ende der Welt, FUNK-AMATEUR 49 (2000) H. 6, S. 620–623

- [2] Janda, F., OK1HH: Kurzwellenausbreitungsvorhersagen an der Schwelle des dritten Milleniums, FUNKAMATEUR 49 (2000) H. 7, S. 818–819
- [3] Haarp Homepage: www.haarp.alaska.edu
- [4] Hess, W., DLIRXA: Sind Funkverbindungen oberhalb der MUF möglich? FUNKAMATEUR 55 (2006) H. 3, S. 355
- [5] EISCAT Homepage: www.eiscat.no
- [6] Leibniz-Institut für Atmosphärenphysik an der Universität Rostock, Außenstelle Juliusruh: www.ionosonde.iap-kborn.de
- [7] Pedersen, T. R.; Gerken, E. A.: Creation of visible artificial optical emissions in the aurora by highpower radio waves. Nature Vol. 433 (2005) No. 7025, S.498-500; www.nature.com
- [8] First Artificial Neon Sky Show Created: www.live science.com/technology/050202\_light\_show.html
- [9] Begich, N.; Manning, J.: Angels Don't Play This Haarp: Advances in Tesla Technology. Earthpulse Press, USA 1997, ISBN 0964881209; www.amazon.de

## Rundfunksendestelle Zehlendorf

#### **GERHARD ROLEDER - DL6AKC**

Die am nördlichen Stadtrand Berlins gelegene Sendestelle hat eine traditionsreiche Geschichte hinter sich und, falls sich DRM flächendeckend durchsetzen sollte, eine blühende Zukunft vor sich.

Betriebsbeginn der Rundfunksendestelle Zehlendorf war vor 70 Jahren. Mit der Standortbezeichnung ist nicht der gleichnamige Berliner Stadtteil gemeint, sondern eine Gemeinde 30 km nördlich von Berlins Zentrum. Manche Quellen, wie zum Beispiel die Website von Deutschlandradio Kultur [1], geben der Einfachheit halber das 10 km entfernte, aber bekanntere Oranienburg als Standort an.

Als 1936 in Zehlendorf mit Rundfunksendungen auf KW anlässlich der Olympischen Spiele begonnen wurde, waren die ebenfalls am Rande Berlins gelegenen Sendestellen Königs Wusterhausen und Zeesen bereits voll ausgebaut. Bis 1945 wurde Zehlendorf jedoch hauptsächlich für kommerziellen Funk genutzt. Eine de-

Sowjetunion ging und Gebäude gesprengt wurden, schwieg Zehlendorf mehrere Jahre. Mit KW sollte es hier für immer vorbei sein

Nach zweijähriger Vorbereitung und einem Jahr Probebetrieb begann im September 1959 der offizielle Betrieb auf Langwelle 185 kHz. Übertragen wurde das Programm des *Deutschlandsenders*, der später den Namen *Stimme der DDR* erhielt. Seit 1990 kommt aus Zehlendorf das Programm des *Deutschlandsender Kultur*, heute *DeutschlandRadio Berlin*. Die LW-Frequenz änderte sich im Laufe der Jahre mehrmals. Von 185 kHz ging es über 182 und 179 kHz auf die heutige Frequenz 177 kHz, die trotz Abweichung vom 9-kHz-Raster international koordiniert ist.

Dieses Gebäude wurde in den 50er-Jahren eigens für den Zehlendorfer LW-Sender errichtet; hier befindet sich auch der neue Transistorsender.



Geerdeter Mastfuß des 360 m hohen Mastes; rechts oberhalb des Kabelschachtes ist der Speisepunkt zu erkennen; über die Koaxialkabel links und rechts werden am Mast befindliche UKW- und DAB-Antennen gespeist.

Der vom VEB Funkwerk Köpenick 1958 gelieferte Sender mit einer installierten Leistung von insgesamt 750 kW, technisch realisiert durch drei Blöcke von je 250 kW, hielt bis 1999 durch. Der 40 Jahre lang benutzte Sender mit der betriebsinternen Bezeichnung SL2 hatte wassergekühlte Trioden des Typs SRW 357 in den drei Endstufen. Diese Röhren liefen mit einer Anodenspannung von 10 bis 12 kV.

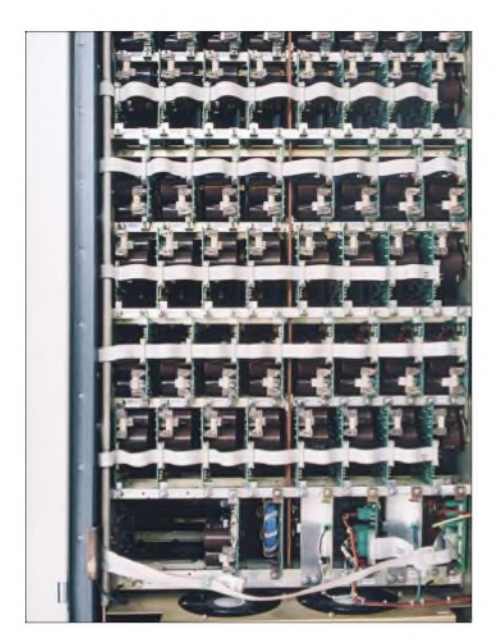
Seit März 1999 hat der jetzige Betreiber, die T-Systems Business Services GmbH, in



taillierte Übersicht über die Historie ist in [2] zu finden.

Nachdem am Ende des Zweiten Weltkriegs die Sendetechnik als Reparation in die Der Transistorsender besteht aus zwei 250-kW-Blöcken des Typs TRAM250L.





19"-Gestell mit 48 Verstärkermodulen

Zehlendorf einen Doppel-Transistorsender zur Verfügung, der bei herkömmlicher Amplitudenmodulation maximal 500 kW leistet. Die *Transradio SenderSysteme Berlin AG*, ehemals *Telefunken SenderSysteme*, hat im gleichen Gebäude, das in den 50er-Jahren eigens für den Röhrensender entstand, zwei baugleiche, zusammenschaltbare 250-kW-Sender des Typs TRAM 250L installiert. Das sind die ersten dieser Leistungsklasse aus der modular aufgebauten TRAM-Serie [3].

Standard-Komponente der TRAM-Sender ist ein mit Hochvolt-MOSFETs bestücktes Verstärkermodul von gut 1 kW Ausgangsleistung. Durch Parallelschaltung der Verstärkermodule werden die jeweiligen Leistungsstufen erreicht. In Zehlendorf besteht jeder der beiden 250-kW-Sender aus insgesamt zehn 19"-Schrankeinheiten.

Fünf Schränke enthalten jeweils ein Gestell mit 48 Modulen, die in sechs Zeilen und acht Spalten angeordnet sind. Jeder Sender hat eine voneinander unabhängige Lüftersteuerung. Die beiden Gebläse befinden sich im Keller unterhalb der Sender und drücken die Kühlluft (maximal 30 000 m³/h) von unten nach oben durch die Gestelle mit den Verstärkermodulen. Jedem Gebläse sind ein Grobfilter und ein Feinfilter vorgeschaltet.

Weitere fünf Schrankraster je Sender nehmen die Anpassschaltung und das Oberwellenfilter in Anspruch. Zwischen beiden Sendern befinden sich das Steuerteil mit dem Oszillator sowie ein Schrankteil mit dem Satellitenempfänger für das Hauptprogramm, Umschalteinheit und Empfänger für den kurzzeitig eingeblendeten Seewetterbericht sowie der Modulator für DRM-Betrieb.

Da die Ausgangsimpedanz der Sender  $50\,\Omega$  beträgt, lässt sich Koaxialkabel als Speise-

leitung für die Antenne verwenden. Das 800 m lange Kabel mit einem Außendurchmesser von 5 Zoll ist luftisoliert. Kompressoren und Lufttrockner gewährleisten ein stabiles und von Witterungseinflüssen unabhängiges Dielektrikum.

Was in [2] noch als geplante Neuerung formuliert wurde, ist seit nunmehr drei Jahren Wirklichkeit – eine neue Antenne für 177 kHz, die breitbandig genug ist, um auch DRM-Sendungen ausstrahlen zu können. Die nach ihrem Aussehen als Doppelkegelreusenantenne bezeichnete Vertikalantenne wurde ebenfalls von *Telefunken SendeSysteme* projektiert. Ihre reusenförmige Bauform entsteht durch sechs Strahler, die gleichmäßig, also in einem Winkel von jeweils 60° zueinander, um einen 360 m hohen Mast angeordnet sind. In einer Höhe von etwa 120 m werden die Strahler durch isolierte Seile abgefangen.



Techniker Arne Schenk mit einem 1-kW-Verstärkermodul; rechts daneben einige der ehemals verwendeten Sendetrioden SRW 357

Die untere Befestigung der Strahler besteht aus einem Ring von etwa 5 m Durchmesser in einer Höhe von 3 m über dem Erdboden. In einer Schnittdarstellung entsteht so die Form eines Doppelkegels. An dem aus drei miteinander verbundenen Einzelseilen bestehenden Ring ist auch die Speiseleitung mit Schraubverbindern befestigt. An ihrem oberen Ende sind die sechs Strahler direkt mit dem Mast verbunden. Der Mastfuß ist geerdet, und unterhalb der Antennenkonstruktion befindet sich ein Erdungsnetz im Boden.

Der Mast wird durch 15 isolierte Abspannseile (Pardunen) gehalten. Das tatsächlich Neue an der Antenne sind die sechs Strahler und deren Abspannseile. Der Stahlgittermast mit dreieckigem Querschnitt wurde in Segmenten aus der Sowjetunion geliefert und dient seit 1979 als Antennenträger.

Inbetriebnahme der neuen Antenne war im August 2003, sodass man anlässlich der IFA im September 2003 auf 177 kHz Sendungen im DRM-Modus ausstrahlen konnte.

Das horizontale Strahlungsdiagramm der LW-Antenne ist annähernd kreisförmig. Die höchsten Feldstärkewerte treten bei geringer Elevation auf, sodass die Ausbreitung überwiegend durch die Bodenwelle erfolgt. Die ehemals verwendete Dreieckflächenantenne ist noch vorhanden, jedoch ist für sie keine weitere Nutzung in Aussicht.



Kompressoren und Lufttrockner für die Koaxial-Speiseleitung Fotos: DL6AKC

Das offiziell deklarierte Versorgungsgebiet umfasst das Territorium der fünf ostdeutschen Bundesländer mit Ausnahme des äußersten südwestlichen Zipfels Thüringens. Störend bemerkbar macht sich in dieser Region das vom Sender Saarlouis auf 183 kHz ausgestrahlte Programm von Radio Europe No. 1.

Die tatsächliche Reichweite ist deutlich größer als im Senderatlas von Deutschlandradio angegeben. Gegenwärtig wird auf 177 kHz überwiegend in AM gesendet. Ob die jetzigen DRM-Sendungen zwischen 0000 und 0300 UTC ausgedehnt werden, hängt sicher davon ab, wann preisgünstige DRM-Empfänger verfügbar sind und sich als Massenware durchsetzen.

Zehlendorf ist noch mit zwei MW-Sendern im Äther vertreten, die beide das Programm der Stimme Russlands übertragen. Auf 603 kHz wird, ebenso wie auf 177 kHz, in reiner AM mit dynamischer Trägersteuerung gesendet. Bei 20 kW Sendeleistung ist die Reichweite regional begrenzt.

Die Frequenz 693 kHz überträgt bei konstanter Trägerleistung von 250 kW gleichzeitig ein Analog- und ein DRM-Signal in der Betriebsart Single Channel Simulcast.

Gerhard.Roleder@GE.com

#### Literatur

- [1] www.dradio.de/dkultur/frequenzen/liste
- [2] Klawitter, G., (Hrsg.): 100 Jahre Funktechnik in Deutschland, Band 1 – Funksendestellen rund um Berlin. 3. Auflage, Funk Verlag Bernhard Hein e.K., Dessau 2004
- [3] Transradio SenderSysteme Berlin AG: www.transradio.de

## Willkommen: CIAO Radio H101 – ein softwaredefinierter Empfänger

#### **CLEMENS SEIDENBERG**

Eine Pizza für unterwegs gibt es schon fast an jeder Ecke. Jetzt kommt, ebenfalls aus Italien, ein neues Mitglied der schnell wachsenden Familie der softwaredefinierten Radios (SDR) für den Bereich bis 30 MHz, das besonders für den mobilen Einsatz geeignet ist.

Der sympathische Kleine ermöglicht bei gutem Preis-Leistungs-Verhältnis einen günstigen Einstieg in die zukunftsweisende Empfängertechnologie. Das nur 11 cm × 13 cm × 3,5 cm große Kästchen trägt keine der sonst üblichen Buchstaben-Nummern-Salate als Bezeichnung, sondern hört auf den liebenswerten Namen CIAO Radio (eigentlich: *Computer Interface Audio Out Radio*). Trotz des etwas hausbacken wirkenden Äußeren mit hervorstehenden BNC-Buchsen – hier hätte man sich etwas mehr italienischen Chic gewünscht – finden sich einige erfrischende Details in der Konzeption des SDR-Empfängers [1].

existieren, durchaus nicht häufig, zwei per Software umschaltbare Antenneneingänge.

#### ■ Prinzipielles

Unter die Motorhaube geschaut zeigt sich prinzipiell ein – und jetzt bitte alle Theorie-Allergiker mal kurz die Luft anhalten – Direktmischempfänger mit Quadratur- oder Komplex-Mischer. Als lokaler Oszillator dient ein DDS-Baustein. Eine Bauweise, die in der gesamten Empfängertechnik einschließlich GSM oder RFID immer mehr an Bedeutung gewinnt [2], [3] und auch bei FA-Bausatzprojekten bereits Einzug hielt [4]. Zu ihren Vorteilen gehört der Wegfall

CIAO-Radio von außen



Die Innenansicht lässt einen hohen Integrationsgrad erkennen.

Die meisten Software-Radios benötigen zur Stromversorgung und der Kommunikation mit dem PC mehrere Kabel. Beim CIAO dient der USB-Anschluss als einzige gemeinsame Nabelschnur. Über ihn erhält es seine Steuerbefehle vom Computer und liefert - nach der im Gerät erfolgten Analog-Digital-Umsetzung - die ZF zur weiteren Filterung und Demodulation wieder beim Rechner ab. Auch der Strom kommt aus der USB-Schnittstelle; diese sollte nach der Papierform bei 5 V einen maximalen Strombedarf von 500 mA decken. Mit nur einer Verbindung zwischen Laptop und Radio ist man im Gegensatz zum sonst üblichen Kabelsalat wirklich deutlich mobiler. Als passendes Zubehör ist eine faltbare aktive Loop-Antenne lieferbar.

Erfreulicherweise gibt es noch weitere Kontaktmöglichkeiten: So lässt sich eine externe Stromquelle anschließen, eine Audioquelle kann nach innen, die Oszillatorfrequenz nach außen geführt werden. Es



der aufwändigen ZF-Stufen mitsamt ihren schwer integrierbaren Filterbausteinen. Zumindest in der Theorie verspricht die direkte Umsetzung der HF in das Basisband sogar eine vollständige Eliminierung der Spiegelfrequenzen. Die komplex-wertige Signalverarbeitung bedarf jedoch immer zwei getrennter Signalwege (I und Q, entsprechend dem Imaginär- und Realteil

einer komplexen Zahl), die in der rauen Wirklichkeit im Gegensatz zur Theorie nicht ideal symmetrisch sind [4], [5].

Es resultieren Phasen- und Amplitudendifferenzen mit Reduzierung der Spiegelfrequenzunterdrückung. Nach der erfolgten Direktumsetzung lässt sich die Digitalisierung des I- und Q-Signals bei den niedrigen Frequenzen im Audiobereich relativ einfach und preiswert gestalten. Bis eine direkte Digitalisierung der HF allgemein verfügbar wird, stellen I/Q-Mischer ein geeignetes HF-Frontend für ein SDR dar.

Im CIAO Radio überlässt man die Analog-Digital-Umsetzung nicht der fraglichen Qualität der PC-Soundkarte mit ihren unwägbaren Differenzen zwischen den beiden Stereokanälen, sondern digitalisiert im Gerät selbst. Der eingesetzte 16-Bit-Umsetzer (entsprechend 96 dB) arbeitet mit einer Abtastfrequenz von 48 kHz und überträgt dann die Datenhäppchen mittels USB (Vers. 2.0) in den Rechner.

Dort erfolgt die digitale Signalverarbeitung mit Filterung und Demodulation. Streng genommen beginnt erst hier das eigentliche softwaredefinierte Radio. Per Software lassen sich sogar gröbere Differenzen zwischen den Signalwegen korrigieren. Das CIAO Radio interpretiert das Konzept "Software-Radio" (dieser Preisklasse) somit absolut auf der Höhe der Zeit.

#### ■ Software

Kernstück und Schnittstelle zum menschlichen Bediener ist die Programmoberfläche des Software-Radios – beim CIAO Radio teutonisch aufgeräumt, fast iPodähnlich monochrom nüchtern. Das voll skalierbare Programmfenster wird vom in der Auflösung nicht weiter veränderbaren Echtzeit-Spektrogramm beherrscht. Es bietet einen 48 kHz breiten Live-Einblick in den gewählten Bandbereich; ausreichend, um fast die Hälfte des (herkömmlichen) 40-m-Bands darzustellen.

Dank Quadratur-Mischer ist das doppelt so breit wie bei den früheren, die Soundkarte nutzenden Software-Radios üblich. Durch einen Mausklick lässt sich auf das gewünschte Signal abstimmen. Ein kleineres Fenster veranschaulicht die jeweilige Durchlasscharakteristik des benutzten Filters, die sich – wirklich praktisch – mit wenigen Fingerbewegungen den aktuellen Bedingungen anpassen lässt. Ruckzuck ist so auch ein Notchfilter mit der Maus "gebastelt". Beim Überblick über ein Band und seine Belegung kann man die unterschiedlichen Modulationsarten bereits "sehen" und die

Filter adaptieren. Eine Scan-Funktion sucht man noch vergeblich. Sehr bescheiden sind die Möglichkeiten zur Frequenzverwaltung. Die Speicherung

einer Frequenz mit der Betriebsart ist nur

über ein Dateimenü möglich. Dort ist jeweils eine neue Datei anzulegen und ihr ein Name mit entsprechendem Wiedererkennungswert zu verleihen – wirklich sehr umständlich. Auch ist im Programmfenster keine Anzeige des vergebenen Sendernamens vorgesehen. Hier ist und wird sicher noch eine Verbesserung für künftige Versionen zu erwarten sein; zumal ja sonst die Frequenzverwaltung zu den Domänen der PC-Radios zählt.

Offensichtlich lag das aktuelle Augenmerk der Entwickler erst mal auf der Optimierung der Empfangsfunktionen der Software. Die üblichen Demodulatoren sind schon fest "eingebaut". Ihr Klang erlaubt es, mit dem CIAO Radio die einzelnen Signale nicht nur gut zu sehen, sondern auch angenehm zu hören. Der Modus Synchrones AM vermag selbst digitalverwöhnte Ohren wieder mit fossilen analogen Modulationsarten zu versöhnen.

CIAO Radio benutzt zur Audioausgabe – respektive der abschließenden Analog-Umsetzung – die im PC vorhandene Soundkarte. Zum Betrieb weiterer Software wie DRM-Demodulator, Spektrum-

kHz breite Spektrum auf der Festplatte als \*wav-Datei aufzuzeichnen, um es später beliebig oft mit verschiedenen Einstellungen zu analysieren oder zu demodulieren. Im Hinterkopf sollte man allerdings behalten, dass die Anforderungen an die Rechnerleistung nicht trivial sind, besonders wenn weitere Programme gleichzeitig laufen.

Das Handbuch nennt – erfreulich ehrlich – eine CPU mit einer Schlagzahl von 2 GHz und 512 MB RAM als Hardwarevoraussetzung zum DRM-Empfang mit dem DReaM-Decoder. Bei einem 3,8-GHz-Testsystem mit aktuellem Dualcore-Prozessor waren beide Kerne so mit 30 % ausgelastet. Alternative Betriebssysteme werden nicht unterstützt.

#### **■** Hören und Messen

Bei einer Frequenzauflösung von 1 Hz reicht der nominal einstellbare Empfangsbereich von 0 Hz bis 30 MHz. Die Frequenzabweichung beträgt durchgehend etwa ±5 ppm. Im VLF-Bereich häufen sich dann, bei nachlassender Spiegelfrequenzunterdrückung, die Geisterstationen jedoch



Programmoberfläche mit Darstellung verschiedener Modulationsarten

Fotos und Screenshots: Autor

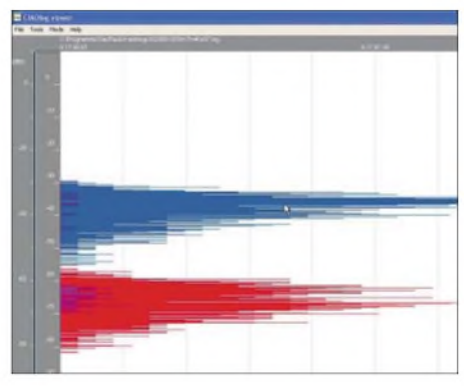
Analysator oder Decoder für digitale Betriebsarten, die ebenfalls Anspruch auf die Soundkarte erheben, empfiehlt der Hersteller das etablierte Programm Virtual-Cable [6]. Es stellt eine Verbindung zwischen der Ausgabe der CIAO Radio-Software und der Eingabeseite des weiterverarbeitenden Programms her. Richtig konfiguriert ist die Ausgabe des CIAO-Programms einfach zwischen Soundkarte (hörbar) und Weiterleitung mittels Virtual-Cable (stumm) umschaltbar.

Mit dem Open-Source DRM-Decoder DReaM [7] funktioniert das problemlos. Der Versuch, andere Programme, z.B. Spectrum Lab, auf diese Weise zur Mitarbeit zu bewegen, führte jedoch zu reproduzierbaren Systemabstürzen. Der Trend geht also zur Zweit-Soundkarte.

Neben den reinen Empfängerfunktionen bietet das Software-Geräte-Gespann weitere darüber hinausweisende Experimentier- und Analyseeinrichtungen: interessant ist etwa die Möglichkeit, das gesamte 48 deutlich. Bei richtiger Filteranpassung ist der Zeitzeichensender DCF auf 77,5 kHz trotzdem noch problemlos darstellbar.

Eine Achillesferse der Software-Radios kann die Automatische Verstärkungsregelung (AGC) sein. Nachdem sich klassische HF- und ZF-Baugruppen rar machen, fehlen auch die dort einstmals angesiedelten Schaltungen, die eine hardwareseitige Verstärkungsregelung gewährleisteten. Beim CIAO Radio sorgen allerdings auf HF-Ebene eine mitlaufende Vorselektion sowie ein schaltbarer Abschwächer für lineare Arbeitsbedingungen in der weiteren Signalverarbeitung.

Nach der Digitalisierung ist die Verstärkung der *Audio-IF* in drei Stufen wählbar. Die *AGC* greift schließlich kaum latenzbehaftet erst nach der Demodulation ein und steuert die Stärke des Audiosignals. Ein roter Balken im Filterfenster zeigt ihr Verhalten. Der Empfänger verfügt jedoch auch so schon über eine ausgezeichnete Linearität. Selbst schwierige Empfangssituationen mit



Statistische Auswertung der Signalstärke zweier Antennen

einem dichten Nebeneinander von starken und schwachen, schmal- und breitbandigen Signalen wie in den Utility-Bändern lassen sich so meistern.

Selbst zum Messen ist das Gerät mit seiner hohen Dynamik von 90 dB ohne Einschränkungen einzusetzen, etwa zum Vergleich zweier Antennen. Die Signalstärke der per Software umschaltbaren Antennen lässt sich aufzeichnen und über das mitgelieferte Zusatzprogramm *ClAOLog* auswerten. Eine statistische Darstellung macht die Leistungen der Antennen direkt vergleichbar. Verfälschende Einflüsse durch Schwund bei wechselnden Ausbreitungsbedingungen nivellieren sich in der Histogramm-Darstellung – prima.

Ach ja, DRM: Weitaus die meisten der im DRM-Sendeplan aufgeführten Sender lassen sich auf KW oder MW bei hoher Bitrate aussetzerfrei, teils mit einem SNR von 30 dB, vernehmen. Allerdings kommt es im komplexen Zusammenspiel zwischen CIAO Radio, Signalweiterleitung via Virtual Cable und dem DRM-Decoder DReaM zu merklichen Laufzeiten, die sich in leichten Halleffekten bemerkbar machen. Trotzdem ist selbst klassische Musik in Stereo mit guter Klangqualität zu genießen.

Das CIAO Radio ist mit 399 € [8] zwar teurer als eine Pizza, aber deutlich langlebiger, und es sorgt für anhaltenden Genuss. cusei@gmx.net

#### Literatur und URLs

- [1] Re, C., I1RFQ und Steila, O., IK1XPV: CIAO Radio H101, www.comsistel.com/Ciao Radio.htm
- [2] Buhe, G., DL9GF: Grundlagen der Quadratursignalverarbeitung. www.darc.de/distrikte/z/vus/ Vortrag/Vortrag\_2\_Web/Darmstadt2003\_03.pdf
- [3] Meyer, M., HB9BGV: SDR-1000 (1). FUNK-AMATEUR 53 (2004) H. 5, S. 454-457
- [4] Raban, C., DM2CQL: I/Q-Minimalsystem für 80/40 m. FUNKAMATEUR 55 (2006) H. 9, S. 1040 f.
- [5] Seidenberg, C.: Das Quadratursignal. FUNKAMA-TEUR 54 (2005) H. 4, S. 345
- [6] Download der Software Virtual Audio Cable: http://spider.nrcde.ru/music/software/eng/vac. html#download
- [7] Der Open-Source DRM-Decoder DReaM: http://drm.sourceforge.net/
- [8] WiMo Antennen und Elektronik GmbH: www.wimo.de/framesetp\_d.html

## Alternative für Limitierte? Ganz nett: QsoNet

#### **BERND PETERMANN - DJ1TO**

"Ein (Funk-)Amatör hats schwör" seufzt mancher in Abwandlung einer Ingenieurs-Weisheit. Antennen- und Standortprobleme, Gerätekosten, Selbsterklärung, allerlei Empfangsstörungen und nicht zuletzt elektromagnetische Beeinflussungen machen dem Funkamateur das Leben schwer. Abhilfe verspricht da QsoNet von Doug McCormack, VE3EFC.

Neben der Überwindung der diversen Probleme einer Amateurfunk-Installation soll QsoNet (qsonet.com) auch noch QSB-und QRN-Freiheit bringen. Wie das geht? Einmal mehr via Internet. Amateurfunk sozusagen als Trockenübung. Die Macher der "virtuellen Ionosphäre für den Amateurfunk" meinen, ihre Amateurfunksimulation sei eine mögliche Antwort auf die Querelen, mit denen sich Funkamateure oft herumschlagen müssen.

QsoNet übermittelt via Internet das NF-Signal einer eingeloggten, sendenden Station über einen seiner Server an andere eingeloggte Stationen. Also ganz normale Internettelefonie – mit der Ausnahme, dass sich ganz amateurfunkgemäß mehrere Empfänger (unbemerkt) zuschalten können und so manchmal wie beim richtigen Amateurfunk ganz zwanglos Runden entstehen, alles selbstverständlich nur per Wechselsprechen. munizieren. Diese Frequenzen (im 1-kHz-Abstand) sind einfach verschiedene Kanäle. Außerdem stehen noch die "Amateurfunkbänder", 3,5 MHz, 7 MHz, 14 MHz, 21 MHz, 28 MHz und 29 MHz zur Verfügung, die ganz prosaisch verschiedene Server repräsentieren, was man bei der "Bandumschaltung" als kurze Connect-Meldungen erkennen kann.



Nicht ganz unwichtig: Zur Registrierung muss man per E-Mail u. a. eine Kopie der Genehmigungsurkunde übersenden, denn nur lizenzierte Funkamateure dürfen mitmachen

Die Registrierung soll in spätestens 24 Stunden erledigt sein, bei mir genügte ein Bruchteil davon. Nun darf man 90 Tage



Frontplatte des virtuellen Transceivers CQ100 Naturgemäß gibt es hier weder variable

Screenshot: DJ1TO

Ausbreitungsbedingungen noch Fading oder Gewitterstörungen. Von der virtuellen Ionosphäre ist das Ganze also doch ein ganzes Stück entfernt. Dafür wirken Unzulänglichkeiten der Internetanbindung, der Server und der Internettelefonie an sich. Bis dahin erscheint das Ganze doch noch wenig amateurfunkähnlich. Pep erhält Qso-Net erst über die Bedienungssoftware, den Cormac CQ-100-Transceiver (Bild). Er macht es den Teilnehmern möglich, eine "Frequenz" zu wählen und dort zu kom-

kostenfrei testen, danach kostet ein Jahr 32 US-\$. Die Transceiver-Software selbst ist bei Registrierung bis zum 1.11.06 kostenfrei. Nach der Registrierung erhält man auch Schreibzugriff auf das einschlägige Forum. Die Nutzer sind angehalten, übliche Amateurfunk-Betriebspraktiken anzuwenden. Man darf also einigermaßen sicher sein, es nur mit ernsthaften Interessenten zu tun zu bekommen, was sich in der Praxis auch bisher bestätigte.

QsoNet geht einen Schritt weiter als Echolink; es arbeitet vollständig im "Sand-

kasten" – ohne Kontakt zum Äther. Das macht Echolink, wenn keine Anbindung an ein Funkgerät besteht, zwar auch, aber es ist doch eher auf die Mitbenutzung externer Funkstellen ausgerichtet. Bezüglich Konfiguration hat QsoNet die Nase vorn: Es funktioniert ohne die etwas diffizile Portkonfiguration.

Als Systemvoraussetzungen werden lediglich Windows 2000/XP, Soundkarte, Mikrofon und Lautsprecher bzw. Kopfhörer genannt. Zur Internetverbindung soll ein 33,6-kBit/s-Modem genügen. Getestet habe ich mit DSL.

Der CQ100-Transceiver offeriert als "Spectrumgraph" ein Band von 50, 100, 200 oder 500 kHz Breite, über das man am Tuning-Knopf mit der Maus drehen kann. "Sendende" Stationen dokumentieren sich darauf als Linien. Auf "freien Frequenzen" rauscht es sogar. Das S-Meter zeigt beim "Senden" wie beim "Empfang" simpel den NF-Pegel an. Nachdem man eine belegte Frequenz erreicht hat, erscheinen auf dem Display neben dem Rufzeichen der sendenden Station auch deren Name und ggf. ein paar weitere Angaben. Man muss folglich nicht auf eine Rufzeichennennung warten. Zum Senden ist die PTT-Taste anzuklicken oder die einstellbare VOX zu benutzen. Der NF-Pegel lässt sich unmittelbar vom CQ100 aus steuern.

Telegrafie geht als NF über den Kanal. Zum Senden (mit Zeichenspeicher) dient zunächst einfach die Tastatur. Tonhöhe und Tempo sind einstellbar, Semi-BK schaltet auf Senden. Wer seine Elbug nutzen möchte, muss einen Tongenerator zwischen Taste und NF-Eingang des PCs einfügen.

Praktisch klappte alles ganz gut. Die Installation ist im Handumdrehen erledigt; zum Programmstart des CQ100 das Passwort eingeben, und schon gehts los. Während einer relativ kurzen Betriebszeit auf 7, 14, 21 und 29 "MHz" habe ich Stationen aus 8P, 9M2, CE, EA, G, GW, HL, OZ, PA, VE, VK, W, XE, YB und YV notiert und auch zwei "QSOs" gefahren. In der Regel ist (noch?) recht wenig los, mehr als ein paar Stationen habe ich nie zugleich angetroffen. Mit der Qualität von QsoNet kann man leben; manchmal klingt es etwas abgehackt, aber daran sind teils auch die von den OPs gewählten Einstellungen Schuld.

Über den Wert von QsoNet lässt sich trefflich streiten. Ob derartig perverser Spielereien deprimiert zu sein oder sich über einen neuen Weg zu ungestörter Kommunikation mit weit entfernten gleich Gesinnten zu freuen – das muss jeder selbst entscheiden. Und auch, ob es einem eine Gebühr wert ist. Immerhin bietet QsoNet Betrieb mit echten Funkamateuren auf Zufallsbasis. Fehlen nur noch QSL-Karten, Conteste und Diplome:-)

## Multifunktionsrelais – Alleskönner im Schaltschrank

#### **INGOLF BAUER**

Schaltvorgänge, die über eine zeitversetzte Auslösung hinausgehen, lassen sich, im Gegensatz zu verfügbaren Modulen, mit einem controllergesteuerten Multifunktionsrelais fexibler und einfacher realisieren.

Relais gehören zu den ältesten elektromechanischen Bauteilen in der Elektrotechnik. Doch sie stellen auch noch heute im Zeitalter der zunehmenden Miniaturisierung und trotz weitestgehendem Verzicht auf mechanische Komponenten in elektrischen Geräten für bestimmte Anwendungsfälle die preiswerteste Lösung dar. Sind jedoch, wie z. B. bei anzugs- oder abfallverzögerten Zeitrelais, mehr als die normalen Schaltvorgänge erforderlich, so ist dies mit höheren Kosten verbunden. Als Alternative soll hier eine Ansteuereinheit für fast jedes Relais vorgestellt werden, dessen Funktionalität industriell gefertigten Modulen ebenbürtig sein dürfte und das sich nicht nur in Schaltschränken einsetzen lässt.



Bild 1: Um den Berührungsschutz zu gewährleisten, sollte ein Leergehäuse verwendet werden, in das sich Grund- und Modulplatine sowie das 230-V-Relais einbauen lassen.

Mittlerweile sind Mikrocontroller der verschiedensten Hersteller preiswert zu erhalten. Sie erschienen für diese Entwicklung eine optimale Lösung darzustellen. Die Relaisfunktion wird damit nicht per Hardware, sondern programmtechnisch realisiert. Ich entschied mich für den AT90S2313 der Firma Atmel, da es für diesen Typ einfache Adapter zum Programmieren und mit BASCOM[1] eine Entwicklungsumgebung für einen BASIC-Dialekt gibt, in der sich schon mit der Demoversion bis zu 4 KB große Programme schreiben und compilieren lassen. Der Controller AT90S2313 besitzt zwar nur einen 2 KB großen Programmspeicher, doch so wird kein Speicherplatz verschenkt. Außerdem steht für ihn unter anderem mit der Freeware TWin-AVR [2] ein zweckmäßiges Brennprogramm zur Verfügung, sodass jeder, der sich mit der Elektronik etwas vertraut gemacht hat, seine spezielle Relaisfunktion konfigurieren kann.

#### ■ Schaltungsaufbau

Die Schaltung des Steuermoduls, die auf einer doppelseitigen Leiterplatte mit den Abmessung 58 mm × 55 mm aufgebaut ist, besteht aus der Spannungsstabilisierung, zwei potenzialgetrennten unabhängigen Eingangskanälen, dem Mikrocontroller, einer Statusanzeige, dem Transistor für die Ansteuerung des Relais, der Anschlussmöglichkeit an das Programmiermodul [3] sowie dem Erweiterungsport.

Soll das Multifunktionsrelais, wie auf Bild 1 zu sehen ist, in ein Hutschienengehäuse mit zwölf Anschlussklemmen untergebracht werden, lässt sich die 85 mm × 30 mm große Grundplatine verwenden. Sie ist konstruktiv so gestaltet, dass sie ein Relais der Firma *Finder* aufnehmen kann. Schon an dieser Stelle möchte ich darauf hinweisen, dass außerdem auf der Modulleiterplatte ein 14-poliger Steckplatz für ein Reed-Relais im DIL-Gehäuse zur Verfügung steht.

Für die Grundplatine kann aus Kostengründen auch eine Lochrasterleiterplatte zum Einsatz kommen, auf der die erforderlichen Verbindungen zu den Anschlussklemmen per Drahtbrücken realisiert werden, siehe Bild 2.

Doch vor dem Aufbau der Schaltung muss anhand des Datenblatts zunächst ermittelt werden, welche Nennspannung und welchen Nennstrom das ausgewählte Relais besitzt. Der erste Wert ist wichtig für die Dimensionierung der Vorspannungsstabilisierung mittels der Zener-Diode VD3. Beide Werte zusammen sind für die Auswahl des Schalttransistors VT2, der das Relais zuverlässig ansteuern soll, wichtig. Die

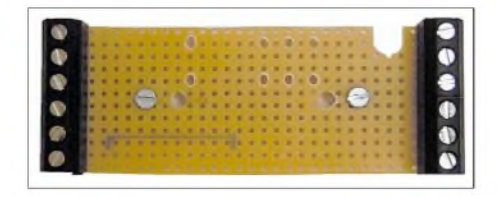


Bild 2: Über die Grundplatine, auf der auch das 230-V-Relais zu montieren ist, erfolgt die Verbindung zu den anderen Baugruppen im Schaltschrank.

Schutzbeschaltung für den Transistor mit der als Freilaufdiode eingesetzten Diode VD5 sollte in jedem Fall ausreichend sein.

#### ■ Ansteuerung des Relais

Der Transistor VT2 dient als Leistungsschalter für das Relais. Da ein Ausgang des Mikrocontrollers nur mit maximal 10 mA belastet werden kann und die Nennströme der Relais meist darüber liegen, macht sich dieses Schaltglied erforderlich. Zum Schutz des Transistors vor Überspannungsspitzen durch das Schalten der Relaisspule ist die Freilaufdiode VD5 vorgesehen. Sollte das einzusetzende Relais bereits über eine Freilaufdiode verfügen, wie

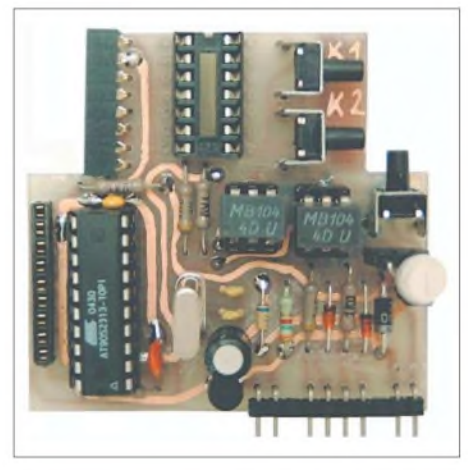


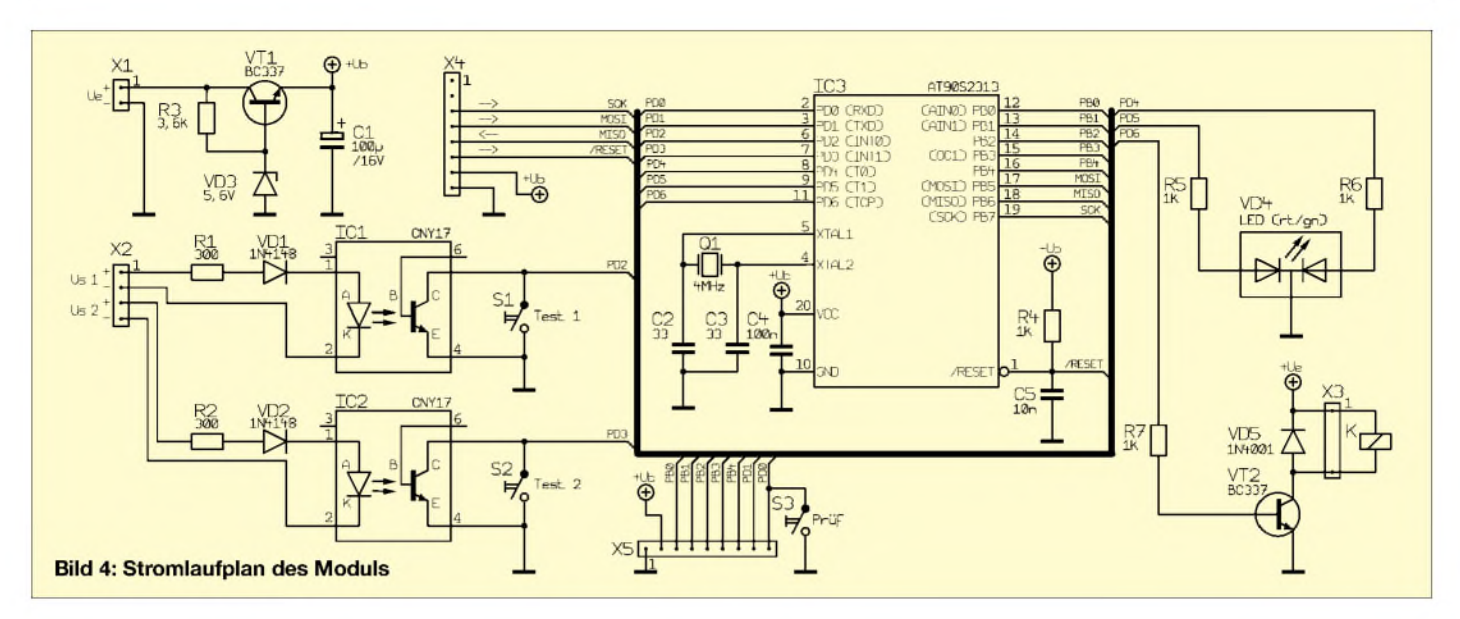
Bild 3: Die komplett bestückte Modulplatine mit dem Mikrocontroller kann nun auf die Grundleiterplatte gesteckt werden. Bei Bedarf lässt sich direkt auf ihr noch ein DIL-Reed-Relais aufstecken und verdrahten.

dies z. B. bei einigen Reed-Relais der Fall ist, muss darauf geachtet werden, es mit der richtigen Polarität über den Steckverbinder X3 anzuschließen. Ansonsten wird im geschalteten Zustand die Betriebsspannung über diese Freilaufdiode kurzgeschlossen.

Der durch den Transistor realisierte offene Kollektor-Ausgang ermöglicht auch den Anschluss anderer Schaltelemente wie Leistungs-FETs, Triacs usw., bei denen dann kein Kontaktverschleiß zu erwarten ist. Bei gefährlich hohen Schaltspannungen ist jedoch auf einen ausreichend großen Isolationswiderstand zwischen Steuer- und Laststromkreis zu achten, wie er z.B. beim Einsatz von Optokopplern mit Triac-Ausgang gewährleistet wird.

#### ■ Stromversorgung

Die im Schaltplan in Bild 4 dargestellte Kombination R3, VD3 und VT1 dient zur Stabilisierung der für den Controller und die Peripherie erforderlichen 5 V. Die Eingangsgleichspannung kann im Bereich von 6 bis 24 V liegen und muss, da mit ihr auch das Relais geschaltet wird, dem Wertebereich der Ansprechspannung des Relais



entsprechen. Bei Verwendung eines Relais mit einer Nennansteuerspannung von z. B. 5 V funktioniert diese Schaltung nicht mehr, wenn man eine Eingangsspannung von 5 V anlegt. Sollte das Relais nicht für eine maximale Gleichspannung von 6 V ausgelegt sein, muss die Stabilisierung modifiziert werden. In diesem Fall ist der Transistor VT1 nicht zu bestücken und die Basis-Emitter-Strecke zu brücken. Außerdem

muss dann für VD3 ein 4,3-V-Typ eingesetzt und der Wert des Widerstands R3 auf  $22~\Omega$  reduziert werden. Da der Mikrocontroller ab 4 V funktioniert, gibt es kein Problem mit der etwas reduzierten Betriebsspannung.

#### ■ Eingangskanäle

Die beiden Eingangskanäle sind voneinander unabhängig. Wann und wie auf Eingangssignale reagiert werden soll, wird durch das Programm im Mikrocontroller festgelegt. Vor dem Compilieren müssen daher einige Einstellungen bezüglich der Betriebsart, Booleschen Funktion für die Eingangskanäle usw. vorgenommen werden. Hierzu sollte man den Hinweisen folgen, die dazu in dem auf der FA-Webseite abgelegten Quelltext gemacht werden.

Über die Bauteile R1, R2, VD1 und VD2 werden die beiden Optokoppler IC1 und IC2 angesteuert. Die Widerstände sind dabei so zu dimensionieren, dass bei der jeweiligen Ansteuerung ein Strom von etwa 10 mA durch den Optokoppler fließen kann – die Dioden dienen dem Verpolschutz. Die Transistoren in den Optokopplern schalten bei Ansteuerung den jeweiligen Eingang des Mikrocontrollers auf Masse. Details zur Konfiguration der Ports des Mikrocontrollers sowie Maßnahmen zur Kontaktentprellung vorgelagerter mechanischer Kontakte können dem Quelltext des Programms entnommen werden.

#### ■ Prüftaster

Parallel zur Kollektor-Emitter-Strecke der Optokoppler sind die Printtaster S1 und S2 angeordnet. Diese können für die Simulation der Signalpegel an den Steuereingängen genutzt werden.

Für eine schnelle Überprüfung der Schaltfunktion des Bausteins ist der Prüftaster S3 vorgesehen. Mit ihm kann unabhängig vom Zustand der Eingangskanäle das Relais umgeschaltet werden. Solange der Taster gedrückt bleibt, haben auch wechselnde Signalpegel an den Steuereingängen keinen Einfluss auf die Schaltlage des Relais.

Möchte man auch nach dem Einbau in das Hutschienengehäuse die Prüffunktion bereitstellen, kann man entweder eine Bohrung direkt über dem Taster anbringen – wodurch eine zufällige Betätigung ausgeschlossen ist – oder einen Printtaster mit verlängerter Betätigungsachse verwenden, wie er in Bild 3 zu sehen ist.

Außerdem wäre es denkbar, den Prüftaster nicht nur mit der Funktion zum Einschalten des Relais zu belegen, sondern z. B. auch einen Timer zu starten oder eine programmierte Uhr mit der aktuellen Zeit zu synchronisieren.

#### ■ Mikrocontroller AT90S2313

Für den Mikrocontroller wurde einer der kleinsten aus der ATMEL-Serie ausgewählt. Einzelheiten zu Aufbau und Funktion dieses ICs sind dem Datenblatt [4] zu entnehmen. Der Mikrocontroller wird mit einer durch den 4-MHz-Quarz Q1 festgelegten Frequenz getaktet. Andere Quarzfrequenzen können auch verwendet werden. Dabei ist jedoch zu beachten, dass die Initialisierung des Timers dem Systemtakt angepasst werden muss und sich die initialisierten Zeiten ändern.

Sollten mehr Ein- oder Ausgangskanäle erforderlich sein, kann der Erweiterungsport X5 genutzt werden. Alle freien An-



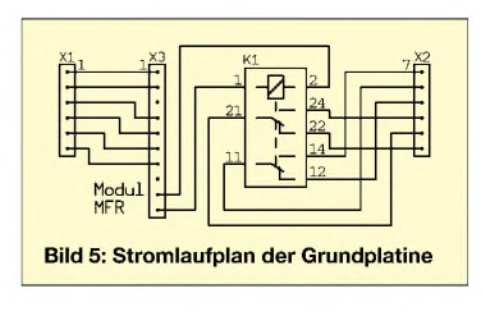
Spannungsversorgung (Ub, Masse\_0)
3,4 Ansteuerung 1 (Us\_1, Masse\_1)
5,6 Ansteuerung 2 (Us\_2, Masse\_2)

#### X2 (Ausgänge)

7...9 Umschalter 1 (Schließer, Mittelkontakt, Öffner)

10...12 Umschalter 2 (Schließer, Mittelkontakt, Öffner)

Die Spannungsversorgung und die Ansteuerungen können eine gemeinsame Masse haben.



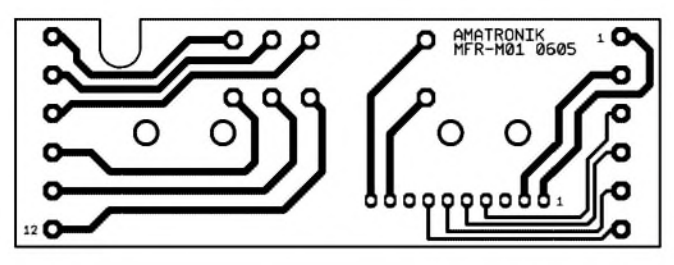


Bild 6: Layout der Grundplatine des Multifunktionsrelais

Bild 10: Bestückung der Grundplatine des Multifunktionsrelais

schlüsse des Mikrocontrollers sind direkt auf ihn geführt.

Im Prinzip kann die Software nach dem Anpassen der Definitionsdatei auf jedem Mikrocontroller der *Atmel*-Familie eingesetzt werden. Interessant wird dies z. B..

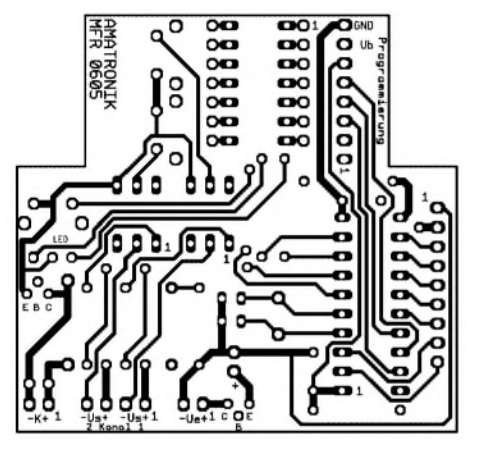


Bild 7: Layoutunterseite der Modulplatine

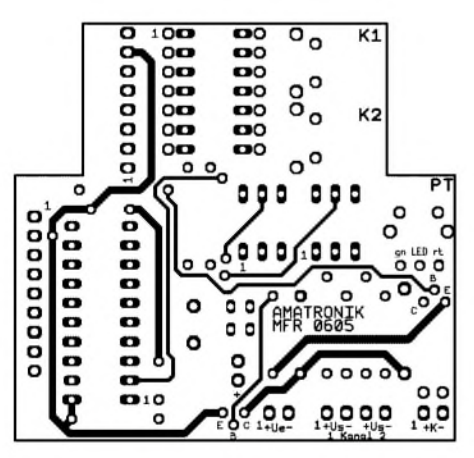


Bild 8: Layoutoberseite der Modulplatine

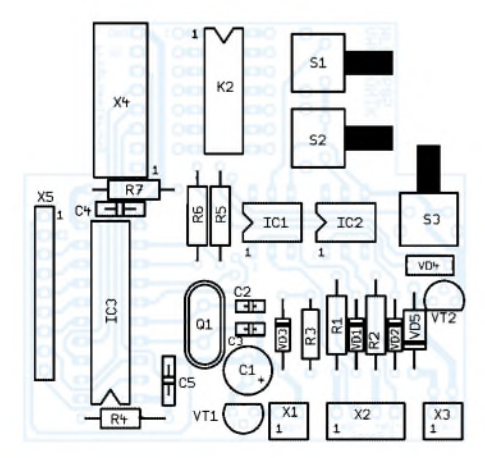


Bild 9: Bestückung der Modulplatine

wenn man für die Schaltlogik zusätzlich analoge Signale, wie z. B. die Temperatur, berücksichtigen und einen AVR der *AT-Mega-*Serie verwenden möchte. Das Layout der Leiterplatte ist dann jedoch anzupassen.

Für Einsteiger in die Welt der Mikrocontroller können die Beiträge der im FUNK-AMATEUR veröffentlichten Serie [5] sowie [6] bis [8] empfohlen werden.

#### **■** Statusanzeige

In vielen Fällen dürfte es ausreichend sein, Informationen über das Anliegen der Betriebsspannung und die Schaltstellung des Relais angezeigt zu bekommen. Für diesen Zweck ist die Zweifarben-LED VD4 vorgesehen. Durch sie können drei Farben dargestellt werden. Benutzt man zusätzlich noch die zeitlich unterschiedliche Taktung einer oder beider Leuchtdioden, sind den daraus erwachsenen Kombinationen für diese Anzeige kaum Grenzen gesetzt.

Für das Multifunktionsrelais traf ich folgende Festlegungen:

- LED leuchtet grün: Betriebsspannung liegt an, Relais nicht geschaltet,
- LED leuchtet gelb: Signaleingänge laut programmierter Boolescher Funktion aktiv,
- LED leuchtet rot: Relais geschaltet/angezogen,
- LED blinkt rot: Prüftaste betätigt.

Die Anzeige für die Signaleingänge ist nur dann von Bedeutung, wenn das Multifunktionsrelais mit einer Einschaltverzögerung programmiert ist.

#### ■ Programmiermodul

Soll der Mikrocontroller außerhalb der Schaltung programmiert werden, kann jedes Programmiergerät verwendet werden, das die Möglichkeit besitzt, diesen Schaltkreistyp zu beschreiben. Möchte man hingegen eine neue Software aufspielen, ohne den Mikrocontroller aus der Schaltung zu entfernen, also eine in-vivo-Programmierung vornehmen, eignen sich nur solche Geräte, die die serielle Programmierung mit den Signalen Reset, MISO, MO-SI und SCK unterstützen. Diese Signale liegen zusammen mit der Schaltungsmasse auf dem Programmieranschluss X4. Der Steckverbinder für X4 ist so ausgelegt, dass

über ihn direkt das Programmiermodul aus [3] angeschlossen werden kann. Es bezieht seine Stromversorgung aus der Relaissteuerung und ist über ein 25-poliges Verbindungskabel mit der parallelen Schnittstelle eines PCs zu verbinden.

#### ■ Anschlussbelegung

Soll die Relaissteuerung, wie in Bild 1 zu sehen, zusammen mit dem Modulträger in einem 12-poligen Hutschienengehäuse untergebracht werden, gilt das Anschlussschema in Tabelle 2.



Bild 11: Wurde das Multifunktionsrelais mit einem passenden Aufkleber versehen, lässt sich auch später noch die Beschaltung der Baugruppe im Schaltschrank nachvollziehen. Fotos: Bauer

Hinweise und Anfragen zum konzeptionellen Aufbau einer individuellen Relaisansteuerung, zu industriell gefertigten Leiterplatten oder zur Programmierung können per E-Mail direkt an mich gerichtet werden. *ingolf.bauer@nexgo.de* 

#### Literatur

- [1] MCS Electronics: BASCOM: www.mcselec.com
- [2] Walter, R.: TWinAVR. www.rowalt.de
- [3] Bauer, I.: Funkuhr modular aufgebaut. FUNK-AMATEUR 53 (2004), H. 12, S. 1238–1240
- [4] Atmel: AT90S2313, Atmel 8-bit with 2 kBytes In-System Programmable Flash. Datenblatt, www.atmel.com
- [5] Walter, R., DL7UNO: Keine Angst vor Mikrocontrollern! FUNKAMATEIR 51 (2002) H. 4, S. 358–361 bis 52 (2003) H. 11, S. 1109–1111
- [6] Walter, R.: AVR-Mikrocontroller-Lehrbuch. Eigenverlag 2004, FA-Leserservice Z-0010
- [7] Walter, R.: Über AVR-Mikrocontroller. www.rowalt.de/mc/index.htm
- [8] Schwarz, A.: News. www.mikrocontroller.net
- [9] Reichelt Elektronik: www.reichelt.de

# Von Kreditkarten bis SmartCards – die Welt der Chipkarten

#### **KAI-UWE MRKOR**

Chipkarten sind allgegenwärtig. Eher unbemerkt haben sie sich in alle Bereiche unseres Alltags geschlichen. Aber wie funktionieren sie und wie kann man auf ihre Inhalte zugreifen? Und was macht sie zu einer Smart-Card – also zu einer cleveren Chipkarte?

Alles begann in den Fünfziger Jahren mit einer von Diners Club herausgegebenen Kreditkarte aus Plastik. Sie verdrängte in kürzester Zeit die bis dahin gebräuchlichen Versionen aus Papier oder Karton und galt für ihre Zeit als besonders fälschungssicher. Während auf den ersten Karten die Daten wie Name und Kundennummer lediglich aufgedruckt waren, wurde schnell dazu übergegangen, diese Angaben mittels Hochprägung auf den Kartenkörpern aufzubringen. Zusätzliche Sicherheitsmerkmale sowie ein Unterschriftsfeld erhöhten den Fälschungsschutz nochmals. Den aktuellen Höhepunkt dieser Art rein visueller Schutzmechanismen stellt das Aufbringen von Hologrammen und/oder Passbildern dar. Aber auch das ist kein wirklich großes Hindernis für Fälscher.



Bild 1: Eine wahre Flut von Geldkarten hat mittlerweise alle Bereiche des Alltags erobert.

Daher kam der Wunsch nach zusätzlichen maschinenlesbaren Informationen auf, wozu die Kartenrückseite einen Magnetstreifen erhielt. Auf ihm sind, je nach Kartenherausgeber, nur die auf der Karte aufgedruckten Daten oder noch zusätzliche Informationen untergebracht. Bekanntester Vertreter dieser Gattung dürfte die EC-Karte sein, auf deren Magnetstreifen unter anderem die Kontonummer des Karteninhabers gespeichert ist. Das erleichtert die Beglaubigung an einem Bankterminal, da hier nur noch die zum Konto zugehörige PIN eingegeben werden muss. Dieses Verfahren erhöht zwar den Bedienkomfort aber nicht die Sicherheit, denn der Magnetstreifen kann nicht vor unbefugtem Lesen oder Schreiben geschützt werden.

Jürgen Dethloff und Helmuth Grötrupp schlugen in ihrem 1968 in Deutschland zum

Patent angemeldeten Verfahren zum Einbau von ICs in Karten einen völlig anderen Weg ein. Der erste Durchbruch dieser Idee war der 1984 erfolgreich verlaufene Feldversuch der französischen Telefongesellschaft *PTT* mit Telefonkarten. Auch beim Pilotversuch der Deutschen Telekom 1984/1985 konnte sich die Chipkarte durchsetzen. Ein ebenso prominenter Vertreter dieser Chipkartengeneration ist die 1994 in Deutschland eingeführte Krankenversichertenkarte.

Während es sich bei den ersten Chipkarten vorrangig um Speicherkarten handelte, wurde schon 1988 bei der Einführung des analogen Mobilfunknetzes (C-Netz) auf Chipkarten mit eigenem Prozessor (Smart-Cards) als Zugangskarte zurückgegriffen. Der auf der Karte untergebrachte Controller ermöglicht nicht nur eine vor Manipulation sichere Unterbringung von Daten, sondern kann auch die Authentifizierung mittels aufwändiger Kryptoalgorithmen, unabhängig vom benutzten Mobiltelefon, übernehmen. Die positiven Erfahrungen im C-Netz wurden 1991 mit den SmartCards im GSM-Netz übernommen.

#### Aussehen und Kontaktflächen

Ein nicht unwesentlicher Grund für die große Verbreitung von Chipkarten liegt in der schon frühen Schaffung von Normen für die physikalischen, elektrischen oder informationstechnischen Aspekte, wodurch die Zersplitterung des Marktes in unzählige zueinander inkompatible Formate und Protokolle verhindert wurde. Hier hervorzuheben ist die ISO 7816 (Identification Cards – Integrated circuit cards with contacts). Selbst die äußeren Abmessungen von Chipkarten und die Position des Kontaktfelds sind dort genau festgelegt, siehe Bild 3.

Alle drei Kartenformate besitzen mit 0,76 mm die gleiche Dicke, was unter anderem Adapter zwischen den drei Formaten ermöglicht. Sehr gebräuchlich sind z. B. Adapterkarten im Format ID-1 zur Aufnahme von ID-000-Karten. Da handelsübliche Chipkartenterminals meist nur ID-1-Karten aufnehmen können, eignen sich solche Adapter z. B. für SIM-Karten aktueller Mobiltelefone.

Auch die Größe, Lage und Belegung der elektrischen Anschlüsse kontaktbehafteter

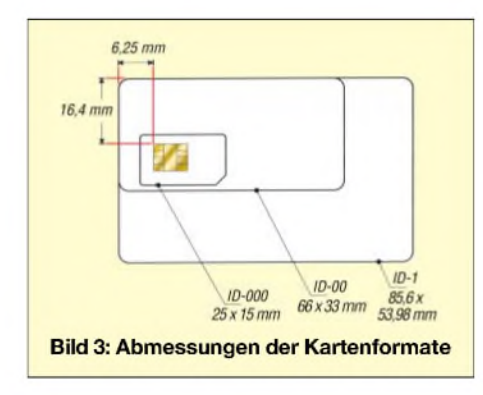
Chipkarten sind in der ISO 7816 festgelegt, siehe Bild 2.  $V_{CC}$  stellt dem Chip die benötigte Versorgungsspannung (1,8, 3 oder 5 V) und GND die zugehörige Masse zur Verfügung. RST erlaubt es, dem Chip ein Rücksetzsignal zu senden. CLK und 1/O sind für die Kommunikation zuständig. Bei einem synchronen Übertragungsprotokoll kann durch CLK die Kommunikation getaktet werden, I/O dient als bidirektionaler serieller I/O-Port. Über Vpp sollte dem Chip eigentlich eine Programmierspannung zur Verfügung gestellt werden. Da diese aber von aktuellen Prozessoren schon intern mittels Ladungspumpen aus der Betriebsspannung erzeugt werden kann, wird dieser Kontakt schon seit langem nicht mehr benutzt. Die beiden RFU-Kontakte sind zurzeit noch nicht belegt und für zukünftige Erweiterungen vorgesehen.



#### ■ Einteilung der Chipkarten

Chipkarten selbst lassen sich z. B. nach Chiptyp und Art der Datenübertragung klassifizieren, siehe Bild 6. So wird bei der Unterscheidung nach Chiptyp bei Speicherkarten in Typen mit und ohne Sicherheitslogik unterschieden. Letztere soll den unbefugten Zugriff auf den Karteninhalt verhindern. Bei den Prozessorkarten gibt es Typen mit und ohne Koprozessor. Er soll den eigentlichen Chipkartenprozessor, oft ein 8-Bit-Mikrocontroller, bei der Berechnung von Kryptoalgorithmen, wie z. B. RSA oder DES, entlasten.

Neben den bisher vorgestellten kontaktbehafteten Chipkarten gibt es auch kontaktlose, die ihre Daten über induktive Kopplung übertragen. Die Bereitstellung der Versorgungsspannung erfolgt über das Prinzip eines lose gekoppelten eisenlosen Transformators [2]. Daneben gibt es auch Karten mit einem Dual-Interface, welche beide Übertragungsarten – kontaktbehaftet und kontaktlos – unterstützen.





#### ■ Aufbau der Speicherkarten

Speicherkarten enthalten in der Regel einen oder mehrere nicht flüchtige Speicher (ROM, EPROM oder EEPROM), auf die direkt lesend zugegriffen werden kann, siehe Bild 4. Das Beschreiben des Kartenspeichers kann bei Einsatz einer optionalen Sicherheitslogik gegebenenfalls erst nach Übergabe einer meist vierstelligen PIN erfolgen. Mehr Datensicherheit bieten Speicherkarten nicht.

Die Kommunikation mit den ICs auf solchen Karten erfolgt generell über ein taktsynchrones Protokoll. Ein auf Speicherkarten oft eingesetztes serielles Bussystem ist z. B. der I<sup>2</sup>C-Bus. Dieser ursprünglich von Philips zur Kopplung benachbarter Schaltkreise auf einer Leiterplatte entwickelte Bus hat gerade durch seinen besonders einfachen Aufbau schnell für eine große Verbreitung gesorgt. Deshalb ist es auch gar nicht verwunderlich, Speicherbausteine mit diesem Interface auf Speicherkarten wiederzufinden. Daneben haben sich mit dem 2- und 3-Draht-Bus noch zwei von Siemens entwickelte Bussysteme auf dem Speicherkartenmarkt durchgesetzt.

Durch den besonders einfachen Aufbau eignen sich Speicherkarten vorrangig für preiswerte Massenapplikationen mit geringen Sicherheitsanforderungen. Ein besonders gutes Beispiel dafür ist die Krankenversichertenkarte. Sie ist millionenfach im Einsatz und musste deshalb möglichst preiswert sein – daher fiel die Wahl schnell auf die Speicherkartentechnik. Der damit erkaufte Makel bestand in ungenügenden Schutzmechanismen. Das verhinderte die Unterbringung von vertraulichen Informationen auf diesen Karten und beschränkte deren Inhalt auf die sowieso schon auf die Karte aufgedruckten Informationen.

#### ■ Aufbau von Prozessorkarten

Prozessorkarten, auch SmartCards genannt, sind die konsequente Weiterentwicklung der Speicherkarten und stellen einen kompletten Rechner mit CPU, ROM, EEPROM und RAM zur Verfügung, siehe Bild 5. Dadurch sind Chipkarten erstmalig in der Lage, ihre Daten vollständig vor unbefugten Zugriffen zu schützen. Alle auf der Karte abgelegten Daten stehen nur dem Kartenprozessor zur freien Verfügung. Der Zugriff von außen auf die auf der Karte abgelegten Daten ist nur über vorher festge-

legte Anfragen an den Kartenprozessor möglich, der wiederum eine Authentifizierung des Anforderers verlangen kann.

Der RAM einer SmartCard dient dem chipeigenen Prozessor als Arbeitsspeicher, der EEPROM ermöglicht die dauerhafte Ablage von Daten und ein vom Hersteller maskenprogrammierter ROM enthält das Betriebssystem. Letzteres hat die Aufgabe, die von einem angeschlossenen Terminal gesendeten Anfragen zu empfangen, auszuführen und eine Antwort zu senden. Eigene Programme können auf solchen Karten in der Regel nicht abgelegt werden. Als Übertragungsprotokolle kommen vorwiegend die in der ISO 7816-3 beschriebenen Protokolle namens T0 und T1 zum

#### ■ Chipkartenterminals

Einsatz.

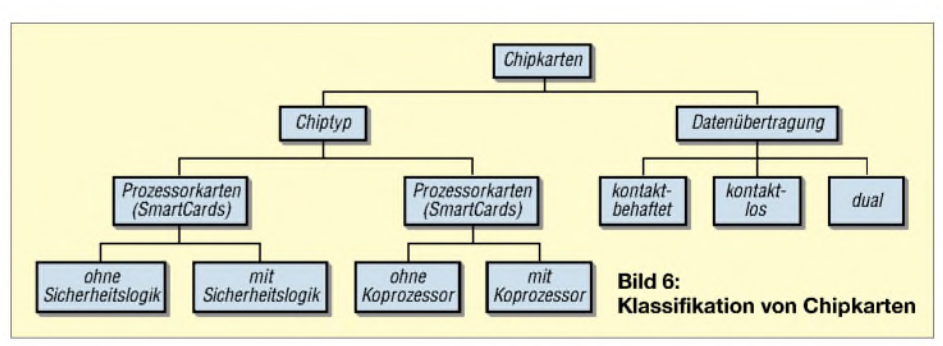
Um auf die auf einer Chipkarte abgelegten Daten zugreifen zu können, ist eine spezielle Schnittstelle nötig. Die dafür leider oft zu findende Bezeichnung Chipkartenlesegerät beschreibt ihre Möglichkeiten unzureichend, da Chipkarten auch beschrieben werden können. Während die ISO von einem Chipkarteninterface (chipcard interface device, IFD) spricht, hat sich im deutschen Sprachraum die Bezeichnung Chipkartenterminal durchgesetzt.

ner V.24- oder USB-Schnittstelle zum Anschluss an einen Rechner sein.

Die Kommunikation zwischen Chipkarte und Terminal erfolgt über eine einzelne bidirektionale Datenleitung im Halbduplex-Verfahren. Dabei nimmt die Chipkarte eine passive Rolle ein und reagiert nur auf vom Terminal angestoßene Kommandos. Nach dem Kontaktieren der Karte erfolgt vom Terminal ein Befehl an die Chipkarte, einen Power-On-Reset durchzuführen. Als Antwort sendet diese nun eine ATR-Zeichenkette, deren Inhalt in der ISO 7816 standardisiert ist und die z.B. Informationen über das Übertragungsprotokoll enthält. Nach dem Empfang dieses Strings kann das Kartenterminal seine erste Anweisung an die Chipkarte senden, die es ausführt und eine Antwort zurückgibt. Danach begibt sich die Chipkarte in einen Wartezustand, aus dem sie sich erst löst, wenn wieder eine Anfrage vom Terminal eintrifft. Dieses Challenge-Response-Verfahren – oft als Ping-Pong-Kommunikation bezeichnet – ist die Basis jeglicher Kommunikation zwischen Kartenterminal und Chipkarte, siehe Bild 8.

#### ■ Terminalklassen

Chipkartenterminals werden in vier Sicherheitsklassen aufgeteilt. So sind Geräte der Klasse 1 einfache Kontakteinheiten ohne eigenen Prozessor, die lediglich eine physikalische Verbindung zwischen Host und Chipkarte realisieren. Die gesamte Kommunikation wird vom Host aus gesteuert, siehe Bild 7. Geräte der Klasse 2 besitzen einen eigenen Prozessor, der die Mittlerrolle zwischen Chipkarte und Host übernimmt. Programme auf dem Host haben dadurch keinen direkten Zugriff auf die



Das Angebot solcher Terminals ist sehr breit. Bei den einfachen handelt es sich um batteriebetriebene Taschengeräte zur Anzeige der Daten einer ganz bestimmten Kartenart, wie z.B. der Telefonkarte. Ein Beschreiben der Karte oder das Lesen einer anderen Kartenart ist damit nicht möglich. Am anderen Ende der Leistungsskala von tragbaren Geräten finden sich hoch spezialisierte Terminals mit Tastatur und Anzeige zur Abwicklung eines elektronischen Zahlungsverkehrs. Am bekanntesten dürften die stationären Chipkartenterminals mit ei-

Karte mehr. Somit werden unberechtigte Zugriffe von bösartigen Programmen auf vertrauliche Informationen wirksam verhindert. Außerdem verfügen passende Terminals auch über eine eigene numerische Tastatur für die Eingabe von PINs. Bei der Anforderung einer PIN trennen sie für die Zeit der Eingabe die Verbindung zum Host und verhindern so ein Ausspähen dieser schützenswerten Information.

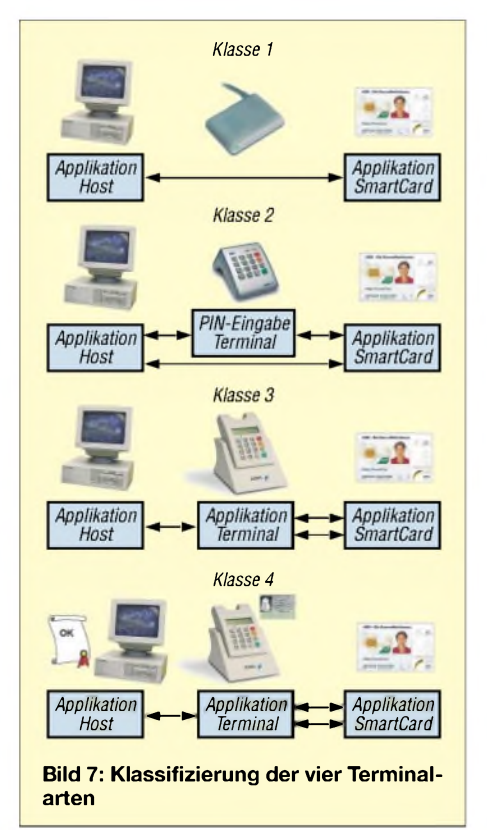
Die Terminals der Klasse 3 verfügen zusätzlich zu den Eigenschaften der Klasse 2 noch über ein Display. Dadurch und durch die Fähigkeit, eigene Applikationen im Kartenterminal auszuführen, kann die Chipkarte vollständig gekapselt werden – kein Kommando wird direkt vom Host an die Karte geleitet. Das Programm auf dem Host kommuniziert mit der Applikation auf dem Chipkartenterminal. Diese Anwendung prüft jedes Kommando und entscheidet selbstständig über den weiteren Verlauf der Sitzung.

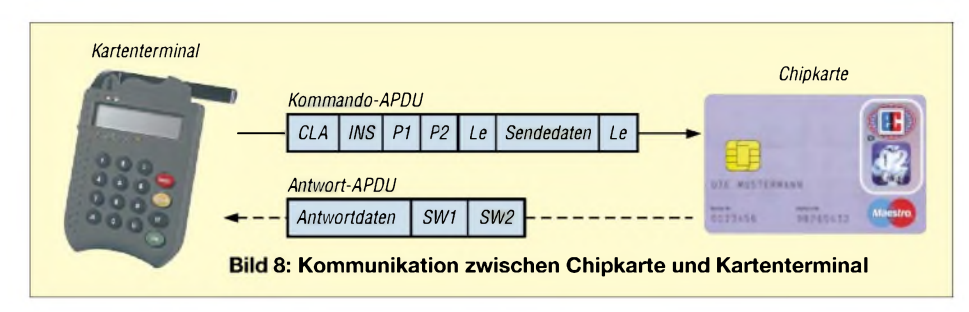
Terminals der Klasse 4 gehen sogar noch einen Schritt weiter und besitzen durch das eingebaute Sicherheitsmodul eine eigene Identität. Jedes dieser Geräte verfügt über einmalige private Schlüssel eines asymmetrischen Kryptoverfahrens und kann daher selbst digitale Signaturen erstellen, die ihm eindeutig zugeordnet werden können [3].

#### ■ Datenablage auf SmartCards

Der Einsatz eines linearen, direkt adressierbaren Datenspeichers, wie z. B. bei Speicherkarten, ist bei SmartCards aus Sicherheitsgründen nicht geeignet. Ansonsten könnten bei fest vorgegebenen Speicheradressen relativ einfach Daten ausgespäht werden. Außerdem ist damit keine effiziente Außerdem ist damit keine effiziente Außteilung der Daten möglich. Die Forderung nach der Vergabe von individuellen Zugriffsrechten kann so ebenfalls nicht erfüllt werden. Deshalb verfügen aktuelle Prozessorkarten über ein eigenes Dateisystem.

Insgesamt kennt ein Dateisystem nach der ISO 7816-4 drei verschiedene Elemente. Die *elementary files* (EF) sind Dateien zum Aufnehmen der auf der Chipkarte abzule-





genden Daten. Eine bessere Übersichtlichkeit auf einer Chipkarte mit vielen EFs ermöglichen Verzeichnisse, hier dedicated files (DF) genannt. Neben EFs können innerhalb eines solchen DFs auch andere DFs als Unterverzeichnisse untergebracht werden. Nur einmal auf jeder Chipkarte vorhanden ist das master file (MF). Es entspricht dem Wurzelverzeichnis, so wie es auch in anderen hierarchischen Dateisystemen implementiert ist. Nach dem Rücksetzen der SmartCard ist immer das MF selektiert. Jede Datei, sei es nun eine EF oder DF, beinhaltet neben dem eigentlichen Dateiinhalt auch Information über sich selbst im Dateiheader. Hier sind z. B. alle Informationen zu den Zugriffsbedingungen untergebracht, bei einer EF darüber hinaus auch noch ein Hinweis auf das verwendete Datenformat. Diese haben bei SmartCards sogar einen herausragenden Stellenwert, soll doch eine Prozessorkarte vor allem ein sicherer Datenträger sein. Deshalb ist es besonders wichtig, konfigurieren zu können, wer wann und wie auf eine EF oder DF zugreifen darf. Selbst die Ausführungsrechte einzelner Kommandos, wie das Erstellen, Löschen, Lesen oder Schreiben eines EF oder DF, sind einzeln auswählbar. Dadurch kann man z. B. vereinbaren, dass ein EF zwar nach erfolgreicher Authentifizierung lesbar aber nicht löschbar ist.

#### ■ Dateiformate

Während in sonst gebräuchlichen Dateisystemen jede Anwendung ihr mehr oder weniger eigenes Dateiformat definiert, kennt die ISO 7816-4 nur vier.

Bei *transparent* handelt es sich um eine ganz gewöhnliche Binärdatei, bei der alle Daten hintereinander stehen. Eine vorgegebene Struktur innerhalb des EFs ist nicht vorhanden. Dies zu realisieren liegt in der Aufgabe des Programmierers. Der Zugriff auf ein solches EF erfolgt mittels der ISO-Kommandos *Write Binary*, *Update Binary* und *Read Binary*.

Das Format *linear fixed* beschreibt eine Struktur von gleichlangen Datensätzen (Records), die miteinander verkettet sind. Alle Records haben die gleiche Größe. Der Zugriff auf eine solche Datei erfolgt immer auf einen einzelnen Record mittels der Befehle *Write Record*, *Update Record* und *Read Record*. Ein Record ist somit die

kleinste adressierbare Einheit einer *linear* fixed EF.

Mit Records variabler Länge kann das Format *linear variable* umgehen. Bei Datensätzen gleichen Aufbaus, aber unterschiedlicher Datenlänge kann so viel Speicher gespart werden.

Das Format cyclic besitzt Records gleicher Länge, die zu einem Ringpuffer verbunden sind. Dazu verwaltet es intern einen zusätzlichen Zeiger, der immer auf den zuletzt beschriebenen Record zeigt. Nachdem der letzte Record des EF beschrieben wurde, verweist der Zeiger dann wieder auf den ersten Record.

Neben diesen vier festgelegten Formaten bietet die europäische Norm EN 726-3 auch ein Dateiformat namens *execute* zur Aufnahme von ausführbarem Code. Im Aufbau entspricht es dem Format *transparent*, jedoch handelt es sich bei den dort abgelegten Bytes nicht um Daten, sondern um ein ausführbares Programm.

Alle bisher aufgeführten Formate sind optional, sodass nicht jede Karte all diese Dateiformate unterstützen muss. Immerhin ist die Implementierung spezieller Dateiformate sehr codeintensiv. Und da der Speicher von Chipkarten sowieso ein knappes Gut darstellt, verzichten viele Hersteller auf Formate wie *cyclic* oder *linear variable* und auch auf einige Kommandos.

#### **■ Schnittstellen**

Der Zugriff auf eine Chipkarte von einem PC aus erfolgt in der Regel über ein Chipkartenterminal. Als Programmierschnittstellen haben sich hier vor allem PC/SC (Personal Computer/SmartCard) und CT-API (Chipkarten Terminal-API) etabliert. PC/SC stellt dem Programmierer die Grundfunktionalität eines Resource Managers zur Verfügung. Dieser wiederum kommuniziert mit dem Chipkartenterminal über einen speziell auf das verwendete Gerät zugeschnittenen Treiber, dem so genannten IFD-Handler (Interface Device). Diese Trennung von Programmierschnittstelle und Hardwareanbindung hat sich sehr gut bewährt. Dem Resorce Manager ist es somit völlig egal, von wem das Chipkartenterminal stammt und ob es über USB, V.24 oder einen PCMCIA-Slot angeschlossen wird. Das abzuwickeln ist Aufgabe des jeweiligen IFD-Handlers.

#### ■ Geldkarte

Damit alles bisher Geschriebene nicht zum Selbstzweck verkommt, soll nun ein kleines Beispielprogramm zur Abfrage des aktuellen Guthabens auf einer Geldkarte folgen. Die schon im Herbst 1996 eingeführten, wieder aufladbarne elektronischen Geldbörsen sind leicht an dem kleinen goldfarbenen Kontaktflächen auf der Vorderseite zu erkennen. Sie befinden sich laut [4] auf immerhin schon 60 Mio. in Deutschland herausgegebenen Bankund Sparkassenkarten.

Trotzdem war der Geldkarte noch kein großer Durchbruch vergönnt. Dabei eignet sie sich hervorragend für das bargeldlose Bezahlen kleinerer Beträge ohne PIN oder Unterschrift in Geschäften, an Parkscheinautomaten und im öffentlichen Nahverkehr. Bei Zigarettenautomaten könnte sie sogar alleiniges Zahlungsmittel werden – hier vorrangig, um Minderjährigen den Erwerb von Zigaretten zu erschweren.

Leider hat die Karte auch einige Nachteile. Immerhin handelt es sich um eine so genannte elektronische Geldbörse. Vor jedem Geldausgeben muss also erst einmal Geld auf die Karte geladen werden. Man tauscht also richtiges gegen elektronisches Geld – etwas, wozu bestimmt nicht jeder bereit ist. Nebenbei führt das auch noch dazu, dass man den Börsenbetreiber für die Dauer des Verbleibs dieses Betrags auf der Karte quasi einen zinslosen Kredit gewährt. Dieser ist zwar für den einzelnen Kartenbesitzer unerheblich, summiert sich aber für den Betreiber auf ganz interessante Beträge. Der eigentliche Gau tritt aber

#### Kommunikation mit der Geldkarte

```
int SendeAPDU(SCARDHANDLE *hCard,
unsigned char *APDU,
 unsigned char laengeAPDU,
unsigned char *antwort)
LONG status;
DWORD AntwortLaenge;
 /* Kommando senden */
AntwortLaenge=255:
 status=SCardTransmit(*hCard,
 SCARD_PCI_T1, APDU, laengeAPDU,
 NULL, antwort, &AntwortLaenge);
 if (status != SCARD_S_SUCCESS)
 printf("SCardTransmit fehlgeschlagen\n");
 return FALSE;
 /* Trailer der Antwort-APDU pruefen */
if (!(antwort[AntwortLaenge-2]==0x90
 && antwort[AntwortLaenge-1]==0x00))
  /* hier Zeilen einfuegen */
  return FALSE;
return TRUE;
```

ein, wenn die Karte defekt ist oder verloren wurde – möglichst noch nach dem Laden des maximalen Börsenwertes von zurzeit 200 €. Dann ist man komplett der Kundenfreundlichkeit des Börsenbetreibers ausgeliefert.

#### ■ Karte auslesen

Vor dem Programm eines gleich vorweg – jegliche Interaktion mit einer Geldkarte aus diesem Programm dient nur zum Auslesen der Karte. Dieser Beitrag kann und will keine Anleitung zur Manipulation der Geldkarte sein! Es soll nur eine Möglichkeit bieten, den aktuellen Guthabenstand der Karte auch am heimischen PC schnell und unkompliziert abzufragen.

```
Auszug aus dem Dateisystem
einer Geldkarte [6]
             FID
                        Länge
Name
             3F 00
             00 03
                        1 Record = 22 Byte
EF_{ID}
                        1 Record = 8 Byte
             00 17
EF<sub>Version</sub>
             A2 00
DF<sub>Börse</sub>
EF<sub>Betrag</sub>
             01 04
                        1 Record = 9 Byte
                       1 Record = 27 Byte
1 Record = 2 Byte
\mathrm{EF}_{\mathrm{B\ddot{o}rse}}
             01 05
EF<sub>LSEQ</sub>
             01 06
                        1 Record = 2 Byte
EF_{LBEO}
             01 07
EF_{LLOG}
             01 08
                        1...3 Records = 33 Byte
                       1...15 Records = 37 Byte
             01 09
EF<sub>BLOG</sub>
```

Dreh- und Angelpunkt ist die Kenntnis über die Dateistruktur. Eine aktuelle Beschreibung ist bei [5] für 45,24 € erhältlich. Wer sich mit einer Version von 1997 anfreunden kann, findet unter [6] auch einen kostenlosen Download. Der grundlegende Aufbau einer Geldkarte besteht aus zwei DFs, eines für EC-Cash und eines für eine Geldkarte. Das klingt am Anfang etwas verwirrend, lässt sich aber schnell auflösen, wenn es jeweils im Kontext betrachtet wird. Man muss hier lediglich zwischen den beiden Begriffen Geldkarte als Bezeichnung für den eigentlich Chip und als Kennzeichnung für die darauf untergebrachte Geldkartenanwendung unterscheiden.

EC-Cash selbst ist das Chipkartenäquivalent zum Magnetstreifen einer EC-Karte. Nach korrekter Eingabe der dazugehörigen PIN wird der anfallende Betrag on- oder offline bezahlt und von dem dazugehörigen Konto abgebucht. Die Geldkartenanwendung wiederum gibt es in zwei verschiedenen Ausprägungen, und zwar mit und ohne Kontobezug. Letztere eignet sich hervorragend als Wertkarte für das anonyme Bezahlen. Erkennen kann man sie an dem Wert FFh in Byte 1 des  $EF_{Borse}$ .

Für das Programm ist diese Unterscheidung aber unerheblich. Hier gilt es lediglich zwei EFs auzulesen:  $EF_{1D}$  enthält Grundinformationen zur Karte (Kartennummer, Währung usw.) und  $EF_{Betrag}$  gibt Auskunft über aktuellen und maximalen

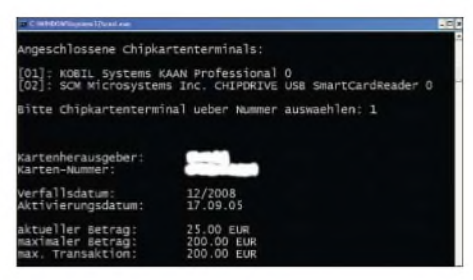


Bild 9: Das Programm *Geldkarte* gibt den aktuellen Betrag der Geldkarte aus.

Foto, Screenshot: Mrkor, MEV

Kartenbetrag, sowie den Maximalbetrag für eine einzelne Transaktion.

Das Programm umfasst folgende Schritte:

- PC/SC-Kontext beschaffen,
- mit der Geldkarte verbinden,
- $-EF_{ID}$  auslesen, in  $DF_{B\ddot{o}rse}$  wechseln und  $EF_{Betrag}$  auslesen,
- Verbindung mit Karte trennen,
- PC/SC-Kontext wieder freigeben.

Die Funktion zur Kommunikation mit der Geldkarte innerhalb des Programms ist SendeAPDU(). Sie erhält beim Aufruf neben dem Kartenhandle einen Zeiger auf die zu sendende Kommando-APDU, die Länge dieser APDU und einen Zeiger auf einen Puffer zur Aufnahme der Antwort von der Chipkarte. Der genaue Aufbau der verwendeten APDUs kann [5] oder [6] entnommen werden.

Nach dem Senden mittels SCardTransmit() folgt eine zweistufige Erfolgskontrolle. Ist der Rückgabewert gleich der Konstanten SCard\_S\_Success, gelang zumindest die Übergabe des Kommandos an die Chipkarte. Steht nun auch noch im Trailer der Antwort-APDU die Kombination '90:00', war auch die Ausführung erfolgreich.

Bild 9 zeigt die Ausgabe des kleinen Programms. Beim Betrachten des vollständigen Quelltextes fällt auf, dass dazu relativ wenige Programmzeilen nötig sind. Zu verdanken haben wir das vorrangig der verwendeten Programmierschnittstelle PC/SC. Sie reduziert den eigenen Aufwand auf grundlegende Ressourcenfragen und den Austausch von Kommando- und Datenpaketen. So lassen sich schon mit einfachen Grundkenntnissen in C sehr schnell und einfach auch komplexe Applikationen verwirklichen.

#### Literatur

- [1] Rankel, W.: Handbuch der Chipkarten. Hanser-Verlag, München/Wien 2002
- [2] Wireless Intelligence: www.wirelessintelligence.com/
- [3] Kobil Systems GmbH: www.kobil.de
- [4] Euro Kartensysteme GmbH: www.geldkarte.de
- [5] N.N.: Schnittstellenspezifikationen f
  ür die ZKA-Chipkarte. Bank Verlag K
  öln, www.bank-verlag.de
- [6] N.N.: Schnittstellenspezifikation f
  ür die ec-Karte mit Chip, Version 2.2. ftp://ftp.ccc.de/docs/cards/ geldkarte.pdf

# Schaltnetzteile in der Hand des Funkamateurs (3)

Dipl.-Ing. HORST SIEGISMUND - DL1XR

Nach Behandlung der Grundlagen im ersten und Vorstellung verschiedener Grundtypen im zweiten Teil dieser Beitragsfolge geht es nun weiter mit der Beschreibung eines konventionell aufgebauten Schaltnetzteils. die bereits in der vorigen Ausgabe begann.

Die weitere Detailbeschreibung bezieht sich immer noch auf Bild 9 der vorigen Ausgabe.

C7 trennt T5 galvanisch vom Thyristorersatz und räumt mit einer negativen Differenzierspitze T5 (siehe Bild 3 in der ersten Folge, unten) aus, wenn er hochohmig gesteuert werden soll.

Der Thyristorersatz mit T2 und T3 beendet früher oder später durch Kurzschluss die Leitphase von T5. Zur Erinnerung: T5 schwingt auf einer tiefen Frequenz und lässt sich nur zu höheren Frequenzen zwingen. Damit werden die Ausgangsspannungen eingestellt. Sind höhere Schaltfrequenzen gefordert, kommt die Thyristorersatzschaltung mit NPN- und PNP-Transistoren zum Einsatz, denn Thyristoren erweisen sich als zu langsam.

Emitter-Diode von T5 möglich, der dann sperrt. Ein Thyristor bleibt leitfähig, wenn er gezündet wurde und die Kopfspannung weiter anliegt. Die Sperrschwingerwicklung 3/4 polt jedoch periodisch die Spannung um, sodass T2 und T3 von allein hochohmig werden. R13 und R11 dienen der Spannungsversorgung im hochohmigen Zustand.

Eine erneute Zündung kann über R9, R10 und den "Sägezahn" erfolgen. Hier wird eine Gleichspannung aus dem Regelverstärker mit dem Spannungssägezahn von R17 addiert. Die mehr oder weniger positive Regelspannung verschiebt damit den Zündzeitpunkt.

Eine positivere Regelspannung benötigt nur noch weniger positive Anteile des Sägezahnes zum Zünden. Das verkürzt die

R<sub>Last</sub> Spannung schwankt zwischen 10 V stabil +20 V und +18 V 10 V stabil Spannung schwankt Spannungsfall schwankt zwischen 10 V und 8 V +20 V und +18 V Bild 13: Die Z-Diode reicht die volle Spannungsänderung an den Lastwiderstand

trollwicklung erscheint, weil der Kupferdraht Gleichstrom passieren lässt. C2 glättet und Doppeldiode D3 stabilisiert

die Spannung an C2 auf -1,4 V. Die negative Spannung ist notwendig, um im Re-

gelfall die tiefen Frequenzen erreichen zu können und um so den Thyristorersatz län-

ger hochohmig zu halten. Diese Spannung

wird über R8 mit der veränderlichen Kol-

Spannungsfall schwankt

lektorspannung des T1 addiert.

durch.

Die veränderliche Ist-Spannung von der Katode D1 wirkt an der Z-Diode (10 V) und am Spannungsteiler R2, R3 und R4. Der Soll-Ist-Vergleich geschieht an der Basis-Emitter-Diode von T1. Bild 13 zeigt, ob die Änderung an der Basis oder am Emitter wirkt: Im oberen Bildteil wird wie üblich die Spannungsänderung der Quelle durch mehr oder weniger Strom durch die Z-Diode abgefangen. Für den Verbraucher erhält man an den Klemmen A und B eine stabile Spannung.

Beim Tausch des Vorwiderstands gegen die Z-Diode (Bild 13 unten) bleibt die Z-Spannung stabil und die Änderung wird ohne Minderung an die Klemmen A/B weitergereicht. Das geschieht am Emitter (im Vergleich zu Bild 13, Klemme A) von T1. Der Vorwiderstand für D2 ist R6 (10  $k\Omega$ ). Die Basis von T1 wird nur im Teilerverhältnis der Widerstände R2, R3 und R4 verändert. Die Ist-Größe wirkt also wesentlich am Emitter T1 und wird mit der Emitter-Basis-Spannung von T1 verglichen.

#### Wichtiger Hinweis

Bei Reparaturarbeiten in den beschriebenen Funktionsgruppen muss ein Trenntransformator die galvanische Verbindung zum Netz unterbrechen. C11 soll eine ka-

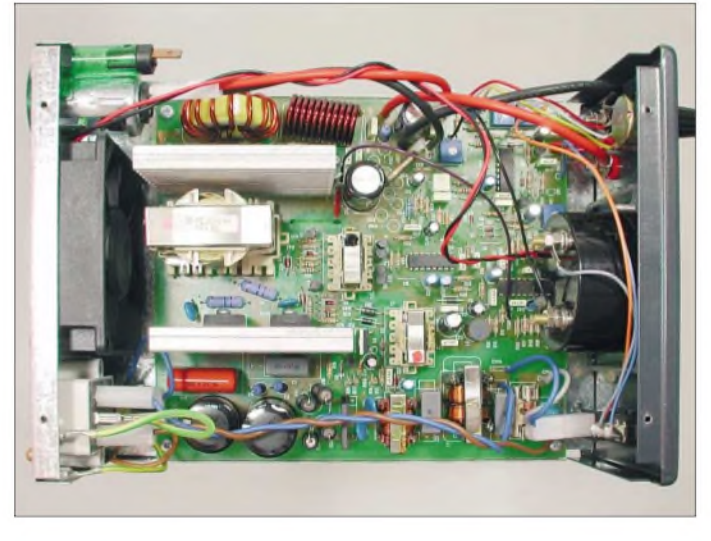


Bild 12: Blick in ein geöffnetes SNT PTS125 als einem typischen Vertreter von Festfreauenz-SNTs.

Die gegenseitige Verbindung von Basis und Kollektor garantiert den lawinenartigen Sprung in die Leitfähigkeit beider Transistoren. Wenn die Basis von T2 positiver in Richtung Schwellspannung (0,7 V zwischen Basis und Emitter) ansteigt, wird sein Kollektor weniger positiv. Die Basis von T3 wird damit in Richtung "leitfähig" gezogen und sein Kollektor zieht zusätzlich T2 noch leitfähiger. Diese Mitkopplung zwischen ursprünglicher Ansteuerung und eigener "Lawine" entspricht dem Verhalten eines Thyristors.

D4 leitet jetzt und mit R12 (1,2  $\Omega$ ) ist ein niederohmiger Kurzschluss der BasisZeit zwischen zwei Zündpunkten, umgekehrt verlängert sie sich.

Der gesamte Regelverstärker mit dem Soll-Ist-Vergleich schwimmt also auf dem Spannungssägezahn, der von R17 erzeugt wird. Die Kontrollwicklung an Punkt 6 meldet durch Spannungsänderung den Belastungszustand des SNT, da an allen Wicklungen eines Transformators die ausgelösten Änderungen transformiert werden. An der Katode von D1 entsteht eine positive Gleichspannung, die durch L1 geglättet wird. An der Anode von D1 entsteht dagegen beim Gleichrichten eine negative Gleichspannung, die an Punkt 5 der Konpazitive Erdung zum Chassis herstellen. Er muss allerdings so klein sein, dass auf keinen Fall bei Berührung des Chassis, wenn kein Transformator benutzt wird, der maximal zulässige Körperstrom von 30 mA überschritten wird. Zudem muss der C11 sehr spannungsfest sein. Bei Messungen mit Oszilloskop ist, wegen der schlechten Erdung mit C11, immer eine 50-Hz-Verbrummung erkennbar.

#### Zusammenfassung Sperrschwinger-SNT ohne IC

Abschließend beschreibe ich einen kompletten Regelvorgang noch einmal in Stichpunkten:

- Auslöser ist eine höhere Stromabnahme, also ein kleinerer Lastwiderstand.
- Damit wird

$$\tau = \frac{L}{R}$$

größer und der Stromabstieg flacher und länger, entsprechend einer Frequenzabnahme.

- Die induzierte Spannung in allen Wicklungen inklusive in der Kontrollwicklung sinkt (siehe Bild 5, erste Folge).
- An der Katode von D1 entsteht weniger positive Spannung; Tendenz "negativer".
- D2 schiebt in voller Größe die Änderung an den Emitter von T1; die Basis wird nur im Teilerverhältnis angesteuert.
- T1 wird hochohmiger und dadurch der Kollektor ebenfalls weniger positiv, also "negativer".
- Der Sägezahn mit positivem Anstieg von R17 muss jetzt länger wirken, um in der Addition mit der negativeren Spannung von T1 den Thyristorersatz zu zünden.
- Dadurch bleibt T5 länger leitfähig; dies entspricht einer Frequenzverminderung.
- Die Primärwicklung wird durch längeren Stromfluss stärker magnetisch aufgeladen.
- Die Verbraucher werden wieder mit der gewünschten Spannung bei größerem Strom versorgt.
- Zusammenfassung: Mehr Laststrom bewirkt eine tiefere Schaltfrequenz; weniger Laststrom bewirkt eine höhere Schaltfrequenz.

Netzspannungsschwankungen lassen sich einfach ausgleichen: Bei größerer Netzspannung, also größerer Rohspannung, werden der Stromanstieg in der Leitphase von T5 steiler und die magnetische Aufladung schneller erreicht. Somit ändert sich nur das Tastverhältnis von Auf- und Entladung des Sperrschwingertransformators. Bild 14 zeigt schrittweise die Regelung. Um einen schnellen Vergleich zu ermöglichen, wird als Bezugszeit der Übergang

von primärer Aufladung und sekundärer Leistungsentnahme in die Mitte gestellt. In der Realität erfolgen die Abläufe zeitlich nacheinander und dauern mitunter mehrere Schwingungsperioden an. Die Regelzeiten sind jedoch so kurz, dass in Fernsehgeräten Helligkeitssprünge und Lautstärkeänderungen sofort und daher für den Nutzer unmerklich ausgeregelt werden. SNTs für den Amateurfunk arbeiten genau so schnell.

In der Praxis können Last- und Netzspannungsschwankungen gemischt auftreten. Zur besseren Übersicht habe ich in Bild 14 beide Vorgänge getrennt gezeichnet und nicht vermischt.

#### ■ Moderne Schaltnetzteile

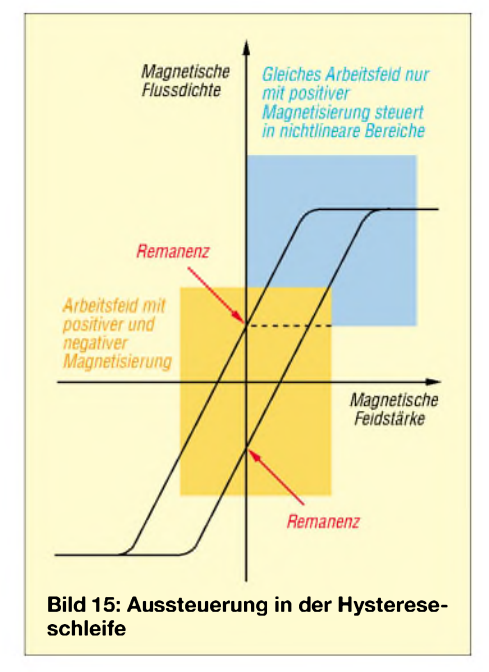
Heute ist man dazu übergegangen, SNTs ausschließlich mit integrierten Schaltkreisen und MOSFETs herzustellen. Ein typischer Vertreter ist der Schaltkreis TDA 4605 von Siemens zur Ansteuerung des Leistungsschalters BUZ 90. Am Prinzip hat sich nichts geändert, nämlich in der Frequenz variierende Eigenschwingung und den Strom nach einem Schalter an einer Induktivität zur Rampe integrieren zu lassen.

MOSFETs lassen sich leistungsärmer, jedoch nicht leistungslos ansteuern. Immerhin bedarf es einer Umladung der Eingangskapazität des isolierten Gates. Aus den Grundlagen wissen wir, dass eine schnelle Spannungsänderung eines Kondensators erhebliche Umladeströme erfordert.

Neben den frequenzvariablen SNTs sind auch auf Festfrequenz-Konzepten basierende erhältlich. Hierbei variiert nur die

Geregelter Zustand ohne Störung Last zieht mehr Strom. Stromabstieg wird flacher; induzierte Spannung ist kleiner als vorher. Mangelmeldung! Primäre Stromflusszeit wird verlängert; sekundärer Stromabstieg wird wieder so steil wie antänglich; ursprüngliche Spannung wird wieder induziert! Ausgeregelter Zustand ohne Störung Netzspannung steigt; primärer Stromanstieg wird steiler: Tastverhältnis ändert sich. Netzspannung sinkt; primärer Stromanstieg wird flacher: Tastverhältnis ändert sich. Bild 14: Regelvorgänge bei Last- und Netzspannungsschwankungen

Leitzeit in einem Zeitfenster, das durch die Festfrequenz vorgegeben ist. Im nächsten Kapitel (nächste Folge) beschreibe ich das SNT PTS 125 von WiMo [2] als typischen Vertreter eines Festfrequenz-SNTs.



Frequenzvariable SNTs haben einen größeren Regelumfang und kommen mit kleineren Kernquerschnitten aus. Warum das so ist, können wir wie folgt veranschaulichen: Im Schwingungsvorgang wird die Hystereseschleife des ferromagnetischen Kerns in beiden Richtungen magnetisiert. Die Remanenz wird bei jedem Nulldurchgang der Schwingung gelöscht, sodass erneut eine volle Magnetisierung erfolgen kann.

Wird dagegen nur in eine Richtung magnetisiert, setzt sich eine weitere Magnetisierung auf die Remanenz und steuert den Kern weiter aus. Um unter diesen Bedingungen nicht in die Sättigung zu geraten, muss man folglich mit einem größeren Kernquerschnitt arbeiten.

Der Praktiker kennt diesen Effekt aus Tabellen zur Auswahl der Kerngröße von 50-Hz-Transformatoren, speziell hinsichtlich der Unterscheidung zwischen Einweg- und Zweiweggleichrichtung. Bei der Einweggleichrichtung und gleicher Leistung gegenüber der Zweiweggleichrichtung muss man den Kern größer wählen, weil sich die Halbwellen auf die Remanenz setzen. Außerdem magnetisiert ein mittlerer Gleichstrom den Kern, was unerwünscht ist.

Bild 15 zeigt die Hystereseschleife von ferromagnetischen Kernen.

(wird fortgesetzt) schmidt-siegismund@t-online.de

#### Literatur und URL

[2] WiMo Antennen und Elektronik GmbH: Am Gäxwald 14, 76863 Herxheim; Tel. (07276) 96680; www.wimo.com

# Bausatz Netzwerktester FA-NWT (2): Funktion und Details

#### NORBERT GRAUBNER - DL1SNG, GÜNTHER BORCHERT - DF5FC

Der nun folgende zweite und abschließende Teil der Beschreibung erklärt die Arbeitsweise von DDS-ICs und einige interessante Schaltungsdetails. Er soll dazu beitragen, die Funktion der Platine besser zu verstehen sowie darüber hinaus zu eigenen Experimenten und Entwicklungen anregen.

#### ■ Wie funktioniert ein DDS-IC?

Ein Register aus D-Flop-Flops bildet zusammen mit einem Addierwerk den so genannten *Phasenakkumulator*. Dies ist der Kern des Synthesizers, siehe Bild 6. Über eine schnelle serielle Schnittstelle (SPI-Port) schreibt ein externer Mikrocontroller einmalig eine konstante Zahl – das so genannte *Frequency Tuning Word* (Frequenz-

geben kann. Höhere Frequenzen sind mit ganzzahligen Vielfachen dieser Einheit möglich. Bei einem Frequenzeinstellwort von 7FFFFFFH (hexadezimal) erhalten wir die höchstmögliche Frequenz, nämlich 199,99999 MHz. In diesem Fall erfolgt der Überlauf des Phasenakkumulators praktisch bei jedem zweiten Taktimpuls.

Das Frequenzeinstellwort lässt sich jederzeit ändern. Sobald ein neues Wort ge-

Phasenakkumuator Quadranten-31-Bit-Register 32-Bit-Register Logik Frequenz-17 PLL (optional) 400 MHz ×20 oder× Taktsignal Kosinus Inverter 20 MHz ode Tabelle ROM (128k× 14) Bild 6: Grundfunktion des AD9951 [7], [8]

einstellwort) – in ein weiteres Register. Dieses ist am zweiten Eingang des Addierwerks angeschlossen. Durch diese Konstruktion erhöht sich der Inhalt des Phasenakkumulators bei jedem Taktimpuls um diejenige Zahl, die am zweiten Eingang des Addierwerks anliegt. Der Phasenakkumulator ist also ein Zähler mit steuerbarer Sprungweite.

Jeder Zähler läuft irgendwann über. Dabei geht zwar das höchstwertige Bit verloren, aber ansonsten addiert der Phasenakkumulator ganz normal weiter, so als ob links vom höchstwertigen Bit noch ein höheres Bit gestanden hätte. Er springt also nicht unbedingt auf Null zurück, sondern direkt auf den Rest, der sich aus der Addition der Konstanten mit dem letzten Zählerstand ergibt. Der Augenblick des Überlaufs ist maßgeblich für die Periodendauer des erzeugten Ausgangssignals und damit für dessen Frequenz.

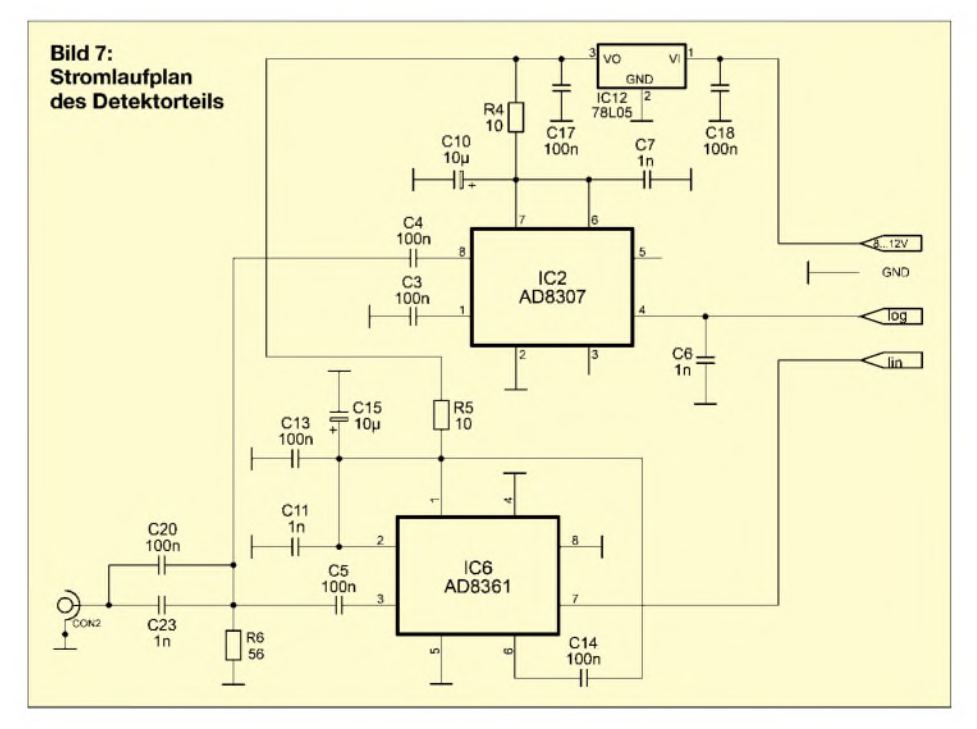
Beim AD9951 hat der Phasenakkumulator eine Größe von 32 Bit. Bei der maximalen Taktfrequenz von 400 MHz und bei einem Frequenzeinstellwort von 1 dauert ein Durchlauf 10,74 s. Das entspricht einer Signalfrequenz von 0,093 Hz und (außer 0 Hz) gleichzeitig der kleinsten Frequenz, die der AD9951 bei 400 MHz Taktfrequenz ab-

schrieben ist, fährt der Phasenakkumulator mit der neuen Sprungweite fort. Das kann also auch mitten in einer Periode sein, was abrupte Phasensprünge vermeidet.

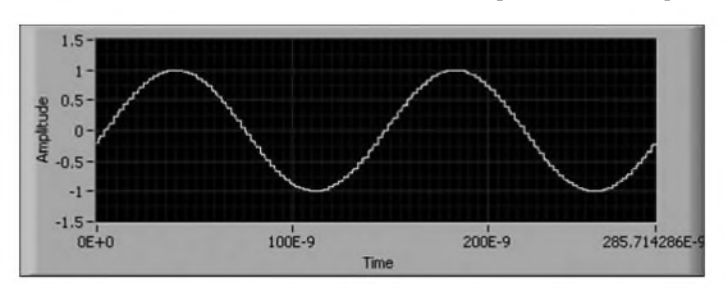
Ein Phasenakkumulator ist aber noch kein Sinusgenerator. Wenn man seine 32 Ausgänge binär wichten und aufaddieren würde, erhielte man einen Sägezahn. Um hieraus eine Sinusschwingung zu machen, ist dem Phasenakkumulator ein so genannter Linear/Kosinus-Konverter nachgeschaltet; die vier Quadranten der 360°-Kosinusschwingung werden mit Hilfe weniger Gatter auf die Hauptwerte (0 bis 90°) reduziert. Bei dem Konverter könnte es sich um einen Nur-Lese-Speicher (ROM) mit einer Tabelle (sine lookup table) handeln. Da dieser eine gewaltige Größe haben müsste (128 k  $\times$  14 Bit), wäre u. U. auch eine kombinatorische Logikbaugruppe denkbar. Da der nachfolgende D/A-Umsetzer eine Auflösung von "nur" 14 Bit hat, sind lediglich die oberen 19 Bit des Phasenakkumulators auszuwerten.

Weil sich bei der Digital-Analog-Umsetzung Spuren des Taktsignals nicht vermeiden lassen (z. B. eine 100-MHz-Linie mit nur –19 dBc Störabstand) ist der D/A-Umsetzer doppelt ausgeführt; die beiden Stufen werden mit gegenläufigen Digitalwerten angesteuert. Durch Auswertung der Differenz werden das Nutzsignal verdoppelt und die Störungen fast vollständig (bis auf –69 dBc) kompensiert.

Die Ausgänge der D/A-Umsetzer arbeiten als Stromquellen und sind gegen +AVDD (+1,8 V) zu schalten. Der Strom ist unipolar, sein negativer Scheitelwert (-10 mA) wird mit einem besonderen Festwiderstand (Bild 13, R20) festgelegt. Im positiven Scheitel ist der Strom Null. Die Ausgänge IOUT und IOUT erfordern den Abschluss mit einer ohmschen Last. Laut Datenblatt darf die Spannung an den beiden Ausgängen maximal  $\pm 0.5$  V um  $\pm 4$ VDD variieren. Das käme bei 50  $\Omega$  gerade noch hin, doch zeigen sich hierbei bereits Be-



grenzungseffekte (3. Harmonische, auch bei niedrigen Frequenzen). Um die Nutzspannung nicht unnötig verkleinern zu müssen, ist den Ausgängen ein Strom von +5 mA überlagert. Dies geschieht mithilfe von zwei Pull-Up-Widerständen, die nach +7,8 V geschaltet sind, (R133, R134, je 1,2 k $\Omega$ ). Dadurch fließt in den angeschlossenen Lastwiderständen der Strom in beide Richtungen ( $\pm 5$  mA) und damit verschiebt sich auch die Lastspannung auf symmetrische  $\pm 0,25$  V.



Um Übersprechen zwischen Digital- und Analogteil zu vermeiden, hat der Hersteller die jeweiligen Stromversorgungsanschlüsse getrennt und mehrfach aus dem IC herausgeführt. Auf der Platine setzen wir dies mithilfe von zwei getrennten 1,8-V-Spannungsreglern (IC4, IC9) konsequent fort. Die Eingänge des Digitalteils (SPI-Interface) sind in 3,6-V-Technik realisiert (Stromversorgung: IC5). Dies soll die Anbindung entsprechender Controller erleichtern. Da der hier verwendete PIC

jedoch mit 5 V arbeitet, benötigen wir die

Spannungsteilerwiderstände R46, R48,

R50, R111, R7, R8, R9, R10.

Zur Kühlung des AD9951 (Leistungsaufnahme 160 mW) hat er auf der Unterseite eine großflächige Metallisierung (exposed pad). Diese ist mit einem gleich großen Pad auf der Platine verlötet. Über mehrere Durchkontaktierungen wird die Verlustwärme zur Massefläche auf der Platinenoberseite abgeleitet.

#### **■** Grenzen eines DDS-ICs

Dank der 14 Bit feinen Auflösung ist das Digitalisierungsrauschen praktisch zu vernachlässigen. Unangenehmer ist das Phasenrauschen, das im Wesentlichen aus der PLL stammt. Wie schon in Teil 1 beschrieben, trägt der einfache, breitbandige RC-Oszillator dieser Schaltung umso mehr zum Phasenrauschen bei, je größer das PLL-Teilerverhältnis ist. Außerdem steigt es proportional zur Signalfrequenz an. Üblicher-

Bild 8: Ausgangssignal bei 7 MHz

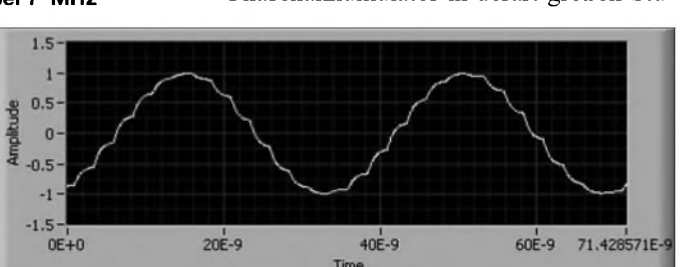


Bild 9: Ausgangssignal bei 28 MHz

weise wird das Phasenrauschen 1 kHz neben dem Nutzsignal gemessen, seine Leistung ist proportional zur Bandbreite. Bei 145 MHz Signalfrequenz und einem PLL-Teilungsfaktor von 20 beträgt das Rauschen 1 kHz neben einem 145-MHz-Träger –96 dBc/Hz. Leider ist das Rauschen ziemlich breitbandig; bei 100 kHz Trägerabstand beträgt es immer noch –105 dBc/Hz. Wenn man hier einen Empfänger mit 3,4 kHz Bandbreite betreiben würde, hätte dieser einen Rauschabstand von etwa –70 dBc.

Mit kleinerem PLL-Teilerverhältnis wird das Phasenrauschen besser. Bei direkter Einspeisung des 400-MHz-Takts (optional möglich) geht das Rauschen in 1 kHz Abstand auf –120 dBc/Hz bzw. bei 100 kHz Abstand auf –140 dBc/Hz zurück. Der o. g. Empfänger hätte dann einen Rauschabstand von –104 dBc.

"fährt" der Linear/Kosinus-Konverter die darin gespeicherte Sinuskurve fast kontinuierlich ab (Bild 8).

Doch wenn diese Konstante in die Größenordnung der Zählergröße kommt (z. B. das 0,3625-fache der Zählergröße – das ergibt gerade 145 MHz), dann springt der Phasenakkumulator in derart großen Stu-

Bei höheren Ausgangsfrequenzen zeigt

sich ein weiteres grundsätzliches Problem.

Wie eingangs beschrieben, springt der

Phasenakkumulator mit jedem Taktimpuls

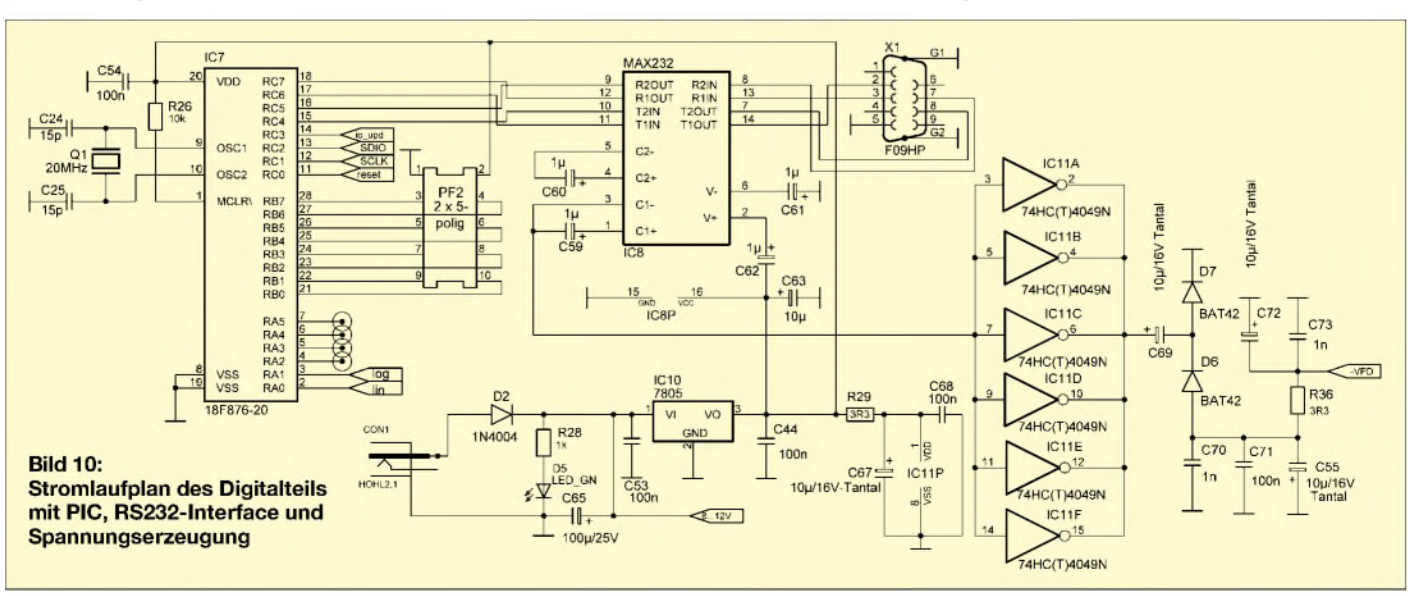
um den Betrag des Frequenzabstimm-

wortes weiter. Solange die Schrittweite

klein gegenüber der Länge des Zählers ist,

fen, dass man aus der Kosinuskurve pro Periode nur noch wenige Punkte erhält; bei 145 MHz sind es durchschnittlich 2,76 Punkte. Wie schon dieser krumme Wert erwarten lässt, liegen die getroffenen Punkte in jeder neuen Periode irgendwo anders auf der Kosinuskurve. Aus dem einstmals so schönen Sinus wird mit zunehmender Signalfrequenz ein hässliches, interferierendes, mäanderförmiges Rechteck (Bild 11).

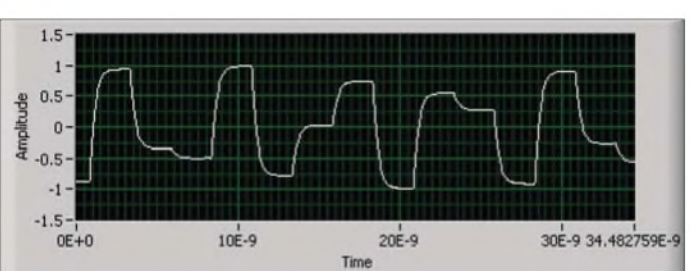
Solche Signale enthalten eine Menge Ober- und Nebenwellen. In Bild 12 ist das zugehörige Spektrum bis 2 GHz abgebildet: Neben den zweiten und dritten Harmonischen (rote und grüne Linien) spiegelt sich das Spektrum jeweils rechts und links an den Vielfachen der Taktfrequenz (0, 400, 800, 1200, 1600 MHz). Der Pegel ist beträchtlich; die unterste und be-



deutsamste Spiegel- oder auch *Alias* frequenz (zweite weiße Linie von links: 400 MHz – 145 MHz = 255 MHz) hat z. B. einen Störabstand von nur –8 dBc. Diese Tatsache wird uns noch bei der Dimensionierung der Filter beschäftigen.

Begreiflicherweise fehlen diejenigen Leistungsanteile, die wir in den Aliasfrequenzen wieder finden, im Nutzsignal. Da die

enigen Leis- Bei einem HF-Ge liasfrequen- Auskopplung üb gnal. Da die Balun – also eine



Leistung der Aliaslinien mit steigender Nutzsignalfrequenz größer wird, nimmt die Stärke des Nutzsignals mit steigender Frequenz entsprechend ab. Nach der Theorie geschieht dies in Form einer sin(x)/x-Funktion. Hiernach ist die Amplitude bei

Bild 12: Mit der Freeware ADIsimDDS [9] simuliertes Spektrum bei 145 MHz Signalfrequenz

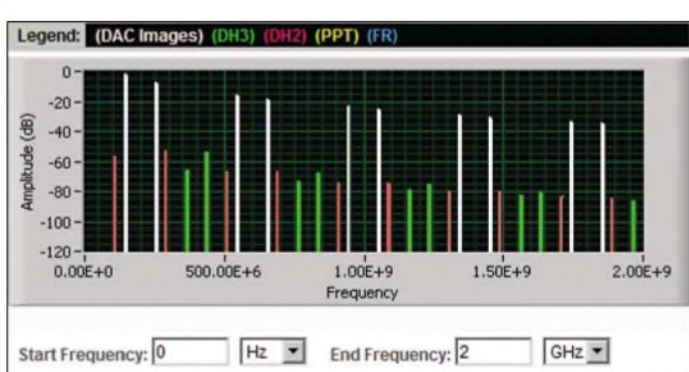
145 MHz bereits um fast 2 dB (Faktor 0,797) abgesunken. Auch dieses Verhalten kann breitbandige Messungen sehr stören. Es lässt es sich aber leicht kompensieren.

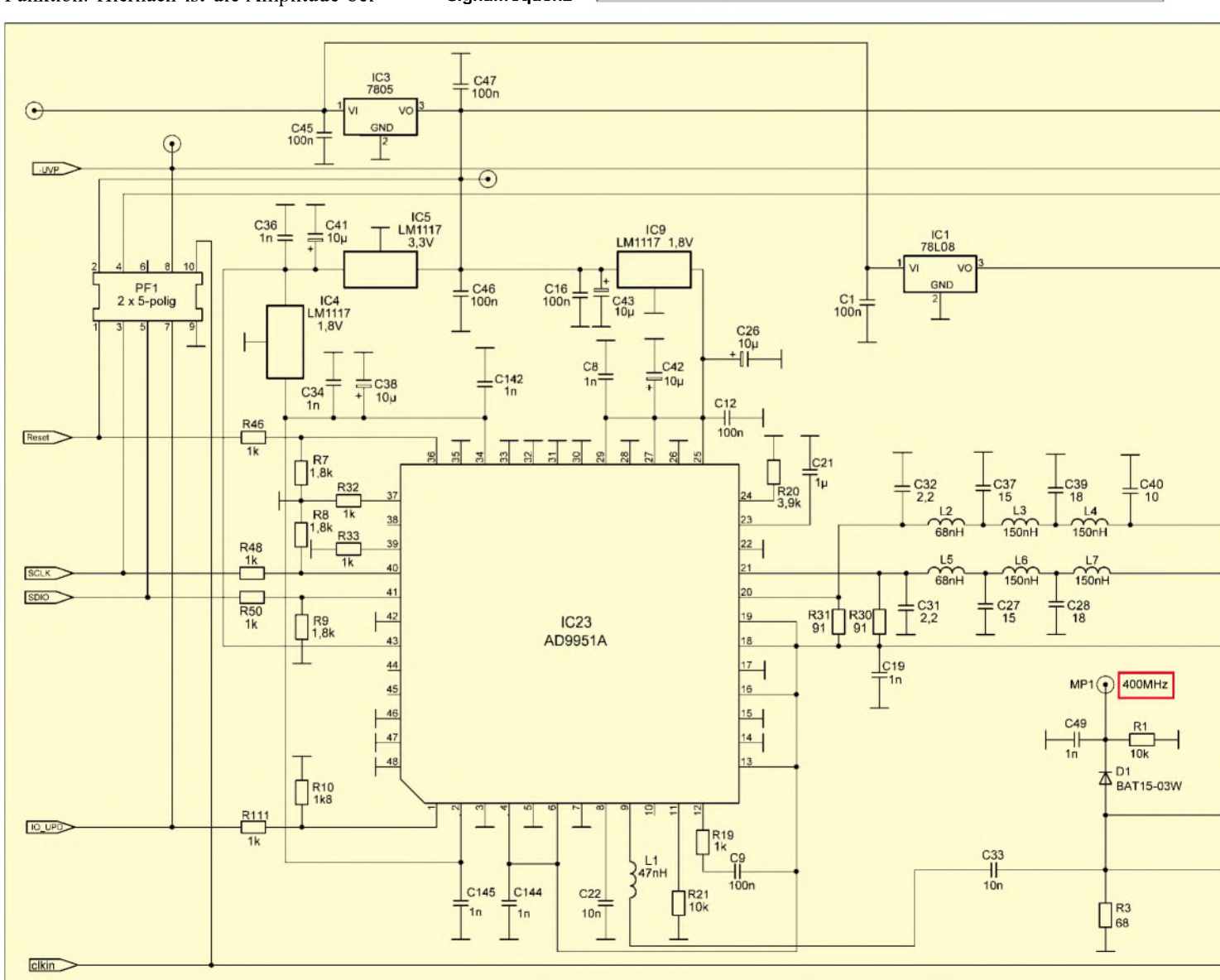
#### Auskopplungsvarianten

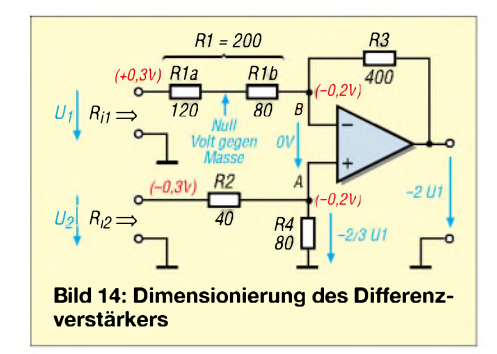
Bei einem HF-Gegentaktsignal erfolgt die Auskopplung üblicherweise über einen Balun – also einen Übertrager. Aber selbst

> Ausgangssignal bei 145 MHz

kommerziell hergestellte Baluns weisen keinen garantierten Amplitudengang auf, der über einen Frequenzbereich von 50 kHz bis 160 MHz für ein Messgerät ausreicht. Da eine Eintakt-Auskopplung wegen der o. g. überlagerten 100-MHz-Störungen ausscheidet, muss man die gewohnten Pfade verlassen. Die Niederfrequenztechnik macht es vor: Das Problem ist leicht mit einem Operationsverstärker zu lösen! Dabei schlagen wir gleich mehrere Fliegen mit einer Klappe: Wir bekommen eine sau-







bere, differenzielle Auskopplung, haben eine leicht einstellbare, reproduzierbare Verstärkung und obendrein die bestmögliche Linearität!

Zum Glück gibt es in Form des AD8000 [10] einen ausreichend breitbandigen Verstärkertyp ( $f_{3dB} = 1.5$  GHz; Slew Rate = 4100 V/µs), mit dem das gut gelingt. Das ist allerdings ein so genannter current feedback operational amplifier (CFB CpAmp, stromrückgekoppelter OPV). Das klingt kompliziert, doch verhält sich dieses Bauteil ganz ähnlich wie ein herkömmlicher voltage feedback operational amplifier (spannungsrückgekoppelter OPV), solang man nur ein paar Regeln beachtet.

Der invertierende Eingang ist niederohmig und arbeitet stromeingeprägt, d. h. maßgeblich ist nicht die anliegende Signalspannung, sondern der eingespeiste Strom. Dementsprechend wird die Leerlaufverstärkung (Transimpedanz) eines solchen Bauteils in Kiloohm gemessen. Der AD8000 hat z. B. eine Verstärkung von 890 k $\Omega$ , d. h. pro 1 μA Eingangsstrom entsteht am Ausgang eine Spannung von 0,89 V. Nach außen hin fällt die Niederohmigkeit des invertierenden Eingangs kaum auf, denn wie in jeder normalen Operationsverstärkerschaltung erzeugt die äußerliche Gegenkopplung einen virtuellen Nullpunkt an diesem Eingang. Man kann die Eingangsschaltung eines CFB durchaus mit einem Transistorverstärker in Basisschaltung vergleichen. Hier liegt auch der Grund, weshalb der CFB CpAmp besonders breitbandig und rückwirkungsarm arbeitet. Als einzige Einschränkung ist der Wert des Gegenkopplungswiderstandes fest vorgegeben. Beim AD8000 beträgt er etwa  $400 \Omega$ , Abweichungen verschlechtern

den Frequenzgang. Kondensatoren als Ge-

genkopplung sind nicht zugelassen, denn sie führen zu Oszillation.

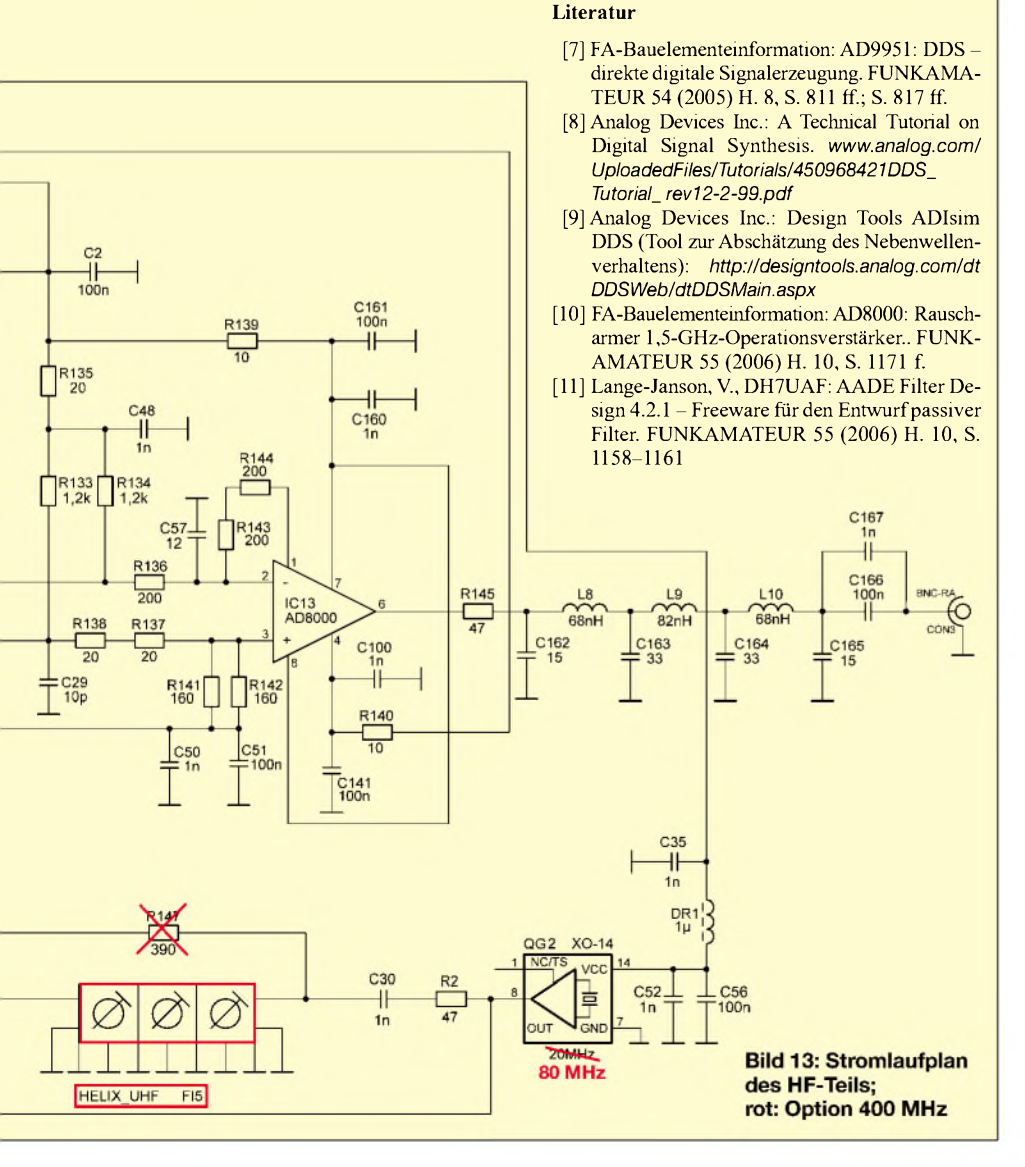
#### Dimensionierung des Verstärkers

Die beiden Ausgänge des DDS-ICs sollen in gleicher Art belastet werden. In der klassischen Differenzverstärkerschaltung (Bild 14) sind zwar die beiden Eingangsvorwiderstände (R1, R2) üblicherweise gleich, aber die zugehörigen massebezogenen Eingangsinnenwiderstände  $R_{i1}$ ,  $R_{i2}$  sind völlig unterschiedlich. Der Widerstand am invertierenden Eingang arbeitet nämlich gegen einen virtuellen Nullpunkt während der andere nur einen weiteren, meist ziemlich hochohmigen Lastwiderstand "sieht" (R<sub>i2</sub> = R2 + R4). Aber wer sagt eigentlich, dass die Widerstände R1 und R2 gleich sein müssen? Für bestmögliche Gleichtaktunterdrückung ist lediglich zu fordern, dass das Verhältnis der Widerstände R3/R1 das gleiche ist wie R4/R2. Die Größe der Widerstände spielt dabei keine Rolle. Damit haben wir einen Freiheitsgrad mehr.

Aber wie groß ist eigentlich der Eingangswiderstand R<sub>i1</sub>, wenn gleichzeitig eine gleich große negative Spannung (U2 = -U1) über R2 eingespeist wird? Durch die Spannungsteilung R4/(R2+R4) liegt am Punkt A ein gewisser Anteil dieses negativen Signals an. Wegen der Gegenkopplung über R3 und wegen der sehr hohen Verstärkung des Operationsverstärkers findet sich dieses auch am Punkt B wieder. Damit finden wir am rechten Ende von R1 ein schwächeres negatives Signal, während am linken Ende dasselbe Signal, nur positiv und in voller Höhe ansteht. R1 befindet sich also in einer Brückendiagonale. Wenn man ihn als Potenziometer ausbilden würde, könnte man mit dem Schleifer einen Punkt finden, in dem das Signal gegenüber Masse einen Nulldurchgang hat. Hier liegt der virtuelle Nullpunkt, gegen den die Eingangsspannung U1 arbeitet. Die Lage des Punkts variiert mit der gewählten Verstärkung.

Wie groß muss die Verstärkung sein? Bei einer Last von  $50~\Omega$  und einem Strom von  $\pm 5~\text{mA}$  erhalten wir an jedem Ausgang des DDS-ICs eine Spannung von  $\pm 0,25~\text{V}$ , gegen Masse gemessen. Das ergibt eine Differenzspannung von  $\pm 0,5~\text{V}$  – also  $U_{\text{SS}}=1~\text{V}$ . Der AD8000 ist für einen maximalen Ausgangspegel von  $U_{\text{SS}}=2~\text{V}$  konzipiert. Also muss der Differenzverstärker eine Spannungsverstärkung von  $v_{\text{u}}=2~\text{erhalten}$ . Damit steht auch das Verhältnis der Widerstände fest, nämlich R3/R1 = 2. Außerdem fordert das Datenblatt des AD8000: R3 = 400  $\Omega$ . Daraus resultiert R1 = 200  $\Omega$ .

Wie groß ist der Innenwiderstand  $R_{i1}$ ? Obwohl eine Spannung von  $U_1 = +0.3$  Vin der Praxis zuviel wäre, kann man damit ganz



gut ein Beispiel durchrechnen. Da  $R_{i1}$  und  $R_{i2}$  gleich sein sollen, ist  $U_2 = -U_1 = -0.3 \text{ V}.$ Wegen R4/R2 = 2 haben wir am Punkt A zwei Drittel davon, nämlich -0,2 V. Und da der Operationsverstärker über seine Gegenkopplung R3 dafür sorgt, dass die Differenzspannung zwischen seinen Pins Null bleibt, liegt diese Spannung auch am rechten Ende von R1 an. Das ergibt über R1 insgesamt 0,5 V, nämlich +0,3 V am linken Ende und -0.2 V am rechten Ende. Der virtuelle Nullpunkt (keine Signalspannung gegenüber Masse) befindet sich, von links aus gesehen bei 3/5 seines Gesamtwertes. Damit haben wir  $R_{i1}$ ; er beträgt  $3/5 \cdot 200$  $\Omega$ . Das sind 120  $\Omega$ .

Der Rest ist leicht; dieselben  $120\,\Omega$  müssen – unter Wahrung des Verhältnisses von R4/R2 – auch am Eingang 2 vorhanden sein; das gelingt mit R2 =  $40\,\Omega$  und R4 =  $80\,\Omega$ . Die Werte werden durch Parallelschalten von Normwerten aus der E24-Reihe aufs Ohm genau realisiert (Bild 13: R136, R137, R138, R141, R142, R143, R144).

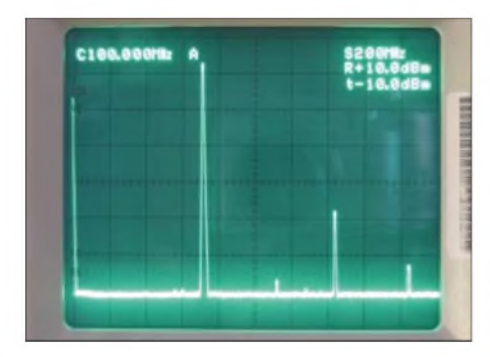


Bild 15: Nebenwellen eines 72-MHz-Signals bei linearisiertem Frequenzgang

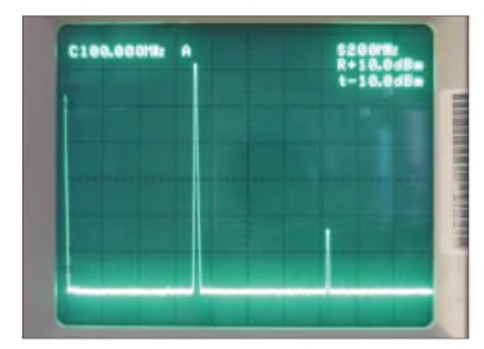


Bild 16: Nebenwellen eines 72-MHz-Signals ohne Linearisierung

Um auf die vom DDS-IC geforderten 50  $\Omega$  zu kommen, ist jetzt noch je ein Widerstand von 91  $\Omega$  parallelzuschalten (R30, R31). Zusammen mit den wechselstrommäßig ebenfalls parallel liegenden Pull-Up-Widerständen (R133, R134 je 1,2 k $\Omega$ ) kommen wir auf 49,6  $\Omega$ .

Das alles zusammen bezieht sich nun nicht auf Masse, sondern auf die Spannung AVDD = +1,8 V. Da dieser Pegel aus Sicht des Operationsverstärkers der Bezugspegel ist, muss auch seine Betriebsspannung hierzu (halbwegs) symmetrisch sein.

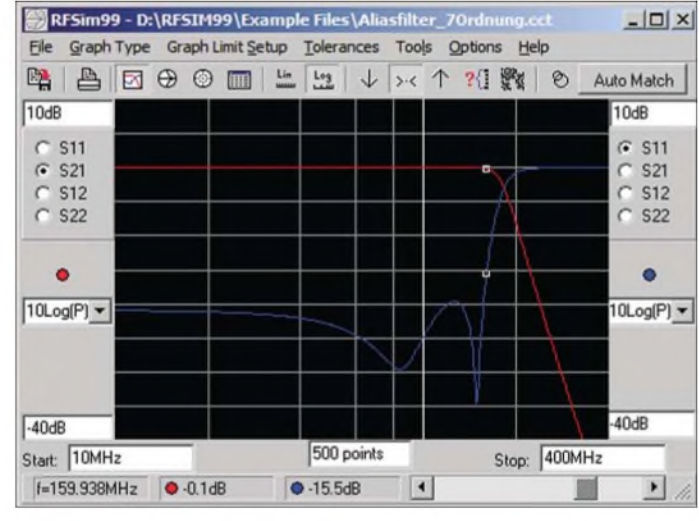


Bild 17: Mit RFSim99 simulierter Frequenzgang der Nebenwellenfilter

Fotos und Screenshots: DL1SNG

Dazu betragen seine Betriebsspannungen +8 V (IC1) und -3 V.

Zur Gewinnung der negativen Hilfsspannung dient eine Ladungspumpe mit dem preiswerten und kräftigen Treiber HC4049 (IC11). Das 90-kHz-Taktsignal dafür stammt aus dem ohnehin vorhandenen MAX232 (IC8).

Der von Pin 2 des OPV nach Masse liegende Kondensator C57 dient der Frequenzgangkorrektur und kompensiert den bereits erwähnten, vom DDS verursachten, fallenden Frequenzgang. Es sei nicht verschwiegen, dass sich hierdurch der Nebenwellenabstand verschlechtert, denn C57 stört die Symmetrie der Differenzverstärkerschaltung, und die – gerade bei hohen Frequenzen abnehmenden – Verstärkungsreserven des Operationsverstärkers werden aufgezehrt.

Wer "die reine Lehre" wünscht und einen weniger linearen Frequenzgang toleriert, kann diesen Kondensator entfernen. Bei einer Signalfrequenz von 72 MHz verbessert sich dadurch der Oberwellengehalt um 4,8 dB (vgl. Bilder 15 und 16) und bei 159 MHz reduziert sich der Nebenwellengehalt (Mischprodukt bei 82 MHz) um 9,2 dB.

#### **■** Filter

Wie bereits beschrieben, enthalten die Signale auf den beiden Ausgängen des DDS-ICs eine ganze Reihe unerwünschter Oberund Nebenwellen. Da der nachfolgende OPV bei hohen Frequenzen nur geringe Gegenkopplungsreserven hat und dadurch nichtlinearer wird, käme es bei direkter Verbindung zu Intermodulationen bzw. weiteren Nebenlinien, die u. U. in den Übertragungsbereich (0,04 bis 160 MHz) fallen. Beispiel: Signalfrequenz: 145 MHz → Aliasfrequenz: 255 MHz → Intermodulation 2. Ordnung 110 MHz! Es gehören daher bereits in die Verbindungsleitungen steilflankige Tiefpässe.

Die SMD-Technik ermöglicht dies mit wenig Platzverbrauch. Wir haben uns für siebenpolige Filter (drei Spulen, vier Kondensatoren) mit einer Grenzfrequenz von 180 MHz entschieden. Die Freeware *AADE* 

Filter Design [11] lieferte zunächst die idealen Bauteilwerte. Anschließend wurden die Werte in das Filterprogramm RFSim99 eingegeben und dort so optimiert, dass gut erhältliche Normwerte Verwendung finden konnten (Bild 17). Bei der tiefsten Aliasfrequenz (240 MHz) hat dieses Filter eine Dämpfung von –20,4 dB.

Hinter dem Operationsverstärkers IC13 befindet sich ein weiteres Filter. Es dient dazu, Oberwellen, die der Verstärker insbesondere bei höheren Signalfrequenzen erzeugt, zu dämpfen. Auch dieses siebenpolige Filter hat eine Eckfrequenz von 180 MHz. Wegen unterschiedlicher Impedanzen unterscheiden sich jedoch die Bauteilwerte. Dank dieses Oberwellenfilters beträgt der Oberwellenabstand bei 145 MHz fast 60 dBc. Da bei einer Signalfrequenz von 80 MHz die erste Oberwelle gerade noch in den Übertragungsbereich fällt, entsteht hierbei der schlechteste Oberwellenabstand. Bei linearem Frequenzgang (C57 eingebaut) werden –42 dBc erreicht. Ohne C57 sind es -46,8 dBc, dafür ist bei 145 MHz ein Pegelabfall von etwa 3 dB hinzunehmen.

Optional enthält die Platine noch das Helixfilter Fi5. Wie im ersten Teil erläutert, dient es zusammen mit einem 80-MHz-Ouarzoszillator QG2 und der PIC-Firmware HFM81-400.HEX dazu, im DDS die PLL zu umgehen und das Phasenrauschen zu reduzieren. Das Filter wird anstelle des Widerstands R147 eingebaut. Die drei Kreise sind auf Gleichspannungsmaximum am Messpunkt MP1 abzugleichen. Da der AD 9951 für das Taktsignal nur einen Pegel von  $0 \text{ dBm} (U_{SS} = 0.63 \text{V})$  benötigt, kommt diese Vervielfacherschaltung ohne Verstärker aus. L1 kompensiert die Schaltkapazität des Eingangs am AD9951 und sorgt so für bestmögliche Anpassung.

Weitere Einzelheiten, auch zur Schnittstelle Firmware/Software, finden sich in der Baumappe zum Bausatz. Abschließend sei darauf hingewiesen, dass eine *Linux*-Software für den FA-NWT in Vorbereitung ist.

nwt@funkamateur.de

Literatur siehe Bild 13, rechts

# Propeller bringt Bewegung in die Controllerfamilie (2)

#### Dr.-Ing. KLAUS SANDER

Im diesem Teil stellen wir ein universelles Entwicklungsboard für den Propeller-Chip vor. dass alle Portleitungen zur Verfügung stellt. Zusätzlich sind Schaltungsergänzungen auf einem großzügigem Lochrasterfeld möglich.

Im vorangegangenen Teil sind wir auf die Schaltungstechnik des Propellers eingegangen und haben die bisher verfügbaren Entwicklungskits kennen gelernt. In der Zwischenzeit ist auch beim Hersteller Parallax etwas passiert: Das Starterkit wird jetzt mit einer eigens dafür gestalteten Verpackung ausgeliefert. Elektronik muss nicht nur leistungsfähig sein. Ob eine aneine Reihe von Einzelanwendungen soll es als Alternative zu einer vollständigen Platinenentwicklung genutzt werden können. Deshalb muss ein Spannungsstabilisator auch die Betriebsspannung sowohl für den Propeller als auch die periphere Elektronik auf dem Lochrasterfeld bereitstellen. Gleichzeitig ist auf diesem Wege auch ein gegenüber dem Starterkit preislich günsti-

> Bild 10: Das Propeller-Starterkit wird jetzt in einem liebevoll gestalteten Karton geliefert.

> > Fotos: Sander

Akkumulatoren zu versorgen. Dem kommt der geringe Eigenstromverbrauch dieses ICs entgegen. Zudem kann der Spannungsregler Ströme bis 1 A liefern, wodurch auch Schaltungen mit höherem Stromverbrauch am *Propeller* angeschlossen werden können. Allerdings ist bei höheren Verlustleistungen dem LF33 ein ausreichend großer Kühlkörper zu spendieren.

Der Propeller wird mit einem 5-MHz-Ouarz beschaltet. Daraus werden intern die benötigten höheren Frequenzen generiert. Das Reset-Signal für den Controller kann über einen Druck auf die Taste S1 manuell erzeugt werden. Alternativ wird das Reset-Signal über die Schaltung mit Transistor T1 erzeugt. Dieses Signal liefert der angeschlossene PC auf der DTR-Leitung der seriellen Schnittstelle während des Programmiervorgangs. Da für dieses Reset nur ein kurzer Impuls erforderlich ist, wirkt C3 in Verbindung mit den nachfolgenden Widerständen und T1 als Differenzierglied. Der Vorteil dieser Schaltungsversion besteht darin, dass im PC keine Tricks zum Abschalten des Signals notwendig sind und die RS232-Schnittstelle in ihrer Standardfunktion verwendet werden kann



sprechende Verpackung in diesem Bereich verkaufsfördernd wirkt (so würden es Werbefachleute bezeichnen), sei dahin gestellt. Neben dem ausführlichen Handbuch beweist sie aber, dass sich hier jemand wirklich um das eigene Produkt bemüht. Und das sollte auch einmal lobend erwähnt werden.

Die bisher lieferbaren Entwicklungskits haben einige Nachteile. Der Propeller-Stick ist etwas minimalistisch und erfordert neben dem Aufbau auf einer Laborplatine noch etwas zusätzliche Hardware. Nur das Programmierinterface und der Speicher sind vorhanden. Demgegenüber ist das Starterkit sehr umfangreich ausgestattet. Neben dem Anschluss von Fernsehgerät, VGA-Monitor, Tastatur und Maus steht auch ein kleines Steckbrett zur Verfügung. Für den Einstieg ist diese Lösung optimal. Allerdings stehen dadurch nur wenige I/O-Pins für die eigene Anwendung zur Verfügung.

Deshalb wird hier ein weiteres Entwicklungs- und Testboard vorgestellt. In erster Linie sollen dabei alle Pins für die eigene Applikation frei sein. Auf der Platine muss ein großes Lochrasterfeld für Entwicklungszwecke zur Verfügung stehen. Für

**Bild 11:** Das 2,5-Zoll-TFT-Display aus dem Zubehörset zum Starterkit lässt sich auch am hier vorgestellten Board betreiben.

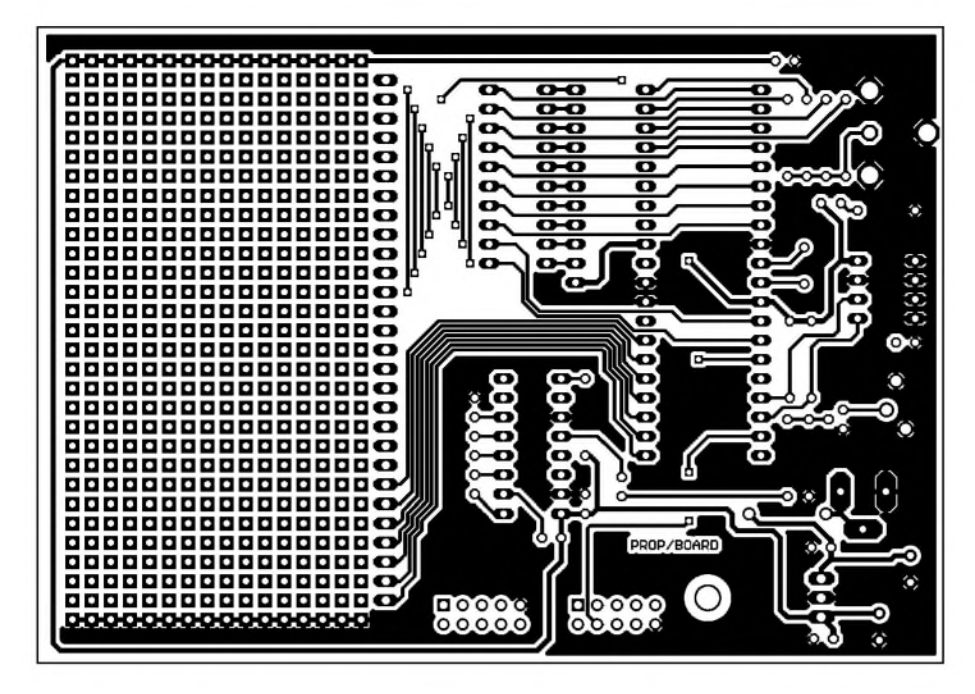


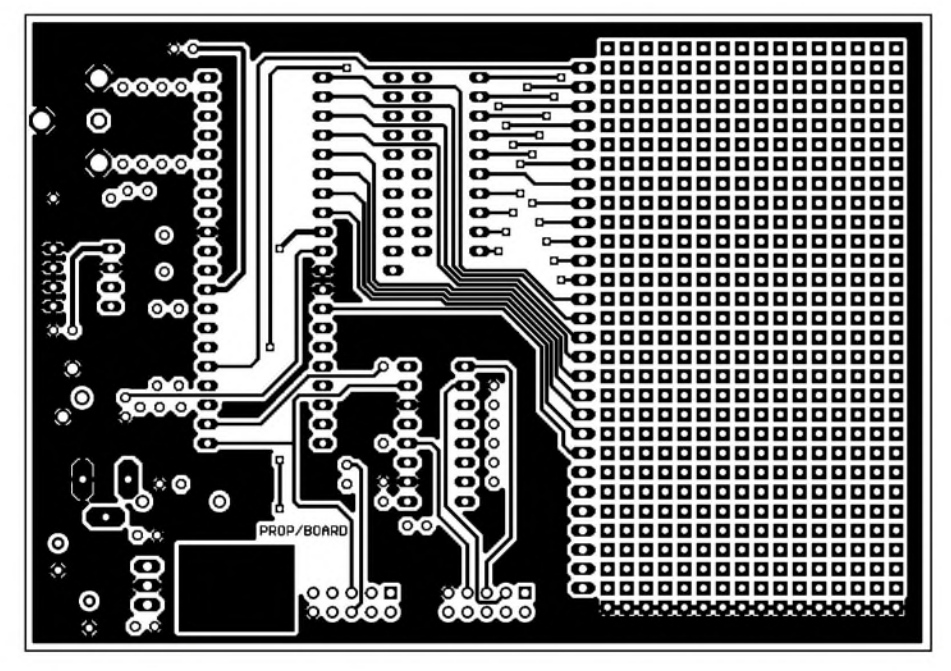
gerer Einstieg möglich, vorausgesetzt man lädt sich Software und Handbuch aus dem Internet. Und das ist, wie bereits erwähnt, kostenlos auf der Hersteller-Webseite möglich.

#### ■ Test- und Entwicklungsboard

Bild 15 zeigt die Schaltung des Entwicklungs- und Testboards. Der Propeller benötigt eine Betriebsspannung von 3,3 V. Diese wird durch IC3, einen LF33CV, bereitgestellt. Das ist ein Low-Drop-Spannungsregler, bei dem zwischen Ein- und Ausgang ein Spannungsabfall von nur 0,45 V notwendig ist. Um also stabilisierte 3,3 V am Ausgang zu erhalten, werden minimal 3,75 V am Eingang benötigt. Unter Berücksichtigung der maximalen Verlustleistung darf dieser Wert natürlich auch höher sein. So ist es denkbar, die Schaltung aus vier Mignonbatterien oder Die Programmierung kann sowohl über die RS232 des PCs als auch über ein USB-Port erfolgen. Für die Pegelwandlung der seriellen RS232-Schnittstelle ist IC4 zuständig. Dabei muss es sich unbedingt um einen 3,3-V-Typ handeln – der Hersteller ist zweitrangig. Es gibt solche Schaltkreise mit identischer Pinbelegung von Maxim, Analog Devices und anderen.

Das externe USB-Interface wird mit SK2 verbunden. Allerdings dürfen RS232 und USB nie gleichzeitig angeschlossen sein. Wir sehen in der Schaltung, dass die Ausgänge von IC4 als auch die des USB-Interfaces an SK2 einfach zusammengeschaltet wurden. Das führt unweigerlich zu einem Kurzschluss, wenn sowohl USB-Interface als auch der Pegelwandler IC4 gleichzeitig angeschlossen sind. Deshalb ist vor der Nutzung eine der beiden Varianten zu wählen.





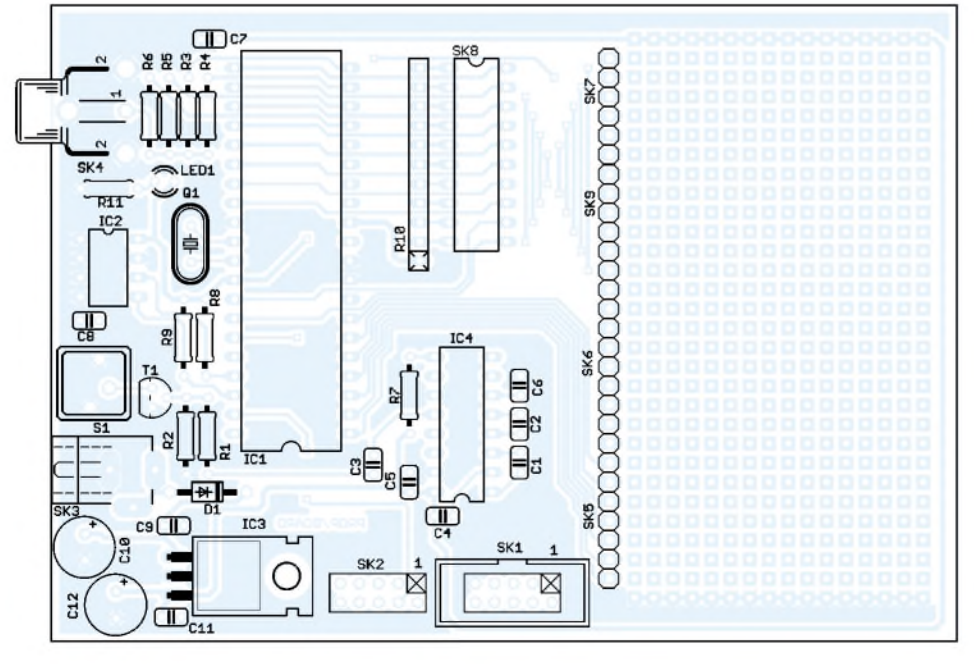


Bild 12: Lötseite der Prototyp-Leiterplatte Bild 13: Bestückungsseite der Prototyp-Leiterplatte

Bild 14: Die Bestückung erfolgt ausschließlich mit bedrahteten Bauelementen.

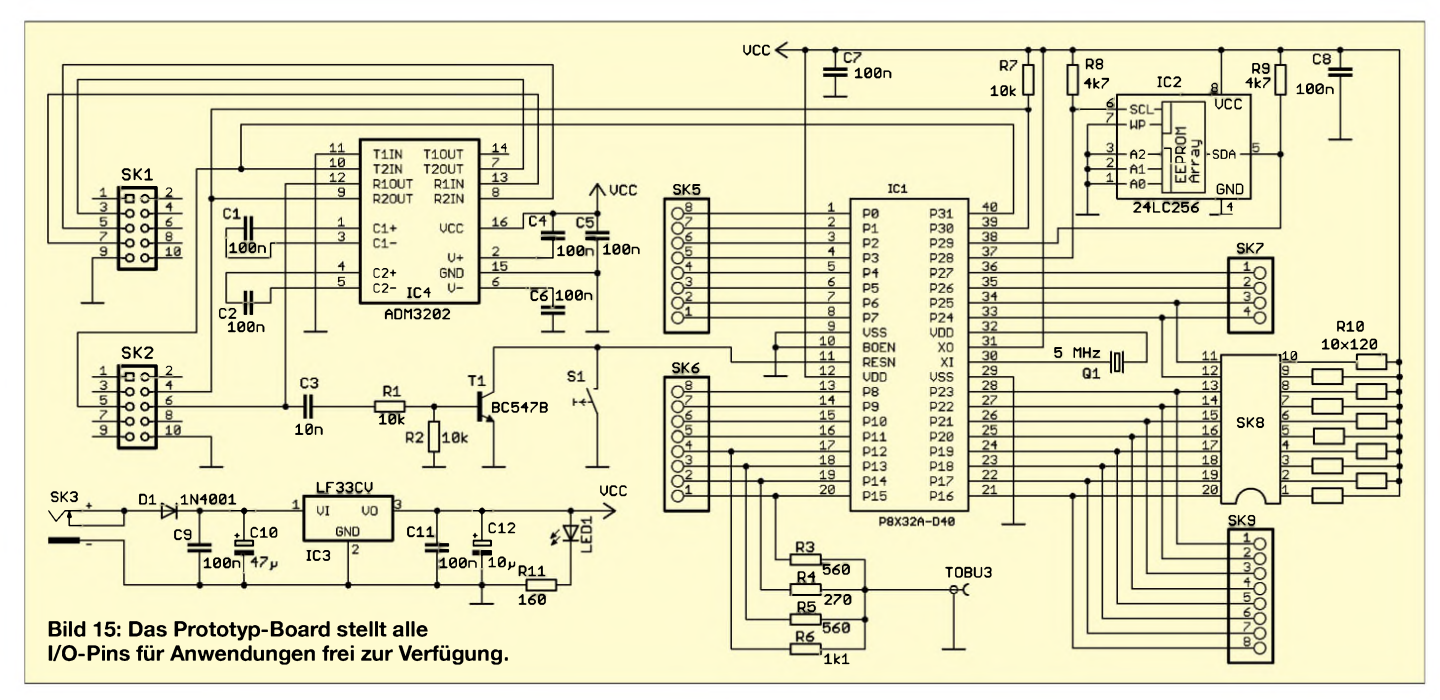
Wird IC4 über eine Steckfassung auf die Platine gesetzt, so kann, nachdem er wieder entfernt wurde, mit der USB-Schnittstelle gearbeitet werden. Eine Schaltung für das USB-Interface wurde auf dieser Platine nicht vorgesehen. Dadurch konnte die Platine vollständig für bedrahtete Bauelemente entworfen werden. Es gibt also kein einziges SMD-Bauelement. Das bereits in [6] vorgestellte IF-USB2.0R erfüllt diesen Zweck. Der Steckverbinder SK2 ist so beschaltet, dass das IF-USB-Modul hier direkt angesteckt werden kann.

An SK1 kann direkt die serielle Schnittstelle eines PCs angeschlossen werden. Die Pin-Belegung wurde so gewählt, dass ein Sub-D9-Steckverbinder für Flachbandkabel mit zusätzlicher zehnpoliger Buchsenleiste am anderen Kabelende ohne Leitungskreuzung daran anschließbar ist.

IC2 ist ein serieller EEPROM zur Speicherung des Programms. Die Organisation erfolgt über den *Propeller*-Chip während des Programmiervorgangs.

Alle freien Portleitungen sind auf eine Lochrasterreihe geführt. Die Anordnung auf der Platine entspricht der logischen Nummerierung der Pins, also der Portbezeichnungen. Manchmal wird das Debugging erleichtert, wenn LEDs und andere Ausgabemöglichkeiten zur Verfügung stehen. Hier gibt es einen kleinen Trick. SK8 ist eine einfache 20-polige DIL-Fassung. Eine Seite ist auf ein Widerstandsnetzwerk geführt, die zweite Seite liegt sowohl an den Portleitungen als auch am Lochrasterfeld an. Auf diese Fassung kann eine der handelsüblichen LED-Zeilen gesteckt werden. Wird sie wieder entfernt, stehen die Portleitungen wieder uneingeschränkt für andere Zwecke zur Verfügung.

Genauso ist das an den Portleitungen P12 bis P15 mögliche Videointerface zu sehen. Die Widerstände und die Buchse können bestückt werden, wenn das Videointerface gewünscht wird. Es ist auch für Debuggingzwecke sinnvoll. Man kann auf diese Art leicht Inhalte interner Register darstellen. Das erleichtert die Fehlersuche in der Software wesentlich. Die Portleitungen sind in diesem Fall allerdings für andere Zwecke nicht verfügbar. Die Widerstände würden die Portausgänge so stark belasten, dass der Logikpegel nicht mehr garantiert ist. Das trifft natürlich auch zu, wenn diese Portpins als Eingänge verwendet werden und vorgeschaltete Ausgänge von Logikschaltkreisen das Signal liefern. Zudem würde der Stromverbrauch der Schaltung



unnütz ansteigen – bei Batterieversorgung ein wichtiges Kriterium.

#### ■ Platine

Das Layout wurde für eine zweiseitige durchkontaktierte Platine entworfen, siehe Bilder 12 und 13. Zuerst fällt ins Auge, was der Schaltplan verschweigt: das großzügig bemessene Lochrasterfeld. Gegenüber vielen handelsüblichen Laborkarten wurden die Lötaugen rechteckig gestaltet. Dadurch wird weniger Zinn benötigt um z.B. Leiterzüge ohne Verwendung eines zusätzlichen Drahtes durch Zinnbrücken selbst zu gestalten. Die Lötaugen in der oberen und unteren Reihe wurden miteinander verbunden und auf Betriebsspannung bzw. Masse gelegt. Es ist sicher nicht jedermanns Sache, eine solche Platine selbst herzustellen. Deshalb wird es ab etwa Anfang November die Platine als vollständigen Bausatz geben, kurze Zeit später folgt eine fertig bestückte Platine

Und damit sind wir bei der Bestückung angelangt. Bild 14, der Bestückungsplan, bildet dafür die Grundlage. Da es sich hier in erster Linie um eine Versuchsplatine handelt, spendieren wir allen Schaltkreisen im DIP-Gehäuse eine Fassung. Bei Versuchsplatinen kann es schon mal vorkommen, dass durch die externe Beschaltung insbesondere der Controller zerstört wird. Der Vorteil besteht darin, dass bei defekten Schaltkreisen zumindest die Platine erhalten bleibt. Bei IC4, dem RS232-Interface-Schaltkreis, gibt es noch den bereits erwähnten Grund. Ist zur externen Kommunikation und zur Programmierung das USB-Interface vorgesehen, so braucht IC4 nur aus der Fassung gezogen werden. R3 bis R6 und die Cinch-Buchse sind nur zu bestücken, wenn das Videointerface für TV-Geräte erforderlich ist.

R10 ist ein Widerstandsnetzwerk mit zehn Widerständen, die an einer gemeinsamen Leitung hängen. Für SK1 und SK2 sollten unterschiedliche Steckverbinder verwendet werden. Wir nutzen für SK1 einen solchen mit Kragen und für SK2 eine einfache Stiftleiste (Pinheader). Damit ist ein versehentliches falsches Stecken der RS232-Leitung oder des USB-Interfaces zwar nicht ausgeschlossen, die Wahrscheinlichkeit dafür aber reduziert. Bei SK1 ist selbstverständlich die Richtung zu beachten. Die Aussparung muss zum Platineninneren zeigen.

Alle Keramikkondensatoren sind Standardtypen mit einem 2,5-mm-Raster. Auch Taste S1 und und die Klinkenbuchse sind Standardtypen, wie sie bei jedem Elektronikhändler verfügbar sind.

Auf SK8 wurde schon bei der Schaltungsbeschreibung hingewiesen. In diese Fassung kann eine LED-Zeile mit zehn einzeln beschalteten LEDs gesteckt werden. Dabei müssen alle Katoden in Richtung Lochrasterfeld und die Anoden zum Widerstandsnetzwerk zeigen. Für den Quarz wählen wir einen so genannten Low-Profile-Typ – das sind die mit der flachen Bauform.

#### ■ Inbetriebnahme

Vor der ersten Inbetriebnahme begutachten wir die Lötstellen mit dem Auge und eventuell einer Lupe. Wir suchen nach kalten Lötstellen und Brücken. Und damit sind wir für den ersten Test gerüstet. Es reicht allerdings nun nicht, einfach Spannung anzuschließen. Logisch, da passiert erst einmal nichts. Der *Propeller* ist ja auch nur ein Controller, der erst durch Software zum Leben erweckt wird. Wir laden uns zuerst die Development-Software von der Webseite des Herstellers *Parallax*. Dort sollten wir übrigens regelmäßig vorbeischauen. Da-

durch können wir Software-Updates berücksichtigen. Es besteht nun die Möglichkeit, ein erstes Testprogramm selbst zu schreiben. Bei einem solch neuen Controllertyp mit acht parallel arbeitenden Prozessoren ist das sicher etwas schwieriger.

Auf der Parallax-Webseite gibt es aber eine Reihe von fertigen Anwendungsbeispielen, die man sich kostenlos laden kann. Sie reichen von einem einfachen Blinkprogramm über Timerfunktionen und die Ansteuerung externer Schaltkreise – z. B. AD-Umsetzer und Sensoren – bis hin zur Emulation von Funktionen einer BASIC-Stamp. Es sind auch Beispiele zur Ansteuerung der seriellen Schnittstelle und des Videointerfaces verfügbar. Für den Anwender interessant dürften auch die Programme für mathematische Funktionen sein, die sich in der eigenen Software immer wieder verwenden lassen. Daher bezeichnet Parallax diese Unterprogramme auch als Objekte und wir finden sie auf der Webseite und dem Link Object Exchange.

Der erste Test kann z. B. mit dem Blinkprogramm erfolgen. Wir finden das Programm blinkled.spin in der gepackten Datei PCDebugBlinkLED.zip. Dieses Programm wird in die Compilersoftware geladen und nach der Übersetzung zum Propeller geschickt, d. h., programmiert. Vorher ist natürlich das Board mit dem PC zu verbinden und die Betriebsspannung anzuschließen

Im nächsten Schritt können zum Kennenlernen des *Propellers* Änderungen an der Software vorgenommen werden. Besonderheiten der Software werden im abschließenden Teil behandeln. (wird fortgesetzt)

info@sander-electronic.de

#### Literatur

[6] Sander, K.: Nun alles inklusive – neues USB-Interface mit FT232RL: FUNKAMATEUR 55 (2006) H. 2, S. 168–170

# Nachrüstung von Zusatzfiltern für Digi-Modes am Beispiel des FT-847

#### MANFRED MADAY - DC9ZP

Hier soll eine sinnvolle Transceiver-Modifikation für Freunde der digitalen Betriebsarten im KW-Bereich vorgestellt werden. Die Erweiterung ist nicht nur auf den FT-847 beschränkt, er dient hier lediglich als exemplarisches Beispiel.

Die digitalen Betriebsarten laufen beim FT-847 über die Stellung SSB des Betriebsartenschalters und im AFSK-Modus. Zusätzliche schmalbandige Filter im Empfangszweig lassen sich in diesem Fall nicht schalten. Zur Einengung der Bandbreite steht nur ein DSP-Filter zur Verfügung, das aber auf der NF-Ebene agiert. Damit können starke Stationen neben der Durchlasskurve ein Nutzsignal bis zur Unhörbarkeit zudecken. Bei Contesten ist das ein Horror.



Bild 1: Der FT-847, Unterseite geöffnet, oben rechts der einzig mögliche Platz für den Einbau der beiden Filter und des Relais. Die roten Kabel müssen dazu zunächst abgeklemmt werden.

Der aus dem einschlägigen Forum [1] sowie aus [2] bekannte Trick, den Zweit-VFO auf LSB zu stellen, den Haupt-VFO auf CW, im Split-Betrieb zu senden und somit über das CW-Filter zu empfangen, ist zwar schön, aber umständlich, weil man die Frequenz nach der Einstellung nicht mehr ändern darf und stets mehrere Knöpfe in fester Reihenfolge drücken muss. Außerdem vergisst man bei Frequenzwechsel schon einmal, den Zweit-VFO nachzuziehen und liegt dann beim Senden neben der Frequenz, ohne es gleich zu merken. Diese Lösung ist neben der Umständlichkeit nicht narrensicher, daher wenig alltagstauglich und für Conteste mit häufigem Frequenzwechsel nicht zu gebrauchen.

#### ■ Die Lösung

Sinnvoll ist eine direkte Filterwirkung für digitale Betriebsarten in der Stellung SSB. Die Suche nach Lösungen wird durch die Tatsache erleichtert, dass der FT-847 für

Senden und Empfang getrennte SSB-Filter besitzt. Insgesamt gibt es mehrere Möglichkeiten:

#### Methode 1

Man vertauscht die internen Schalt-Leitungen zum CW-Filter und Empfangs-SSB-Filter über einen Umschalter und kann dann in SSB das optionale CW-Filter nutzen. Diese elegante Lösung stellt jedoch einen ernst zu nehmenden Eingriff in das Gerät, bedingt den Ausbau der Platine(n), dar und ist nur versierten OMs zu empfehlen. Obendrein sind gute Augen gefragt, um auf den verwirrenden Schaltplänen die Leitungen zu verfolgen, sie auf der Platine zu identifizieren, aufzukratzen und neu zu verdrahten. Diese ursprünglich bestechende Idee habe ich daher schnell aufgegeben, zumal ich wegen evtl. späteren Weiterverkaufs keine Änderungen am Gerät vornehmen wollte.

#### Methode 2

Es wird ein zusätzliches CW-Filter beschafft. Man baut das vorhandene Empfangsfilter aus und das neue Filter sowie alte SSB-Filter werden da, wo Platz ist (Bild 1), an das Chassis geklebt. Dazu kommt noch ein Miniatur-Relais 2 × Um. Das Relais schaltet die Filter zweipolig um. Dünne Koaxialleitungen – z.B. RG174 [3] – stellen die notwendigen Verbindungen zur Fassung des Filters auf der Platine und kurze Drähte die zwischen Filter und Relais her.

Probleme bereiten die Unterbringung eines Schalters für das Relais, der ja von außen zugänglich sein muss, und die qualvolle Enge im Gerät. Es gibt nur eine Stelle, wo sich die Filter mit einigem Geschick unterbringen lassen (Bild 1). Dazu ist viel Geduld notwendig.

Wer für die Befestigung der Filter einen Heißkleber nutzt, der sich wieder lösen lässt, kann aber bei dieser Version den Umbau des Geräts wieder rückgängig machen. Da es keinen Durchbruch für einen Schalter gibt, wäre allerdinsg ein Loch in die Rückwand zu bohren, was bei der Dicke der Wandung (Gussstahl) ein Problem bilden kann. Als einfachere Alternative lässt sich das Kabel zur Schaltung des Re-

lais, ähnlich wie im folgenden Beispiel, nach außen führen und der Schalter in ein Kästchen einbauen.

#### Methode 3

Letztlich habe ich mich für eine Lösung ohne Bohren und Feilen mit der Option für rückstandsfreie Entfernung entschlossen. Dazu besorgte ich ein CW-Filter 500 Hz (Yaesu XF-115C), baute das empfangsseitige SSB-Filter aus und klebte beide in ein kleines externes Kästchen. Darin sorgt ein Miniaturumschalter (2 × Um) für die Umschaltung zwischen den Filtern (Bild 2). Die Verbindung zum Transceiver erfolgt mit zwei 3-mm-Koaxialkabeln RG174, die zum Filtersteckplatz des Empfangsfilters führen

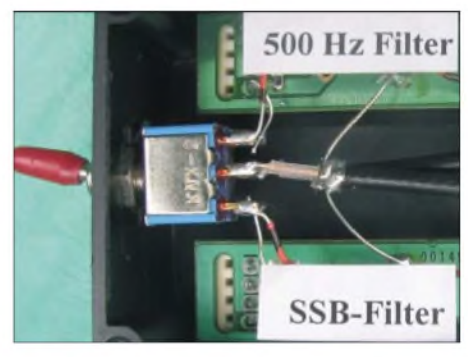


Bild 2: Externer Kasten mit 500-Hz-Filter oben und dem ausgebauten SSB-Empfangsfilter unten. Der Umschalter sollte möglichst kapazitätsarm sein und die Verbindungsdrähte kurz und dünn, damit die ZF keinen Weg findet, um die Filterwirkung zu umgehen.

Ein zusätzlicher Durchbruch ist nicht nötig, denn die Koaxialkabel lassen sich neben der Befestigung der Gleichspannungs-Eingangsbuchse in das Innere führen. Der Anschluss an die Filtersteckfassung erfolgt so, dass an den Steckerstiften nicht gelötet wird, was man mit einer Art "Wire-wrap-Technik" oder mit einer Leerplatine für Filter [4] leicht bewerkstelligen kann – Bild 3 zeigt meine Variante.

Im Umschaltkasten sorgt ein Tropfen Heißkleber für Befestigung der Filter, was leicht rückgängig zu machen ist. PSK31 und RTTY haben durch diese relativ einfache Modifikation erheblich gewonnen. Bild 3 zeigt die endgültige Anordnung; sie läuft seit einigen Monaten störungsfrei, Die Dämpfung durch die zusätzlichen Koaxialkabel (etwa 60 cm Gesamtlänge) liegt bei der ZF von 455 KHz unter 0,01 dB und ist nicht wahrnehmbar.

#### ■ Beispiel RTTY-Betrieb

Bei einem 500-Hz-Filter liegt nach dem Umbau die Mitte der Durchlasskurve bei 1560 Hz. Für RTTY stellt man dann seine AFSK-Töne im einschlägigen Programm so ein, dass sich eine Markfrequenz von 1475 Hz ergibt und Space bei 1645 Hz liegt. Starke Signale im Durchlassbereich, die ein Nutzsignal zudecken, lassen sich mit Hilfe des ZF-Shift-Reglers sehr gut herausschieben. Im Betrieb ist es sinnvoll, das DSP-Filter zusätzlich einzuschalten, der Empfang verbessert sich dann noch etwas.

Da nicht alle RTTY-Programme, die über die Soundkarte arbeiten, eine mehrdimensionale Anzeige des RTTY-Signals liefern, arbeite ich – auch aus historischen Gründen – mit der Anzeige durch eine Oszillografenröhre. Alle anderen Funktionen laufen über die Soundkarte. Dazu habe ich einen MINIX-RTTY-Konverter MSK-10D der ehemaligen Fa. Richter & Co. (RICO-Funk, DJ1KM) auf dem Flohmarkt erstanden und so hergerichtet, dass er, parallel zum NF-Eingang der Soundkarte geschaltet, als Abstimmanzeige dient.

Der im Gerät befindliche Konverter arbeitet nach dem Prinzip von DJ6HP [5] und liefert mit der eingebauten 3-cm-Röhre nicht nur ein schönes Bild, er beschleunigt auch durch die Eindeutigkeit der Anzeige den Abstimmvorgang. Obwohl Gerät und Röhre über 25 Jahre alt sind, funktioniert alles bestens – ein Beispiel für Qualitätsarbeit. Bild 4 zeigt das RTTY-Signal nach dem Einbau des Zusatzfilters



Bild 3:
Unterseite nach
Umbau, im SSB-RXFilter-Steckplatz
sitzt eine Leerplatine
von dem vorher
ausgebauten
Murata-Keramikfilter und nimmt
den Anschluss
der RG174-Kabel
wahr. Die Kabel
treten unten rechts
neben der
DC-Buchse aus.

#### **■** Filtertipps

Als Zusatzfilter können auch andere Fabrikate, z. B. von Inrad, Verwendung finden [4], [6]. Sie weisen etwas bessere Daten auf. Für RTTY mit 45 Baud kann man bei einer Shift von 170 Hz bis auf eine Filterbandbreite von 250 bis 300 Hz gehen. Wer auch mit 75 Baud arbeiten will, sollte beim 500-Hz-Filter bleiben. Für 850 Hz Shift – auf KW nicht üblich – muss man allerdings ein Filter mit 1000 Hz Bandbreite verwenden [5].

Schmalbandige Filter für 250 bis 300 Hz gibt es im Amateurfunk-Fachhandel außer von Inrad auch von YAESU unter der Bezeichnung YF-110CN (250 Hz). Die Platine des Zusatzfilters muss nicht für den

FT-847 ausgelegt sein, weil für das Einkleben des Filters in die Umschaltbox keine bestimmte Fassung erforderlich ist und die Verbindungsleitungen auch direkt an die Filterstifte angelötet werden können. Wer alle digitalen Betriebsarten, z. B. Olivia, abdecken will, braucht noch ein 1000-Hz-Filter (Inrad 713-C [4]). Man kann es noch zusätzlich nach Methode 3 im Kästchen unterbringen und dann z.B. mit einem Drehschalter zwischen den drei Filtern wählen. Als Steigerung ist noch ein 125-Hz-Filter (Inrad 719-C [4]) denkbar. Dieses Filter lässt neben störungsfreiem PSK31-Betrieb dann auch in SSB-Stellung AFSK-CW mit einem entsprechenden Programm über die Soundkarte zu, so wie es in [7] beschrieben wurde.

#### ■ Noch ein Tipp für den FT-847

Weiterhin empfiehlt es sich, die originalen SSB-Keramik-Filter (Murata CFJ455k) gegen mechanische Collins-Filter, z. B. Yaesu YF115S-02 auszutauschen, die Modulationsqualität wird sendeseitig erheblich besser und bei Empfang sorgt der optimale Shape-Faktor für eine weit bessere Trennschärfe

Man braucht beim FT-847 ggf. zwei dieser Filter, weil das Gerät beim Satellitenfunk-

verkehr vollduplex arbeitet und somit sowohl Sender als auch Empfänger in diesem Modus gleichzeitig aktiv sind. Immerhin bleiben nach Austausch der Filter dann zwei Filterplatinen übrig, wovon eine nach Auslöten des Murata-Filters als Anschluss für die Koaxialkabel nach Methode 2 oder 3 nutzbar ist, wie in Bild 3 zu erkennen. Weitere Tipps für den FT-847 finden sich unter [1] und [8].

#### Modifikation anderer Transceiver

Nach den Methoden 1 und 2 lässt sich eigentlich jeder Transceiver für die digitalen Modi aufrüsten. Voraussetzung ist nur, dass das SSB-Filter in einer Fassung sitzt und



Bild 4: Unten der MINIX-Konverter mit der 3-cm-Oszillografenröhre, darüber zur Kontrolle eine Oszillografenanzeige. Die Abstimmung ist richtig, wenn X- und Y-Achse der Elipsen senkrecht aufeinanderstehen. Schaltbilder einer Oszillografenanzeige und des DJ6HP-Konverters findet man in [8]. Der Konverter wurde auf die neuen AFSK-Töne abgeglichen.

somit ausgebaut werden kann. Als Zusatzfilter kann jedes Fabrikat passender Frequenz zum Einsatz gelangen.

Methode 1 eignet sich u.U. für ältere Geräte, die ein CW-Filter haben und noch weitgehend konventionell verdrahtet sind, sodass man die Leitungen gut verfolgen und ändern kann.

Da die meisten Transceiver lediglich ein SSB-Filter besitzen, das für Senden und Empfang genutzt wird, ist allerdings im Sendefall eine Umschaltung auf das Original-Filter über ein Relais parallel zur PTT-Taste vorzunehmen. Bei diesen Geräten kann man nicht nach Methode 3, also mit Handumschaltung, arbeiten.

Manfred.Maday@T-Online.de

#### Literatur

- [1] FT-847 FAQ: www.supercontrol.de/cat/ft847faq/ft847faq.htm#top;
  - FT-847 Forum: www.supercontrol.de/cat/forum/viewforum.php?f=7
- [2] Raban, K., DM2CQL: Tipp zum FT-847: CW-Filter auch für schmalbandige Digi-Modes. FUNK-AMATEUR 52 (2003) H. 12, S. 1253
- [3] Reichelt Elektronik: Tel. (04422) 955333; www.reichelt.de
- [4] Appello GmbH: Drosselweg 3, 21376 Salzhausen, Tel. (04172) 9791-61; www.appellofunk.de
- [5] Pietsch, H. J., DJ6HP: Amateurfunk-Fernschreibtechnik RTTY. 2. Auflage, Franzis' Verlag, München 1979
- [6] INRAD, International Radio: www.qth.com/inrad
- [7] Maday, M., DC9ZP: Telegrafie-Funkbetrieb mit dem PC ohne CW-Kenntnisse. FUNKAMATEUR 54 (2005) H. 2, S. 129–131
- [8] Hansen, E., OZ1TF: Modification for radioamateure. www.mods.dk

# Direkt anzeigender SWVund Leistungsmesser

#### HERMANN KULMUS – DJ8UZ

Stehwellenverhältnisse zu überwachen und sich gleichzeitig die abgegebene Leistung anzuzeigen zu lassen, ist mit diesem Kombigerät möglich. Durch den Verzicht auf SMD-Bauteile und Controller ist der Nachbau auch eher Unerfahrenen möglich.

Die Idee, sich das Stehwellenverhältnis auf einer Leitung mittels einer LED-Zeile darstellen zu lassen, ist nicht neu. Schon in [1] wurde beispielsweise so etwas veröffentlicht. Doch die dort erreichte Auflösung war mir zu gering. Außerdem fehlte die Möglichkeit, gleichzeitig und ohne ein zweites Gerät anschalten zu müssen, die abgegebene Leistung zu messen und analog zum SWV anzuzeigen.



Bild 1: Für den direkt an den beiden Buchsen des Messgeräts anzubringenden Hybrid-Richtkoppler kann, wie hier, ein selbst gebautes oder ein kommerziell hergestelltes Exemplar dienen.

Der nachfolgend beschriebene SWV- und Leistungsmesser ist durch seinen überschaubaren Aufwand auch für Anfänger als Bastelprojekt geeignet. Die gewünschten Leistungsbereiche lassen sich durch entsprechende Dimensionierung, sprich Windungszahl und Kernmaterial, des Hybrid-Richtkopplers bestimmen und reichen bei den von Messgeräten abgegebenen Pegeln im Milliwattbereich, über Leistungen von einigen Watt im QRP-Bereich bis hin zum Kilowattbereich bei so genannten QRO-Stationen. Genaue Hinweise, wie diese Auswahl vorzunehmen ist, folgen.

Der kombinierte SWV- und Leistungsmesser gliedert sich in zwei Baugruppen: den Hybrid-Richtkoppler und die Baugruppe zur Stehwellen- und Leistungsanzeige. Zwar werden hier beide Baugruppen in einem Gerät betrieben, doch lassen sie sich auch separat einsetzen. So wäre es durchaus möglich, den ohne Abgleichelemente auskommenden Hybrid-Richtkoppler über einem Operationsverstärker z. B. mit einen

Kreuzzeigerinstrument zu kombinieren oder einen vorhandenen Richtkoppler mit der LED-SWV- und Leistungsanzeige zu ergänzen. Im Stromlaufplan der Anzeigeeinheit sind die beiden Stellen, an denen sich für die erste Variante die Vorwiderstände für ein externes Kreuzzeigerinstrument anschließen lassen, mit *Punkt A* und *Punkt B* gekennzeichnet. Der LM324 mit der in Bild 4 gezeigten Beschaltung fungiert dann als Puffer zwischen Koppler und Kreuzzeigerinstrument.

#### ■ Funktion des Hybrid-Richtkopplers

Der hier gezeigte Richtkoppler ist eine Hybridschaltung zur Gewinnung der vorlaufenden und rücklaufenden Spannung. Aus ihnen lässt sich die Leistung und das Stehwellenverhältnis ermitteln. Die in Bild 5 dargestellte Schaltung wurde wegen ihrer großen Nachbausicherheit gewählt. Der Hauptvorteil ist das Fehlen jeglicher Abgleichelemente, sodass kein spezieller Messgerätepark zum Aufbau notwendig ist. Ein einfacher, hochohmiger Spannungsmesser, z. B. in Form eines Digitalvoltmeters, reicht für die Funktionsprüfung völlig aus.

Die Einfachheit der Schaltung lässt die komplexe Funktion nicht einmal im Ansatz vermuten. Doch für den Nachbau ist deren Verständnis nicht notwendig. Wer eine gute, ergänzende Abhandlung zu diesem Thema sucht, findet eine englische Version in [2]. Beim Nachbau ist einzig darauf zu achten, dass die Windungszahlen auf beiden Ringkernen gleich sowie die Windungen selbst möglichst identisch verteilt und aufgebracht sein müssen.

Für Anwendungen im Amateurfunkbereich reicht die erzielbare Genauigkeit durch den



Bild 3: Auf der Rückseite sind nur die Koaxialbuchsen und die Buchse für die Stromversorgung montiert.

symmetrischen Aufbau völlig aus. Wer eine höhere Genauigkeit in der UHF-Ausführung benötigt und über entsprechende Messgeräte verfügt, der kann durch Zuschalten von Kondensatoren mit etwa 2 bis 5 pF an den Ecken des Vierpols – das sind die Enden der Koaxialkabel-Primärwicklungen – nach Masse den induktiven Anteil der Transformatoren und Leitungen kompensieren.

#### ■ Aufbau des Richtkopplers

Bild 1 vermittelt einen Eindruck über die Anordnung der Bauelemente im Richtkoppler. Ein Weißblechgehäuse mit den Abmessungen 72 mm  $\times$  72 mm  $\times$  30 mm nimmt alle Bauteile bequem auf. Den unteren Deckel des Weißblechgehäuses verlötet man mit dem Rahmen. Er dient als Montage- und Befestigungsfläche für die Stütz- und Massepunkte. Die beiden Koaxialbuchsen sind entsprechend dem individuell verwendeten Steckersystem als BNC oder SO239 ausgeführt. Sie werden über acht Schrauben mit zugehörigen Muttern und Zahnscheiben gleichzeitig mit der Gehäuserückwand und dem Weißblechrahmen befestigt. So entsteht eine mechanisch stabile Einheit.

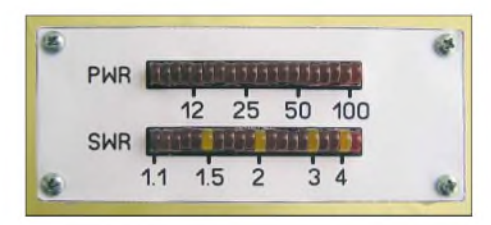
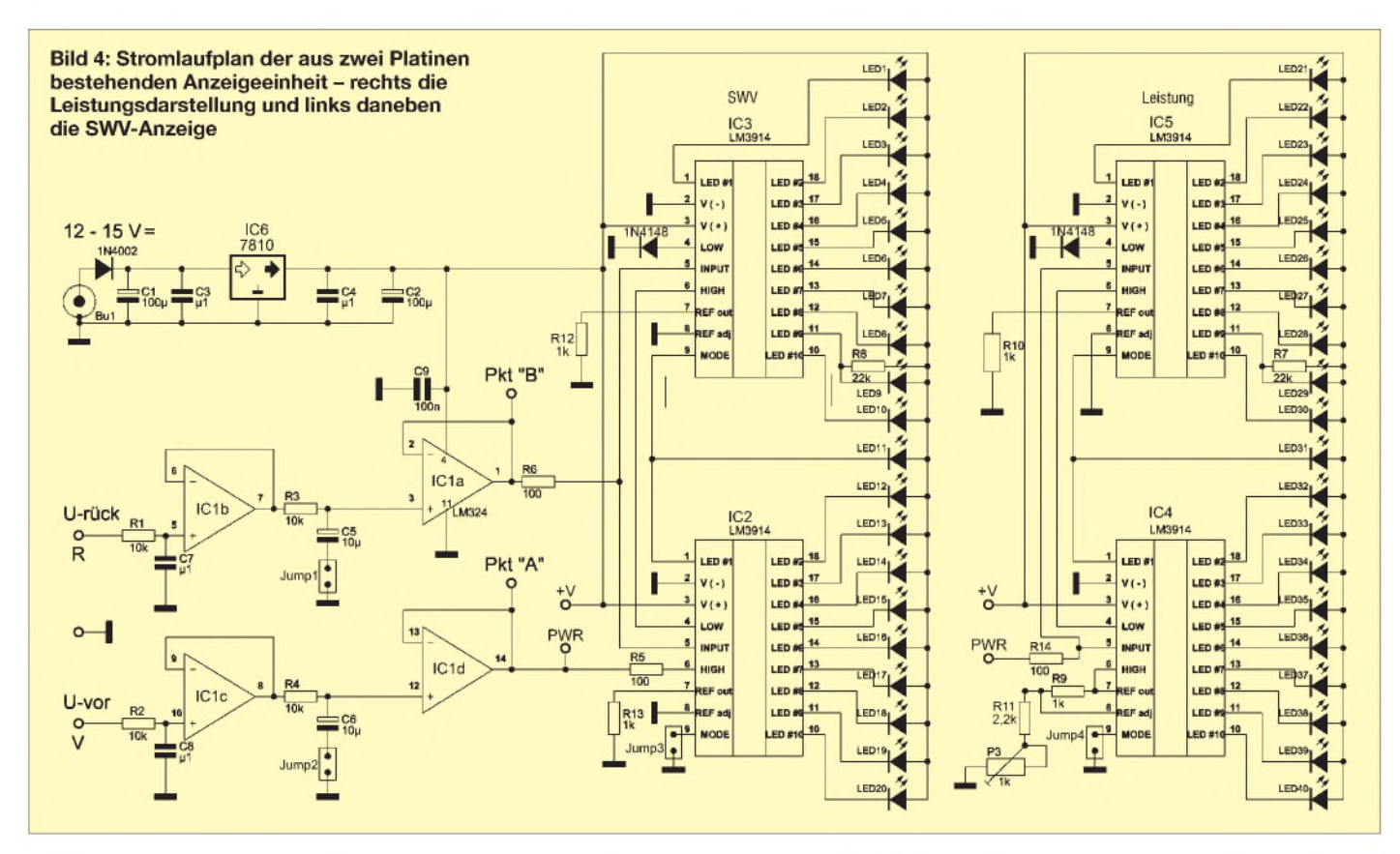


Bild 2: Auf der Frontseite des Messgeräts befinden sich nur die beiden LED-Reihen zur Anzeige des SWV und der Leistung.

Die beiden Anschlüsse der Koaxialbuchsen dienen als Befestigungspunkte für den Strom-Ringkern-Transformator TR1 – zwei zusätzliche Stützpunkte aus Keramik oder Teflon bilden die Befestigungspunkte des Spannungs-Ringkern-Transformators TR2. Bei entsprechender Anordnung, können für Letzteren als Lötstützpunkte auch die jeweils drei 150-Ω-Abschlusswiderstände dienen.

Die durch die vorlaufende bzw. die rücklaufende Welle erzeugten Spannungen werden über zwei Durchführungskondensatoren nach außen geführt. Die Abschlusswiderstände an jeder Seite des Spannungs-Transformators bestimmen die Impedanz des Messsystems: drei Widerstände von je 150  $\Omega$  parallelgeschaltet ergeben 50  $\Omega$ . Werden nur zwei dieser Widerstände eingesetzt, ist der Richtkoppler für 75- $\Omega$ -Systeme verwendbar. Alle Bauelemente werden frei verdrahtet – für die Masseverbindungen sind Lötösen mit dem Blechdeckel zu verschrauben. Bild 1 zeigt die für den Nachbau wichtigen Anordnungsdetails.



Zum Herstellen der Ringkern-Transformatoren nutze ich Ringkerne des Typs FT50-77, die laut Herstellerangaben [3] im Bereich von 0,5 bis 30 MHz verwendbar sind. Die Primärwicklungen bestehen aus kurzen Stücken Koaxialkabel, wobei ihre Innenleiter eine Windung bilden.

Für einen zu messenden Leistungsbereich bis 150 W sind 14 Windungen auf jeden Ringkern aufzubringen, sodass sich ein Übertragungsverhältnis von 14:1 ergibt, was einer Koppeldämpfung von 23 dB

Stücklisten	
Richtkoppler	
TR1, TR2	FT50-77 für KW oder
	FT50-63 für UHF
R1R6	150 Ω/1 W
D1, D2	BAW76
R7, R8	100 kΩ/0,25 W
C1, C2	1 nF
Anzeigeeinheit	
LED1LED40	LED, im 2,5-mm-Raster
	anreihbar
IC1	LM324
IC2IC5	LM3914
IC6	7810
D1	1N4002
D2, D3	1N4148
P3	$1 \text{ k}\Omega$ , $5 \text{ mm} \times 10 \text{ mm}$
R1	10 kΩ
R2	22 kΩ
R9, R10, R12, R13	1 kΩ
R11	2,2 kΩ
R14	100 Ω
C1	$100  \mu \text{F}/25  \text{V}$
C2	100 μF/16 V
C3, C4, C7C9	0,1 μF
C5, C6	10 μF/16V

entspricht. Eine Besonderheit sei hier angemerkt: Als Windung zählt jeder durch das Innere des Ringkerns geführte Draht – nicht die auf der Außenseite sichtbaren.

Für den QRP-Bereich sind Windungszahlen von 10 – entsprechend etwa 20 dB Koppeldämpfung – und für den QRO-Bereich von 33 (Koppeldämpfung etwa 30 dB) gute Anhaltspunkte für eigene Versuche. Um die kapazitiv übertragenen Anteile weitestgehend auszuschalten, darf die Abschirmung der durch die Ringkerne geführten Koaxialkabel nur einseitig geerdet werden. Eine beidseitige Erdung macht den Richtkoppler funktionsunfähig.

#### Hinweise für die UHF-Ausführung

Soll der Richtkoppler nicht für Kurzwellensondern für den 2-m-/70-cm-Bereich aufgebaut werden, sind die laut Hersteller von 50 bis 500 MHz einsetzbaren Ringkerntypen FT50-63 zu verwenden. Die genannten Richtwerte der Windungszahlen sind auch für diese Bereiche gültig, da das Windungsverhältnis die Kopplungsdämpfung bestimmt.

Sollte der Wunsch zur Messung noch kleinerer Leistung bestehen, dann hat das Reduzieren der Windungszahl der Sekundärwicklung sehr schnell seine Grenzen. Durch die zu geringe Induktivität der Spulen wird die Impedanz des Systems zu stark beeinflusst und das Messergebnis hat nichts mehr mit einem  $50-\Omega$ -System zu tun. Auch die thermische Belastung der

Abschlusswiderstände kann zu deren Zerstörung führen. Sollten Tests oder Berechnungen eine Windungszahl von unter 10 ergeben, ist die Induktivität eindeutig zu gering.

Mit einem kleinen Trick kann man sich dann aber behelfen. Da es sich ja um einen Kleinleistungsbereich handelt, lässt sich ein dünneres Koaxialkabel verwenden und dann zweimal oder mehr durch den Ringkern führen. Als Sekundärwicklung sind dann die dem Übersetzungsverhältnis entsprechenden Windungen aufzubringen. Aber auch hier ist wieder zu beachten, dass der Schirm der Primärwicklung nur einseitig mit Masse verbunden werden darf

Der Funktionstest ist schnell durchführbar. Die mit *TRX* gekennzeichnete Buchse ist mit dem Sender zu verbinden und die An-

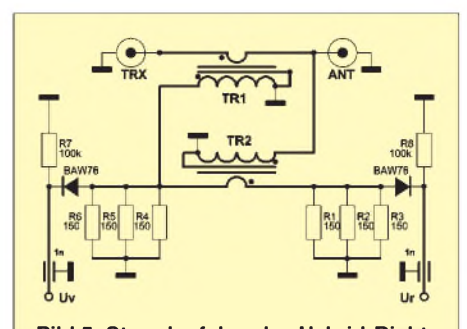


Bild 5: Stromlaufplan des Hybrid-Richtkopplers; die beiden baugleichen Ringkern-Transformatoren bilden den Grundstock der ohne Abgleich auskommenden Baugruppe.

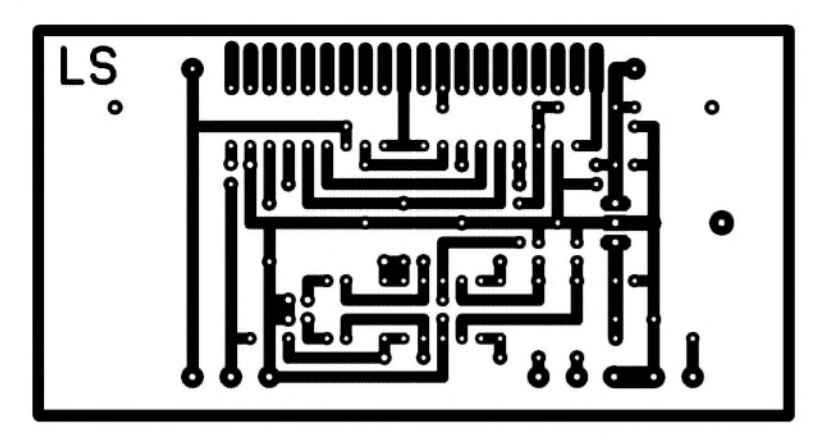


Bild 6: Layout der Anzeigeplatine für die Darstellung des SWV; Maßstab 1:1

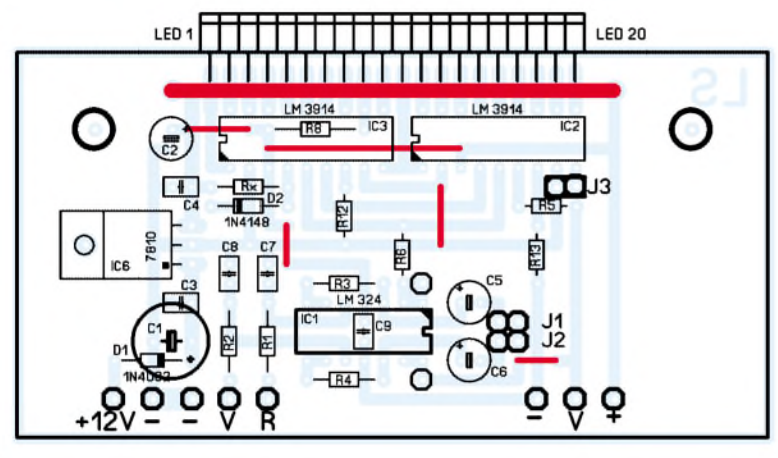


Bild 7: Bestückung der SWV-Anzeigeplatine; rot dargestellt sind die einzulötenden Drahtbrücken

tennenbuchse (ANT) mit einem Abschlusswiderstand zu versehen. Bei entsprechender Leistung sind an den beiden Durchführungskondensatoren Spannungen entsprechend der vorlaufenden bzw. der rücklaufenden Welle zu messen.

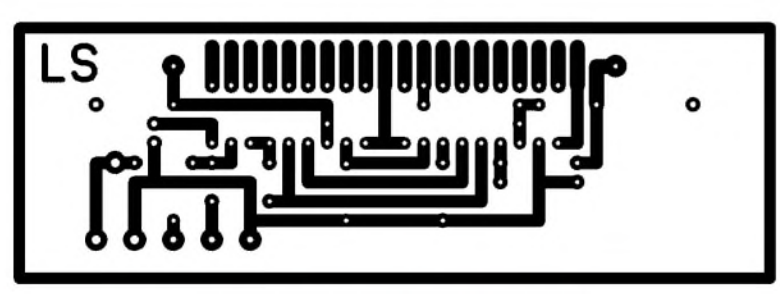
Bei korrektem Aufbau sollte nur eine im Verhältnis zur Vorlaufspannung sehr geringe Rücklaufspannung feststellbar sein. Den Test kann man noch einmal mit vertauscht angeschlossenem Sender und Lastwiderstand wiederholen. Damit ist diese Baugruppe schon funktionsfähig und fertig zum Einsatz.

#### ■ Funktion der Anzeigeeinheit

Das Bild 4 zeigt die Stromversorgung, die Puffer-OPVs und die beiden Anzeigen. Letztere basieren auf den ICs vom Typ LM3914, die mit wenig externen Bauelementen eine sehr flexible Funktionsanpassung ermöglichen [4]. Die Darstellung der Messwerte für das SWV und die Leistung erfolgt mit je 20 LEDs durch je zwei in Serie geschaltete LM3914.

Ihre Funktion ist schnell erklärt, denn eigentlich sind nur drei Anschlüsse für die Leistungsanzeige wichtig. Zum einen ist dies der Pin 5, an den die vorlaufende Span-

Bild 8: Layout der Anzeigeplatine für die Darstellung der Leistung; Maßstab 1:1



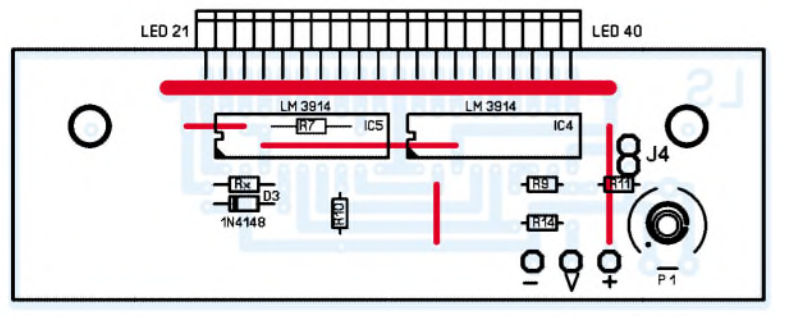


Bild 9: Bestückung der Leistungs-Anzeigeplatine; rot dargestellt sind die einzulötenden Drahtbrücken

nung über zwei OPVs als Pufferstufen gelangt. Diese Spannung repräsentiert die Leistung, welche durch die LED-Reihe zur Anzeige kommen soll. Der Anzeigebereich wird durch eine interne Widerstandskette, die zwischen Pin 4 und Pin 6 liegt, in zehn gleich große Teilbereiche je IC aufgeteilt. Durch Anlegen von entsprechenden Referenzspannungen an das untere (Pin 4) und das obere Ende (Pin 6) der internen Widerstandskette, lässt sich der Anzeigebereich einstellen. Mit dem einzigen Einstellregler P3 des Projektes auf der Leistungsanzeigeplatine kann die gewünschte Einstellung erfolgen. Die entsprechende Auflösung und die Übereinstimmung mit der Beschriftung auf der Frontplatte kann über P3 angepasst werden. Die restlichen Widerstände dienen zur Helligkeitseinstellung der LEDs und internen Funktionen des LM3914. Um die Funktion der SWV-Anzeige, die ab

Um die Funktion der SWV-Anzeige, die ab einem gewissen Mindestpegel erst funktioniert, zu verstehen, ist eine kurze Erklärung erforderlich. Bei jedem SWV-Messgerät wird das Verhältnis der reflektierten Leistung zur vorlaufenden Leistung angezeigt, wobei die vorlaufende Leistung unabhängig vom absoluten Wert immer 100 % entspricht.

Die angezeigte Spannung steht im direkten Zusammenhang zwischen der Spannung an Pin 5 (rücklaufende Spannung) sowie den beiden Spannungen an Pin 4 (Masse) und Pin 6 (vorlaufende Spannung). Das bedeutet, wenn an Pin 5 die gleiche Spannung anliegt wie an Pin 4 und somit ein SWV von 1:1 vorliegt, dann leuchtet die unterste Diode, LED20. Ist dagegen die Spannung an Pin 5 gleich der Spannung an Pin 6 SWV = 1:∞, dann leuchtet die oberste Diode, LED1. Bei jeder Spannung an Pin 5, die zwischen der von Pin 4 und Pin 6 liegt, leuchtet die entsprechende LED auf, wobei je Schaltkreis zehn Stufen möglich sind.

Auf die Messung des SWVs bezogen, bedeutet dies nun folgende Anzeigefunktion. Wenn an Pin 4 0 V (Masse) und an Pin 6 die vorlaufende Spannung liegt, so ist der darstellbare Bereich immer 100 % der augenblicklichen Leistung. Wenn nun die Rücklaufspannung z. B. 50 % der Vorlaufspannung beträgt und diese an Pin 5 liegt, so erfolgt die Ansteuerung der Diode in der Mitte der LED-Reihe. Das angezeigte Ergebnis würde in diesem Beispiel einem SWV von 1:3 entsprechen.

Eine automatische Anpassung der Anzeige wird dadurch erreicht, dass die vorlaufende Spannung immer die Referenz von 100 % für die rücklaufende Spannung darstellt. Da jedoch SWV-Werte über 1:4 in der Praxis nicht mehr von Interesse sind, wurde durch entsprechende Beschaltung der angezeigte Bereich gedehnt.



Bild 10: Das geöffnete Gehäuse lässt die Anordnung der Baugruppen im Euro-Gehäuse erkennen. Die Verdrahtung der Baugruppen untereinander beschränkt sich auf wenige Drähte. Fotos: DL4FBM, Hanisch

Durch einen zusätzlichen Widerstand in Reihe zur IC-internen Widerstandskette wurde der Anzeigebereich von SWV = 1:1 bis 1:4 ausgelegt. Durch diese Spreizung wird eine bessere Auflösung im niedrigeren SWV-Bereich erreicht.

Die Anzeigeart, ob Einzel-LED- oder Balkendarstellung, ist für beide Platinen einzeln über J3 bzw. J4 einstellbar. Des Weiteren ist die Änderungsgeschwindigkeit zwischen "normal" und "verzögert" wählbar, sodass die fast trägheitslos reagierende Anzeige gegebenenfalls beruhigt werden kann. Dazu dienen die RC-Glieder R3/C5 und R4/C8. Über J1 und J2 lassen sie sich ein- bzw. ausschalten. Die Operationsverstärker IC1b und IC1c mit einer Verstärkung von v = 1 vermeiden Rückwirkungen der RC-Glieder auf den Richtkoppler. Die folgenden IC1a und IC1d übernehmen die niederohmige Ansteuerung der beiden LED-Reihen.

Eine Besonderheit beider Anzeigeplatinen ist noch kurz zu erläutern. Das geschilderte Funktionsprinzip der LM3914 geht von einer unteren Referenzspannung von 0 V aus. Jedoch liefern die ansteuernden OPVs bei der gewählten einfachen Spannungsversorgung als kleinste Ausgangsspannung einen Wert größer als 0 V. Um diese Offset-Spannung auszugleichen, ist es notwendig, die Anschlüsse 4 des IC3 und des IC5 spannungsmäßig etwas höher zu legen.

Drei Varianten sind möglich: Zum einen kann man einen Widerstand von Pin 4 nach Masse einfügen; dies ist nicht zu empfehlen, da die zugeführte Spannung an Pin 6 von der Ausgangsleistung abhängig ist und somit die erwünschte Offset-Kom-

pensation nicht konstant wäre. Als zweite Variante ließe sich eine feste Offset-Spannung über einen Spannungsteiler erzeugen und an Pin 4 anlegen. Das dritte Verfahren nutzt eine in Durchlassrichtung von Pin 4 nach Masse geschaltete Diode, wodurch sich ein Offset von etwa 0,6 V einstellt. Alle drei Varianten sind auf der Platine realisierbar. Bild 4 zeigt die Version mit der Diode, für die ich mich entschied.

#### ■ Aufbau der Anzeigeeinheit

Bei der Bestückung der ICs sind Fassungen zu verwenden, da unter ihnen einige Bauelemente und Drahtbrücken zu platzieren sind. Diese Bauelemente und die Drahtbrücken sind als erste zu bestücken. Sollen keine IC-Sockel zum Einsatz kommen, können R7 und R8 auch auf der Lötseite angeordnet werden – die Drahtbrücken passen sicher noch unter die ICs. Doch egal wo man sie einlötet, sie sind zuerst einzubauen. Ansonsten gibt es keine Besonderheiten. Nur bei den Elektrolytkondensatoren, Dioden, ICs und LEDs ist auf richtige Polung entsprechend dem Bestückungsplan bzw. dem Stromlaufplan zu achten

Die Bilder 6 und 8 geben Layouts für die geätzten Platinen an. Diese Vorlagen lassen sich aber auch, so wie in den Bildern zu sehen, als Verdrahtungsbeispiel für Lochrasterplatinen nutzen. Die Breite der Platinen ist mit 100 mm für das Euro-Gehäuse genau passend ausgelegt. Bei der Verwendung von anreihbaren LEDs ist die Montage auf jeder Platinenart sehr einfach: Die Anschlüsse der LEDs werden so gekürzt, dass sie sich seitlich auf die Platine schieben lassen.

Die nach dem Aufstecken auf der Unterseite liegenden Kathoden der LEDs sind kurz vor den Lötpads des IC-Sockels abzuschneiden, die auf der Oberseite liegenden Anschlüsse (Anoden der LEDs) sind demgegenüber kürzer zu halten und mit einer gemeinsamen Blankdrahtbrücke mit der Versorgungsspannung zu verbinden. Durch die Platine sind die LEDs dann sehr genau ausgerichtet. Bei der Bestückung der LEDs

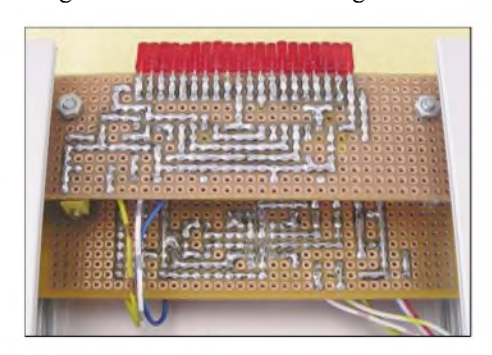


Bild 11: Die beiden Platinen werden gestockt und mit den Lötseiten nach oben im Gehäuse eingebaut. Die schmalere obere Leiterplatte ist die zur Leistungsanzeige.

ist es ratsam, in der Mitte der Reihe zu beginnen, da sich so die Bauteiletoleranzen auf beiden Seiten gleichmäßig verteilen. Ich selbst habe zum Hervorheben markanter Werte auf der SWV-Platine für die Stehwellenverhältnisse 1:1,5, 1:2, 1:3 und 1:4 gelbe anstatt rote LEDs verwendet. Die beiden Platinen werden mit zwei M3-Schraubenverbindungen auf Abstand gehalten. Damit lässt sich auch erreichen, dass die Platinen in den Führungsnuten etwas klemmen, so im Gehäuse fixiert sind

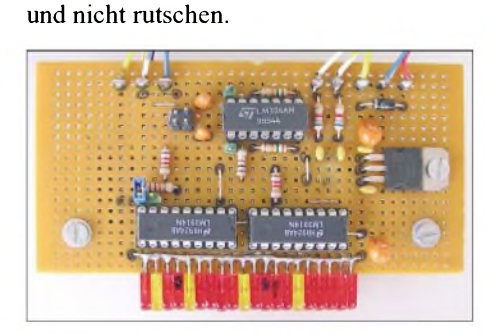


Bild 12: Ansicht der bestückten Leiterplatte für die SWV-Anzeige; lediglich das Auflöten der dicht an dicht sitzenden LEDs ist eine Fleißarbeit.

Die Stromversorgung kann über die Einbau-Hohlsteckerbuchse aus einer Gleichspannung von 12 bis 15 V erfolgen. Als Gehäuse setzte ich ein Euro-Gehäuse aus Aluminium mit den Außenabmessungen 42 mm × 103 mm × 169 mm ein. Da es nichts zu bedienen gibt, sind an der Frontseite nur die beiden LED-Reihen zu sehen. Sobald die Versorgungsspannung anliegt, leuchtet die am weitesten rechts positionierte LED (SWV 1:4) auf und zeigt damit die Betriebsbereitschaft an. Die Rückseite trägt die beiden HF-Buchsen entsprechend dem verwendeten Steckersystem und die Buchse für die Stromversorgung.

Ein Hinweis noch: Für die gewerbliche Herstellung ist meine Genehmigung erforderlich. aj8uz@web.de

#### Literatur

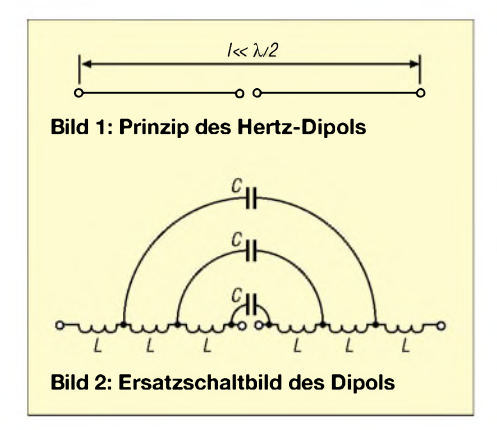
- [1] Van Remmen, W. J., KA2WFJ: A Pocket-Size Direkt-Reading VHF SWR-Meter. QST 81 (1997) H. 2, S. 33 ff.
- [2] Ellis, M. G., RF Directional Couplers: http://members.tripod.com/michaelgellis/direct.html
- [3] FA-Bauelementeinformation: FT-Ringkerne, Ferrit-Ringkerne von Amidon. FUNKAMATEUR 52 (2003) H. 11, S. 1127–1128
- [4] FA-Bauelementeinformation: LM3914, Punkt-Balkenanzeige-Treiber. FUNKAMATEUR 53 (2004) H. 1, S. 51–52
- [5] FA-Bauelementeinformation: Umrechnung P-U, Umrechnung Leistung/Spannung. FUNKAMA-TEUR 54 (2005) H. 1, S. 51–52
- [6] N.N.: QRP-Wattmeter WM-1. beam 12 (1993) H. 7, S. 19 ff.
- [7] N.N.: HF-Wattmeter für Kurzwelle. beam 11 (1992) H. 11, S. 22 ff.
- [8] Tell, W., DL5WT: Einfache elektronische Skalenanzeigen. QRP-Report 9 (2005) H. 4, S. 16–18
- [9] Sichla, F., DL7VFS: Dezibel & Co in der Funkpraxis. vth Verlag, Baden-Baden 2000

### EH-Antennen kritisch betrachtet

#### **MARTIN STEYER - DK7ZB**

Seit ihrem Erscheinen vor einigen Jahren werden das Prinzip und die Wirksamkeit dieser besonderen Antennenform zum Teil sehr kontrovers diskutiert. Dies war Anlass, in einem ausgiebigen Test zu prüfen, welche Ergebnisse mit EH-Antennen zu erzielen sind.

Grundlage für räumlich stark verkürzte symmetrische Antennen ist der Hertz'sche Dipol. Dieser hat gegenüber dem klassischen Dipol eine Längenausdehnung, die nur einen Bruchteil der halben Wellenlänge beträgt (theoretisch ist er unendlich kurz). Eine 20-m-EH-Antenne bringt es konkret auf 3 % der unverkürzten Maße. Dabei beträgt der theoretische Verlust beim Antennengewinn lediglich 2 dB.



Dies setzt allerdings voraus, dass die gesamte Leistung im Sendefall in Strahlungsenergie umgesetzt wird. Leider klappt das in der Realität nicht, weil der Strahlungswiderstand nur Bruchteile eines Ohm ausmacht und Verlustwiderstände in der Antenne selbst, im notwendigen Impedanznetzwerk und durch die Umgebung den Wirkungsgrad drastisch senken.

#### **■ Theorie der EH-Antennen**

Nun gibt es verschiedene Möglichkeiten, trotzdem zu einem akzeptablen Wirkungsgrad zu gelangen. Dazu betrachten wir zunächst in Bild 1 den Dipol für sich. Dieser bildet gemäß Bild 2 einen elektrischen Schwingkreis, dessen Resonanzfrequenz sich aus den Längsinduktivitäten L und den Kapazitäten C zwischen den Leiterästen ergibt. Dabei wird eine elektromagnetische Welle abgestrahlt, die sowohl aus dem magnetischen Anteil (H-Feld) und dem elektrischen Anteil (E-Feld) besteht, wobei beide senkrecht zueinander stehen und im Nahfeld gleich stark sind.

Schon länger in der Praxis eingesetzte, stark räumlich verkürzten Varianten des Hertz-Dipols sind die *Magnet-Schleife* und die *Isotron*-Antenne. Bei der ersteren werden die Induktivität zu einer Schleife gebo-

gen sowie die Kapazität an den Enden vergrößert und gleichzeitig zur Abstimmung eingesetzt, wie Bild 3 veranschaulicht. Der Hauptanteil der Strahlung stammt von der Leiterschleife (Induktivität), dadurch überwiegt im Nahbereich das H-Feld. Umgekehrt ist es bei der *Isotron*-Antenne. Dort bilden Spulen die Leiterinduktivität und die Kondensatorplatten der Kapazität werden vergrößert (durch Blech- oder Stanniol-Flächen); diese liefern den Hauptanteil der Strahlung mit dem E-Feld. Bild 4 verdeutlicht das Prinzip.

Eine weitere, stark verkleinerte Antennenform ist die extrem verkürzte Monopolantenne [1], in ähnlicher Form auch unter der Bezeichnung *Micro-Vert* (DL7PE) bekannt. Diese stellt allerdings eine Abwandlung des unsymmetrischen Monopols und nicht des verkürzten Hertz-Dipols dar.

Die EH-Antenne besteht aus zwei dicken Zylindern, die eine Induktivität besitzen. Gleichzeitig bilden sie aber auch einen Kondensator mit etwa 20 pF Kapazität, der einen stärkeren Anteil des E-Feldes im Nahbereich zur Folge hat. Bild 6 zeigt die Feldverteilung an den Zylindern.

Etwas abweichend von den bekannten Bierund Spraydosen-Antennen [2] erfolgt die Speisung über ein ausgeklügeltes Phasenschieber- und Anpassungsnetzwerk, das drei Aufgaben erfüllen soll:

- Herstellen der Resonanzbedingungen,
- eine um 90° phasenverschobene Speisung der beiden Zylinder und
- ein Anheben des extrem kleinen Strahlungswiderstandes des Hertz-Dipols.

Mit Hilfe von Bild 7 wollen wir uns die Wirkungsweise des Netzwerkes deutlich machen. Die Induktivität  $L_a$  dient zur pha-

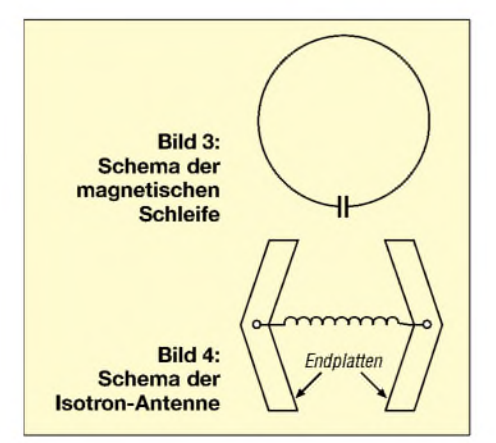




Bild 5: Ansicht der 20-m-Ausführung

senverschobenen Speisung des Zylinders  $C_1$  und zum Herstellen der Resonanzbedingung,  $L_s$  dient als Speiseinduktivität der Anpassung auf 50  $\Omega$ . Die Funktion von  $L_p$  erschließt sich, wenn man sich die tatsächliche Anordnung der Bauteile nach Bild 8 anschaut. Die Zuführung des Speisekabels muss durch den unteren Zylinder  $C_2$  erfolgen, damit die Antenne an der Spitze eines Mastes montiert werden kann. Dadurch ergibt sich eine zusätzliche Phasenverschiebung, die durch  $L_p$  direkt an  $C_1$  kompensiert wird.

Die Kapazitäten  $C_{\rm a}$  der Abstimmspule  $L_{\rm a}$  und  $C_{\rm d}$  des Drahtes, der durch den Zylinder  $C_{\rm 2}$  führt, gehen mit in die Berechnung des Netzwerkes ein.  $R_{\rm L}$  ist der Widerstand der Abstimminduktivität  $L_{\rm a}$ . Der Strahlungswiderstand  $R_{\rm s}$  der Antenne liegt in Reihe mit der Kapazität  $C_{\rm c}$  zwischen den Zylindern  $C_{\rm 1}$  und  $C_{\rm 2}$ .

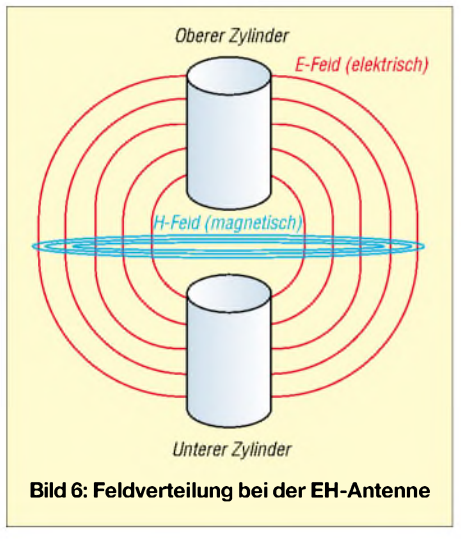
Nach dem Erfinder Ted Hart, W5QJR, sollen sich im Gegensatz zu den anderen, oben beschriebenen und verkürzten Antennenformen beide Feldkomponenten (Eund H-) in Phase befinden und bereits im unmittelbaren Nahfeld ausbilden. Dies sei die entscheidende Neuerung, die 120 Jahren nach Hertz eine revolutionäre Entwicklung darstelle. EH-Antennen sind Rundumstrahler mit vertikaler Polarisation.

Hart propagiert eine durch die phasenverschobene Speisung deutlich höhere Effizienz und ein völlig neues Wirkungsprinzip dieser Antennenform, die auch den verwandten CFA-Antennen (Cross-Field-Antennen) unterstellt wird. Folgende Eigenschaften gibt er als wichtigste für seine Antennen an [1]:

- Maximale Abstrahlung ist abhängig von der korrekten Phasenlage des E- und H-Feldes schon unmittelbar an der Antenne, nicht von den Resonanzbedingungen.
- Die EH-Antenne ist ein auf bis zu 2% der Normalgröße verkleinerter vertikaler Dipol.

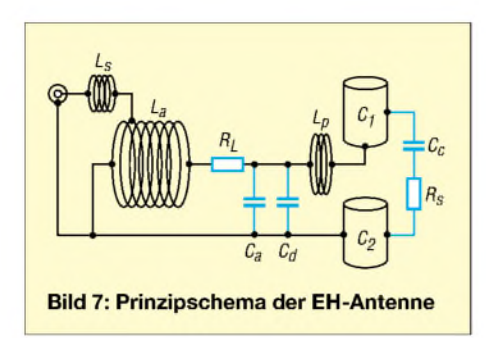
- Die Bandbreite ist abhängig von der Kapazität zwischen den Zylindern.
- Der Wirkungsgrad erreicht 100 %.
- Im Empfangsfall erreicht die EH-Antenne die Feldstärke eines echten Halbwellenstrahlers.
- Der Strahlungswiderstand ist  $120~\Omega$ . Ich kann zwar verstehen, wie das L-Netzwerk und die Speisung funktionieren, habe jedoch Schwierigkeiten mit dem Nachvollziehen der theoretischen Überlegungen von Ted Hart in [3]. Der gegenüber anderen, vergleichbar kleinen Antennen propagierte bessere Wirkungsgrad könnte eigentlich nur über das Minimieren der Verlustwiderstände innerhalb des Antennensystems und ein zusätzliches Anheben des Strahlungswiderstandes kommen.

Dabei erscheint ein Wirkungsgrad von 100 % angesichts der zwangsläufig in den Netzwerken auftretenden Verluste nicht glaubhaft. Ebenso sprechen die praktischen Ergebnisse dagegen, dass die Empfangsspannungen mit denen einer unverkürzten Antenne vergleichbar seien. Für mich ist die EH-Antenne eine weitere Variante einer kapazitiven Antenne mit starker räumlicher Verkürzung, wie der *Isotron*, und dementsprechend verringertem Wirkungsgrad.



Eigentlich müsste die EH-Antenne ja die ideale AM-Rundfunk-Sendeantenne für den MW- und LW-Bereich darstellen. Es ist kein aufwändiges Radialnetz nötig und die Abmessungen sind gegenüber klassischen Vertikalstrahlern deutlich reduziert. Meines Wissens gibt es bisher lediglich eine einzige MW-Station, die Versuchsbetrieb mit einer EH-Antenne durchführt. Dies ist über 10 Jahre nach der Erstvorstellung eine sehr zurückhaltende Wertung der Kommerziellen gegenüber dieser Antenne, was uns zu denken geben sollte.

Lesenswert ist ferner, was andere zum Konzept der EH-Antenne sagen. VE2CV und I1RFQ, beides HF-Ingenieure und bekannte Funkamateure, kommen zu dem ernüchternden Fazit: "The EH antenna concept simply does not exist." [4], [5], [8]. Dazu hatten sie die Wirkungsweise gründlich untersucht und Modellierungen mit NEC4D vorgenommen.



Ganz aktuell ist eine ausführliche feldtheoretische Betrachtung von Kirk. T. McDonald [8]. Er weist nach, dass bei einer EH-Antenne mit längeren Speiseleitungen mehr HF über das Speisekabel selbst als über die eigentliche Antenne abgestrahlt wird. Das erklärt möglicherweise die unterschiedlichen Bewertungen der praktischen Ergebnisse bei verschiedenen Tests.

Der Physik-Professor an der renommierten Princeton-Universität kommt obendrein zu einem weiteren interessanten Schluss: Die EH-Antenne könnte besser arbeiten, wenn beide Zylinder in Phase gespeist würden und das Phasenschiebernetzwerk am Fußpunkt der Antenne angebracht wäre. Das steht jedoch gerade im krassen Gegensatz zu Ted Harts Argumenten!

#### ■ Praktische Ausführungen

Die hier geprüften Muster Cobra 20 und Cobra 40 (die Zahlen stehen für das nutzbare Band) stammen aus der Produktion von Arno-elettronica [4]. Es sind Ausführungen für alle Amateurbänder von 6 bis 160 m erhältlich, wobei es sich prinzipbedingt jeweils ausschließlich um Monoband-Antennen handelt.

Bild 5 zeigt, dass sich die Metallzylinder und Induktivitäten in einem stabilen Kunststoff-Rohr befinden. Die Befestigung erfolgt mit zwei verzinkten Mastschellen an einem verstärkten GFK-Innenrohr. Seitlich unten ist ein SO-Winkelanschluss für das zuleitende 50-Ω-Koaxialkabel angebracht. Insgesamt machen die Antennen einen stabilen, professionellen Eindruck.

Bild 9 offenbart das sauber und mit Spulen aus dickem CuL-Draht aufgebaute Innenleben der Cobra~20~mit den beiden als Strahler wirkenden Kupferzylindern. Dabei beziehen sich die Angaben der Bauteile auf das Schema von Bild 7. Die Induktivität  $L_s$  ist dabei nicht sichtbar, sie liegt im Inneren des schwarzen GFK-Rohres zwischen der Koaxialbuchse und  $L_a$ . Ein verstellbarer Ring über  $L_a$  aus Kupferband

ermöglicht den Abgleich von außen, dazu wird der Ring auf dem Außenrohr verschoben. Der Hersteller weist nachdrücklich darauf hin, dass ein freier Aufbau notwendig ist. Ein Einsatz an einer Hauswand oder gar innerhalb eines Gebäudes ist schon allein wegen der sehr starken Verstimmung und der Verschlechterung des Abstrahlungsverhaltens nicht zu empfehlen. Für solche Einsatzbedingungen ist meines Erachtens eine Magnet-Loop die eindeutig bessere Wahl.

#### **■** Erfahrungen beim Aufbau

Jede Antenne enthält eine englische Anleitung, der deutsche Lieferant WiMo [5] legt eine ausführliche deutsche Übersetzung dazu. Die Cobra 20 ließ sich durch das Verschieben eines äußeren Kupferringes von 13,5 bis 16,5 MHz abgleichen, allerdings ist der Punkt für eine genaue Anpassung im 14-MHz-Band nicht ganz leicht zu finden. Dies liegt an einer relativ großen Empfindlichkeit gegenüber der Umgebung, vor allem spielt auch die Höhe über Grund eine entscheidende Rolle.

Die Testantenne befand sich etwa 7 m über dem Erdboden auf einem selbstgebauten Aluminium-Schiebemast. Zunächst hatte ich das Koaxialkabel, nach Herstellerempfehlung eine elektrische Halbwellenlänge lang (Verkürzungsfaktor beachten!), direkt angeschlossen und mit Klebeband am Mast befestigt.

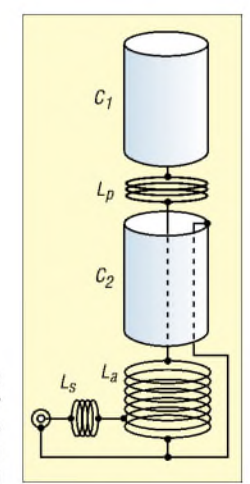


Bild 8: Anordnung der Bauelemente in der praktischen Ausführung

Auffällig war, dass das Anfassen des Mastes am Analyzer MFJ-269 eine starke Veränderung des reellen und imaginären Anteils am Strahlungswiderstand mit entsprechender Zunahme (bzw. Abnahme) des Stehwellenverhältnisses (SWV) nach sich zog. Das deutet auf eine relativ starke Verkopplung der Antenne mit der Speiseleitung hin, auf die ich weiter hinten noch einmal eingehe.

Nach Einfügen einer selbstgebauten Mantelwellensperre aus zehn Stück jeweils 30 mm langen Ferrit-Ringen über einem Stück RG213 direkt an der Antenne war diese

Beeinflussung fast vollständig verschwunden. Das SWV erreichte bei 14,2 MHz einen Wert von s=1,2 und stieg an den Bandenden auf etwa s=1,5 an. Für eine derartig verkürzte Antenne ist die Bandbreite erstaunlich hoch.

Die 40-m-EH-Antenne ließ sich deutlich schwieriger abgleichen, der Montageort befand sich auf einem GFK-Mast 1 m über der Dachfirsthöhe seitlich des Hauses mit Mastbefestigung am Balkongeländer. Die absolute Höhe über Grund betrug etwa 11 m. Dies ist eine Konfiguration, wie sie bei anderen Funkamateuren wohl häufiger in der Praxis auftreten wird.

Auch hier besserte sich nach Einbau der beschriebenen Mantelwellensperre die starke Anhängigkeit des SWV von der Lage des Koaxialkabels. Allerdings habe ich keinen Abgleichpunkt gefunden, der durch Verschieben des Kupferringes ein SWV s < 1,5 ermöglichte. Dies ist aber kein dramatischer Wert, auch ohne Tuner ließ sich die volle Sendeleistung von 100 W einspeisen.

#### ■ Betriebsergebnisse

Hersteller und Hart geben an, die Signalstärken an der EH-Antenne entsprächen dem eines vertikalen Halbwellendipols volLesbarkeit trotz geringerer Feldstärke besser als am Dipol, wobei die Hereinnahme eines Dämpfungsgliedes nicht einen vergleichbaren Effekt bewirkte. Dies läßt sich auch nicht mit den Eigenschaften des Empfängers am TS-480 erklären, der über einen recht großsignalfesten Eingang verfügt. In den meisten Fällen war die Feldstärke geringer als am Dipol.

In der Tabelle habe ich die Signalstärken der 20-m-EH gegen den Vertikaldipol ausgewertet. Es fanden sowohl Sende- als auch Empfangsrapporte, allerdings nur Feldstärken >S5 Berücksichtigung. Dabei ergab sich der eigentlich erwartete Effekt, dass eine so räumlich verkürzte Antenne nicht mit einem "ausgewachsenen" Strahler mithalten kann. Es zeigte sich kein Unterschied der Rapporte zwischen Senden und Empfang.

Die 40-m-Ausführung verglich ich zu Hause mit dem gefalteten 40-m-Dipol einer DLP-15 in 16 m Höhe und einer 2 × 18 m-Inverted-Vee mit dem Einspeisepunkt 15 m über Grund. Waren schon die Feldstärkeunterschiede zwischen den beiden Vergleichsantennen jeweils recht unterschiedlich und offensichtlich von Einfallsrichtung und -winkel stark abhängig, so

Antennen solche Speisekabel-Längen zu verwenden, um ungewollte Transformationseffekte durch ungünstige Leitungslängen zu vermeiden.

Durch die Befestigung am Mast und die eingesetzte Mantelwellensperre kann man davon ausgehen, dass bei meinen Tests der Hauptanteil der Strahlung wirklich von der Antenne ausging. Für die in der Tat winzigen EH-Antennen sind die Ergebnisse dennoch mehr als bemerkenswert und deuten auf einen guten Wirkungsgrad hin, der wohl das Optimum darstellt, was bei einer Länge von z. B. 40 cm (20-m-Variante) machbar ist.

# Feldstärkeunterschiede der Cobra 20 gegenüber einem 2 × 5,1-m-Vertikaldipol Anteil Unterschied zum Vertikaldipol 5 % keiner oder nur minus 1/2-S-Stufe 20 % minus 1 S-Stufe 35 % minus 1 1/2-S-Stufen 40 % minus 2 S-Stufen oder mehr

Die vom Erfinder und vom Hersteller gemachte Aussage, dass die Signalstärken der EH-Antenne mit denen eines vertikalen Dipols voller Länge vergleichbar seien, bestätigen sich eindeutig nicht und sind ins Reich der Fabel zu verweisen. Also: Keine Wunder, sondern alles im Rahmen der normalen Physik!

Wer keine große und auffällige Antenne aufbauen kann, sollte aber durchaus einen Versuch mit diesem Winzling wagen. Es bleibt allerdings der prinzipbedingte Nachteil, dass mit einer Antenne jeweils nur ein Band abgedeckt werden kann. Von besonderem Interesse dürften die 80-mund 160-m-Ausführungen auch für Amateure mit einem größeren "Antennenwald" sein, weil sie im Empfangsfall die Bedingungen deutlich verbessern können. Wer schwache DX-Stationen aus dem Steilstrahlungs-EU-QRM heraushören will, legt mehr Wert auf eine störungsarme Antenne als auf absoluten Gewinn.

www.qsl.net/dk7zb

# C<sub>1</sub> L<sub>p</sub> C<sub>2</sub> L<sub>a</sub> L<sub>s</sub>

Bild 9: Innenleben der Cobra 20

Fotos: DK7ZB

ler Länge. Kaum ein Amateur wird wohl in der Lage sein, das in der Praxis tatsächlich nachzuprüfen. Vergleiche zwischen EH-Antenne und anderen kranken immer an den unterschiedlichen Strahlungsdiagrammen und Polarisationen, weshalb Berichte dazu mit Vorbehalt zu behandeln sind.

Auf einem Campingplatz an der Biscaya konnte ich einen echten Vertikaldipol als Referenzantenne zum direkten Vergleich errichten, siehe Bild S. 1240. Ein 3,50-m-Surfmast mit einer 12-m-Angelrute diente als Träger, das untere Ende des Dipols befand sich 4 m über dem Erdboden, der Einspeisepunkt mit 300-Ω-Bandkabel war entsprechend 9 m über Grund. Dies ermöglichte mit einem Antennentuner SG-237 Allbandbetrieb. Gegenüber der Hauptbetriebsrichtung nach DL befanden sich die Antennen nebeneinander in einem zugegebenermaßen etwas geringen Abstand von 6 m.

Bemerkenswert war der niedrigere Anteil von Störgeräuschen und Hintergrundrauschen bei der EH-Antenne, der nur bedingt auf den geringeren Antennengewinn zurückgeführt werden kann. Gerade bei manchen schwachen Signalen war die verstärkte sich dieser Effekt deutlich beim Umschalten auf die 40-m-EH-Antenne. Europa-Signale von außerhalb DL waren im Mittel etwa 1,5 bis zwei S-Stufen unter den Vergleichsantennen. Bei Signalen mit Steilstrahlung lag die Differenz häufig noch etwas darüber, sodass meistens zwei S-Stufen zu Ungunsten der EH herauskamen. Es liegt jedoch auf der Hand, dass hier Äpfel mit Birnen verglichen werden, weil die Aufbauhöhe der EH-Antenne deutlich niedriger lag. Allerdings gerät man gegenüber einer Station mit hoch und frei montierter Fullsize-Antenne im Normalfall wohl mindestens um die besagten zwei S-Stufen ins Hintertreffen.

#### Diskussion der Praxiserfahrungen

Wer im Internet den Begriff EH-antenna in eine Suchmaschine eingibt, wird auf sehr unterschiedliche Erfahrungsberichte und Kommentare stoßen. Ein viel zitiertes und offensichtlich richtiges Argument ist, dass das Speisekabel mit Vielfachen einer Halbwelle maßgeblich an der Abstrahlung beteiligt sei. Dazu möchte ich ergänzen, dass es immer sinnvoll ist, bei Monoband-

#### Literatur und Quellen

- [1] Knäbel, H. W., OE7OKJ: Extrem verkürzte Monopolantennen — und sie funken doch! FUNK-AMATEUR 49 (2000) H. 7., S. 780–781
- [2] Wenzel, A., DL7AHW: Spraycan-Antennen. http://people.freenet.de/dl7ahw/Superantenne00.html
- [3] www.eh-antennas.com
- [4] Arno-elettronica: Via Leonardo da Vinci 13, I-56033 Capanolli (Pisa). www.eheuroantenna.com
- [5] WiMo Antennen und Élektronik GmbH: www.wimo.com
- [6] Belrose, J., VE2CV: On the EH-Antenna. antenneX Online Issue No. 72, April, 2003; www.antennex.com
- [7] Re, C., I1RFQ: Testing the EH-Antenna. antenneX Online Issue No. 70, Februar 2003; No. 71, März 2003; www.antennex.com
- [8] McDonald, K. T.: "Crossed Field" and "EH-Antennas", Including Radiation from the feedlines and the earths surface. antenneX Online Issue No. 112, August 2006; www.antennex.com

#### **FUNKAMATEUR - Bauelementeinformation**

#### HF-Breitbandübertrager für 50-Ω-Systeme

### T1-xxx-X65 bis T36-xxx-X65

#### Grenzwerte

Parameter	Kurzzeichen	min.	max.	Einheit
HF-Eingangsleistung	P <sub>E</sub>		0,25	W
beim T2-1-2W-X65				
und T4-1-2W-X65	$P_{\rm E}$		2	W
Eingangsgleichstrom	$I_{\mathrm{E}}$		30	mA

#### **Kennwerte** $(\vartheta_B = -20...+85 \,^{\circ}\text{C})$

Bezeichnung	Übersetzungs- verhältnis <sup>1</sup>	- Bau- form	Betriebsfreque 3 dB	enz [MHz] bei Ein 2 dB	fügedämpfung 1 dB
T1-1-X65	1:1	A	0,15400	0,35200	250
T1-1T-X65	1:1	В	0,08200	0,15115	0,280
T1-1H-X65	1:1	A	8300	10200	25100
T1-6-X65	1:1	A	0,01150	0,02100	0,0550
T1-6T-X65	1:1	В	0,015300	0,021150	0,0350
TT1-6-X65	1:1	C	0,004300	0,02200	0,150
T1.18-3-X65	1:1,18	Α	0,01250	0,02200	0,0350
T1.5-1-X65	1:1,5	Α	0,1300	0,2150	0,580
TT1.5-1-X65	1:1,5	C	0,075500	0,2100	150
T1.5-6-X65	1:1,5	Α	0,02100	0,0550	0,125
T2-1-X65	1:2	D	0,05600	0,1400	0,5200
T2-1-2W-X65	1:2	Α	_	_	5120
T2-1T-X65	1:2	В	0,07200	0,1200	0,550
T2.5-6-X65	1:2,5	Α	0,01100	0,0250	0,0520
T2.5-6T-X65	1:2,5	В	0,01100	0,0250	0,0520
TT2.5-6-X65	1:2,5	C	0,0150	0,02525	0,0510
T3-1-X65	1:3	D	0,5800	2400	_
T3-1T-X65	1:3	В	0,05250	0,1200	0,570
T4-1-X65	1:4	В	0,2350	0,35300	2100
T4-1-2W-X65	1:4	Α	_	_	10250
T4-1H-X65	1:4	В	10350	15300	25200
TT4-1-X65	1:4	C	0,05200	0,250	130
TT4-1A-X65	1:4	C	0,1300	0,2250	0,3180
T4-2-X65	1:4	D	0,2600	0,5500	2250
T4-6-X65	1:4	Α	0,02200	0,05150	0,1100
T4-6T-X65	1:4	В	0,02250	0,05150	0,1100
T5-1T-X65	1:5	В	0,3300	0,6200	5100
T8-1-X65	1:8	D	0,15250	0,25200	2100
T8-1T-X65	1:8	В	0,3140	0,790	160
T9-1-X65	1:9	Α	0,15200	0,3150	240
T9-1H-X65	1:9	Α	290	375	650
T13-1T-X65	1:13	В	0,3120	0,780	520
T14-1-X65	1:14	D	0,2150	0,5100	250
T16-1T-X65	1:16	В	0,0375	0,0630	0,120
T16-1-X65	1:16	Α	0,3120	0,780	520
T16-H-X65	1:16	Α	785	1065	1540
TT16-1-X65	1:16	C	0,145	0,1435	120
TT25-1-X65	1:25	C	0,0230	0,0520	0,110
T36-1-X65	1:36	Α	0,0320	0,0510	0,15
T662-X65	1:1:1	E	0,1200	0,5100	580
T626-X65	1:1:1	E	0,0110	0,025	0,042
T2-613-1-X65	1:1:2	F	0,07200	0,1100	0,550

Bauform A: ohne Anzapfung der Sekundärwicklung

Bauform B: mit Anzapfung der Sekundärwicklung

Bauform C: Anzapfung der Primär- und Sekundärwicklung

Bauform D: gemeinsamer Anschluss der Primär- und der Sekundärwicklung

Bauformen E, F: drei getrennte Wicklungen

1) bezogen auf Impedanz

#### Kurzcharakteristik

- breitbandige Übertragung von HF-Signalen
- direkt in 50-Ω-Systemen nutzbar
- geringe Einfügedämpfung
- maximale Leistung bis 250 mW, teilweise bis 2 W
- im X65-Gehäuse verfügbar; Abmessung ähnlich wie DIP-6-Gehäuse

#### **Beschreibung**

Die HF-Übertrager dieser Serie umfassen Typen mit verschiedenen Übertragungsverhältnissen und Wicklungskonfigurationen. Neben primär und/oder sekundär angezapften Übertragern stehen auch solche zur Verfügung, die einen gemeinsamen Anschluss bzw. drei getrennte Wicklungen aufweisen. Allen Übertragern gemeinsam ist der große Übertragungsbereich und die direkte Nutzung in 50- $\Omega$ -Systemen.



Bild 1: Gehäuseform X65



Bild 2: Pinbelegung (X65)

#### Hersteller

Mini-Circuits, World Headquarters, P. O. Box 350166, Brooklyn, NY 11235, USA, www.minicircuits.com

#### Bezugsquelle

FA-Leserservice	
T1-1T-X65	5,50 €
T4-1-X65	4,50 €

#### Anschlussbelegungen und Schaltbilder

#### Bauform A

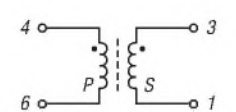
Pin 1: Sekundärwicklung (Ende)

Pin 2, 5: nicht benutzt

Pin 3: Sekundärwicklung (Anfang)

Pin 4: Primärwicklung (Anfang)

Pin 6: Primärwicklung (Ende)



**Bild 3: Schaltbild Bauform A** 

#### Bauform B

Pin 1: Sekundärwicklung (Ende)

Pin 2: Sekundärwicklung (Anzapfung)

Pin 3: Sekundärwicklung (Anfang)

Pin 4: Primärwicklung (Anfang)

Pin 5: nicht benutzt

Pin 6: Primärwicklung (Ende)

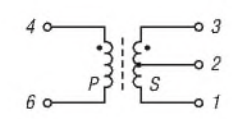


Bild 4: Schaltbild Bauform B

#### Bauform C

Pin 1: Sekundärwicklung (Ende)

Pin 2: Sekundärwicklung (Anzapfung)

Pin 3: Sekundärwicklung (Anfang)

Pin 4: Primärwicklung (Anfang)

Pin 5: Primärwicklung (Anzapfung)

Pin 6: Primärwicklung (Ende)

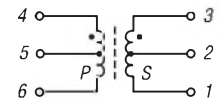


Bild 5: Schaltbild Bauform C

#### Bauform D

Pin 1: Sekundärwicklung (Ende)

Pin 2, 4, 5: nicht benutzt

Pin 3: gemeinsamer Anschluss der Pri-

mär- und Sekundärwicklung

Pin 6: Primärwicklung (Anfang)

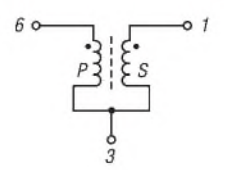


Bild 6: Schaltbild Bauform D

#### Bauform E

Pin 1: Wicklung X (Anfang)

Pin 2: Wicklung Y (Anfang)

Pin 3: Wicklung Z (Anfang)

Pin 4: Wicklung Z (Ende)

Pin 5: Wicklung Y (Ende)

Pin 6: Wicklung X (Ende)

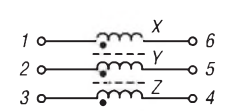


Bild 7: Schaltbild Bauform E

#### Bauform F

Pin 1: Wicklung X (Anfang)

Pin 2: Wicklung X (Ende)

Pin 3: Wicklung Y (Anfang)

Pin 4: Wicklung Y (Ende)

Pin 5: Wicklung Z (Anfang)

Pin 6: Wicklung Z (Ende)

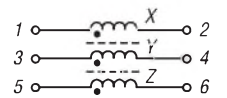


Bild 8: Schaltbild Bauform F

#### Wichtige Diagramme

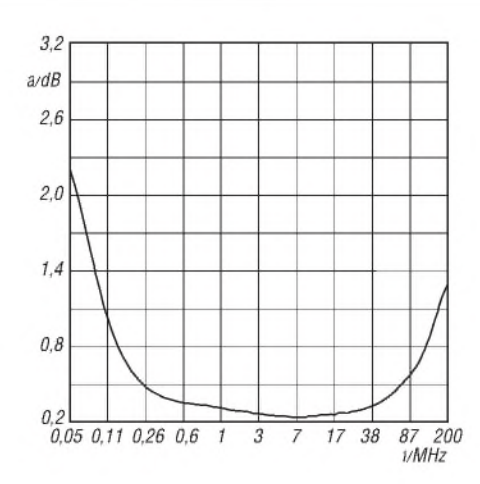


Bild 9: Einfügedämpfung des T1-1T-X65 in Abhängigkeit von der Betriebsfrequenz bei Verwendung in einem 50- $\Omega$ -System

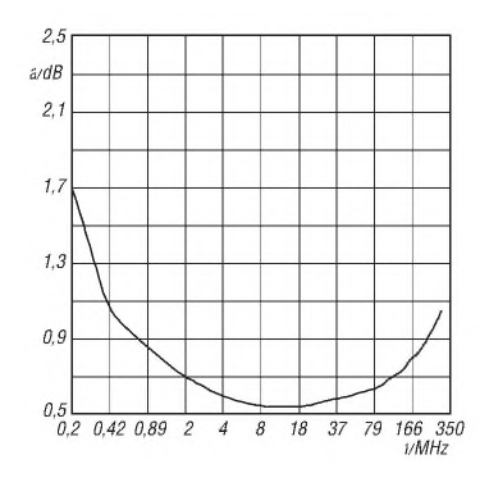


Bild 10: Einfügedämpfung des T4-1-X65 in Abhängigkeit von der Betriebsfrequenz bei Verwendung in einem 50- $\Omega$ -System

# ANZEIGENSEITE

# ANZEIGENSEITE





#### Sender

Free	que	enzber	eiche
100		D	- 4

	5 100 W		2 25 W
Sendeleistung	CW, SSB, RTTY, FM		AM
20-m-Band	14,000 – 14,350 MHz	6-m-Band	50,000 - 52,000 MHz
30-m-Band	10,000 – 10,150 MHz	10-m-Band	28,000 - 29,700 MHz
40-m-Band	7,000 - 7,300 MHz	12-m-Band	24,890 - 24,990 MHz
80-m-Band	3,500 - 4,000 MHz	15-m-Band	21,000 - 21,450 MHz
160-m-Band	1,800 - 2,000 MHz	17-m-Band	18,068 - 18,168 MHz

#### **Sonstiges**

3rd order IMD (@100 W) Trägerunterdrückung:

– 31 dB > 60 dB

Oberwellenunterdrückung: > 60 dB (> 70 dB im 6-m-Band)

Seitenbandunterdrückung: > 60 dB

#### **Empfänger**

Prinzip:	Dreifachsuperhet (Sub	-RX: Doppelsuperhet)	
Haupt-RX:	1. ZF: 69,450 MHz	2. ZF: 450 kHz	3. ZF: 30 kHz
Sub-RX:	1. ZF: 45,455 MHz	2. ZF: 455 kHz	
Empfindlichkeit*	SSB @ 10 dB S/N	FM @12 dB SINAD	AM @10 dB S/N
0,11,8 MHz	2,0 μV	k.A.	3,2 µV
1,830 MHz	0,2 µV	0,5 μV (2830 MHz)	2 μV
5052 MHz	0,125 μV	0,35 μV	1 μV
Selektivität (-6/-60 dB)		Haupt-RX	Sub-RX
CW		>0,5/<0,75 kHz	>1,1/<3,0 kHz
SSB		>2,4/<3,6 kHz	>2,2/<4,5 kHz
AM		>6/<15 kHz	>6/<25 kHz
FM		>15/<25 kHz	>12/<30 kHz
Sonstiges			
Notchdämpfung		k.A.	

Clarifier-Variation

Spiegelfrequenzdämpfung NF-Ausgangsleistung

± 9,990 kHz > 70 dB (> 60 dB im 6-m-Band) > 2,5 W an 4  $\Omega$  (k = 10 %)

(\* HF-Vorverstärker 2 eingeschaltet)

#### Besonderheiten

- 100 W Sendeleistung
- zwei Empfänger
- VRF-Preselektor
- µTuning-Filter des FT-9000 extern nutzbar
- ausgezeichnete Großsignaleigenschaften
- drei Roofing-Filter in 1. ZF (15, 6 und 3 kHz)
- DSP-Filterbandbreiten des Haupt-RX wählbar (CW: 25 Hz-2,4 kHz, SSB: 200 Hz - 4 kHz, R TTY/PKT: 25 Hz - 2,4 kHz)
- ZF-DSP mit vielen Funktionen: Konturfilter, ZF-Shift, Digital-Notch-Filter, digitale Rauschminderung
- · Sloped AGC mit programmierbaren AGC-Zeitkonstanten
- echter Diversity-Empfang möglich (Seitenband-, Bandbreiten- und Polarisations-Diversity)
- parametrischer Sende-NF-Equalizer
- NF-Recorder für Empfangssignale • Sendesprach- und -CW-Speicher
- eingebauter Keyer
- direkte Rotorsteuerung möglich
- DMU-2000 (Bandskop, Weltuhr, NF-Oszilloskop usw.) anschließbar

#### **Allgemeines**

Allmode-Transceiver für die KW-Bänder und das 6-m-Band mit eingebautem automatischen Antennentuner und Netzteil (externes Netzteil bei 200-W-Version)

Hersteller Vertex Standard Co. Ltd.

Japan

www.vxstd.com Markteinführung 9/2006 (Deutschland)

Preise (9/2009) 2990 €

Frequenzbereiche

Haupt- u. Sub-RX

0,03 ... 60 MHz KW-Amateurfunkbänder und

6-m-Band

Abstimmschritte 1, 10, 100 Hz

LSB/USB, AM, FM, Betriebsarten

CW, RTTY, FSK, AFSK

Antennenanschluss 2 x PL, 1 x PL für RX

Betriebsspannung 180 ... 264 V AC oder  $13.8 \text{ V} \pm 10 \% \text{ DC}$ 

Temperaturbereich -10 °C ... +50 °C

Frequenzstabilität 1 ppm (nach 1 min) Maße (B x H x T) 410 x 135 x 350 mm<sup>3</sup>

Gesamtmasse 14,5 kg

Lieferumfang

deutsche und englische Bedienungsanleitung, Netzkabel, Handmikrofon, diverse Stecker für

Peripherie, Ersatzsicherung

#### **Antennentuner**

16,5 bis 150 Ω Anpassbereich

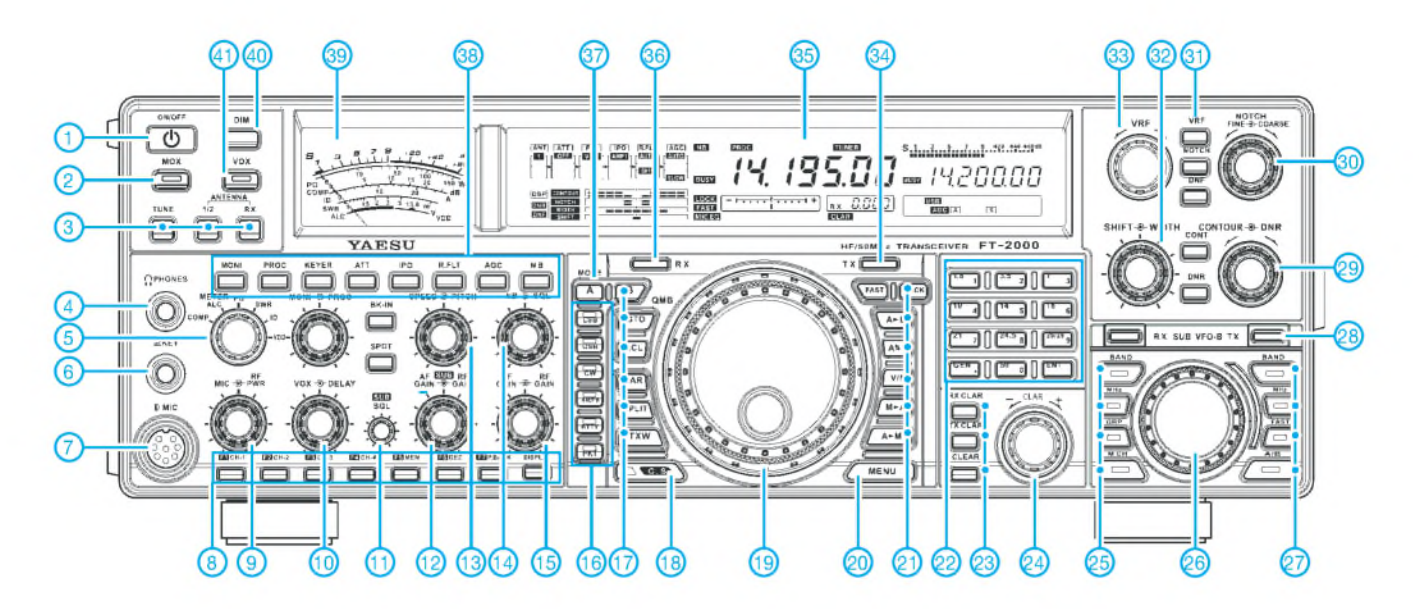
(25 bis 100  $\Omega$  im 6-m-Band)

#### Zubehör, optional (Auswahl)

DMU-2000 Digital Management Unit RF-µTuning Kit A 160-m-Band RF-µTuning Kit B 80- und 40-m-Band RF-µTuning Kit C 30- und 20-m-Band

FH-2 SP-2000 Fernsteuertastatur Externer Lautsprecher YF-122C 500-Hz-CW-Filter (Collins) YF-122CN 300-Hz-CW-Filter (Collins)

MD-200A8X Hi-Fi-Tischmikrofon MD-100A8X Tischmikrofon



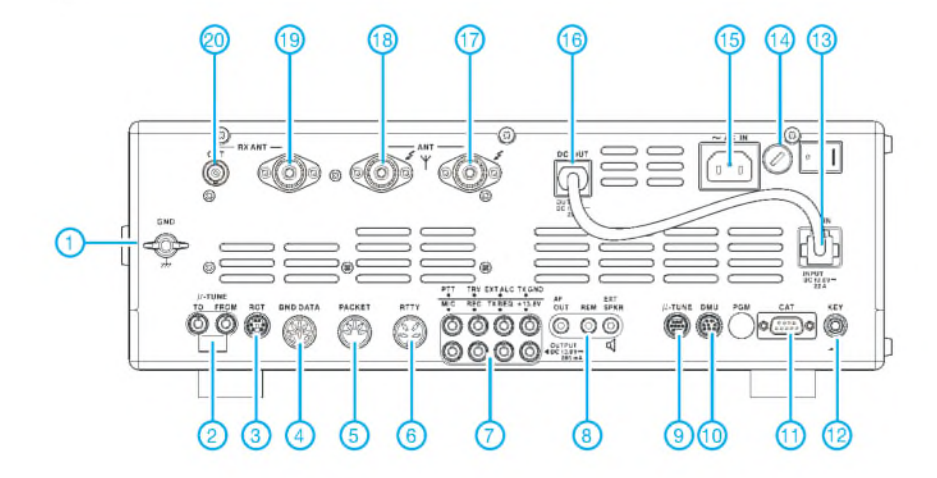
#### Auswahl

- Ein/Aus-Taste
- MOX-Taste
- Tune-Taste und Tasten für die 3 Zuordnung der Antennen
- Kopfhörerbuchse
- 5 Umschaltung der Anzeigefunktion des Instruments
- 6 Buchse für Taste
- Mikrofonbuchse
- Funtionstasten für Sprachspeicher sowie Display der optionalen DMU-
- Regler für Mikrofonverstärkung und
- Sendeleistung
  Regler für VOX-Empfindlichkeit und 10 -VOX-Haltezeit
- Squelch-Regler des Sub-RX
- Regler für Lautstärke und 12
- HF-Verstärkung des Sub-RX
- 13 Regler für Keyergebegeschwindigkeit und CW-Tonhöhe

- Regler für Störaustastpegel und Squelch des Haupt-RX
- Regler für Lautstärke und HF-Verstärkung des Haupt-RX
- Wahltasten für die Betriebsart Tasten für die Wahl von VFO B, die Bedienung der QMB-Speicher, Bandbreitenumschaltung und Split
- Taste für Direktzugriff auf ein programmierbares Menü
- 19 -Hauptabstimmknopf
- Menütaste
- Tasten zur Umschaltung zwischen VFO- und Speicherbetrieb
- Zifferntasten zur FrequenzeingabeTasten für RX- und TX-Clarifier
- 23
- Clarifierknopf
- Tasten zur Steuerung diverser Funktionen des Sub-Bandes
- Knopf für VFO B
- Tasten für Sub-Band
- Taste/Indikator für Sub-Band-TX

- 29 Regler für Konturfilter und digitale Rauschminderung
- Regler für Fein- und Grobeinstellung des Notchfilters
- Tasten für VRF-Preselektor, Notchfilter und Digitalnotchfilter
- Regler für ZF-Bandbreite und -Shift Regler für VRF-Preselektor
- 33 -
- Sendeanzeige VFO A
- 35 -Display
- Empfangsanzeige VFO A
- Taste zur Wahl von VFO B
- Tasten für Monitorfunktion, Sprachprozessor, Keyer, Eingangsabschwächer, IPO-Funktion, Roofing-Filter, AGC und Störaustaster
- multifunktionales Analoginstrument
- Taste für Dimmer 40 -
- 41 VOX-Taste

#### Rückseite mit Anschlüssen



- Schraubklemme für Erdung µTune-Ein- und -Ausgang
- Rotoranschluss
- 4 Buchse für Banddaten
- TNC-Buches für Packet Radio
- RTTY-Buchse
- 8 Cinch-Buchsen für PTT, NF-Eingang, Transverter, Recoder, externe ALC, TX-Status, Sende/Empfangsumschaltung und 13,8 V DC
- 8 3 Klinkenbuchsen für NF-Ausgang, Fernsteuertastatur FH-2 und externen Lautsprecher
- 9 Steuerung der μTune-Kits10 Buchse für Data Management Unit
- serielle CAT-Schnittstelle 11 -
- 12 Tastenbuchse
- Stromversorgungsbuchse 13,8 V 13 -
- 10-A-Sicherung
- Netzbuchse
- 13,8-V-DC-Ausgangsleitung des eingebauten Netzteils
- 17 Antennenbuchse 1
- 18 - Antennenbuchse 2
- 19 RX-Antennenbuchse (Eingang)
- 20 RX-Antennenbuchse (Ausgang)

### **FUNKAMATEUR - Bauelementeinformation**

#### Silizium-MOSFETs für HF-Leistungsverstärker

### RD00xxx bis RD100xxx

Kennwerte (ϑı	$_{\rm R} = 25$	~C)
---------------	-----------------	-----

	U <sub>DSma</sub>	x U <sub>GSmax</sub>	$P_{Vmax}$	P <sub>Emax</sub>	$I_{Dmax}$	$U_{\mathrm{B}}$	$f_{max}$	PE	$P_A$	k	Gehäuse
	[V]	[V]	[W]	[W]	[A]	[V]	[MHz]	[W]	[W]	[%]	
RD00HHS1	30	±10	3,1	0,01	0,2	12,5	30	0,004	≥0,3	55	SOT-89
RD00HVS1	30	±10	3,1	0,02	0,2	12,5	175	0,005	≥0,5	50	SOT-89
RD01MUS1	30	±10	3,6	0,06	0,6	7,2	520	0,03	≥0,8	50	SOT-89
RD02MUS1	30	±20	21,9	0,1	1,5	7,2	520	0,05	≥2,0	50	SLP
RD06HHF1	50	±20	27,8	0,3	3,0	12,5	30	0,15	≥6,0	55	TO-220S
RD06HVF1	50	±20	27,8	0,6	3,0	12,5	175	0,3	≥6,0	55	TO-220S
RD07MVS1	30	±20	50,0	1,5	3,0	7,2	520	0,7	≥7,0	50	SLP
RD12MVS1	50	±20	50,0	2,0	4,0	7,2	175	1,0	≥11,5	55	SLP
RD15HVF1	30	±20	48,0	$1,5^{-1}$	4,0	12,5	520	3	≥15,0	50	TO-220S
RD16HHF1	50	±20	56,8	0,8	5,0	12,5	30	0,4	≥16,0	55	TO-220S
RD20HMF1	30	±20	71,4	6,0	6,0	12,5	900	3,0	≥20,0	50	Keramik/klein
RD30HUF1	30	±20	75,0	7,5	7,0	12,5	520	3	≥30,0	50	Keramik/klein
RD30HVF1	30	±20	75,0	2,5	7,0	12,5	175	1	≥30,0	55	Keramik/klein
RD45HMF1	30	±20	125,0	25,0	15,0	12,5	900	15	≥45,0	45	Keramik/groß
RD60HUF1	30	±20	150,0	20,0	20,0	12,5	520	10	≥60,0	50	Keramik/groß
RD70HHF1	50	±20	150,0	5,0	20,0	12,5	30	3,5	≥70,0	55	Keramik/groß
RD70HVF1	30	±20	150,0	10,0 2)	20,0	12,5	175	6	≥70,0	55	Keramik/groß
RD100HHF1	50	±20	176,5	12,5	25,0	12,5	30	7	≥100,0	55	Keramik/groß

<sup>1)</sup> über 300 MHz 6,0 W

 $U_{DSmax}$ : maximale Drain-Source-Spannung  $U_{GSmax}$ : maximale Gate-Source-Spannung

 $P_{Vmax}$ : maximale Kanal-Verlustleistung  $P_{Emax}$ : maximale Eingangsleistung  $I_{Dmax}$ : maximaler Drain-Strom

U<sub>B</sub>: Betriebsspannung

f<sub>max</sub>: maximale Betriebsfrequenz

P<sub>E</sub>: Eingangsleistung P<sub>A</sub>: Ausgangsleistung k: Drain-Wirkungsgrad

#### Gehäuseformen und Anschlussbelegungen

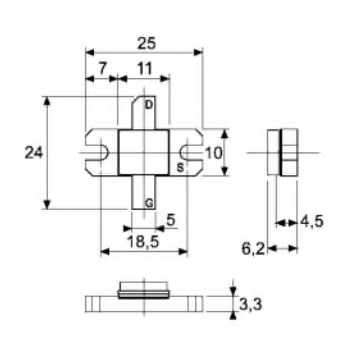


Bild 1: Gehäuse Keramik/groß

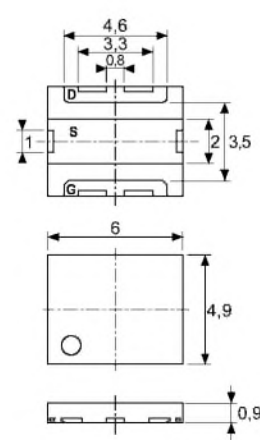


Bild 4: Gehäuse SLP

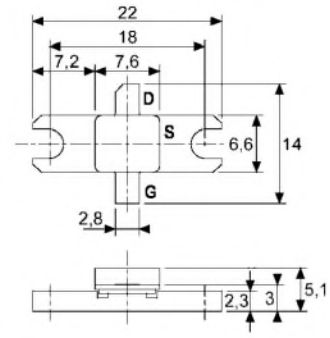


Bild 2: Gehäuse Keramik/klein

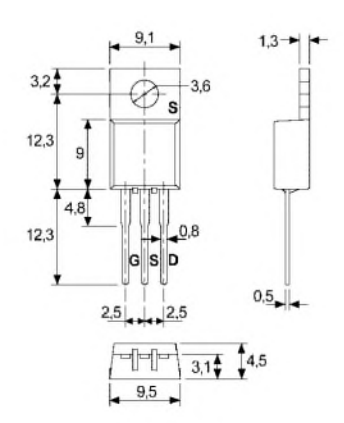


Bild 5: Gehäuse TO-220S

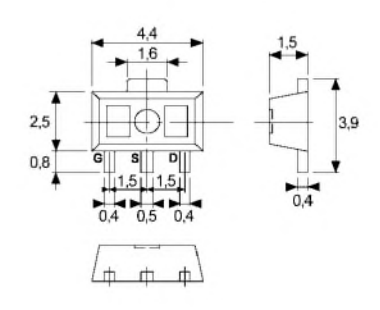


Bild 3: Gehäuse SOT-89

#### Hersteller

Mitsubishi Electric Corporation, 2-2-3, Marunouchi, Chiyoda-Ku, Tokyo 100-8310, Japan, *mitsubishichips.com* 

#### Bezugsquelle

FA-Leserservice	
RD00HHS1	1,40 €
RD06HHF1	3,70 €
RD16HHF1	4,90 €
RD100HHF1	26,50 €

<sup>2)</sup> über 300 MHz 20,0 W

#### Wichtige Diagramme

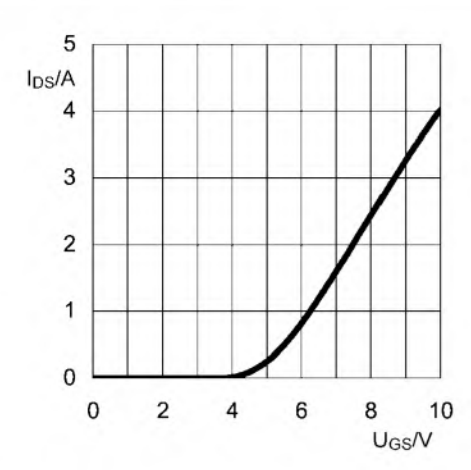


Bild 6: Drain-Source-Strom  $I_{DS}$  des RD06HHF1 in Abhängigkeit von der Gate-Source-Spannung  $U_{GS}$  bei  $\vartheta_B$  = 25 °C und  $U_{DS}$  = 10 V

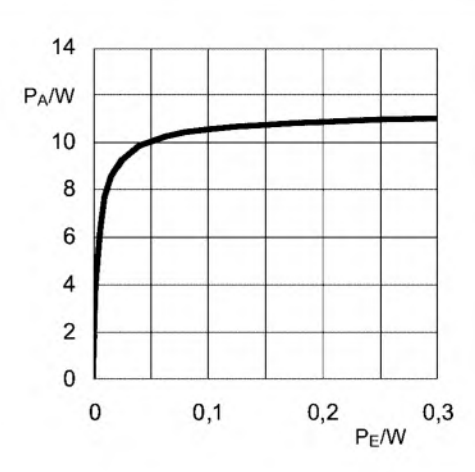


Bild 7: Ausgangsleistung  $P_A$  des RD06HHF1 in Abhängigkeit von der Eingangsleistung  $P_E$  bei  $\vartheta_B$  = 25 °C, f = 30 MHz,  $U_B$  = 12,5 V und  $I_{DS}$  = 0,5 A

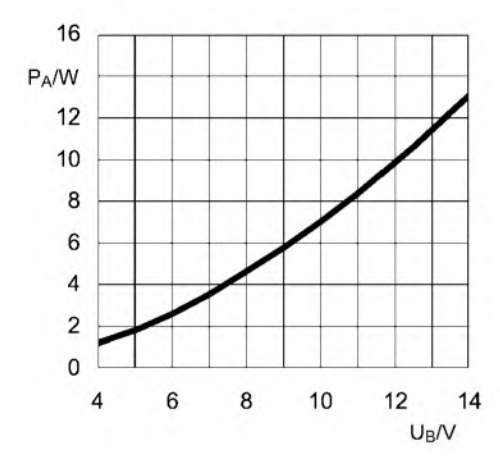


Bild 8: Ausgangsleistung P<sub>A</sub> des RD06HHF1 in Abhängigkeit von der Betriebsspannung U<sub>B</sub> bei  $\vartheta_B$  = 25 °C, f = 30 MHz, P<sub>E</sub> = 0,15 W, I<sub>DS</sub> = 0,5 A und Z<sub>E</sub> = Z<sub>A</sub> = 50  $\Omega$ 

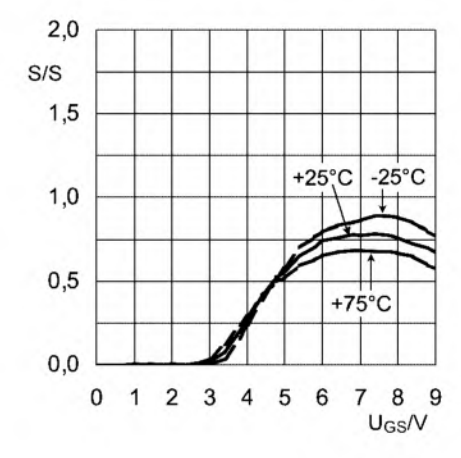


Bild 9: Steilheit S des RD06HHF1 in Abhängigkeit von der Gate-Source-Spannung  $\rm U_{GS}$  bei unterschiedlichen Temperaturen und  $\rm U_{DS}$  = 10 V

#### **Applikationsschaltung**

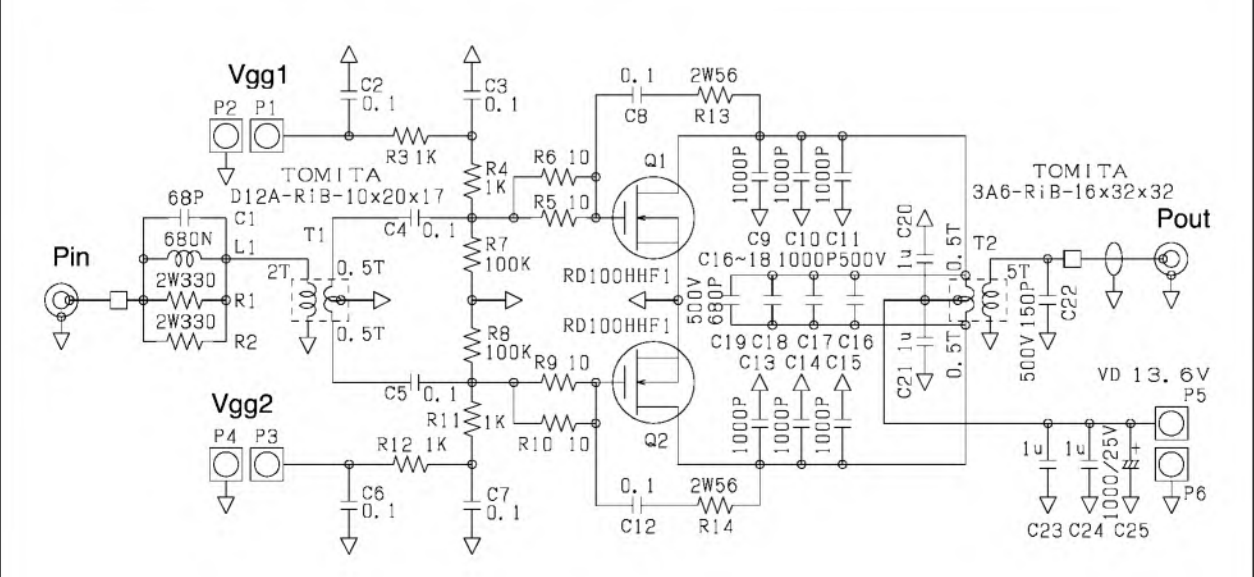


Bild 10: Zwei RD100HHF1 als 100-W-Linearverstärker im Gegentaktbetrieb (Quelle: Mitsubishi-Applikation)

# LF-Exciter – ein Steuersender für das 136-kHz-Band (2)

**UWE WENSAUER - DK1KQ** 

Nachdem im ersten Teil verstärkt die von Murray Greenman, ZL1BPU, entwickelte Hardware vorgestellt wurde, beleuchten wir abschließend die Feinheiten in der Software und zeigen, wie sich der Steuersender für die verschiedenen Betriebsarten im Amateurfunk nutzen lässt.

Bevor es endlich an die Nutzung des LF-Exciters als Steuersender für den Amateurfunk geht, möchte ich Ihnen noch ein paar Aspekte der Firmware des Controllers näher bringen, um so einerseits die Möglichkeiten der Hardware aufzuzeigen und andererseits zu eigenen Experimenten in Bezug auf neue Modi anzuregen.

#### ■ Interrupts

Unterbrechungen, in Englisch Interrupts, sind Wege, um Programme anzuhalten oder um etwas während des Betriebs zu verändern. Danach kehrt man wieder in den normalen Programmablauf zurück. Der Vorteil dieser Technik ist, dass der Controller nicht den größten Teil seiner Rechenzeit auf irgendwelche Eingaben, wie beispielsweise Steuerkommandos, warten muss. Interrupts können im LF-Exciter, die serielle Schnittstelle, der Timer und der Symbolgenerator auslösen. Sie werden allerdings nicht alle gleichzeitig verwendet, sondern kommen je nach gewähltem Betriebsmodus zum Einsatz.

Serielle Interrupts treten immer dann auf,

wenn ein PC zur Steuerung angeschlossen

ist. Die Signalerzeugung wird während

der Eingabesequenz gestoppt. Timer-

Interrupts werden nur im Wobbelmodus

genutzt, da dort die Frequenz in festen

Zeitabständen verändert werden muss.

Weite und Anzahl der Frequenzschritte

sind dabei vom PC aus festlegbar. Die

vom Abwärtszähler im Controller intern

erzeugten Timer-Interrupts sind phasen-

synchron mit dem Rechentakt, sodass der

Übergang von Schritt zu Schritt sehr schnell ist. Da ein Wobbelzyklus aus einer genauen Anzahl von Einzelschritten besteht, ist die erzeugte Frequenz so zudem sehr exakt.

Punkt-Interrupte werden im Bakenmodus durch den Symbolgenerator ausgelöst, der das Zeitraster für die einzelnen Punkte eines Zeichens erzeugt. Die Interrupts starten einen programmierbaren Timer, der die extern durch den 4060 erzeugte Punkt-Oszillatorfrequenz auf nominell 32 Hz teilt. Jedesmal, wenn ein Punkt-Interrupt ausgelöst wird, gibt der Controller das nächste Element des Bakentextes an den Modulator weiter und schaltet je nach aktivierter Betriebsart den Sender ein bzw. aus oder ändert die Ausgabefrequenz. In Sonderfällen, wenn man z. B. die Bakennachricht zu einer exakten Uhrzeit beginnen lassen will, könnte man die Punkt-Os-

kurzen Ausflug in die verwendete Mathematik machen. Daraus sollen Sie erkennen, warum z.B. ausgerechnet ein 12,8-MHz-Quarz bzw. -TCXO als Referenz benutzt wird und welche Frequenzabweichungen auftreten können.

Der DDS-Algorithmus benötigt neun Taktzyklen für die Ausgabe jedes Abtastwerts, sodass sich die Abtastfrequenz  $f_S =$ 1,42 MHz aus der durch neun geteilten Referenzfrequenz  $f_R = 12.8$  MHz ergibt. Der durch den Controller realisierte Synthesizer benutzt eine 24-Bit-Addition – ein Überlauf erfolgt daher bei Ü =  $2^{24}$  = 16777216. Dies ist der Punkt, wo eine Sinuswelle beendet ist und die nächste beginnt.

#### Kleinster Frequenzschritt

Die niedrigste ausgebbare Frequenz und damit auch die kleinste Schrittweite fmin wird dadurch bestimmt, dass stets nur ganze Zahlen im Controller addierbar sind. Dieser minimale Wert wird als DDS-Auflösung bezeichnet und lässt sich wie wie folgt berechnen:

$$f_{min} = \frac{f_R}{9 \cdot \ddot{\mathbf{U}}} = 84,771\,050\,347\,\bar{2} \text{ mHz}$$

Auf den ersten Blick scheinen die vielen Nachkommastellen unnötig zu sein. Doch diese Ansicht muss schnell revidiert werden, wenn man sich vor Augen hält, dass

137,000.023

F11 TX F12 RX

FREQUENCY. Hz POWER F1/F2

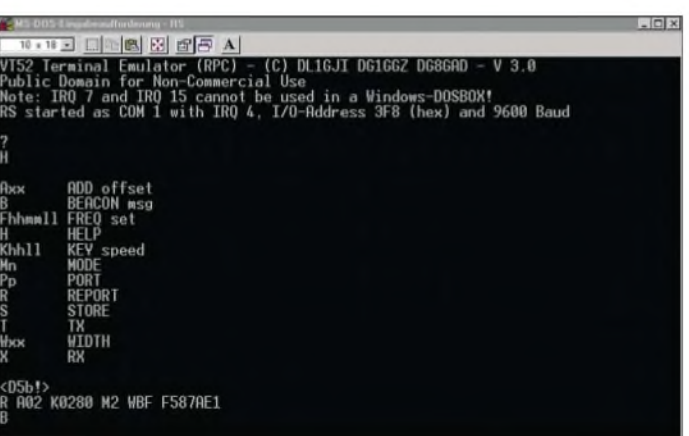


Bild 9: Screenshot des Fensters von exc.exe

> Bild 10: Bedienung des Exciters mit dem Terminal-Programm

Tr 9 x 15 → □ □ □ □ □ □ □ □ □ □ □

MESSAGE F10

zillatorfrequenz ebenfalls durch Teilung aus einem 12,8-MHz-TXCO generieren.

#### ■ Referenztakt 12,8 MHz

Der im Exciter verwendete Controller realisiert eine direkte digitale Synthese (Direct Digital Synthesis, DDS). Mit ihr kann man nicht nur eine Trägerfrequenz erzeugen, sondern auch deren Amplitude und Phase ändern. Um die Funktion der DDS und somit die Steuerbefehle für den Exciter besser zu verstehen, möchte ich einen

sich jeder Rundungsfehler bei der kleinsten Frequenz um ein Vielfaches auf der Ausgabefrequenz auswirkt. Würde beispielsweise der Einfachheit halber mit 84 mHz gerechnet werden, ergäbe sich auf einer Ausgangsfrequenz von 400 kHz bereits ein Fehler von fast 4 kHz.

F3 F+ FINE F4 F- FINE F5 DWN 10k F6 DWN 100 F7 UP 100 F8 UP 10k

Bei einer DDS schätzt man neben der hohen Auflösung, wie sie auch bei einem analogen VFO möglich ist, die ungleich höhere Genauigkeit und Stabilität. Anzumerken ist, dass man wie bei jeder DDS nicht die gewünschte Frequenz exakt bestimmen kann, weil nur Ganzzahlen verarbeitet werden können. Da der kleinste Frequenzschritt rund 84 mHz ist, kann man keine bis auf ein glattes Hertz stimmenden

#### Amateurfunktechnik

Frequenz erzeugen. Jedoch ist der maximale Fehler stets kleiner als 50 mHz. Es wäre natürlich viel schöner, wenn die Schrittweite exakt z. B. 100 mHz betragen würde. Dies hätte aber zur Folge, dass man einen Quarz mit 14,559 494 MHz einsetzen müsste, der nur als speziell angefertigtes Bauteil erhältlich ist.

#### Teilerfaktor

Möchte man eine Ausgangsfrequenz  $f_A$  von 137,7 kHz erzeugen, so ergibt sich der notwendige Teilerfaktor T für den Referenztakt aus

$$T = \frac{f_A}{f_{min}} = 1624375,29$$

Rechnet man wieder mit dem gerundeten Teilerfaktor T1 = 1624375 zurück, ergibt sich eine Ausgabefrequenz von

$$f_A = \text{T1} \cdot f_{min} = 137699,9749 \text{ Hz},$$

und somit ein Fehler von rund 25 mHz gegenüber dem anvisierten Sollwert.

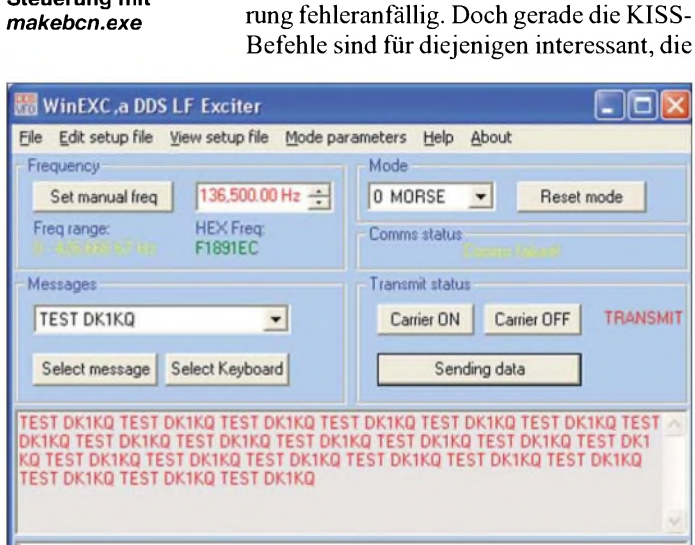
Zahl (0000 bis FFFF) die Schrittweite bis zu 5,5 kHz betragen kann.

#### **■** Funktionstest

Doch zurück zur Hardware. Wurde der mit der Firmware programmierte Mikrocontroller in die Schaltung eingesetzt, kann man sich mit der Funktionsweise des Exciters vertraut machen. Ich rate jedoch jedem dringend davor ab, voreilige Änderungen an den Standardeinstellungen vorzunehmen. Machen Sie sich zuerst einmal mit den vielen Möglichkeiten vertraut, bevor Sie Parameter an den Controller senden, die ihn in keinen sinnvollen Zustand versetzen.

Der Exciter ist mittels eines nicht gekreuzten, 9-poligen Kabels an der Sub-D9-Buchse mit der RS232-Schnittstelle (COM 1) des PCs zu verbinden, wobei alle Adern des Kabel durchgeführt sein müssen. Nach dem Zuführen der Betriebsspannung und dem Einschalten des Exciters ist das Terminalprogramm rs. exe zu starten.

Bild 11: Steuerung mit makebcn.exe



Da der PIC keine Dezimalzahlen verarbeiten kann, muss der ermittelte Teilerfaktor vor der Übertragung an ihn noch in einen Hexadezimalwert umgerechnet werden: 18C937. Wer diese Berechnungen nachvollziehen will, kann dies z. B. mit dem im Zubehör von Windows enthaltenen wissenschaftlichen Taschenrechner bewerkstelligen. Doch keine Angst – im Betrieb übernimmt diese Rechenarbeit die Firmware

Andere Exciter-Befehle, die irgendwie mit der Frequenzausgabe oder -umtastung zu tun haben, benutzen eine ähnliche Technik. Mit dem A-Befehl beispielsweise und einem nachfolgenden, hexadezimal dargestellten Byte kann man die Frequenz durch Addieren dieses Bytes in 255 Schritten erhöhen.

Da Werte zwischen 00 und FF möglich sind, ergeben sich mit A01 ein Frequenzsprung von 84 mHz und mit AFF einer von 21,6 Hz. Bei der Nutzung als Wobbelgenerator geschieht dies auf ähnliche Art, wobei hier durch Verwendung einer 16-Bit-

Bild 12: Eine ansprechendere Bedienoberfläche bietet winexc.exe Screenshots:

DK1KQ

Wer ein TNC zu Hause hat, findet diese Datei auf der zugehörigen Installations-Diskette bzw. -CD-ROM. Ansonsten kann man sie sich auch von [10] herunterladen. Der Aufruf erfolgt durch rs. exe -c1 -b9600 wobei die beiden Parameter mit jeweils einem vorangestellten Minus erforderlich sind. Der erste gibt die verwendete Schnittstelle an – hier c1 für COM1 – und der zweite bestimmt die Übertragungsgeschwindigkeit.

Letztere wird durch b9600 auf 9600 Baud festgelegt. Funktioniert die Übertragung fehlerfrei, antwortet das Programm mit einem Fragezeichen. Sollte das Fragezeichen nicht im Fenster des Steuerprogramms ausgegeben werden, ist zuerst das Verbindungskabel zu kontrollieren. Gibt man nun

gut mit Hexadezimalzahlen umgehen können und eigene Symbole erzeugen möchten. Auch eine Steuerung des Exciters ist, wenn auch umständlich, möglich. Die Beschreibung des Befehlsatzes würde diesen Beitrag sprengen. Ich verweise deshalb auf die Ergänzungen auf der FA-Webseite [6] und auf meine Webseite [7], in denen der gesamte Befehlssatz erläutert zur Verfügung steht.

ein H für Hilfe ein, antwortet der Exciter

mit dem in Bild 10 zu sehenden Hilfetext

und der Versionsnummer der Firmware,

In Verbindung mit einem TNC hat jeder

bestimmt schon einmal von den einfachen

KISS-Befehlen gehört. Der Befehlssatz

lehnt sich stark daran an. Zwar erfolgt die

Kommunikation zwischen PC und Exciter

mit diesen Befehlen, doch man muss sich

beim Einstieg in dieses Thema nicht näher mit ihnen beschäftigen. Zum Funktions-

verständnis sollte man sie sich aber ein-

Jeder Befehl, der im Terminal-Programm

einzugeben ist, besteht aus einem leicht zu

merkenden Buchstaben, z.B. F für Fre-

quenz oder B für einen Bakentext. Die

eventuell folgenden Ziffern sind allerdings

hexadezimal anzugeben. Zwar lassen sich

Texte und Rufzeichen auch direkt mit den

KISS-Befehlen programmieren, doch ist dieses Verfahren eher umständlich und

durch die notwendige manuelle Umcodie-

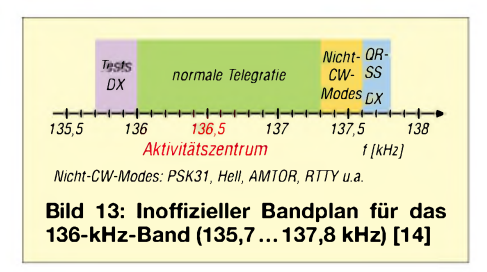
hier  $\langle DB5B! \rangle$ .

**■ KISS-Befehle** 

mal genauer ansehen.

#### **■** Einfache Steuerung mit exc.exe

Wer nicht mit dem Terminal-Programm rs. exe und den KISS-Befehlen den LF-Exciter steuern will, der kann das Programm exc. exe [7] benutzten. Es ist im Prinzip auch ein einfaches Terminal-Programm auf der Basis von MS-DOS zur Übertragung aller



Parameter über die RS232-Schnittstelle an den Exciter, erleichtert jedoch das Hantieren mit den Hexadezimalzahlen, da es vor der Übertragung die eingegebenen Dezimalzahlen in diese umwandelt.

Als Vorbereitung zu seiner Nutzung sind mit einem beliebigen Texteditor die ersten 19 Zeilen der zugehörigen Setup-Datei exc. set zu editieren. Die Tabelle gibt Aufschluss darüber, wo Modifikationen vorgenommen werden sollten. Wichtig ist, dabei keine Zeilen zu entfernen oder einzufügen. Anschließend ist das Programm exc. exe zu starten. Es sollte sich bei korrekt angeschlossenem Verbindungskabel und angeschaltetem Exciter ein Fenster wie in Bild 9 öffnen. Das Programm exc. ece ist weitgehend selbsterklärend.

#### Komfortable Steuerung mit makebcn.exe oder winexc.exe

Wesentlich einfacher ist die Bedienung des Exciters mit dem Programm makeben.exe [8]. Es steuert den Exciter wie unter rs.exe, bis auf den Unterschied, dass die Werte im Klartext eingegeben, in Hexadezimalzahlen umgerechnet und dann an den Exciter gesendet werden. Die Datei exc.set muss sich im selben Verzeichnis wie das Programm makeben.exe befinden, da es die dort enthaltenen Parameter für seinen Betrieb benötigt.

Die wesentlichen Funktionen sind das Ein-/Ausschalten des Senders, der Eigentest, das Erstellen von Bakentexten sowie das Ändern von Parametern. Alles erfolgt in Echtzeit, sodass Modifikationen auch während des Betriebs möglich sind. Trotzdem ist es einfach gehalten und die Bedienung sollte keiner weiteren Erläuterung bedürfen. Den Begriff Bakentext sollte man dabei so interpretieren, dass hiermit auch immer wiederkehrende Texte programmiert werden können.

Alternativ zum Programm makeben exe gibt es noch die Windowsversion winexe. exe, die mehr oder weniger identisch ist, jedoch von mir nicht weiter getestet wurde. Sie ist ebenfalls auf die Datei exc set angewiesen, die sich im gleichen Programm-Verzeichnis befinden muss. Das MS-DOS-Programm makeben exe hat den Vorteil, dass gleichzeitig Argo [3] oder Spectrum Lab [11] für den Empfang benutzt werden können. Für Echtzeit-QSOs im Jason-Mode ist Jason [4] die beste Wahl, da diese

Software auch vom Exciter-Protokoll unterstützt wird. So kann man mit dem über das serielle Kabel angeschlossenen Exciter senden und gleichzeitig den separaten Empfänger an die Soundkarte des PCs anschließen.

In beiden Programmen lassen sich selbst erstellte Makros aufrufen. Solche, die nur für die Morse-Modi gedacht sind, kann man direkt mit ihnen schreiben und abspeichern. Andere Modi, wie z.B. die Hell-Modi, erfordern aufgrund der dabei angewandten Grafik-Fonts [6] etwas mehr Aufwand. Sie lassen sich aber Byte für Byte als Textfiles erstellen und dann mithilfe eines der genannten Terminal-Programme direkt im EEPROM des Controllers ablegen – doch dabei bitte nur maximal 100 Byte/s nutzen, da der Schreibvorgang des EEPROMs nicht mehr hergibt.

#### **■** Hinweise und Bausätze

Ein wichtiger Hinweis sei noch angebracht: Nach dem Einschalten der Spannung am Exciter befindet er sich automatisch im Baken-Modus. Ein vorher einprogrammierter sodass man bereits einen betriebsbereiten Controller für den Baken-Betrieb zur Verfügung hat.

Die erfolgreiche Programmierung und Funktion des Exciters kann man auch ohne Langwellenempfänger and Antenne kontrollieren. Dafür ist lediglich seine Ausgangsfrequenz statt einer im 136-kHz-Band auf z. B.1000 Hz einzustellen und der Exciterausgang mit dem Eingang einer Soundkarte zu verbinden. Wichtig ist, dabei den maximalen Eingangspegel der Karte zu berücksichtigen und gegebenenfalls ein Dämpfungsglied zwischen Senderausgang und Soundkarteneingang zu schalten. Startet man anschließend auf dem PC entweder Argo oder Spectrum Lab, sollten sich, je nach eingestelltem Modus und ausgegebenen Texten Ansichten wie in Bild 14 ergeben.

Wie man sieht, ist für die Steuerung des Exciters außerhalb des Baken-Modus stets ein PC erforderlich. Möglich wäre aber auch eine extern aufzubauende Erweiterung, mit der man die Bedienung so vereinfacht, dass sich die Frequenz über einen

Tabelle: Wichtige Eintragungen in der Setup-Datei exe.set						
Zeile	Bedeutung	Beispiel				
1	COM-Port	2				
2	Übertragungsgeschwindigkeit [Bd]	9600				
3	DDS-Quarzfrequenz [Hz]	12800000				
4	Standard-Sendefrequenz [Hz]	136500				
5	Leistungsstufe, Werte von 0 bis 15 möglich	12				
615	Modus 1 bis 10; Zeilenaufbau: Modus-Name, Modulatortyp, Frequenz-	"QRSS60",0,0,60				
	offset, Anzahl der Sekunden je Symbol bzw. Datenbit oder -punkt					
1619	Textnachricht 1 bis 4	"CQ de DK1KQ K"				

Text wird demzufolge in den ebenfalls abgespeicherten Betriebsarten ständig wiederholt – auch wenn der Exciter keine Verbindung zum PC besitzt. Jedoch sollte man eine Bake nur kurzzeitig für Testzwecke benutzen und den Exciter möglichst bald wieder an den Steuerrechner anschalten sowie in einen anderen Modus wechseln. Um die Programmierung des Controller zu vereinfachen, wird ein Bauteilesatz mit einem vorprogrammierten Mikrocontroller einschließlich Leiterplatte von [12] angeboten. Im EEPROM des Controllers ist dann schon das Rufzeichen gespeichert,



Bild 14: Argo-Screenshots verschiedener Betriebsarten (v. o. n. u.): "Bake" in normaler Telegrafie, in FSK-Telegrafie, in DFSK-Telegrafie sowie "Test" im Bildmodus MT-Hell

Drehgeber einstellen lässt und die Ausgabefrequenz dezimal auf einem LC-Display dargestellt wird. Diese Idee wurde bisher jedoch noch nicht umgesetzt und soll anderen findigen Köpfen überlassen werden. Der Steuersender dafür ist jedenfalls nach dem Aufbau des LF-Exciters vorhanden. Die Realisierung einfacher Empfänger und Antennen, um auf der Langwelle aktiv werden zu können, beschrieb ich schon in [13]. Auch die Lektüre von [15] ist im Hinblick auf diese Thematik zu empfehlen.

dk1kq@darc.de

#### Literatur und Bezugsquellen

- [10] Symek GmbH: RS für TNC3/TNC31. www.symek.com/down/rs.zip
- [11] Büscher, W., DL4YHF: Spectrum Lab. http://people.freenet.de/dl4yhf/spectra1.html
- [12] Dieter Schoch, DF1TY, Mozartstr. 43, 74653 Künzelsau, Tel. (0175) 176 22 57, Fax (079 40) 546 09 40, www.df1ty.de, E-Mail: info@df1ty.de
- [13] Wensauer, U., DK1KQ: Einstieg in die Langwelle. FUNKAMATEUR 54 (2005) H. 7, S. 712– 713; H. 8, S. 820–821
- [14] Kinzel, H., DK8KW: Ein Band für Geduldige SlowCW und der Sonnenaufgang auf Langwelle. AATiS-Praxisheft 10, S. 62–68; Download: www.gru.de/dk8kw
- [15] Klüss, A.; Wensauer, U.: QRV auf Langwelle. vth-Verlag, Baden-Baden 2006

# Mobilantenne wird zum KW-Dipol

JOSEF TREUER - DL40BP; HANS-JOCHEN MANECK - DL90BL

KW-Betrieb wegen Antennenproblemen nicht möglich? Dieser Beitrag zeigt dem mietenden Funkamateur eine mögliche Lösung des Problems.

Es ist bemerkenswert, wie im Zeitalter – contra Amateurfunkantennen im Mietbereich – immer wieder Nischenlösungen gefunden werden, um doch noch auf der kurzen Welle funken zu können. Josef Treuer, DL4OBP, hat eine interessante Variante eines selbstgebauten verkürzten KW-Einband-Dipols für den temporären Einsatz konstruiert, die hier vorgestellt wird.

#### ■ Aufbau

Als Dipolhälften fanden preiswerte Mobilstrahler, hier z. B. *Pro Am*, mit einer Strahlerlänge von 2,25 m, Verwendung. Ebenso geeignet sind die fast gleich langen Monoband-Mobilantennen des Typs *PHF* [1]. Handelsüblich sind Ausführungen für alle Amateurbänder von 80 bis 10 m, im Falle der PHF von 160 bis 6 m.



Bild 1: Vormontage des Mittelstückes mit DV-Adapter auf 3/8"-UNF-Gewinde, dem 1:1-Balun und den seitlichen Aufnahmehaltern

Der Clou der hier vorgestellten Antenne ist das einfache Mittelstück. Man kann die Dipolhälften nach dem Scherenprinzip zusammenklappen und bequem durch das Dachfenster schieben. Bild 2 zeigt die mittels eines Aluminium-Schiebemastes durch das offene Dachfenster eines Mietshauses entfaltete Antenne. Die Entfaltung und Fixierung der Dipolhälften ist problemlos.

Auf dem Boden ruht der Mastfuß in einer festgeschraubten Aufnahme aus Holz. Vier vormontierte Streben mit Halbschellen für den Mast sorgen für einen sicheren Stand des Schiebemastes.

Für das Mittelteil (etwa 300 mm  $\times$  155 mm  $\times$  20 mm) und die beiden seitlichen Aufnahmeteile (120 mm  $\times$  35 mm  $\times$  20 mm) werden einige Stücke Polypropylen

o. Ä. benötigt. Diese kann man sich z. B. aus dem Verschnittbehälter eines kunststoffverarbeitenden Betriebes besorgen. Beide Strahler sind fußpunktseitig in DV-Adapter mit 3/8"-UNF-Gewinde einzuschrauben, die auf der Grundplatte im Abstand von etwa 5 cm montiert werden. Die Bilder 1 und 3 zeigen Einzelheiten zur Vor- und Fertigmontage der beiden Adapter, der seitlichen Aufnahmen, des 1:1-Baluns und der Rohrschellen für den Tragemast. Den handelsübliche Balun kann man freilich durch einen selbst gewickelten Symmetrierübertrager oder einen Koaxialkabel-Balun gemäß [2] oder [3] bzw. Kurzbeitrag S. 1307 ersetzen.

#### ■ Abgleich

Wir haben im 40-m-Band bei vertretbarem Stehwellenverhältnis (etwa bis  $s \le 2,5$ ) eine Bandbreite von 40 kHz gemessen. Für die 80-m-Ausführung sind etwa 30 kHz Bandbreite zu erwarten.

Da die Antenne hinsichtlich der Betriebsfrequenz umgebungsempfindlich ist, hatte sich Josef, DL4OBP, zunächst unter Freifeldbedingungen mittels eines MFJ-Antennenanalysators mit den Eigenschaften der Antenne vertraut gemacht. Dies erfolgte auf einem Sportplatzgelände, abseits von metallischen Teilen wie Torgehäuse, Geländer, Dachrinnen usw.

Ausgehend von den erzielten Erkenntnissen ließ sich daraufhin mit dem Höhenmaß des Schiebemastes über der Dachhaut das gewünschte Bandsegment einstellen. Josef wählte den Telegrafiebereich. Zur Kompensation der Restwelligkeit und besseren Oberwellenunterdrückung kam noch ein Filter zwischen Transceiver und Speisekabel. Der Schirm des Speisekabels ist im Erdgeschoss mit dem Potenzialausgleich verbunden.

#### **■** Erste Erfahrungen

Mit der symmetrischen Einspeisung der Antenne und optimaler Anpassung wurden im Haus auch bei 100-W-Sendebetrieb kein BCI/Ca-TVI festgestellt. Josef wohnt im Erdgeschoss und nutzt als Speiseleitung ein vorsorglich durch einen vertikalen Lüftungsschacht geführtes RG213U-Koaxialkabel. Dieses liegt für den zeitlich begrenzten Funkbetrieb auf dem Dachboden bereit. Die (teureren) Kabelsorten Aircell 7 und neuerdings Aircell 5 weisen gleiche elektrische Eigenschaften bei nur 7,3 bzw. 5,0 mm Außendurchmesser auf.



Bild 2: Dipol mit 40-m-Mobilantenne im Einsatz

Es zeigte sich, dass mit dem verkürzten Dipol auf dem 40-m-Band ein recht passabler KW-Funkbetrieb möglich ist. Erste CW-Rapporte diverser europäischer Stationen überraschten mit Signalfeldstärken von S8 bis S9. Da der Antennentest in den Zeitraum der Fußballweltmeisterschaft fiel, wurde DL4OBP noch mit einem kleinen Pile-Up belohnt.

Bei Ausführungen für 80 m dürfte der Wirkungsgrad schon etwas mehr abfallen, erst recht auf 160 m. Gleichwohl lohnt sich für Einsteiger, die nur über wenig Platz zum Installieren von Antennen verfügen, Experimente in dieser Richtung.



Bild 3: Fertig montiertes Mittelstück; es ist durch zwei Rohrschellen mit Gummieinlagen am Tragemast befestigt. Fotos: DL4OBP

Abschließend sei erwähnt, dass bei [4] fertige KW-Minidipole unter der Bezeichnung RI für alle Amateurbänder von 160 bis 6 m erhältlich sind. Deren gestreckte Länge beträgt allerdings lediglich 3,4 m, was den Wirkungsgrad weiter einschränkt; Transportmaß ist 1,2 m.

#### ■ Drehbare Montage?

Existiert, vielleicht von einer schon vorhandenen 2-m-/70-cm-Antennenanlage her, ein Antennenrotor, so könnte es von Vorteil sein, den Dipol an dessen Drehrohr an-

zubringen. Zu evtl. noch weiteren, an diesem Mast befindlichen Antennen ist ein möglichst großer Abstand, keinesfalls unter 1 m, einzuhalten.

Allerdings macht das Ganze erst Sinn, wenn sich der Dipol in einer Höhe von wenigstens  $\lambda/2$ , besser  $1\lambda$ , über dem Erdboden befindet. Schauen wir uns dazu die blaue Kurve in Bild 4 an: Das ist das horizontale Strahlungsdiagramm eines (horizontal errichteten) Dipols im Freiraum oder in mehreren Wellenlängen Abstand über dem Erdboden. Hier würde ein Drehen Erfolg versprechen, denn es ließen sich dann auch jene Richtungen erreichen, wo bei fester Montage die beiden Nullstellen zum Tragen kämen. Auch könnte man durch gezieltes Ausrichten der Nullstellen Störungen ausblenden.

Die rote Kurve dagegen wurde bei einem Abstand von  $\lambda/4$  über realem Grund simuliert, das entspricht bei 40 m also 10 m Höhe, für 80 m bereits 20 m Höhe! Hier ist nur eine minimale Abweichung von der idealen Kreisform zu erkennen – keinerlei Einbuchtung, die ein Drehen sinnvoll erscheinen ließe. Mit wachsendem Abstand vom Erdboden nähert sich die Kurvenform immer mehr der Form der blauen an, bei  $\lambda/2$  beträgt die Einbuchtung in der Simulation bereits etwa 8,5 dB, bei 1  $\lambda$  17,5 dB.

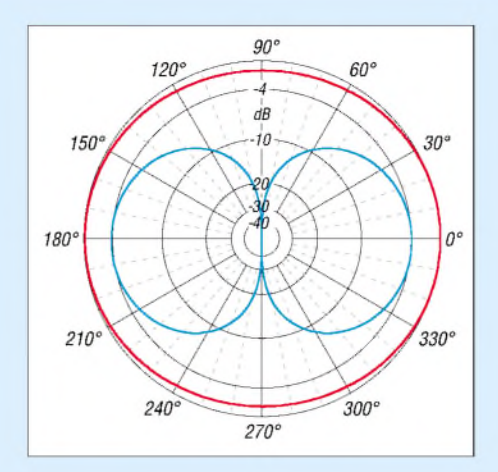


Bild 4: Horizontales Strahlungsdiagramm des verkürzten Dipols im Freiraum (rot) sowie in  $\lambda/4$  Höhe über realem Grund (blau) bei 68° Erhebungswinkel (Maximum); äußerer Ring entspricht 5,6 dBi Simulation: DL2RD

Das bedeutet also, dass das Drehen eines Dipols für das 80-m-Band selbst in 20 m Höhe ebensowenig Sinn macht wie bei einem 40-m-Dipol in 10 m Höhe. Demgegenüber verspricht die drehbare Montage von solchen für das 10- oder 15-m-Band bereits in 10 m Höhe über dem Erdboden (1 bzw.  $0.7~\lambda$ ) durchaus Erfolg.

Die Simulationsuntersuchungen zur Drehbarkeit wurden durch die Red. FA mit *EZNEC+ 4.0* durchgeführt.

#### ■ Anmerkungen zum Blitzschutz

Da die Antenne über dem Dach in das direkte Blitzfeld (Blitzschutzzone 0) ragt, ist sie bei aufziehendem Gewitter abzurüsten! Hat es mit einer Antennengenehmigung letztlich doch noch geklappt und beabsichtigt man, die Antenne für den Dauerbetrieb zu installieren, ist die normgerechte Installation des äußeren und inneren Blitzschutzes nach [5] unerlässlich. Die Errichtung der Antennen-Blitzschutzanlage sollte dann durch einen Fachmann mit Rat und Tat begleitet werden.

Josef ist bei Anfragen zur Antenne unter der unten genannten E-Mail-Adresse oder auf dem 70-cm-Relais *DB0LL* erreichbar.

18316@web.de jmaneck@tuev-nord.de

#### Literatur

- [1] Communication Systems Rosenberg, DK5OC: Tel.: (0 60 81) 5 93 93; www.palstar.de
- [2] Rackow, I., DF1OG: Antennenanpassung in der Praxis (3). FUNKAMATEUR 54 (2005) H. 5, S. 488–489
- [3] Hegewald, W., DL2RD: Drehkreuzantenne im Einsatz. FUNKAMATEUR 55 (2006) H. 2, S. 181 f.
- [4] WiMo Antennen und Elektronik GmbH: Tel. (07276) 96680; www.wimo.com
- 5] Norm VDE 0855 Teil 300, Ausgabe 04.2000: Sende-/Empfangsanlagen für Sender mit Ausgangsleistungen bis 1 kW, Sicherheitsanforderungen

# Überspannungsschutz bei KW-Antennen

Außenantennen bei Nichtbenutzung vom Gerät zu trennen ist ein probates Mittel gegen Überspannungen auf der Antennenspeiseleitung. Um auch gegen Blitzeinschläge im Nahbereich gerüstet zu sein, empfiehlt es sich, den Außenmantel des Koaxialkabels gut zu erden. Der zugehörige Erdleiter sollte von allen metallenen Installationen, auch von Elektrokabeln in der Mauer, mindestens 50 cm Abstand aufweisen, um ein Überspringen zu verhindern.

Es ist sinnvoll, jeden Überspannungs-Ableiter für Antennen auf einer möglichst großen und gut geerdeten Metallplatte zu montieren. Die ankommenden Koaxialkabel werden vor der Buchse von der Außenisolation befreit und auf der einen Seite der Platte geerdet. Geeignete Erdungskits sind zum Beispiel bei UKW-Berichte [1] erhältlich. Ich verwende kurze Massebänder, wie man sie für die Autobatterie-Anschlüsse bekommt, und kontaktiere diese mit kleinen Schlauchbindern am Koaxialkabel. Auf der anderen Seite der Platte befinden sich die Überspannungs-Ableiter. Dabei sind Überspannungs-Ableiter mit gasgefüllten Patronen für moderne Elektronikgeräte doch eher nur ein Grobschutz, da die Nanosekunden bis zum Zünden der Gaspatrone ausreichen können, um sensible Eingangstransistoren in den Halbleiterhimmel zu befördern.

#### ■ Mehrstufiger Schutz

Die Kommerziellen machen es heutzutage so wie in der Elektroinstallationstechnik und verwenden zwei- oder dreistufig in einem Gehäuse zusammengefasste Ableiter. Bei mir hat ein dreistufiger Überspannungs-Ableiter, sorgfältig ausgeführt, einen direkten Blitzeinschlag in eine Vertikalantenne abgewehrt. Das RG213-Kabel zwischen Antenne und Ableiter war zwischen Innen- und Außenleiter mehrfach durchlöchert.

Solche mehrstufigen Ableiter für verschiedene Leistungen und Frequenzbereiche gibt es auch für "Hühnerleitern" und Eindrahtantennen sowie für Beverage-Empfangsantennen. Gefertigt werden sie beispielsweise von der US-Firma *Industrial Communication Engineers Ltd.* [2]. Dahinter steckt Jay Terleski, WX0B.

Die Typen 308 und 309 arbeiten nach einem patentierten Schutzverfahren mit Konden-



Erdungsschelle für Koaxialkabel, hier die Ausführung EDS E15; für RG213 u. Ä. gibt es bei [1] den Typ EA10. Werkfoto

sator-Blocking und Spulen-Neutralisation. Die Spulen nutzen Doppellochkerne. Ein Gasableiter und ein Widerstand kommen pro Seite hinzu. Eine gute Erdung ist auch hier Voraussetzung für die einwandfreie Funktion, links und rechts sind entsprechende Anschlüsse vorhanden.

Vergleichbare Produkte gibt es u. a. vom deutschen Hersteller Dehn & Söhne [3], Bezug über Elektroinstallationsbetriebe.

W. Hann, OE8WHK

#### Literatur und Bezugsquellen

- [1] UKW-Berichte, Telecommunications: Tel. (09133) 7798-0: www.ukw-berichte.de
- [2] Communication Engineers Ltd. (ICE): P.O. Box 18495 Indianapolis, IN 46218-0495, USA; www.iceradioproducts.com
- [3] Dehn & Söhne GmbH & Co. KG., Postfach 1931, 90007 Nürnberg; www.dehn.de

# ANZEIGENSEITE

### Amateurfunkpraxis

# Arbeitskreis Amateurfunk & Telekommunikation in der Schule e.V.

Bearbeiter: Wolfgang Lipps, DL4OAD Sedanstr. 24, 31177 Harsum E-Mail: wolfgang.lipps@aatis.de Packet-Radio: DL4OAD@DB0KG

### ■ Licht als Schlüsseltechnologie

Zielsetzungen des Themas "Licht als Schlüsseltechnologie" sind der geringere Energieeinsatz bei der Beleuchtung – also die Steigerung des Wirkungsgrades – bessere und schnellere Kommunikationsmöglichkeiten, Forcierung des medizinischen Fortschritts sowie mehr Sicherheit im Straßenverkehr. Insbesondere die rasanten Weiterentwicklungen in der Leuchtdiodentechnologie führen zu kreativen Anwendungen in bisher ungenutzten Bereichen wie etwa der Innenarchitektur, dem Möbeldesign, der Gartengestaltung, aber auch in der Kunst und Reklametechnik kommt Lichtdesign zum Einsatz.

Doch die Bedeutung optischer Technologien ist in der Öffentlichkeit bisher kaum bekannt. Mit der Website www.faszinationlicht.de weckt das Bundesministerium für Bildung und Forschung (BMBF) mit etwa zwanzig Partnern die Begeisterung für das Phänomen Licht.



Spielerisch können hier Schülerinnen und Schüler erleben, welch ungeheure Chancen die intelligente Nutzung von Photonen bietet. Und selbst für Erwachsene sind diese Seiten einen Besuch wert.

Dabei setzt www.faszinationlicht.de ganz auf die Bündelung vorhandener Kräfte. Zu den wichtigsten Ressourcen gehören dabei die Jugendlichen selbst. Sie und ihre Lehrerinnen und Lehrer finden auf der genannten Internetseite jede Menge erprobter kleiner Module, lernen den Einsatz von Licht im Alltag zu verstehen und können eigene Lern- und Erlebnismodule zur Verfügung stellen.

Die nachfolgend aufgeführten Kurzfilme im mp4-Format können von der Website des BMBF heruntergeladen werden. Schade, dass sie nur in einer Bildauflösung von 384 × 288 Pixeln verfügbar sind. Ihre nichtkommerzielle Nutzung und die Vervielfältigung der Inhalte ist ausdrücklich gestattet. Momentan können die folgenden Dateien heruntergeladen werden: Kraft des Lichts (Dateigröße 28,3 MB, Filmlänge 6:12 min); Optische Technologien in der Medizin (33,3 MB, 9:03 min); Optische Technologien in der Beleuchtungstechnik (33,3 MB, 9:38 min); Optische Technologien in der Informations- und Kommunikationstechnik (34,9 MB, 9:12 min).

Die genannten Filme der Reihe "Optische Technologien" sind eine Wissensreihe, entstanden im Rahmen der Kampagne "FaszinationLicht – Licht für die Schulen" des Bundes-



ministeriums für Bildung und Forschung und gut im Unterricht einsetzbar.

Sicherlich viel anspruchsvoller ist die reale Begegnung mit dem Phänomen Licht und dessen experimentelle Erarbeitung. Es lohnt sich deshalb, die vom 3. bis zum 12.11.06 stattfindende Wanderausstellung "FaszinationLicht" in der HWK Koblenz zu besuchen. Nähere Beschreibungen zum Programm finden Sie unter www.faszinationlicht.de.

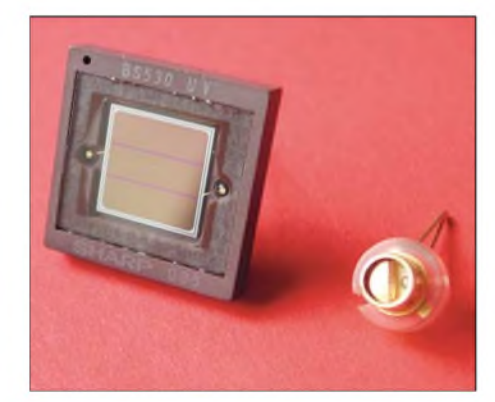
#### Wolfgang Lipps, DL4OAD

#### ■ Laserexperimente

Zur Förderung des Selbstbaus im Amateurfunk konnte der AATiS im Rahmen seines Mini-Flohmarktes bei der UKW-Tagung und der INTERRADIO Spannungswandler sowie einige Laserdioden und hochwertige Fotodetektoren an verantwortungsbewusste Funkamateure abgeben. Weitere Laserdioden sind nicht vorhanden, Anfragen sind deshalb zwecklos! Datenblätter zu den erworbenen Bauteilen können unter folgenden Adressen heruntergeladen werden: www.datasheets.org.uk, www.centronic. co.uk, www.sanyo.com/seminconductor/laser\_diode sowie www.photonics.uk.com.

Als Literatur seien verschiedene Beiträge in den Praxisheften [1] bis [3] empfohlen. Einen weiteren deutschsprachigen, praxisorientierten Artikel findet man bei http://users.aol.com/gykophys/ladivor.htm. Ebenfalls empfehlenswert für den Einsteiger ist die Beschreibung auf der Website www.physik.uni-rostock.de/cluster/students/fp3/HL.html der Universität Rostock sowie www.ichaus.de/upload/pdt/Photonik\_H5\_203\_Grundlagen\_Laserdiodenanst.pdf.

Mit dieser Schaltung werden Spannung und Stromstärke durch eine Laserdiode überwacht und somit die LD geschützt: www.edn.com/contents/images/91902di.pdf.



Fotodetektor und Laserdiode beim Miniflohmarkt am AATiS-Stand. Der Blick in den direkten oder den reflektierten Laserstrahl sollte bei jedem Laser vermieden werden; bei solchen mit höherer Leistung besteht die unmittelbare Gefahr von bleibenden Augenschädigungen.

Wesentlich einfacher geht es so: www.people. freenet.de/a-freak/laserdiodenregler.html oder nach diesem Vorschlag www.eio.com/repairfaq/sam/sgld1sch.gif bzw. der sehr einfachen Treiberschaltung für Laserdioden unter www.eio. com/repairfaq/sam/lddrive.gif. Weitere Quellen sind www.tkk.fi/Misc/Electronics/circuits/laser link.html oder www.repairfaq.ece.drexel.edu/sam/laserdio.htm sowie http://technology.niagarac.on.ca/staft/mcsele/lasers/LasersOther.htm.

Wer Schaltungen mit Laserdioden sucht, wird auf den Seiten www.discovercircuits.com/DJ-Circuits/FET-circuits.htm, www.epanorama.net/links/laser.html und www.colorado.edu/~ecen5606/Labs/Laser%20Diode\_2004.pdf eine Fülle von Hilfestellungen finden.

Auch Foren und FAQ-Seiten sind lesenswert, z.B. www.members.misty.com/don/lasersam.

Funkamateuren seien die folgenden Websites empfohlen: http://homepages.fh-regensburg. de/~httb2001/et/laskom.htm und www.licht sprechen.de/lichtsprechen.pdf sowie die Seite www.k3pgp.org/ mit Linksammlung. Hier wird

### Lagerbereinigung

Firmen entsorgen ihre Restposten über Verwertungsfirmen, die sich diese Arbeit bezahlen lassen (müssen). Gleichzeitig klagen Jugendgruppen und Schulen mit Elektronik-Arbeitsgemeinschaften darüber, dass sie kaum mehr an preisgünstiges oder kostenloses Material herankommen. Gerade an Schulen mit Ganztagsbetrieb besteht mittlerweile großer Bedarf an solchen Zuwendungen, denn dort gibt es zuweilen gleich mehrere parallele Arbeitsgruppen. Da der AATIS als gemeinnütziger Verein eingetragen ist, kann er Spendenquittungen erstellen und gespendetes Material gezielt weiterleiten.

Schulen fragen nach Elektronikbauteilen (aktive und passive, z.B. Kondensatoren, Transistoren, Leuchtdioden, auch SMD-Bauteile); kleine Motoren, Steckernetzteile (VDE-Kennzeichen!) und selbst Abschnitte von Litzen sind willkommen. Bestückte Platinen sind jedoch nicht interessant, weil auch Schulen diese wiederum teuer entsorgen müssen.

Bieten Sie Ihre Elektronikbauteile zunächst dem AATiS an; Ansprechpartner ist Wolfgang Lipps unter der E-Mail-Adresse wolfgang.lipps@aatis.de. Entweder werden diese Komponenten dann von einer Schule in Firmennähe abgeholt oder der AATiS übernimmt diese und gibt sie gezielt weiter.

der bekannte Lasertransceiver von Hans-Hellmuth Cuno, DL2CH, nachgebaut und in einigen Details optimiert (www.oe1ffs.gmxhome. de/laser/data.htm).

Abschließend darf der Hinweis auf die Verantwortung des Anwenders entsprechend der Laserklassen nicht fehlen!

### Wolfgang Lipps, DL4OAD

### Literatur

- [1] E. Kagerer: Messungen und Verbesserungen an Lichtsendern mit Leucht- und Laserdioden, Praxisheft 13 für Amateurfunk und Elektronik in Schule und Freizeit; Hg. Wolfgang Lipps, AATiS e.V.
- [2] E. Kagerer: Messungen und Schaltungen zu Laserund Leuchtdiodentreibern, Praxisheft 14 für Amateurfunk und Elektronik in Schule und Freizeit; Hg. Wolfgang Lipps, AATiS e.V.
- [3] D. Palme: Licht in der Atmosphäre, Praxisheft 14 für Amateurfunk und Elektronik in Schule und Freizeit; Hg. Wolfgang Lipps, AATiS e.V.

### CB- und Jedermannfunk

Bearbeiter: Harald Kuhl, DL1ABJ Postfach 25 43, 37015 Göttingen E-Mail: cbjf@funkamateur.de

### ■ In geheimer Mission?

Meine an dieser Stelle im letzten FUNK-AMATEUR [1] an technisch interessierte CB-und Jedermannfunker gerichtete Anregung, die gute Gelegenheit zu nutzen und sich jetzt um die Erlangung der Lizenzklasse E zu bemühen, ist bei vielen Lesern gut angekommen. In etlichen Gesprächen und E-Mails habe ich weitere Tipps gegeben, wie man sich das Prüfungswissen aneignet und wo man weitere Informationen bekommt. Allen Interessenten wünsche ich viel Erfolg und ich hoffe auf ein baldiges QSO auf Kurzwelle!

Daneben kamen auch kritische Stimmen, die mir Missionierung in Sachen Amateurfunk unterstellten. Interessanterweise waren dies ausgerechnet CB- und Jedermannfunker, die selbst bereits Funkamateur sind und somit aus eitung des analogen B-Autotelefonnetzes frei wurden. Zugelassen sind FM-Handsprechfunkgeräte mit fester Antenne und 500 mW Ausgangsleistung. Die Reichweite liegt ähnlich PMR446 je nach Umgebung bei bis zu 5 km, wobei die Bebauung in diesem Teil des Spektrums geringeren Einfluss nimmt und Freenet somit in puncto Reichweite einen Vorteil hat. Ursprünglich sollte die Allgemeinzulassung Ende 2005 auslaufen. Weil sich keine anderen Interessenten für die drei Frequenzen fanden, hat die Bundesnetzagentur den drei Freenet-Kanälen zehn weitere Jahre gegeben. Bereits als nicht mehr erhältlich abgekündigte Freenet-Funkgeräte haben Hersteller wie Kenwood daraufhin zurück ins Angebot genommen.

Achtung: Freenet-Funk ist eine deutsche Insellösung, man darf die Geräte also nicht im Ausland betreiben. Wer es dennoch versucht, stört eventuell professionelle Funkdienste und verstößt sicher gegen das dortige Fernmeldegesetz. Funkgeräte für Freenet wenden sich primär an professionelle Nutzer als Alternative zum herkömmlichen Betriebsfunk. Sie sind etwas teurer als viele einfache PMR446-Geräte und ausschließlich über den Fachhandel erhältlich, dafür jedoch deutlich robuster und bedienerfreundlicher als das vermeintliche Schnäppchen aus dem Supermarkt.



In Mario Deckers virtuellem CB-Funk-Museum sind rund 750 Geräte mit Bild vertreten.

Screenshot: DL1ABJ

gener Erfahrung wissen, dass Interesse an dem einen Funkbereich die Begeisterung für den anderen nicht ausschließt. Missionierung impliziert, dass man jemanden von etwas "Neuem" überzeugen will, damit er das "Alte" künftig unterlässt. Eine solche Denkweise ist mir fremd. Ich habe als Funkamateur und SWL weder Berührungsängste mit dem CB- und Jedermannfunk, noch gebe ich als Jedermannfunker die spannende Senderjagd als BC-DXer auf. Funkbetrieb vom nächsten Berggipfel mit QRP und Behelfsantenne macht mir ebenso Spaß, wie die Länderjagd mit großer Antenne und hoher Leistung aus der Klubstation. Der Blick über den Tellerrand kann nie schaden, und wir sollten allen Hobbyfreunden die neuen Möglichkeiten gönnen. Trennendes gibt es heute genug, ich betone lieber die Gemeinsamkeiten.

### ■ Neues Freenet-Funkgerät von Stabo

Im Gegensatz zum populären PMR446-Jedermannfunk mit seinen vielen Neuheiten, sind neue Funkgeräte für den so genannten Freenet-Funkbereich im 2-m-Band selten. Zur Erinnerung: Der anmelde- und gebührenfreie Freenet-Funk nutzt drei Frequenzen (149,025, 149,0375 und 149,05 MHz), die nach Abschal-

Stabos [2] neues Freenet-FM-Handsprechfunkgerät Freetalk Eco hat das handliche Format von  $54 \times 108 \times 37 \text{ mm}^3 \text{ (B} \times \text{H} \times \text{T)}$  Masse: etwa 275 g (inklusive Akkumulator) und steckt in einem robusten Kunststoffgehäuse, das professionellem Standard (IP 54) entspricht. Zum Lieferumfang gehören ein 6-V-NiMH-Akkumulator (1100 mAh), ein Tischschnellladegerät, ein Gürtelclip, eine Handschlaufe und eine ausführliche deutschsprachige Bedienungsanleitung. Als optionales Zubehör hat Stabo eine Schutztasche aus Leder sowie eine unauffällige Ohrhörer-Mikrofon-Kombination im Programm. Das einfach bedienbare Gerät hat eine in neun Stufen programmierbare Rauschsperre sowie 16 Speicherplätze, die sich neben einer der drei Frequenzen zusätzlich programmierte CTCSSund DCS-Töne merken. So lassen sich auf den Funkkanälen unterschiedlich definierte Nutzergruppen ansprechen, bei denen sich beim Anruf die Rauschsperre öffnet. Ein Kanalschalter wechselt bequem zwischen den Programmierungen. Der eingebaute Suchlauf überwacht die Frequenzen und findet schnell jede Funkaktivität innerhalb der Empfangsreichweite. Dank einer Energiesparschaltung lässt sich bei Empfang der Stromverbrauch reduzieren und so die



Das neue Stabo Freetalk Eco funkt auf den drei Freenet-FM-Kanälen mit 500 mW.

Foto: Werkbild

Einsatzzeit verlängern. Sollte der Akkumulator einer Auffrischung im Standladegerät bedürfen, macht Freetalk Eco per Warnton rechtzeitig darauf aufmerksam. Eine Sende-Empfangs-LED, eine Sendesperre bei schon belegter Frequenz und eine programmierbare Sendezeitbegrenzung ergänzen die Ausstattung. Stabos neues Freenet-Funkgerät ist im Fachhandel für etwa 130 € erhältlich.

#### ■ CB-Funk-Museen

Wer wie ich Mitte der 70-er Jahre die Freigabe des CB-Funks in Westdeutschland erlebt und so erste Erfahrungen mit dem Kurzwellenfunk gesammelt hat, erinnert sich an die so genannten K-Geräte der Automobilhilfsclubs und an üppig ausgestattete AM-Feststationen mit 12 Kanälen, wie die legendären Handic 12305 oder dnt Meteor 5000. Auch Stabo hat schon damals kräftig beim CB-Funk mitgemischt und mein mächtiges 3-Kanal-AM-Handsprechfunkgerät vom Typ Stratofon P3 empfängt bis heute gelegentlich den Truckerkanal 9. Im Hildesheimer Hauptquartier hat Stabo [2] ein kleines Firmenmuseum eingerichtet und zeigt dort alle jemals gebauten CB-Funk-Modelle; interessierte Besucher sollten sich vorher anmelden. Im umfangreichen Dokumentenrarchiv der Firma schlummern die zugehörigen Serviceunterlagen.

Ein anderes CB-Funkmuseum ist so nahe, wie der nächste Zugang zum Internet: Mario Decker hat in vielen Jahren eine beeindruckende Privatsammlung historischer CB-Funktechnik aus aller Welt geschaffen. Unter [3] sind rund 750 Fotos von Heimstationen, Mobil-, Hand- und Portabelfunkgeräten, Messgeräten und weiterem Zubehör sowie Mikrofonen veröffentlicht, die sich nach Gerätekategorie oder Hersteller recherchieren lassen. Darunter ist alles, was bei CB-Funkern während der AM-Ära bis Anfang der 80-er Jahre beliebt und verbreitet war. Außerdem gehören viele hier unbekannte Geräte zur Sammlung. Technische Daten sind dazu nicht veröffentlicht, die findet man eher bei [4].

Zu [3] gehört auch ein reges Internetforum, über das Sammler CB-Funktechnik anbieten und suchen oder nach alten Bedienungsanleitungen und weiteren Dokumenten fragen.

#### Literatur

- [1] Kuhl, H., DL1ABJ: CB- und Jedermannfunk. FUNKAMATEUR 55 (2006), H. 10, S. 1215
- [2] Stabo Elektronik, Münchewiese 14-16, 31137 Hildesheim; Tel. (05121) 762010; info@stabo.de; www.stabo.de
- [3] CB-Funk-Museum: www.cb-museum.de
- [4] Radiomuseum.org: www.radiomuseum.org

### Kurzwelle in Deutsch

### Liste analoger deutschsprachiger Sendungen auf Lang-, Mittel- und

```
Kurzwelle
UTC Station - Frequenzen (kHz) 0000-0200 Deutsche Welle - 6075, 7120, 9440, 9545, 9655, 11 690
0000-0200 Deutschie Weile - 00/75, /120, 9440, 9545, 9655, I
0000-0105 Radio Ol International - 7325 (So, Mo -0005)
0000-2100 Radio Ukraine International - 5840
0000-2400 Deutschlandradio Kultur - 990, 6005
0000-2400 DLF Köln - 153, 207, 549, 756, 1269, 1422, 6190
0005-0059 Radio Studio X – 1584 (Di)
0009-0012 RAI Rom – 657, 900, 1332, 6060
0030-0045 Radio Ö1 International - 7325 (So, Mo -0035)
0109-0112 RAI Rom - 657, 900, 1332, 6060
0200-0400 Deutsche Welle – 6075
0209-0212 RAI Rom – 657, 900, 1332, 6060
0230-0300 HCJB Quito – 9780 (für Amerika)
0300-0330 HCJB Quito – 9780 (Plattdeutsch, für Amerika)
0309-0312 RAI Rom - 657, 900, 1332, 6060
0400-0600 Deutsche Welle - 6075, 9735, 13780, 17800
0400-0415 RTL Radio - 1440 (Mo-Sa)
0400-0430 TWR Manzini - 3200, 4775
0400-0430 1 WK Manzhii - 3200, 47/5
0400-0500 WYFR Family Radio - 9355
0400-2310 DRS Musigwalle - 531
0409-0412 RAI Rom - 657, 900, 1332, 6060
0415-0430 Missionswerk W. Heukelbach - 1440 (Mo-Fr, via RTL)
0415-0430 Stimme des Trostes – 1440 (Sa; via RTL)
0430-0445 Missionswerk Freundes-Dienst – 1440 (Mo-Fr; via RTL)
0430-0500 TWR Manzini - 3200, 4775 (Sa, So)
0445-0500 ERF Radio Wetzlar - 1467 (via Monte Carlo)
0445-0500 Missionswerk W. Heukelbach - 1440 (Sa; via RTL)
0445-0500 RTL Radio - 1440 (Mo-Do)
0445-0500 Rundfunkmission - 1440 (Fr; via RTL)
0500-0600 Radio Ö1 International - 6155, 13 730
0500-0515 ERF Radio Wetzlar - 1467 (via Monte Carlo), 1539
0500-0530 RTL Radio - 1440 (So)
0500-0600 WYFR Family Radio - 3955 (via UK), 7780
0515-0930 ERF Radio Wetzlar – 1539
0520-0540 Radio Vatikan – 1530, 4005, 5885, 7250
0530-0545 Missionswerk Freundes-Dienst – 1440 (So; via RTL)
0530-0600 RTL Radio - 1440 (Mo-Sa)
0545-0600 Der Weg zur Freude - 1440 (So; via RTL)
06045-0600 Radio Sante (Univ. Leben) – 1323
0600-0800 Deutsche Welle – 6075, 7210, 9545, 12 025, 13 780; -0700: 15 410, 0700: 12 045
0600-0700 Radio Ö1 International – 6155, 13 730; Mo-Fr: 17 870
0600-0605 Radio Ö1 International – 17 870 (Sa, So) 0600-0630 HCJB Quito – 9740
0600-0630 RCJB Quito - 9740
0600-0630 Radio Bulgarien - 9500, 11 500
0600-0630 Radio Japan - 11 970 (via Moyabi)
0600-0700 Radio Taiwan International – 5745 (via WYFR) 0600-0757 China Radio International – 15 245, 17 720
0600-0800 RTL Radio - 1440
0600-1200 Radio France Bleu Elsass - 1278 (Mo-Fr)
0615-0630 Missionswerk W. Heukelbach – 1440 (So; via RTL)
0630-0635 Radio Ö1 International – 17 870 (Sa, So)
0630-0700 HCJB Quito - 9740 (Plattdeutsch)
0700-0709 Radio Ö1 International - 6155, 13 730 (So -0707)
0700-0725 Radio Rumänien International – 6055, 7160, 7175, 9690 0700-0800 KBS World Radio – 15 210
0700-0730 HCJB Quito - 9740
0715-0800 Radio Ö1 International - 6155, 13 730 (So 0711-)
0730-0800 Radio Prag - 5930, 7345
0730-0830 IRIB Teheran - 15085, 17590
0800-1000 Deutsche Welle - 6075, 7175, 9545, 13 780, 17 525
0800-1000 Radio Ö1 International - 6155, 13 730
0800-0827 Radio Slowakei International - 5915, 6055 (geplant;
                 alt 7300
0800-0900 International Public Access Radio - 9310 (So; via IRRS
Milano; div. Sprachen)
0803-0900 RTT Tunis – 963
0900-1000 Hamburger Lokalradio – 945 (So; via LAT)
0930-0945 ERF Radio Wetzlar – 1539; 6230, 7160 (via Monte Carlo;
                 Mo-Sa)
0930-1015 ERF Radio Wetzlar – 1539; 6230, 7160 (via M. Carlo; So) 0930-1030 International Public Access Radio – 9310 (Sa; via IRRS
                 Milano; div. Sprachen)
0945-1015 ERF Radio Wetzlar – 1539 (Mo-Sa)
1000-1200 Deutsche Welle – 5910, 6040, 6075, 7265, 9545, 11510,
13780, 15110, 17770, 21840
```

```
1100-1300 Stimme Russlands - 603 (Berlin), 630 (Braunschweig),
                1323, 1431 (Dresden)
1130-1200 Ev. Missions-Gemeinden – 6055 (Sa. So; via Wertachtal)
1130-1200 Radio Bulgarien – 11 700, 15 700
1200-1400 Deutsche Welle – 6075, 9545, 13 780, 15 610, 17 630
1200-1300 Radio Ö1 International – 6155, 13 730 1200-1215 Die Arche – 5945 (So; via Wertachtal)
1200-1229 Freie Volksmission - 5945 (Sa, via Wertachtal)
1200-1255 Radio Rumanien International - 9610, 9690, 11 940
1200-1300 Bukarester Rundfunk – 909
1230-1255 Radio Polonia – 5965, 5975 (via Wertachtal)
1230-1325 Stimme der Türkei – 17 700
1300-1305 Radio Ö1 International - 6155, 13 730, 17 855
1300-1330 Radio Azerbaijan Int. - 6111
1300-1330 Radio Azerbajan mt. – 6111
1300-1330 Radio Prag – 6055, 7345
1300-1400 MV Baltic Radio – 6045 (1. Sountag im Monat; via Jülich)
1300-1400 Radio Budapest - 6025, 7215 (So)
1305-1315 Radio Ö1 International – 17855 (Mo-Fr)
1305-1320 Radio Ö1 International – 6155, 13730 (Mo)
1305-1345 Radio Öl International – 6155, 13 730 (Di-Fr)
1330-1335 Radio Ö1 International - 6155, 13 730, 17855
1335-1345 Radio Ö1 International - 17855 (Mo-Fr)
1335-1400 Radio Öl International – 6155, 13 730 (Mo)
1400-1600 Deutsche Welle - 6075, 9545, 13780, 15275, 15335
1400-1600 Radio O1 International – 6155, 13730
1400-1430 ERF Radio Wetzlar – 1539 (Mo-Sa)
1400-1430 ERF Radio Wetzlar – 1539; 6230, 7160 (So; via M. Carlo)
1400-1530 Radio Traumland - 5925 (So; via Jülich)
1415-1435 RAI Rom – 6065 (Mo-Sa)
1430-1457 Radio Slowakei International – 6055, 7345 (geplant)
1430-1437 Radio Stowakei International – 6055, 7343 (geplant)
1430-1500 ERF Radio Wetzlar – 1539; 6230, 7160 (via Monte Carlo)
1500-1515 Radio Vatikan – 5885, 7250, 9645
1500-1600 Radio Budapest - 6025, 7275 (So)
1500-1600 Radio Santec (Univ. Leben) - 9310 (So; via IRRS)
1500-2300 ERF Radio Wetzlar - 1539
1530-1600 Voice of Vietnam - 7280, 9730
1600-1800 Deutsche Welle - 6075, 7255, 9545, 11685, 12055, 13780
1600-1800 Radio Ö1 International - 6155, 13730
1600-1610 Radio Ö1 International - 13 675 (via Sackville/CAN;
                Sa, So -1605)
Sa, So. 1605)
1600-1630 HCJB Quito – 3955 (Plattdeutsch; via Jülich)
1600-1630 Radio Prag – 5930
1600-1630 Stimme der Hoffinung (AWR) – 6015 (via Moosbrunn/AUT)
1600-1652 Stimme Russlands – 603 (Berlin), 630 (Braunschweig),
1215, 1323, 1431, 5920, 6145, 7290
1600-1655 Stimme Koreas – 9325, 12015 (6285)
1600-1757 Radio China International – 5970, 7155 (via ALB)
1610-1615 Radio Bayrak International – 6150 (unregelmäßig Mo-Fr)
1625-1640, Radio Ol International – 13675 (via Sackville/CAN)
1625-1640 Radio Ö1 International - 13 675 (via Sackville/CAN;
                Sa, So 1630-1635)
1630-1655 Radio Polonia – 6050 (via Wertachtal), 7270 (v. M. Carlo)
1630-1700 HCJB Quito – 3955 (via Jülich)
1652-1657 Radio Santec (Univ. Leben) – 603 (Berlin), 630 (Braunschweig), 1215, 1323, 1431, 5920, 6145, 7290
                (via Stimme Russlands)
1655-1700 Radio Ö1 International - 13 675 (via Sackville/CAN;
Mo-Fr)
1700-1727 Radio Slowakei International – 5915, 6055 (geplant;
                alt 7345)
1700-1800 Stimme Russlands - 603 (Berlin), 630 (Braunschweig),
                1215, 1323, 5920, 6145, 7300
1700-1800 Radio France Internationale - 1179 (via Antenne Saar)
1700-1800 WYFR Family Radio – 17760
1700-1800 WYFR Family Radio – 17760
1700-1830 RTL Radio – 1440 (Di -1815)
1700-2308 "RADIŎ1476" (ORF) – 1476 (zeitweise rel. RŌ1 Int. und
1730-1800 Radio Priga - 5800, 7500
1730-1800 Radio Priga - 5800, 7500
1730-1800 Radio Priga - 5800 (via Krasnodar/RUS)
1730-1800 Radio Schweden - 1179
1730-1825 IRIB Teheran - 6200, 7185, 7380
1800-2000 Deutsche Welle - 6075, 9545, 11725, 11945
1800-1830 Radio Ö1 International - 6155, 13 730
1800-1830 Radio Schweden – 6065 (Mo-Sa)
1800-1830 Voice of Vietnam – 7280, 9730
1800-1855 Stimme Koreas - 9325, 12 015 (6285)
1800-1900 Radio Budapest - 3975; 6025 (So) 1800-1900 Radio Santec (Univ. Leben) - 1215, 1323, 1386, 5920,
                6145, 7300 (So; via Stimme Russlands)
1800-1900 Radio Ukraine International - 5840
1800-1900 Stimme Indonesiens – 9525, 15150 (alt 11 785)
1800-1900 Stimme Russlands – 1215, 1323, 1386, 5920, 6145, 7300
                (außer So; Mi -1843, Di+Sa - 1830)
1800-1900 WYFR Family Radio - 3955 (via Jülich), 21 455
1800-1957 Radio China International - 7170, 11650, 11775
1805-1825 RAI Rom - 6110, 9760
1805-1905 Radio Damaskus - 9330, 12 085
1815-1830 Ev. Missions-Gemeinden - 1440 (Di; via RTL)
1830-1845 Missionswerk Freundes-Dienst - 1440 (via RTL)
1830-1850 Slowakischer Rundfunk (Radio Regina) – 1098 (Do) 1830-1900 Radio Budapest – 3975, 6025 (Mo-Sa)
```

1830-1900 Radio Fünfkirchen (Pecs) - 1116, 1251, 1350 1830-1900 Radio Santec (Univ. Leben) – 1215, 1323, 1386, 5920, 6145, 7300 ( Di+Sa; via Stimme Russlands)

1830-1925 Stimme der Türkei – 7205

```
1830-2000 Radio Öl International - 5945, 6155
1843-1858 Die Lutherische Stunde - 1215, 1323, 1386, 5920, 6145,
              7300 (via Stimme Russlands, Mi)
1845-1900 Missionswerk W. Heukelbach – 1440 (via RTL)
1900-1927 Radio Slowakei International - 5915, 7345 (geplant)
1900-1930 Radio Tirana – 1458 (Mo-Sa)
1900-1943 Stimme Russlands – 603 (Berlin), 630 (Braunschweig),
1215, 1323, 1431, 6145 (So + Di -1925; Mi -1930)
1900-1955 Radio Rumänien International – 5995, 7125
1900-1955 Stimme Koreas – 9325, 12015 (6285)
1900-2000 Radio Kairo - 9990
1900-2000 Radio Neumarkt (Tirgu Mures) - 1197, 1323, 1593
1900-2000 Radio Taiwan International – 6170 (via UK)
1900-2000 Radiostation Belarus – 7360, 7390, 7420
1900-2000 WYFR Family Radio - 7300 (via RUS)
1900-2057 Radio China International - 1440 (via LUX)
1920-1940 Radio Vatikan - 1467 (via Roumoules/F), 1530, 4005,
               5885, 7250
1925-1940 Missionswerk Freundes-Dienst - 603 (Berlin),
              630 (Braunschweig), 1215, 1323, 1431, 6145 (So + Di;
               via Stimme Russlands)
1930-2000 Radio Santec (Univ. Leben) - 603 (Berlin),
              630 (Braunschweig), 1215, 1323, 1431, 6145
(Mi; via Stimme Russlands)
1930-2000 Radio Schweden – 1179, 6065 (So -2030)
1943-1958 Missionswerk W. Heukelbach – 603 (Berlin),
630 (Braunschweig), 1215, 1323, 1431, 6145
              (via Stimme Russlands, außer Mi)
1950-2010 Radio Armenien – 4810, 9960 (inaktiv?)
2000-2200 Deutsche Welle - 6075, 9545, 11 935
2000-2200 Radio Ö1 International - 5945, 6155
2000-2015 Radio Thailand - 9535
2000-2100 KBS World Radio - 3955 (via GB)
2000-2100 Radio Bulgarien - 5800, 7500
2000-2100 Radio Taiwan International – 11 665 (via WYFR)
2000-2100 WYFR Family Radio – 9355
2000-2100 International Public Access Radio – 5775 (Do; via IRRS
              Milano; div. Sprachen)
2030-2055 Radio Polonia – 9640, 11 940 (via GUF)
2030-2100 Radio Budapest – 3975, 6025 (Mo-Sa)
2031-2059 Radio Tirana – 7465 (Mo-Sa)
2100-2130 Radio Serbien – 6100 (außer Sa)
2100-2145 WYFR Family Radio – 11 565
2100-2155 RAE Buenos Aires – 9690, 15 345 (Mo-Fr)
2100-2200 Radio Taiwan International - 3965 (via F)
2100-2200 Radio Ukraine International – 5840
2105-2159 Radio Studio X – 1584 (Sa)
2130-2200 Voice of Vietnam - 7280, 9730
2134-2138 Radio Slovenija - 918
2200-2400 Deutsche Welle - 5900, 6075, 7395, 9545, 11690, 11865
2200-2308 Radio O1 International - 5945, 6155 (So -2305)
2230-2300 HCJB Quito - 12 040 (Plattdeutsch, für Amerika)
2300-2400 HCJB Quito - 12 040 (für Amerika)
2330-2345 Radio Ö1 International - 9870 (Sa, So -2335)
Die am besten hörbaren Frequenzen sind in Fettdruck wiedergegeben.
                                                                     Hans Weber
Sendungen im DRM-Modus
```

### (..Kurzwelle digital")

("Kurzwelle digital")			
	Station - Frequenzen (kHz)		
0000-2400	DLF - 855 (Berlin)		
0000-2400	RTL DRM - 6095		
0000-0100	Deutsche Welle – 3995, 5920		
	Deutschlandradio Kultur – 177		
	RTL DRM - 1440 (So -0430)		
	DW-Radio M (D+E) - 3995		
0400-0430	Deutsche Welle – 3995		
	DW-Radio M (D+E) - 3995		
0500-2300	BR 5 aktuell München – 6085		
0600-0700	Deutsche Welle – 3995		
	Deutsche Welle - 3995, 6130, 7150		
0800-0830	Deutsche Welle - 3995, 6130, 7150; 13 810		
0800-1700	RTL DRM – 1440		
	DW-Radio M (D+E) - 3995, 6130, 7150, 13810		
	Stimme Russlands - 693 (Berlin - Simulcast), 12 060		
1000-1200	Deutsche Welle - 7275, 13 810, 15 440 (Sa)		
	Stimme Russlands - 693 (Berlin - Simulcast), 12 060		
	Deutsche Welle – 9655, 15 440 (Sa)		
	Radio Schweden – 7240 (via Flevo/HOL)		
	Deutsche Welle – 6130, 13 590		
	Radio Vatikan - 7240 (via Flevo/HOL)		
	Stimme Russlands – 9450		
	Deutsche Welle – 3995, 6140, 12 080		
	Stimme Russlands – 5810		
	DW-Radio M (D+E) - 3995, 6130, 12 080		
	Deutsche Welle - 3995, 6140, 12 080		
1800-1900	Deutsche Welle – 3995, 6140		
	DW-Radio M (D+E) – 3995		
	Deutsche Welle – 3995, 5920		
	Radio Vatikan – 1530		
2330-2400	DW-Radio M (D+E) - 3995, 5920		

Achtung: Leider lagen bei Redaktionsschluss noch nicht alle Wintersendepläne vor. Den komplett aktualisierten Hörfahrplan finden Sie im folgenden Heft.

1100-1200 Radio Timisoara - 630

1000-1200 Radio Öl International - 6155, 13 730

1015-1400 ERF Radio Wetzlar – 1539 1100-1130 Radio Japan – 9**660**, 11710 (via GB) 1100-1130 Radio Prag – 7345, 9880

1000-1100 Christliche Wissenschaft - 6055 (So; via Jülich)

1323, 1431 (Dresden), 9720, 15 540

1000-1100 Radio Joystick - 9290 (1. Sa im Monat/via Ulbroka/LAT) 1000-1100 Stimme Russlands - 603 (Berlin), 630 (Braunschweig),

### BC-DX-Informationen

#### ■ St. Helena auf Kurzwelle

Zur Erinnerung: Wenn alles wie geplant klappt, sendet Radio St. Helena am 4. November auf der Kurzwelle 11092,5 kHz in USB ein Sonderprogramm in Englisch um 1800 bis 1930 UTC in Richtung Neuseeland, um 2000 bis 2130 UTC für Japan, um 2200 bis 2330 UTC für europäische Hörer und um 2330 bis 0100 UTC in Richtung Nordamerika. In den Tagen zuvor ist mit Tests der neuen Sendeanlage zu rechnen, sodass man die Frequenz bereits im Vorfeld beobachten sollte.



Die Stimme der Türkei schickt ihren Hörern auf Anfrage diesen neuen Wimpel. Anschrift: TRT Stimme der Türkei, P.O. Box 333. 06-443 Yenisehir. Ankara, Türkei.

Wimpel: Li

### ■□ran aus Litauen

Die Stimme der Islamischen Republik Iran war im September um 1730 UTC auf der neuen Frequenz 7540 kHz zu hören, die ein Sender in Litauen für Europa abstrahlt. Hier der komplette Sendeplan fürs deutsche Programm aus Teheran: 0730 UTC auf 15 085 und 15 430 kHz, 1730 UTC auf 7540, 11855 und 15085 kHz.

### ■ Nachrichten aus Rom

Rai International sendet auf Kurzwelle ein tägliches Nachrichtenbulletin auf Deutsch, gefolgt von italienischer Schlagermusik. Sendeplan: 1415 UTC auf 9570 kHz und 1806 UTC auf 6040 und 9845 kHz. Die Übertragungen sind in Deutschland mit mittlerer oder guter Qualität aufzunehmen. Mi

### ■ Vietnam am Abend

Das deutsche Programm der Stimme Vietnams ist derzeit abends ab 2130 UTC gut auf 9730 kHz zu hören. Die Empfangsqualität der Sendungen um 1530 und 1800 UTC ist unbrauchbar oder schwach.



Die Iraq Broadcasting Station sendete 1954 mit 16 kW über einen Marconi-Sender auf der Kurzwelle 3297 kHz im 90-m-Tropenband und war abends bis 2000 UTC in Europa zu hören.

### ■ Japan über Sri Lanka

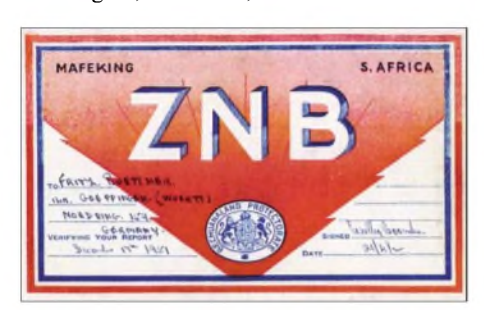
Radio Japan sendet sein englisches Programm für Australasien um 1400 bis 1500 UTC mit 300 kW auf 11 840 kHz über einen Sender in Ekala, südwestliches Sri Lanka, und ist auch in Europa gut zu hören. Die Sendung endet mit einem Glockenspiel. Empfangsberichte bestätigt Radio Japan mit einer QSL-Karte. Anschrift: Radio Japan, NHK World Service, Tokyo 150-8001 Japan.

### **■**Englisch aus Jemen

Täglich außer samstags sendet Radio San'a um 1800 bis 1900 UTC ein englisches Programm mit Nachrichten. Musik und Informationen über Land und Leute. Die Empfangsqualität auf der 31-m-Frequenz 9779,5 kHz (50 kW) ist momentan sehr gut. Vorher und nachher sendet der jemenitische Rundfunk sein arabisches Inlandsprogramm. Empfangsberichte werden unregelmäßig per Brief bestätigt. Anschrift: Republic of Yemen Radio, Ministry of Information, c/o Mohamed Dahwan, P.O. Box 2371, San'a, Jemen.

### ■ Washington für Kabul

Unter dem Namen Radio Ashna sendet die Voice cf America ein Spezialprogramm für Hörer in Afghanistan. Zu hören ist es um 1430 bis 1500 UTC in Pashto und um 1500 bis 1530 UTC in Dari auf 12 140 kHz außerhalb des 25-m-Bands. Die Abstrahlung erfolgt über einen 250-kW-Sender in Kuwait, der auch in Europa gut ankommt. Anschrift für Empfangsberichte: VoA Audience Mail, 330 Independence Avenue, Washington, DC 20237, USA.



Radio ZNB Mafeking war 1951 aus dem damaligen Britischen Protektorat Bechuanaland mit 200 W auf 8230 kHz aktiv. Das Gebiet gehörte zur Union of South Africa.

### ■Ungarisch auf 49 m

Der ungarische Inlandsdienst Radio Kossuth sendet mit 100 kW auf 6025 kHz vom Standort Jászberény täglich um 0500 bis 1300 UTC und ist auch im deutschsprachigen Raum in guter Qualität aufnehmbar. Empfangsberichte erreichen die Station über die bekannte Anschrift von Radio Budapest: Bródy Sándor u. 5-7, 1800 Budapest, Ungarn.

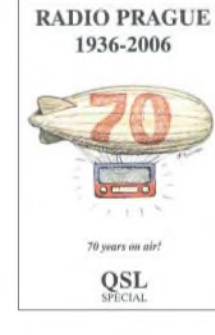
### ■ Afghanistan auf Kurzwelle

Entgegen bisheriger Ankündigungen ist Radio-Television Afghanistan bislang nicht auf die Kurzwelle zurückgekehrt. Vom Standort Yakatut nahe Kabul soll künftig ein mit finanzieller Unterstützung durch die indische Regierung installierter 100-kW-Kurzwellensender Programme ausstrahlen, die auch Hörer in Europa erreichen. Als derzeit einziger Hörfunksender Afghanistans ist Radio Solh auf Kurzwelle aktiv. Die Station befindet sich im US-Luftwaffen-

stützpunkt Bagram und sendet um etwa 2300 bis 1830 UTC in den Landessprachen Dari und Pashto mit 1 kW Leistung auf den Kurzwellen 9325, 9345 oder 9365 kHz. Der Empfang in Europa ist eine Rarität und gelingt nur bei guten Ausbreitungsbedingungen und freier Frequenz eventuell um 0100 UTC oder nachmittags gegen 1700 UTC vor Sendeschluss. Auf 9345 kHz dominiert nachmittags zumeist Kol

Die Feierlichkeiten mit verschiedenen Sonderaktionen zum 70. Stationsiubiläum von Radio Prag sind vorüber. Die Station bestätigte Empfangsberichte für das Programm am 31. August 2006 mit dieser Sonder-QSL-Karte.





### ■ Stimmen Äthiopiens

Der Inlandsdienst von Radio Ethicpia ist derzeit ab 1600 UTC auf 9704,2 kHz im 31-m-Band in Europa zu hören. Man sendet mit 100 kW von 0300 bis 2000 UTC in Amharisch, Oromo, Tigre, Somali und weiteren Regionalsprachen. Wochentags kommt von 1030 bis 1100 UTC ein englisches Nachrichtenprogramm. Seit der Reaktivierung der La Voix du Sahel (Niger) treten ab deren Sendestart gegen 1700 UTC starke Gleichkanalstörungen auf. Radio Fana hat im August beide Kurzwellen verlegt und sendet jetzt mit 10 kW auf 6110 kHz (ex-6210 kHz) im 49-m-Band und auf 7210 kHz (ex-6940 kHz) im 41-m-Band. Der Frequenzwechsel hat den Empfang zwar erschwert, doch ist die Station nach 0400 UTC regelmäßig auf 7210 kHz in Europa gut hörbar. Voice of the Tigrav Revolution ist der Sender der Provinz Tigre im Norden Äthiopiens. Der Inlandsdienst sendet aus Mekele mit 10 kW in Tigrigna und weiteren Regionalsprachen und war während des Bürgerkriegs ein Untergrundsender. Bei guten Ausbreitungsbedingungen ist die Station morgens ab Sendebeginn um 0400 UTC sowie abends bis 1900 UTC regelmäßig auf 5500 und HKu 6350 kHz in Europa aufnehmbar.

### ■ Signale aus dem Eis

LRA36 Radio Nacional Arcángel San Gabriel sendet von der argentinischen Base Esperanza, eine der wenigen ständig bewohnten Siedlungen auf der antarktischen Halbinsel. Wochentags schaltet man den 2-kW-Sender (nominell: 10 kW) etwa von 1800 bis 2100 UTC ein. Bei sehr guten Ausbreitungsbedingungen gelingt der Empfang ab etwa 1900 UTC, wenn Radio Africa No. 1 (Gabun) die Frequenz 15475 kHz verlässt. Das spanische Programm bringt vor allem kulturelle Beiträge, die sich mit Argentinien befassen. Hin und wieder sind auch englische Ansagen zu hören. Im derzeitigen Sonnenfleckenminimum sind Empfangsmeldungen noch seltener.

Die Berichte und Illustrationen stammen von Friedrich Büttner (Bü), Michael Lindner (L1), Andreas Mieth (M1) und Harald Kuhl (HKu).

### Ausbreitung November 2006

Bearbeiter: Dipl.-Ing. František Janda, OK1HH CZ-251 65 Ondřejov 266, Tschechische Rep.

Nach dem ersten Fleck vom 30.7., der nur für ein paar Stunden auf der Sonnenscheibe erschien und angesichts seiner entgegengesetzten Magnetpolarität zum nächsten Elfjahreszyklus gehört, erschien am 21.8., ein bisschen überraschend, eine breitere Fleckengruppe mit derselben entgegengesetzten Polarität am Ostrand der Sonne. Unweit des Zentralmeridians erreichte sie das Maximum ihrer Entwicklung am 27.8. Man konnte sie auf ihrer Wanderschaft über die Scheibe bis zum Westtransit am 2.9. beobachten. Jedoch bereitet die niedrige heliografische Breite dieser Region von nur 8°S eine kleine Verlegenheit bezüglich ihrer Einordnung in den 24. Zyklus. Gewöhnlich entstehen die ersten Flecken eines neuen Zyklus zwischen 30° und 40° Nord bzw. Süd. Im Allgemeinen dauert es dann bis zum Ende des alten und dem gleichzeitigen Beginn des neuen Zyklus noch ein halbes Jahr. Auf den Beginn des neuen Zyklus werden wir demnach noch warten müssen – siehe ftp://ftpserver.oma.be/dist/astro/sidcdata/wolijmms.png.

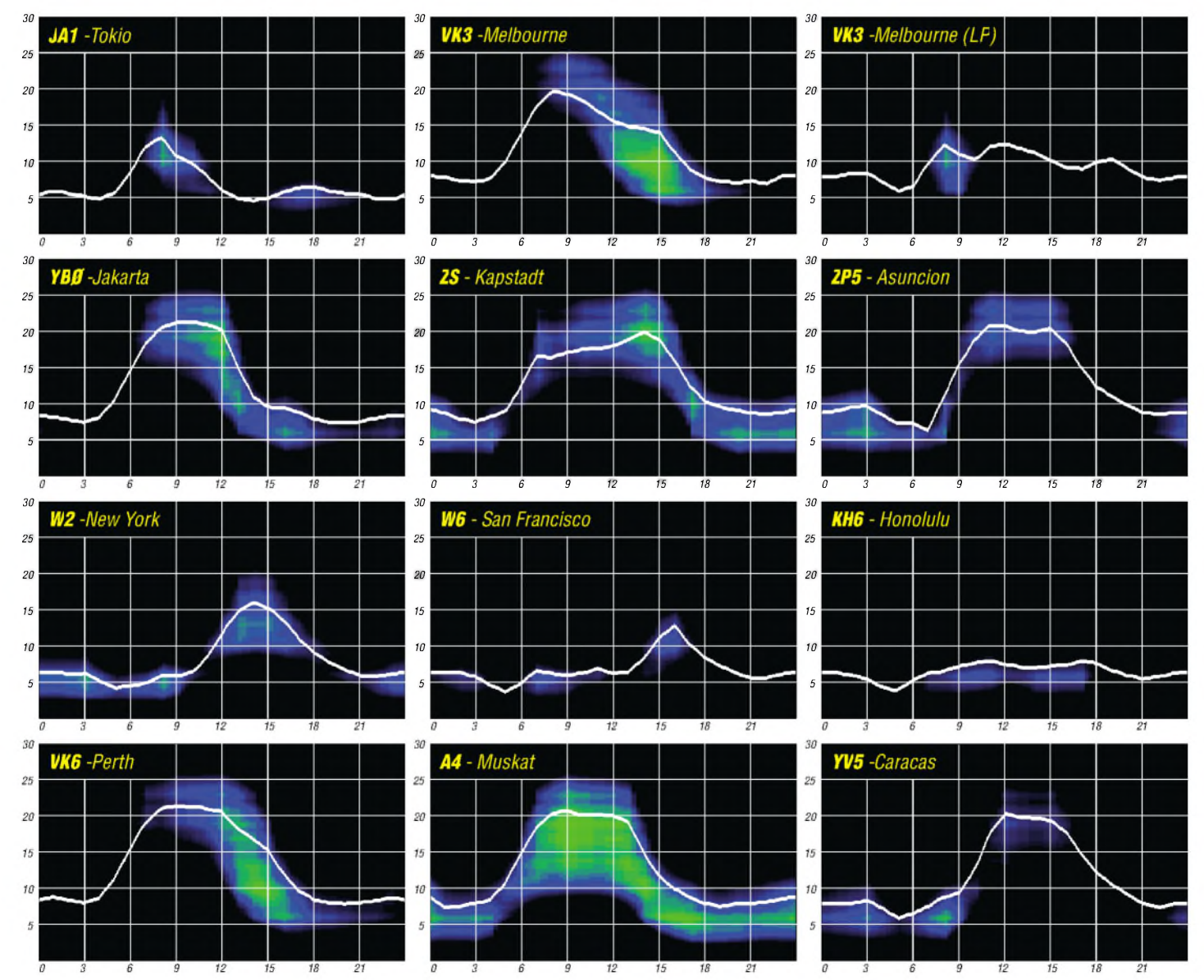
Verwenden Sie bitte für ihre Ausbreitungsvorhersagen November 2006 eine Sonnenfleckenrelativzahl R von 9 (resp. einen 10,7-cm-Solarflux von 70 s.f.u.). Aus den Hauptvorhersagezentren kommen ähnliche Zahlen: SEC Boulder: R=9,1 (im Konfidenzintervall 0,0 - 20,1); IPS Sydney:  $R=11,6\pm11$  und SIDC Brüssel: R=12 für die klassische und R=9 für die kombinierte Vorhersagemethode.

Im November klingen noch die verhältnismäßig günstigen Ausbreitungsbedingungen auf den meisten KW-Bändern nach, aber der sich verkürzende Tag auf der Nordhemisphäre der Erde wird die höchsten benutzbaren Frequenzen (MUF) allmählich herabdrücken. Das 20-m-Band wird sich nur ausnahmsweise auf seinem Weg über den Pol zum Pazifik öffnen. An Tagen mit geringerer Dämpfung im Polargebiet darf man dagegen mit Öffnungen im 30- und 40-m-Band rechnen. Diese Dämpfung im Polargebiet wird übrigens im Allgemeinen sinken. Sie steigt nur, wenn solare Partikeln in die Polkappe einfließen. Vorhersagediagramme für 15 wichtige Weltlinien finden Sie unter http://ok1hh.sweb. cz/Nov06/.

Die Störungen am 22.8., 27.8., 5.9. und 17.9. schenkten uns positive Entwicklungsphasen mit günstigen Ausbreitungsbedingungen. Günstige DX-Bedingungen wurden auch öfters in der zweiten Septemberhälfte registriert, zum ersten Mal schon am 15.9., dank eines ruhigen Erdmagnetfelds und eines sich langsam verstärkenden Sonnenwindes.

Die Septemberentwicklung illustrieren die Indizes für die Sonnenaktivität und das Magnetfeld der Erde. Das Mittel des Leistungsstroms des Sonnenrauschens auf der Frequenz 2800 MHz war 77,8 s.f.u., das Mittel des Indexes  $A_k$  vom geomagnetischen Observatorium Wingst betrug 9,5 und das vorläufige Brüsseler Internationale Monatsmittel der Sonnenfleckenrelativzahl,  $R_i$ , war 14,5. Das geglättete Mittel,  $R_{12}$ , für März sank auf 17,3.

Als Berechnungsgrundlage dienen:
Sendeleistung: 100 W
TX- und RX-Antennen: Dipol, horizontal
Empfangsumgebung: ländlich
Bandbreite: 300 Hz
Parameter: Störabstand
Legende:
weiße Linie: MUF



20 JAHRE DK Ø WCY

DRA5

### Synoptische Tagesanalyse der Kurzwellenausbre

Oft stehen Einschätzungen der Weltausbreitungslage, die man auf den Bändern hört, in krassem Gegensatz zu deren Gesamtstatus. Das liegt u. a. an der unterschiedlichen Reaktion der gestörten Ionosphäre. Während einige Strecken im 20-m-Band z.B. außergewöhnlich gut laufen, können andere Bänder kollabieren. Der Beitrag empfiehlt eine Beobachtungsmethode, mit deren Hilfe man sich ein weltweites Bild verschafft, das sich nicht zuletzt mit Erfolg zur Vorhersage eignet

Baken sind Leuchtfeuer. Daher kommt der Name. Im Altfriesischen bedeutet das Wort "bake" Wahrzeichen. In der Tat, Baken sind die wahren Zeichen dafür, ob die Ionosphäre unsere Signale wie Schiffe – an den Ort ihrer Bestimmung trägt oder nicht. Hört man eine Bake, so weiß man, dass man im gleichen Band mit der Bakenregion funken kann - gewöhnlich bis zu einem Radius von etwa 2000 km, vorausgesetzt, dass keine scharfen Ionisationsunterschiede - Gradienten - auftreten, wie sie z.B. oft durch die Grenze von Tag und Nacht entstehen. Baken fahren im Allgemeinen kleine Leistung, teils mit Bruchteilen von einem Watt. Fast immer sind die Bedingungen zumindest auf dem nächst höheren bzw. tieferen Band gleich oder ähnlich. Zu einer umfassenden Tagesanalyse reicht in der Regel ein Messdurchgang, den man in die Tagesmitte legen sollte. Die Signalqualität der Baken beschreibt als Teil fürs Ganze den Allgemeinzustand der Ionosphäre.

### ■ Vom Segen der NCDXF-Baken

Man findet sie auf: 14.1. 18.11. 21.15. 24.93 und 28,2 MHz über den Erdball verstreut (Tabelle). Die NCDXF-Baken bilden die Grundlage der Beobachtungen. Sie arbeiten in einem 3-Minuten-Zyklus horizontal-geografisch und vertikal in der Zeit. Jede Bake sendet nach dem ersten Einsatz auf 14,1 MHz jeweils eine Frequenzetage höher bis 28.2 MHz. Man braucht ihr durch Aufwärtsschalten nur zu folgen und erhält in 50 s ein genaues Bild vom nutzbaren Frequenzbereich. Der 10 s lange Text besteht

aus Rufzeichen ı mit abgestufter L 100 mW an einer Die tägliche Bed 1120 UTC und e gehts mit den N dorf bei Berlin a darf auch ein D mit einer Richta Werte - auch die ein. Es empfiehl tig zur Identifika Antenne ist eine sekundengenaue Uhr für die folgende Prozedur: 14,1 MHz: CS3B, etwa 240°; nun hat man viel Zeit, um auf YV5B, 255° zu drehen, weil die Baken LU4AA und OA4B schon seit Jahren inaktiv sind.

Rasch gehts dann höher auf etwa 300°, 4U1UN, und auf 345°, VE8AT; dann eine Idee zurück auf W6WX; jetzt auf 355° zu KH6WO und rasch zu ZL6B, 60°; dann tiefer auf etwa 100° für VK6RBP; nun schnell zu JA2IGY bei 40°, dann warten auf RR9O; danach tiefer auf 100° zu 4S7B - nicht wundern, kommt nur in den seltensten Fällen - jetzt 170°, ZS6DN; 150°, 5Z4B - Monate schon weg vom Fenster; danach 120°, Israel, und geschwind hoch auf 30°, OH2B, Finnland. Antenne laufen lassen für den nächsten Durchgang ab CS3B auf 21,15 MHz. Danach auf 28,2 MHz. Da wir uns ganz nahe am Minimum des 23. Elfjahreszyklus befinden. treten hier die meisten "Nullstellen" auf. Leider erinnert das NCDXF-System an einen Schweizer Käse, weil zz. etwa ein Drittel der Baken mit Abwesenheit glänzt. Obendrein sind die Status-Informationen auf der Homepage www.ncdxf. org/beacons.html steinalt. Kenntnis erlangt man durchs eigene Hören oder den Autor.

### ■ Das Weltbild rundet sich

Leider reichen die NCDXF-Baken zur Gesamteinschätzung nicht aus. Deshalb steigen wir die Frequenzskala aufwärts und beginnen mit OK0EV bei Prag, 1854 kHz. Sie bringt so manche Überraschung, lässt aber auch jahreszeitliche Änderungen, z. B. das Nachlassen der

eitung	
und vier sekundenlangen Dahs	
Leistung: 100 W, 10 W, 1 W und	DKØWGY
r Vertikalantenne Cushcraft R5.	
obachtung beginnt beim Autor	
endet kurz vor 1200 UTC. Los	
NCDXF-Baken hier in Rangs-	00
aus einer Dreielement-Yagi. Es	
Oraht sein. Nur empfängt man	Bild 1: DK4LI, Emil, wacht über seine
intenne besser. Die gefundenen	•
Nullen – trägt man in ein Buch	Tagesdämpfung im Herbst, ganz k
lt sich das RST-System. Wich-	Aus Pardubice funkt OK0EN auf
ation und zum Nachführen der	nur 150 mW und stellt bei klei
a cakundanganaya Uhr für dia	enhäraneturm mittage ain unglaub

DKOWCY

Foto: DK0WCY

klar erkennen. f 3600 kHz mit einerem Ionosphärensturm mittags ein unglaubliches Signal von S6 hin. Dann röhrt gewöhnlich OK0EU auf 3594,5 kHz aus Pruhonice mit S9 +10 dB; Leistung 1 W. Das böhmische Trio spielt für uns Ionosphärenklänge, die für unser Weltbild unerlässlich sind. DRA5 auf 5195 kHz ist mein Geheimtipp! Seit kurzem sendet diese semikommerzielle Station (Bild 1) ein sehr empfehlenswertes Raumwetter-Telegramm.

Ach, es ist eine wundervolle Frequenz! Sie läuft mit DL den ganzen Tag hindurch, sommers wie winters, ob im Maxi- oder Minimum. OK0EU informiert uns, wenn es auf 7038,5 kHz geht, und das ist selten über das 40-m-Band. Noch schlimmer stehts um 10 MHz. Hier ringt sich OK0EF bei Kladno auf 10134 kHz zz. nur extrem selten durch. Folgt DK0WCY, 10144 kHz, 30 W, Nähe Flensburg – nun, im Minimum, bei sporadischem E und anderen Erscheinungen. Wichtige Ergänzung zu KH6WO und ausgezeichneter Auroraindikator ist WWVH auf 15 bzw. 10 MHz. Der Beste von allen aber ist VE8AT. Sehr gut auch HLO über Süd auf 13 842,5 kHz. Übrigens die Dreielement-Yagi spielt bei Außerbandbetrieb am besten rückwärts. Beispiel: WWVH auf 15 MHz.

Und nun zwei gegenüber Störungen sehr empfindliche Stationen: Zeitzeichen CHU, Ottawa, 14670 kHz und - eine Mimose - New York Radio auf 13 270 kHz mit dem Anflugwetter. Ein gutes "Baken"-System ist die Deutsche Welle: 6075, 9545, 13780 und 15110 kHz, das Trincomale-Relais, Sri Lanka. Im 13-m-Band senden nur noch wenige. Am besten eignen sich BBC, Ascension-Relais, 21 470 kHz, und Radio Exterior de Espana, z. B. 21610 kHz.

### ■ Vorhersagen

Jetzt, im Minimum, darf man mit Sicherheit von folgender Beziehung ausgehen: Die Qualität der Condx - ob gut oder schlecht - bleibt zumindest über den Tag erhalten, denn die Ionosphäre wird von koronalen Löchern recht langsam moduliert. Das gilt besonders für die mehrere Tage dauernde ungünstige Ausklingphase. Sind die Bakensignale überdurchschnittlich gut, folgt im Allgemeinen ein sehr guter Tag. Das ist die positive Initialphase. Danach kommen gewöhnlich zwei Sturmtage mit großen Überraschungen, u.a. mit Ausfällen – besonders auf den fernen O/W-Strecken, dazu Radioaurora und Sputter auf Linien über höhere Breiten.

> Wolfram Heß, DL1RXA/DK0DX dl1rxa@darc.de

# OJ0B: Funkbetrieb auf den Lowbands vom Polarkreis

Das Market-Riff ist vielen Funkamateuren als winziges, recht seltenes DXCC-Gebiet bekannt. Zusammen mit drei Freunden führte ich dort während des vergangenen Winters eine Funkaktivität mit Schwerpunkt auf den niederfrequenten Bändern durch.

Wegen der schlechten Ausbreitungsbedingungen auf den höherfrequenten Bändern neigen während des Sonnenfleckenminimums viele DXer dazu, die langen und dunklen Nächte auf den niederfrequenten Bändern zu verbringen. Man sucht neue Bandpunkte auf den Lowbands, um den Gesamtgebietsstand zu erhöhen. Einer der Lowband-Hot-Spots ist Market-Riff, das ganz in der Nähe des Polarkreises liegt.

Während der Sommermonate ist der Zugang zu diesen Inselfelsen relativ einfach. Problematisch ist jedoch, dass in den Sommermonaten in diesen nördlichen Breiten die Sonne niemals richtig untergeht. Dieser Umstand ist die Antwort



Pertti, OH2PM, beim Antennenaufbau. Eine Gefahr bilden die oft tückisch glatten Felsen.

auf die Frage etlicher DXer, die sich wundern, weshalb ihnen OJ0 auf den unteren Bändern noch fehlt, obwohl das Riff doch so nahe an dicht besiedelten DXCC-Gebieten wie Schweden und Finnland liegt.

### ■ Erste Herausforderung: die Jahreszeit

Wenn es saisonal auf den Lowbands, sagen wir in Richtung USA und Japan, besser geht, liegen alle als Transportmittel in Betracht kommenden Schiffe sicher im Hafen vor Anker. Es ist die Zeit, in der eine Flotte von Eisbrechern unterwegs ist, um diejenigen skandinavischen Häfen eisfrei zu halten, die dazu dienen, Waren in entfernte Länder zu exportieren. Diese Jahreszeit ist für den Schiffsverkehr gefährlich und Orte wie das Market-Riff werden von Treib- bzw. schwerem Packeis heimgesucht. Im Winter, während der klassischen Lowband-Saison, stehen daher wenig für den Einsatz im Eis geeignete Schiffe zur Verfügung. Wegen der strengen Vorschriften für den Einsatz von Hubschraubern, die z.B. das Verfrachten von Treibstoff verbieten, scheiden in der Regel auch Helikopter als Transportmittel zum Riff aus.

#### ■ Zweite Herausforderung: die Kälte

Zum Transportproblem kommt der unangenehme Umstand dazu, dass als Unterkunft auf dem Riff nur ein massives, verlassenes Leuchtturm-

gebäude aus verstärktem Beton zur Verfügung steht, das schlicht und einfach nicht zu beheizen ist. Zwar kann man in einigen Teilen des Gebäudes das Innere irgendwie erwärmen, aber derartige Aktivitäten produzieren soviel Luftfeuchtigkeit, dass der Aufenthalt in der natürlichen Kälte einfach gesünder ist; vorausgesetzt die Ausrüstung und die mitgebrachten Vorräte halten den kalten Temperaturen stand. Um den Lesern eine Vorstellung zu geben: in den Wintermonaten erreichen die Temperaturen oft bis zu - 30 °C. Es wäre daher eine gute Idee, auf dem Riff arktistaugliche Zelte zu verwenden, aber auch deren Einsatz verbietet sich. Wenn, wie häufig der Fall, Mutter Natur zürnt, rollen gewaltige Wellen über das gesamte Riff, überspülen es komplett, sodass nur noch der Leuchtturm einsam aus der tosenden See herausragt.

### ■ Dritte Herausforderung: die Funkbedingungen

Nur wenige Leute können sich wirklich vorstellen, dass der Funkbetrieb auf den Lowbands von einem so nahe am Polarkreis gelegenen Ort recht frustrierend sein kann. In der Aurorazone, die sich hinunter bis nach SM0, OJ0 und OH2 erstreckt, sind die Ausbreitungsbedingungen, milde ausgedrückt, manchmal schrecklich. Nur bestimmte Regionen im Süden von Schweden und Norwegen befinden sich außerhalb des Einflussbereichs der Aurora. Jede Auroraaktivität macht die Funkausbreitung zwischen in der Aurora-Zone liegenden und außerhalb befindlichen Stationen auf einen Schlag zunichte. Dies betrifft bei Market-Riff besonders den Pfad in Richtung USA und Japan. Falls Sie immer noch das Verlangen spüren, zum Funken nach OJ0 zu gehen, sei der Hinweis erlaubt, dass während der Wintermonate in jenen nördlichen Breitengraden zu etwa 80 % mit Beeinträchtigungen des Funkbetriebes durch Aurora zu rechnen ist.

### ■ Vierte Herausforderung: die Psyche

Wie wir im vergangenen Winter am eigenen Leib verspüren konnten, erfährt man oftmals wenig Sympathie und Verständnis, wenn man an diesem eisigen, unfruchtbaren Ort sitzt – frierend und keinerlei DX-Signale hörend. Typischerweise ruft dann noch ein im Warmen sitzender Südeuropäer an, der einen dahingehend belehrt, dass die aufgebaute Station wohl viel



Das wackere OJ0-Team (v.l.n.r.): Lars, OH0RJ, Ilmo, OH2BO, Martti, OH2BH, und Pertti, OH2PM



Unsere durchgebogene Vertikalantenne für das 80-m-Band im tosenden Sturm Fotos: OH0BH

zu wünschen übrig lasse. Diese Besserwisser haben natürlich keine Ahnung, dass die Station gerade Treibstoff für einen 15-kW-Generator schluckt und komplett mit einer Alpha-91-Beta-Endstufe sowie einer Fullsize-Groundplane für das 80-m-Band betrieben wird.

Die langen Nächte bringen, wenn überhaupt, nur wenige QSOs. Der dadurch aufkommende Unmut kann viel Motivation und Initiative zerstören. Man stellt sich zwangsläufig die Frage, weshalb man das alles macht und ob es da draußen überhaupt irgendjemanden gibt, der den Aufwand, den man gerade betreibt, zu schätzen weiß. Und wenn man gezwungen ist, die unbequeme, arktistaugliche Kleidung eine ganze Woche lang zu tragen, kann das durchaus dazu führen, dass man sich selber hasst; spätestens dann, wenn man den eigenen Geruch einfach nicht mehr ertragen kann.

Ist diese Einführung zu lang? Lassen Sie mich das ganze Problem noch einmal betrachten; dieses Mal jedoch unter Berücksichtigung der Tatsache, dass man das ganze Unternehmen auch in zwei Sätze zusammenfassen kann: Sie wären total verrückt, wenn Sie fragen würden "Wann geht ihr eigentlich für 160 m in SSB auf das Market-Riff?" Und wir wären total verrückt, wenn wir unseren "Service" so weit ausdehnen würden. Diejenigen, die tatsächlich eine OJ0B-QSL-Karte ergattern konnten, möchten wir deshalb um etwas Verständnis dafür bitten, welche Anstrengungen, Leiden und Kosten erforderlich waren, damit diese Karte den Weg in ihr exquisites QSL-Album finden konnte.

### ■ Die Vorbereitungsphase

Noch im Sommer wurde eine Vorbereitungsreise unternommen, um Löcher zur Befestigung der Anker in den Felsen des Riffs zu bohren. Die Anker würden als Befestigungen für die Abspannseile der Lowband-Vertikalantennen dienen. Das Aufstellen großer Antennen bei eisigem Wind ist die ultimative Herausforderung. Es war daher unabdingbar, dass wenigstens die Anker zur Befestigung der Abspannseile bereits im glatten Felsen fixiert waren. Da das gesamte Riff während der Wintermonate oft dick mit Eis bedeckt ist, würde uns das Vorhandensein fest installierter Anker viel Ärger ersparen.

Eine weitere unabdingbare Voraussetzung war der Treibstofftransport für einen einwöchigen Aufenthalt mit einem Boot. Vorgesehen hatten wir den "Ausflug" für Ende November, da dann das Meer noch relativ eisfrei ist. Wir haben mit einem Bootsbesitzer einen detaillierten Vertrag geschlossen, der ihn verpflichtete, sein Boot auch nach der Saison noch einsatzbereit zu halten. Wenn der Hintransport zum Riff erfolgreich verlaufen würde, sollte er sich auch nicht lange um unseren Rücktransport sorgen, sondern zunächst wieder in seinen Heimathafen zurückkehren. Um uns abzusichern, falls ein Rücktransport vom Market-Riff wegen schlechten Wetters nicht möglich sein würde, hatten wir zusätzlich eine Vereinbarung mit einem Rettungshubschrauber-Unternehmen auf den Aland-Inseln geschlossen. Die Northern California DX Foundation (NCDXF) unterstützte uns dabei, indem sie versprach, sich an den Kosten einer möglicherweise erforderlichen Rettungsaktion mit dem Helikopter zu beteiligen.

#### ■ Anfangs war uns das Glück hold

Am ersten Tag war das Wetter außergewöhnlich ruhig und die Temperaturen pendelten um den Gefrierpunkt. Dank der ruhigen See konnte das Schiff direkt am östlichen Ende des Riffs anlegen und wir mussten zum Ausladen kein Schlauchboot einsetzen. Wegen der gewaltigen Wellen und des im Winter vorhandenen Packeises gibt es auf dem Market-Riff keinen Anlegesteg. Das gesamte Riff ist etwa 200 m lang, aber das Schleppen der Ausrüstung, unserer Vorräte und des Treibstoffes über die tückisch glatten Felsen war nichts im Vergleich zum Szenario, das uns bei schlechtem Wetter erwartet hätte. Schnell stellten wir mit Gas betriebene Heizstrahler auf, um das Leuchtturmgebäude, das für die nächsten sieben Tage unser Zuhause sein sollte (so dachten wir jedenfalls), wenigstens etwas auszutrocknen.

#### ■ OJ0B wird aktiv

Schnell hatten wir den Generator angeworfen und bald waren drei Stationen (drei Yaesu-Mark-V-Field mit zwei Alpha-91-Beta und einer FinnFet-PA) in Betrieb. Zusätzlich zu den Fullsize-Lowband-Vertikalantennen hatten wir noch einen Zweielement-SteppIR-Beam sowie eine SteppIR-Mehrband-Vertikal im Gepäck.

Die SteppIR-Vertikal bauten wir zuerst auf, später folgten Drahtantennen, vom Leuchtturm nach unten gespannt. Leider änderte sich das Wetter schlagartig und es erwies sich, dass wir den mitgebrachten Beam nie würden aufstellen können. Aufgrund des starken Windes ließen sich auch die Lowband-Vertikals erst gegen Ende der Aktivität errichten und nur in den dann noch verbleibenden drei Tagen einsetzen. Der Unterschied zwischen der 80-m-Vertikal und den vom Leuchtturm gespannten Drahtantennen war – zu Gunsten der Vertikal – übrigens deutlich spürbar.

Pertti, OH2PM, nahm als Einzel-OP am CQ Worldwide CW-Contest auf 80 m teil und lieferte sich ein Rennen mit Ilkka, OH1WZ, der zu Hause an meiner Station saß und vom finnischen Festland aus mit einem Dreielement-80-m-Beam funkte. Beide erreichten übrigens neue europäische Rekordzahlen! Auf 80 m war das Contestwochenende also recht produktiv und diesmal gar auf 160 m, wo eine Station unter dem Rufzeichen OJ0J funkte. Unsere dritte Station nahm nicht am Funkwettbewerb teil und machte dafür speziell 30-m-Betrieb.

Ich war für den SSB-Betrieb auf 80 m außerhalb des Contestes zuständig, hatte jedoch Pech mit der Aurorazone. Es war schon frustrierend, mit



Die QSL-Karte der OJ0B-DXpedition 2005: Mehr als 12 000 Lowband-Verbindungen gelangen den vier OPs vom winterlichen Market-Riff

anzuhören, wie die Funkwellen der 100-W-Tschechen den Atlantik mit Leichtigkeit übersprangen, während ich auf dem Riff keinerlei DX-Signale aus den USA hörte. Etwas Balsam auf meine Wunden brachte jedoch die Ausbreitung über den langen Weg. Auf diesem Pfad blockierte mich keine Aurora und es fanden dutzende Stationen den Weg ins Log. Diese Verbindungen liefen über eine für das 80-m-Band sehr lange Distanz von mehr als 31 000 km.

#### ■ Das Leben ist schlicht und einfach

Unsere tägliche Routine verlief äußerst simpel: heißen Tee trinken, essen, QSOs fahren und menschliche Ausscheidungen produzieren. Am nächsten Tag genau dasselbe. Am vierten Tag jedoch kehrte sich dieser Prozess infolge der Tatsache langsam um, dass wir weder ein Bad noch eine Dusche nehmen konnten. Wie denn auch? Es war ja um uns herum alles gefroren. Wenn wir den Reißverschluss unserer Arktiskleidung öffneten, flüchteten sogar die Robben. Auch mussten wir die Gasheizer ausschalten,



Martti, OH2BH, im stabilsten Gebäude auf OJ0. Das Beton-WC wird scherzhaft "Weisses Haus" genannt.

um zu verhindern, dass wir tapferen Kerle mit einer großartigen Explosion in die Luft flogen.

#### ■ Das dicke Ende naht: Raus hier!

So, wie die Zeit dahin rann, ging auch der Treibstoff zur Neige. Mit dem ständigen starken Wind und mit den schlimmen hygienischen Verhältnissen erreichten wir schließlich die Grenze des Zumutbaren. Wir muffelten ziemlich mies und fühlten uns dabei so elend, dass wir über diejenigen schmunzeln mussten, die uns überredet hatten, im Winter aufs Market-Riff zu gehen. Wir sahen ein Tiefdruckgebiet abziehen, waren aber schon darüber informiert, dass das nächste, noch schlimmere Unwetter in absehbarer Zeit heraufziehen würde. Aufgrund der Tatsache, dass sich das Meer in den verbleibenden zwei Tagen nicht beruhigen würde, fassten wir den Beschluss: Lasst uns so schnell wie möglich von hier verschwinden!

Wir wollten mit dem Rettungshubschrauber abhauen, solange der Helikopter auf der Fläche des Riffs, das noch nicht überspült war, landen konnte. Ein Rettungshelikopter hob von den Aland-Inseln ab und landete direkt neben dem Leuchtturm. Der erste Rückflug führte zur westlichsten Spitze von OH0, der zweite Flug endete auf dem Heimatflughafen des Hubschraubers. Die Evakuierung mit dem Hubschrauber kam uns zwar weit teurer als wir geschätzt hatten, aber wir befanden uns in einer Art Nirvana, sodass uns alles relativ egal war.

Nach 12 200 Lowbandkontakten in den Logbüchern betrachteten wir unsere Mission als erfüllt. Beim Verbrennen unserer stinkenden Kleidung stellten wir uns einige ORP-Freaks vor. die uns fragen: "Wann seid ihr wieder auf 160 m? - wir hatten einfach keine Ahnung, es war uns in diesem Moment auch völlig gleichgültig. Aber, wie heißt es so schön – nach ein paar warmen Duschen an Bord eines Luxusliners zwischen den Aland-Inseln und Finnland, nach dem Genuss von einem oder zwei Bier und noch bevor das Schiff in unserem Heimathafen Anker warf, schauten wir uns schon wieder an und überlegten: "Wohin gehen wir denn das nächste Mal?" Es juckte uns schon wieder. "DX bringts einfach" (DX is), jedenfalls für die, die auf DXpedition gehen.

Übrigens: Auf dem Rückflug von Belize nach meiner V31BH-Aktivität hatte ich in London einen Zwischenaufenthalt und besuchte dort das preisgekrönte Musical "Die Producer" von Mel Brooks. Es war amüsant, wie sehr sich die Wünsche und die Erschaffung einer Broadway-Show und die Planung sowie Durchführung einer Amateurfunk-DXpedition ähneln. Mit dem Un-



Zum Glück konnen wir dank dieses Helikopters dem Riff entrinnen.

terschied, dass unsere "Shows" viel mehr Besucher anziehen und kraft der Natur der Sache an ihnen beide Parteien aktiv beteiligt sind. Die Macher, die am Broadway produzieren und versuchen, die Leute gut zu unterhalten, müssen sich da mit viel weniger zufrieden geben!

An der OJ0B-Show nahmen teil: Lasse, OH0RJ, Ilmo, OH2BO, Pertti, OH2PM, sowie ich, OH2BH. Unterstützung gaben die Northern California DX Foundation Inc., die OH DX Foundation, Rich, K7ZV, und Mike, K7IR, von SteppIR. Unser Dank geht an unsere Familien, die Lieben zu Hause und an den Hubschrauber-Service "Medi-Heli" in Mariehamn (Aland). Um dem Leser mehr über die Verhältnisse vor Ort zu vermitteln, lohnt ein Blick auf www.

kolumbus.fi/oh2bn/pagemarket.htm.

Martti Laine, OH2BH Übersetzung und Bearbeitung: Dr. Markus Dornach, DL9RCF

## DX-QTC

Bearbeiter:

Dipl.-Ing. Rolf Thieme, DL7VEE Boschpoler Str. 25, 12683 Berlin E-Mail: rthieme@onlinehome.de URL: www.dl7vee.de

Alle Frequenzen in kHz, alle Zeiten in UTC Berichtszeitraum: 7. 9. bis 10. 10. 06

#### ■ Conds

Teilweise gab es erstaunliche Öffnungen auf 15 und 12 m, untypisch für das Sonnenfleckenminimum. Sonst trugen 20 und 17 m die DX-Hauptlast. Manchmal waren die Vormittags-DX-Bedingungen gegenüber den Conds nachmittags auffallend schwach, wie aus südlichen Gefilden bekannt. 160 und 80 m funktionierten oft nur mit geringen DX-Feldstärken.

#### ■ DXpeditionen

Ein Knaller zum Redaktionsschluss: Unangekündigt wurde eine Gruppe von Kermadec (ZL8) ab 10.10.06 QRV! – Die Mayotte-DX-pedition von TX5NK (DJ8NK) und TX5T (DL2RUM) erbrachte knapp 10 000 QSOs. Davon entfielen beachtliche 1900 QSOs auf RTTY. Rund zwei Drittel der Verbindungen liefen mit Europa. Trotz guter Technik erlaubten die 160-m-Bedingungen leider nur wenige QSOs.

Die Lesotho-Aktivität (7P8) der OPs DL7JAN, DH3WO und DJ2HD wurde mit gut 6300 QSOs abgeschlossen, davon mehr als 4000 in CW, das sich bei den schwachen Bedingungen eindeutig als beste Betriebsart erwies. Sie funkten mit nur 100 W und die Antennen, ein Fünfband-Spider-Beam sowie Vertikals auf 30 und 40 m arbeiteten zur Zufriedenheit. Mehr als 10 % der QSOs gelangen mit Deutschland!

Am 17.9.06 wurde **4U1UN** u.a. durch AB2RF aktiviert, wie oft in letzter Zeit mit leisem Signal. – Ausnahmsweise nicht enttäuscht wurden diejenigen, die am 10.9.06 morgens auf 30 m **ZL9BSJ/p** arbeiteten. Im Gegenteil, diese unangekündigte Aktivität eines Wettertechnikers vom raren Campbell Island brachte in knapp einer Stunde 133 QSOs (Batteriebetrieb), wobei etliche Europäer zum Zuge kamen. Nach den vielen Piraten in der vergangenen Zeit (wie 7O1X) zeigt sich doch wieder einmal: Work First, Worry Later! – **OJ0LA**, eine norwegische Gruppe, war

rund um die Uhr emsig QRV, allerdings wurde manchmal schlecht gehört. – DJ2BC funkte als CN2BC in CW aus Marokko. – Eine weitere CW-DXpedition unternahmen FP/G3SXW und FP/G3TXF, diesmal von St. Pierre. – Ein gutes Signal sowie exzellente Betriebstechnik machen das Zuhören bei ST2A (ex ST0RM) zur Freude. Selbst die QSLs werden problemlos von T93Y bestätigt. Im Winter soll nun 160-m-Betrieb versucht werden.

Eine DIG-Crew mit DJ8VC, DF6QP und DL8JS funkte in den ersten Tagen ihrer Ankündigung aus Namibia unter V5/Homecall. Auch V5/HB9QQ konnte geloggt werden, ebenso wie V5/DF3GY und V5/DJ4LK. Letztere arbeiteten auch unter A25/Homecall aus Botswana. – TT8PK (via F4EGS) bleibt noch bis Mitte November und ist von 40 bis 10 m zu erreichen. – Vlad, UA4WHX, machte nach 9J2VB als D20VB Betrieb. Auf Anfrage teilte er mit, dass noch weitere Ziele vorgesehen sind.

TK9Z war eine DXpedition der spanischen DX4DX-Gruppe auf Korsika. Die QSL geht an EA4BT. – XW8KPL/RU3DX sorgte an einigen Tagen besonders auf 30 m für Aufregung. – Die tschechische DXpedition JT800OK in der Mongolei (www.shop73.com/jt800ok/) war besonders auf den mittleren Bändern gut zu erreichen. QSL über OK1XC. – 7Q7CE (via IN3VZE) konnte man leicht auf 20 m in SSB arbeiten. – 5R8RJ (DJ7RJ) wurde planmäßig Anfang Oktober QRV. Er versuchte sich oft auf 160 m, gute Bedingungen blieben jedoch aus.

BY1TX/2 (AS-158) machte guten Betrieb von 80 bis 17 m, darüber ging es kaum noch nach DL. - P29NI und P29CVX waren IOTA-Aktivitäten, die mit europäischen OPs auch deren Interessen wahrnahmen. Prima Signale auf 20 und 17 m, wer gute Antennen besitzt, konnte sie sogar auf 80 m arbeiten. - Auch FO/KM9D aktivierte einige rare Inseln, war jedoch von Europa aus schwer zu erwischen. - R1FJT funkte sporadisch von Franz-Josef-Land. Er hält sich noch bis 2008 auf dem Archipel auf. QSL über UA4RC. - PJ4/PA3CNX bleibt noch bis Anfang November. - AI5P tauchte morgens oft auf 40 m in CW als E51APX von Südcook mit leisem (hierzulande) Signal auf. Als ZK2PX machte er mit gutem 30-m-Signal Furore.

Der CQ WWDX RTTY wies nicht die ganz großen Raritäten auf. Immerhin konnte man 3XM6JR, J7R, 8P2K, XW1A, GD0TEP, KH7X, JT1CO, TG9ANF, HB0/DL1ZBO, HC1JQ,

HC8N, FR5GS, T88AS, 6W1SE, 9M2TO, VQ9LA, 7X0RY sowie weitere Leckerbissen erwischen. Für die Gelegenheits-Teilnehmer erwies es sich als Nachteil, dass sich viele der raren Stationen auf das 20-m-Band festgelegt hatten. Die QSO-Zahlen beeindruckten; manche Pile-Ups rissen bis Contestende nicht ab.

#### ■ Kurzinformationen

Die für die Antarktis gerüstete "Dap Mares", mit dem auch die **3Y0X**-Crew zu Peter I. gelangte, ist unerwartet vor Punto Arenas gesunken. Da die Wassertiefe dort nur 18 m beträgt, wird an einer schnellen Bergung gearbeitet. Menschen kamen nicht zu Schaden. – Die für Oktober angedachte DXpedition nach Wake Island (**KH9**) durch K7ZZ musste leider ausfallen, da ein Taifun 70 % der dortigen Unterkünfte zerstörte.

**D44BS** ist nach fünfjährigem USA-Aufenthalt wieder zurück und richtig aktiv geworden. – Die Berliner DXer hatten Anfang September Gelegenheit, Ramon, YV5EED, einen Organisator der vergangenen **Aves-DXpeditionen** in ihrer Stammgaststätte zu begrüßen. Ramon und seine XYL Carmen, YV5CAJ, befanden sich auf einer Europareise und hatten einen Besuch Berlins eingeplant. Das Treffen entwickelte sich aus einem zufälligen QSO von Ramon mit Ben, DM3KTO.

Die Bearbeitung des **DXMB** (DX-Informationsblatt des DARC) hat wieder Michael, DJ5AV, übernommen. Robert, DL7VOA, kümmert sich um die Übersetzung und Internetverbreitung. – **TU2/F5LDY** bleibt noch bis August 2007. Neben CW und SSB will er auch in digitalen Modes erscheinen. QSL über F1CGN.

_					
Bandm	eldung	en im	Berichts	zeitrau	ım
160 m			T80B	14180	1140
A22/JA4A	TV 1811	2020	TT8YN	14187	1500
CX5BW	1824	2215	TU2/F5LDY	14238	2030
OJ0LA	1840	2215	XW1A	14245	1620
TX5T	1831	2200	ZK2PX	14194	0730
80 m			<b>1</b> 7 m		
3DX2Z	3503	0530	3XD2Z	18082	0900
CX4SS	3505	0400	3XM6JR	18104	1420
DL2JRM/B	A1RB3502	2045	5H3EE	18133	1705
FP/G3SXV	V 3504	0130	5W0YY	18074	0800
PJ2/LY4F	3510	0320	7Q7CE	14192	1900
TX5T	3506	2100	9Q1D	18155	1545
V5/DJ8VC		0430	A25/DJ4LK	18125	1600
YI9KT	3508	1930	D44BS	18140	1700
40 m			TT8PK	18140	0930
3DX2Z	7013	0515	TU2/F5LDY	18078	1640
5H3EE	7004	0330	V5/DF3GY	18101	1600
9J2SZ	7003	2240	V5/G3RWF	18073	1710
CN2BC	7013	0515	VP8LP	18147	1540
FG/DL5CF	7008	0410	XW1A	18135	1020
OA4/YT7F	RW 7045	0500	15 m		
PJ2/LY4F	7070	0300	3B9FR	21087	1120
V31MR	7006	0500	3XM6JR	21087	1700
V5/DL8JS	7090	2045	5H3AA	21262	1620
30 m			9N1AA	21202	0800
3XM6JR	10142	2140	901NT	21025	1330
A25/DF3G		1910	A61Q	21025	1055
FP/G3TXF	10115	0500	P29VR	21236	1100
J28JA	10122	2000	TX6A	21266	1520
R1FJT	10108	1545	VKOLJX	21258	1130
ST2A	10104	1920		21230	1130
XW8KPL/			12 m		
RU3DX	10106	1800	TU2/F5LDY	24899	1800
ZL9BSJ/p	10103	0500	TY5ZR	24907^	1510
20 m			VP8LP	24935	1600
4U1UN	14023	1240	VQ9LA	24895	0810
C98BWW	14193	1645	WP4U	24935	2040
JW8XU	14081	1530	10 m		
P40LL	14018	2000	C56X	28020	1820
S79SG	14260	2000	TU2/F5LDY	28008	1745
5,000	1 1200	_000	OZ/TOLDT	20000	1770



Ramon, YV5EED (I.), einer der Organisatoren von YXOLIX sowie vorangegangener Aves-DXpeditionen, als Gast beim Berliner DX-Abend. Mit seiner Frau Carmen, YV5CAJ, befand er sich auf Europareise. Das Treffen kam nach einem QSO von Ramon mit Ben, DM3KTO (r.), zustande.



Am 22.9.06 hat die PTT der Democratic Republic of Congo seit längerer Zeit vier Lizenzen bestätigt: 9Q1D (SM5DIC), 9Q1EK (VE2EK), 901TB (F5LTB) und 901NT (ON5NT). - Mirko, DG9BHQ, wird ab Ende November der neue OP auf der Neumayer-Station DP0GVN sein. -TISII ist das neue Rufzeichen von TI8CBT. Mönch Apollo, SV2ASP/A, war wenig QRV über den Sommer. Jetzt hat ihm SV1DPI einen PTC-II geschenkt und die DX-Gemeinde hofft auf baldiges Erscheinen in RTTY. - CW-Freak W1DV hält sich im November in der Zentralafrikanischen Republik (TL) auf und hofft auf eine Funkgenehmigung. - Der bekannte DXpeditionär Andy, G3AB (ex G4ZVJ), lebt für die nächsten Jahre auf Zypern und ist als ZC4VJ ORV.

#### ■ Vorschau

Bis 3.11.06 kann man XF4DL von Revilla Gigedo arbeiten. – Noch bis 31.10.06 ist DL7BC unter V31HK zu erreichen. – Vom 23. bis 31.10.06 sind W4WX als VP2MHX und K4QD als VP2MQD in der Luft. – Vom 26.10. bis zum 2.11.06 will G3USR als VP2MSR mit 100 W die mittleren Bänder bedienen. – Zwischen dem 26. und 30.10.06 wird JA0UMV als 9N7MV von Nepal erwartet. Er plant Betrieb in CW und SSB ab 40 m aufwärts. – N7OU und W7YAQ funken von Nordcook (E5; 4. bis 18.11.) und Südcook (E5; 18. bis 28.11.06) mit 100 W und Vertikals vorwiegend in CW. Die Teilnahme am WWDX ist vorgesehen.

Jo, DL5AUA, will vom 23.10. bis 2.11.06 unter 9H3JC aus der Nähe des Giordan Lighthouse (MLT-003) mit 100 W und Drahtantennen in CW und SSB funken. - NOUU, mit einer nicht Amateurfunkgruppe im Pazifik unterwegs, wollte am 24.10.06 einen Tag von Ducie Island (VP6) Funkbetrieb machen. - In den USA lebende ukrainische OMs planen eine Aktivität aus Honduras (Tigre Island) bis Ende Oktober. Das Rufzeichen steht noch nicht fest, eventuell **HO4?** Gerd, DL7VOG, wird im November als HK0GU QRV sein: vom 9. bis 14.11.06 als HK0GU/1 von Isla Pirata SA-040; vom 15.11. bis 2.12.06 als HK0GU von Isla Providencia (NA-049). Von SA-040 aus ist die Teilnahme am WAEDC RTTY und von NA-048 aus die Teilnahme am CQWW CW eingeplant. Gerd funkt wie immer mit IC-706 (an einer HF9VX-Vertikal); doch dieses Mal will er sich auch an 160 m versuchen. Bevorzugte Betriebsarten sind CW, RTTY sowie etwas SSB. - HB9OCR kündigt Funkbetrieb unter V26MH bis zum 5.11.06 an.

W0YG und N0KV sind vom 30.10. bis 20.11.06 auf Cocos Keeling und wollen unter VK9CGG besonders Wert auf die Lowbands legen. – Als VP5/W8XGI dürfte JA1XGI zwischen dem 4. und 7.11.06 in der Luft sein.

WD9DZV ist als **P40D** vom 30.10. bis 9.11.06 unterwegs. – Als Sonderstation meldet sich vom 29.10. bis 9.11.06 **TO8RR** (Road of the Rum) von Guadeloupe (FG). – Die bekannten DXpeditionäre HA4DX, HA0HW und DL2SBY sind vom 2. bis 10.11.06 von Korsika (**TK**) zu erwarten und versprechen Allmode- sowie Allbandbetrieb. – Eine weitere große DXpedition, **5A7A** aus Libyen, erwartet Anrufer zwischen dem 15. und 29.11.06. Mit mehr als 20 OPs (meist aus DL) und bis zu acht Stationen (parallel) will man auf allen Bändern (160 bis 2 m) wenigstens 50 000 Verbindungen tätigen (http://5a7a.gmxhome.dei).

EA5BYP annonciert als **3C0M** von Pagalu eine ganz heiße Sache. Vom 21.10. bis 3.11.06 versucht er Betrieb in CW, SSB und RTTY von 160 bis 10 m zu machen! – K2KW, N6BT und KE7X sind vom 19. bis 27.11.06 von den Bahamas (**C6**) aktiv. Außerhalb des WWDX CW liegt der Fokus auf den Lowbands. – Ab 16.11.06 wollen die ersten Mitglieder der VooDoo-Contest-Group, die für den WWDX CW eine Multi/Multi-Operation als **TZ5A** planen, in Mali eintreffen. – VE3EBN versucht im Zeitraum 19.10. bis 26.11.06 unter **J37LR** und **J37T** auf den Bändern QRV sein.

Vor allem Lowbandbetrieb verspricht DJ4SO aus Namibia (V5) vom 11.11. bis 1.12.06. – Eine finnische Gruppe will vom 20.10. bis 5.11.06 als XU7MDY und XU7JGE aus Kambodscha funken. Schwerpunkt der Aktivität liegt auf den Lowbands und CW; QSL nur direkt an OH4MDY. – KM0O hat Pläne für XU7MWA vom 20. bis 30.11.06.

Ein slowakisches Contestteam geht auch in diesem Jahr vom 17. bis 30.11.06 nach Mauritius. Unter **3B8/OM0C** will man besonders auf den gefragten Lowbands und in RTTY funken. – Vier japanische OPs versuchen zwischen dem 1. und 13.11.06 verschiedene Inseln von Mikronesien **(V63)** in allen Betriebsarten zu aktivieren. Anschließend geht es noch für zwei Tage nach Guam **(KH2)**. – Auch drei UA-OPs sind vom 4. bis 14.11.06 als **V63UA**, **V63RQ** und **V63RZ** in CW und SSB QRV. – Willy, ON5AX, befindet sich mit XYL Magda (ON3AX) auf Pazifikrundreise und versucht, zwischen dem 17.10. und 14.12.06 von **5W**, **KH8**, **A35** und **ZL** Funkbetrieb zu machen.

Highlights im Ausblick: Eine zweite rein indische DXpedition der ARSI, des indischen Radioverbandes in der IARU, wird im Dezember von den Lakkadiven (VU7LD) QRV werden. Diesem Rechnung geschuldet wird die NIAR ihre DXpedition (VU7RG) von Januar 2007 auf den 1. bis 10.12.06 vorverlegen. Für den 1. bis 3.12.06 ist ein Hamfest vorgesehen. Die GDXF soll erfreulicherweise den QSL-Service für Europa übernehmen.

Aktivitäten in Bangladesh (S21EA) planen Spanier im Januar 2007. – Eine Aktivierung Spratlys (1S bzw. 9M0) wollen im März 2007 9M2TO und Japaner durchführen. – YT1AD plant für September 2007 eine große Swains-Island-DX-pedition (KH8s).

Angekündigt für den CQ WWDX SSB am 28./29.10.: 3DA0WW, 4L8A, 6Y1V, 8P2K, 8R1EA, 9N7MV, B1Z, C6APR, CU2A, DX6M, FS/WY3P, HQ9R, J3A, J49Z, PJ2T, T18M, V26B, VP2M?, VP5T, VP9I, XU7MDY, XX9C, YN2EJ sowie weitere.

## IOTA-QTC

#### Bearbeiter:

Thomas M. Rösner, DL8AAM Wörthstr. 17, 37085 Göttingen Packet-Radio: DL8AAM@DB0EAM E-Mail: dl8aam@darc.de URL: http://people.freenet.de/troesne/index.html

#### ■ Insel-Aktivitäten

Afrika: Willi, DJ7RJ, ist noch bis 27.10.06 als 5R8RJ von einer Insel vor Madagaskar, AF-057, in CW und SSB von 160 bis 10 m QRV. Nordamerika: K2KW, N6BTund KE7X funken vom 19. bis 27. 11.06 von Eleuthera Island, NA-001. Die C6-Rufzeichen stehen noch nicht fest. OSL via WA4WTG. - Vom 12. bis zum 15.11.06 ist K6PV von Santa Catalina Island, NA-066, auf 20 und 40 m in SSB ORV. – W2GJ, K3IXD und K4OO nehmen am WWDX-SSB-Contest vom 28. bis 29. 10. 06 unter C6APR von Crooked Island, NA-113, teil. Am 30. und 31. 10. planen sie eine Aktivität als C6APR/p oder K4QO/C6A vom Castle Island Leuchtturm. QSL via K3IXD. - WA2USA ist bis 30.10.06 als WA2USA/5 von Grand Isle, NA-168, inklusive WWDX-Teilnahme, QRV.

Südamerika: Gerd, DL7VOG, will vom 9. bis 14.11.06 als HK0GU/1 von der Isla del Pirata (Rosario Inseln) SA-040, in CW und RTTY aktiv sein. Anschließend ist bis zum 1.12.06 Betrieb von der Isla Providencia, NA-049, unter HK0GU vorgesehen. QSL via Heimatruf-



zeichen; mehr Informationen unter www.qsl. net/hk0au.

Ozeanien: JA1KJW (V63JQ), JA1JQY (V63JY), JI1FOP (V63OP) sowie JA8VE (V63VE) aktivieren im November drei IOTA-Gruppen in Mikronesien auf 160 bis 10 m in CW, SSB und RTTY. Geplant sind Aufenthalte vom 1. bis 6.11. auf Kosrae, OC-059, 7. bis 8.11. auf Pohnpei, OC-010, und vom 9. bis 13.11.06 auf Chuuk, OC-011. QSL-Karten für V63JQ via JA1KJW; V63JY geht über JA1JQY; V63OP an JI1FOP sowie V63VE via JF1OCQ.

#### ■ IOTA-Informationen

Aktivitäten, die bis zur Vorlage von entsprechenden Unterlagen noch nicht für das IOTA-Diplom anerkannt werden (Stichtag 21.9.06): AF-070 (V51VV/p), NA-197 und NA-241p (K7A).

Zwischenzeitlich anerkannt wurden folgende DXpeditionen: AF-103 (C94KF), EU-183 (YP1W), NA-237 (W5BOS/NL0), NA-238 (W5BOS/AL0), OC-062 (FO5RH), OC-114 (FO/KM9D), OC-245 (YE5R) sowie OC-258 (P29K).

DL9WVM-DL5KZA-	SM5CAK-SI
DX-Call	Manager
3A2CWG	3A2LF
3V8SM (9/06)	LX1RA
3Z0MFF	SP9PTG
3Z0MSPO (06) 3Z0NUFI (06)	SP7PKI SP5PPK
3Z0NOF1 (00) 3Z0OL	SP4KSY
3Z0PG	SP4ZHT
3Z40PZF 3Z62PW (06)	SP9PTA
3Z62PW (06)	SP5NHV
4L0F	2M0UUA
4L0G 4L1DA	K3PD W7LPF
4L1QX	RW6HS*
4N0W	YU7WW OH2BH
4O3B (9/06) 4U1UN	OH2BH HB9BOU*
4W1BK (TRY)	
4X0T	VE3HO 4Z5FI
4X1FO	AA4V
4X2Z(1)	4X6UU
4X70R 4Z70R	4Z4TL 4Z4TL
4Z/0R	4Z4TL DL7DF
5B/DL7DF 5F3COM	SV8CS
5H1DN	SV8CS S57DX
5H2JD	K1JD
5N8NDP	IK5JAN
5N9GKA	N0OY
5N9SJA 5R8FL	N0OY G3SWH
5R8FU	SM5DJZ
5R8FU 5R8GT/p	DK8ZD
5U7B 5U7MA	I2YSB*
5U7MA	VK8ZMA 7K3BKY
5W0YY 5W1SA	JH7OHF
574ES (>9/06)	K3PD
5Z4ES (>9/06) 6K0VM 6Y5AF	DS5ACV W2WC G3RWF
6Y5AF	W2WC
7P8/G3RWF	G3RWF
7S3A 7S3F	SM3CER SM3AF
7S5Q	SM5COP
7X0RY (1)	OKIDYW
7X5JF	DJ8QP
7Z1SJ	EA7FTR KU9C
7Z1SJ 8P2K (1) 8Q7AK	G7COD
8S4Z	SM4SET
8S7T	SM7WYS
9A/DG0DE	DG0DE
9A/DH1ABC	DHIABC
9A/DJ3MWB 9A/DK2CH	DJ3MWB DK2CH
9A/DL1GEO	DL1GEO DL2RPS DL9CHR HA5FA IK3GES
9A/DL1GEO 9A/DL2RPS 9A/DL9CHR 9A/HA5FA	DL2RPS
9A/DL9CHR	DL9CHR
9A/HASFA 9A/IK3GES	HASFA
9A/OE6CAG	OE6CAG
9A/OK1DRX/mm	OKIDRX
9A/OM5AA	OM5AA
9A/FA4JJ	FA4JJ DL3PS
9A/FA4JJ 9A/VE3ZIK 9A60CVW	9A6Z
9(i)1.F	SP3DOI
9G5OO 9G5SE (8/06)	DL4WK AC3A
9G5SE (8/06)	AC3A
9H0VRZ	PB9ZR
9H3AB	FA1SL PE2HSB
2112U2	FA0BEA
9H3HS 9H3IE 9H3ON	PG9W
9H3X 9H3XYL	PEINGF FA0XYL
9H3XYL	FA0XYL

NTHLY SHE	ET 11.06
DQC @QSL-R	OUTES BERLIN
DX-Call	Manager
9Н3ҮМ	PE1OFJ
9H3YN 9H3ZR	FA3CUZ
9H3ZR 9H9FA (2)	PB9ZR PH2M
9J2CA	G3SWH
9Q1D	SM5BFJ*
9Q1NT 9O1TB	ON5NT F5LTB
9Q1TB 9V1YC	N5ID
A25/DF3GY	DF3GY
A25/DJ4LK A6/A92DU	DJ4LK PE1BSX
A7/M0ECE	W5IQS*
A71BX AH2J	EA7FTR JR1VAY
AT6MYL	VU2SWS
AT7LEO	VU2JHM
AY8A B1Z (1)	LU8ADX EA7FTR
B4X (1)	BA4XA
B7M	BG7LHY*
BD1DRJ/2 BD1WC	BD1DRJ* EA7FTR
BD2RI/2	BD1DRJ*
BD4XA	BA4XA
BD4XYL BG2QMP/2	BA4XA BD1DRJ*
BG4XAA	BA4XA
BG4XUA	BA4XA
BI4F (9-10/06) BT99LYG	BA4XA* BA4XA
BW2/JR3STX	JR3STX
BY1TX/2	EA7FTR
BY4XSL/4 C33IU	BA4XA G0OYH
C4M (2)	W3HNK
C56X (9/06) C91BWW	DL9USA CT1BWW
C91BWW CN2BC (9/06)	DJ2BC
CO2GL	EA5KB
CO3ET CT/DJ5YQ	IZ8EBI DJ5YQ
CT1JGA	DL3MCO
CT1JGA CT6A (2) CX0TTY (1)	CTIII T*
DP0EPO (06)	CX5BW DF8KN
E51APX	AISP
EA1/OZ5IFA	OZ5AAH
EA5/ON4LO EA6/DK2ZF	ON4LO DK2ZF*
EA6/DK4WV	DK4VW
EA8/DK3TNA EA8/DL5CW	DK3TNA DL5CW
EA8/DL5CW EA8/DL8SBX	DL8SBX
EA8/GM0VML	GM0VML
EA8AH (1) ED1NDA	RD3A EA1GAH
ED1OSM	EAIEWC
ED1SCC	EA1RCO
ED1SDC ED1TUI	EA1AUM EA1AHO
ED3SDC	EAIAUM
ED4ALM	EA4AKF
ED4FDV ED4SDC	EA4TD EA1AUM
FDSFL.	EA5FL
ED5FAC ED5SDC	EA5ADM
EDSTFP (06)	EA1AUM EA5DTV
ED6TPI	EA6ZX
ED6TSM (06) ED7SDC	EA6SB EA1AUM
ED/SDC ED8FFA	EA8URV
ED8SDC	EAIAUM
ED9SDC	EA1AUM
••	
THE REAL PROPERTY.	IAGO

9H3X 9H3XYL	PEINGF FA0XYL	ED8SDC ED9SDC	EAIAUM EAIAUM
Automatiks Logo und M AGCW-DL: DL-QRP-AG QSL VERIFIE  'mt Miglieds FUNKAMA'	w-DL  ggg *  tempel mit fitglieds-Nr. DIG*, RTC*, GDXF*, DBY CALL	RTC 2,	O 10 SC DL7UFR
Versandkos	ten 3 EUR · OV-	Sammelbestel	lungen sinnvoll!

DX-Call	Manager
EE1SDC	EA1AUM
EE7CQ	EB7AEY
EF1SDC	EA1AUM
EF3IB	EC3AKY
EF8A(1)	EA8AUW
EF8OTR	EA8AUW
EF8RHG	EC8ABQ
EG5IEG/mm	EA5FJL
EG5IEG/mm EVF1VFH EM5U	F1VFH UT2UB
EN5D	UT7DK
EN9M	UR5MID
EO5M	UR0MC
ER1QQ	ERIDAF
ER570C	ERIDA
ES15L	ESIQD
ES15L	ES6PZ
EX8QB	IK2QPR
F/RD1AL/mm	RD1AI
F5REF (10/06)	F2WS
FG/DL5CF	DL5CF
FM5DN	KU9C
FO/KM9D	OM2SA
FP/G3SXW	G3SXW
FP/G3TXF	G3TXF
FP/G3TXF	G3TXF
FY/W6IZT	W6IZT
GB0RAF (06)	G0DBX
GB2BF GB2LI (06) GB6SWL	G4DFI G0GRI
GD0BPS H2E (1)	G6XOU G0PBS 5B4AGE
HA501DAE	HA1DAE
HA506NF	HA6NF
HB0/DF4OQ	DF4OQ
HB0/DF4OR	DF4OR
HB0/DG7TG	DG7TG
HB0/DJ5BX	DJ5BX
HB0/DK9FEC	DK9FEC
HB0/DL1ZBO	DL1ZBO
HC1MD	K8LJG
HC8N (1)	W5UE
HF35PCL (06)	SP6PCL
HF440W	SP7KEP
HF45Z (06)	SP9BGS
HF7JKD (06)	SP7MOA
HG1S (1)	HA1KSA
HI8/IW2OAZ	IW2OAZ
HK8RQS	EA5KB
HP3XBH	W4WX
HS0ZGQ	DL1MJF
HS0ZGQ HZ1MD IA5/I5HLK IA5/IK5ABG	PA2V I5HLK IK5ABG
IA5/IK5ABG IA5/IK5BCM IA5/IK5BQW IA5/IK5CBE	IK5ABG IK5ABG IK5ABG IK5ABG IZ7CTE
IB0/IZ7CTE IC8/I0KHY IC8/I5WEA	I0KHY
IF9/IN3XUG IG9/IK3AWP	I5WEA IN3XUG IK3AWP
IG9/IT9RKR	IW9HLM
IH9/IK2FIL	IK2FIL
II1ARD	IS0SDX
II1ARU	IS0PGF
II7BAT	IW7EGQ
II7CC	IZ8DDG
II8MM	IZ8FBS
IQ0AM	IS0AGY
IQ0PG	IK0AZG
IQ1RY (1)	IK1HXN
IQ3UD	IV3DSH
IQ3UD IQ5LV IQ6CC IS0/DF9TF	I5NZR IZ8DDG DF9TF
IS0/12AE	I2AE
IU1WFC	IZ1GCZ
IU2P (2)	I2PJA
IU3TS	IQ3TS
IU9MK	IW7EEQ
IX1/I1ABT	IIABT
IY1TTM	IWIRIK
IY4FGM (06)	IK4UPU
J49FD	SV9KIF
J79DL	N1DL
J79MD	N1DL
J7R (1) JT800OK	NIDL OK1XC LA3EX
JW3EX JW5X JW7XK	LA5X LA7XK
JW8DW JW8XU JX9NOA JY3ZH	LA8DW LA8XU LA9NOA
JY3ZH	DJ9ZB
K0ARY/VP9	K0ARY
K1B (8/06)	K1PAR
K1C (9/06)	WA4BRL WB2YQH WX3B*
K2L (8/06) K3B (9/06) K4B (9/06) K5N (9/06)	KY4Z W5MF
K5N (9/06) K5P (9/06) K5R (9/06) K6P (9/06)	K5UN KD5PCK KM6HB*
K7A (7-8/06) K7N (9-10/06)	K6HTM K7NN W7WES
K7T (8/06) K8A (8/06) K8S (8/06)	W8SZ K98IKW

DX-Call	Manager
K8W (8/06)	K8KHZ
K9P (9/06)	K9US
KG4DX	W4WX* KH7TV
KH0/KH7TV KH2/JI1NCZ	JIINCZ
KH2/N1YN	JA1AQV
KH2/N7XM	N7XM
KH2T	JLIEAN
KH6BB	KIER*
КН6ҮҮ	K2PF
KH7X (1)	K2PF
KP4RV	AI4U*
L20H (2)	EA7FTR
L44DX (1)	EA5KB
L55D	LW1EXU*
LA/DG1RUG	DG1RUG
LA/DM2KL	DM2KL
LA/OH7CW	OH7CW
LA/SM6CMU	SM6CMU
LN3Z	LA9VDA
LN9Z	LA5KO
LR1F(1)	LU5FD
LT0H(1)	EA7FTR
LU/RIÀNF	RK1PWA
LUIQS	IK2QPR
LU8XW (1)	WD9EWK
LX/DH2WQ	DH2WQ
LX/DK1WV	DK1WV
LX/DL6KR	DL6KR
LX/DL6WT	DL6WT
LX/DL6WT LX/OK1FBH LX/ON6RJ	OK1FBH ON6RJ
LX/ON6WR	ON6WR
LX/OP7A	ON4PVH ON4BAG
LX/OQ0A	ON6UM
LX/FA0HEL	FA0HEL
LX/FA2PIM	FA2PIM
LX9UN	LX1NJ
LY6M	LY1DS LY2CY
LY9Y (WAEDXCW06) LZ13ARDF	LZ1KZA
LZ26ZA LZ5HST LZ80R	LZ1KZA LZ1PJ
LZ80R MD/AC8W	LZ1PJ LZ1BJ AC8W
MD/K8DD	K8DD
MD/W4DU	W4DU
MJ/EI7CC	EI7CC
MM/DK8XF MM/F5CWU	DK8XF F5CWU DJ6AU
MM0XAU	DJ6AU
MS0SCG/p	M0SCG
MS0WRC/p	G0MTD
MU0ARC	G3LP
MX1SWL	G6XOU
N4P (8/06)	AG4GO
OA4/YT7RW	YT7RW
OF6A	OH6AA
OH0AL	OH2AL
OH0E	OH2MM
OH0L(1)	OH3BHL
OHOI (1)	DJ2PJ
OHOVAC (1)	OH1KAG
OH0KAG (1) OH0M (1)	OHIMM
OH0MM	OH2MM
OH0Z (1)	W0MM
OJ0LA	LA9VDA
OJ0RJ	OH0RJ
OK8YM	DL5YM OK1MR
OL3A (1) OL3Z (1) OL5Q (1) OL9R (2) OM50KKF	OK 1HMP
OLSQ (1) OL9R (2)	OK1HRA OK1WMV* OM7PY
OM50KKF	OM7PY
OM8A(1)	OM3RA
ON4DÀMIAN	ON4CP
ON62POL	ON4NOK
ON900BN	ON6NB
OO7K	ON7RK
OP0P	ON6DP
OP1W	ON6CW
OP4K	ON4JZ
OQ1C	ON4ON
OT7T	ON4UN
OX3XR	OZ3PZ DF2UU DL6LZM DL8AAV
OZ/DF2UU OZ/DL6LZM OZ/DL8AAV	DL6LZM
OZ/DL8AAV	DL8AAV
P29CVX	SM6CVX
P29NI	G3KHZ
P40KM (1)	W4GKM
P40LL	WO0Z
FA400RVR	PD0NTB
FA6Z/LX	FA1K
PC6NHW	FA3CNX
PJ2/LY4F	LY4F
PJ2F PJ4/FA3CNX	LY4F LY4F FA3CNX
PJ4LS	FA0JLS
PT5A (>1/06)	AI4U*
PX2T	PY2DN
PX5E (>1/06)	AI4U*
R1ANC (1/06)	RU1ZC
RIFJT	UA4RC
RIMVI	RX3RC*
R40VAZ	RX4HJ
R73SRR	UA3DX
R860T	UA3PM
RA9LI/9 (>5/06)	UA9LP
RK0BWW/p (9/06)	UA0BA

X-Call	Manager
K2FWA (1)	DK4VW
K6WWŴ/p Г9W (1)	RA3AKF RZ9WWH
UlA(l)	RU1AE
W0AJ Z6AWP/6	W3HNK* RV6AB
50FIRAC	S59DZL
59A.A/TK 79SG	S59AA IZ0CKJ
A3C	SM3CZS
A5D A5N	SM5DJZ SM5NBE
C6C	SM6DEC
D3N G3U	SM3NXS SM3CXS
13A	SM3LIV
IOWPX I2W	SM0OGQ SM3WMV
16A	SM6JSM
NOHAL NOJP	SP5ZIP SP9PKZ
N0LUB	SQ8GBE
NOMME NORSC	SP3KUJ SP6ZPZ
N0RUN	SP5PPK
NOUB N100SZ	SP5PPK SP9PGB
N130LO N1X	SP2ZNA SP5XVY
N3D	SP3DOI
N40KB	SP9ZHR
N4PW N5MPW	SP4KSY SP5XVY
N5WAM	SP5YMU
N60AWM N63TDP	SP4KSY SP4ZHT
N6I	SP6YCV
N6W N700DR	SP6ZKO SP3PFY
N705L	SP5YOC
N7Q (1) N8C	SP7GIQ SP8HZZ
N8M	SP8MI SP8ONZ
N8R N9R	SP9BRP
N9R O5M P0KJT	SP5MXA SP9KJT
Q3A Γ2A	SP3BLP
Γ2Α U/ <b>KJ9I</b>	T93Y KJ9I
U0ARA	HA3JB
U9GD V3/OE3MHU	DJ2AVB OE3MHU
V5/G2JL	G2JL
V5/GM3YOR V5/OM5FM	GM3YOR OM5FM
V5/FA3GCV	FA3GCV
V6/DJ8QP V8/DL8MCA	DJ8QP DL8MCA
V8/HA4XG	HA4XG
V8/IK1RAE V8/OK1MBZ	IK1RAE OK1MBZ
V8/OK1MKI	OK1MKI
V8/SP6GVU V9/DL1ARD	SP6GVU DL1ARD
V9/DL1TX	DL1TX
V9/DL3HQN V9/DL5NUA	DL3HQN DL5NUA
V9/G8VHB	G8VHB
V9/ON4BB V9/ON5JE	ON4BB ON5JE
X1CS	SVIDBY
Y8GE Z8L/p	SV2DGH SV3GKE
80B	MR6Z*
80W 88AS	JM1JLS JP1IOF
88DB	JH1UUT
88JW 88ST	JH3JWW JR3STX
88YN	JE1SYN
9/DL1HUF A0/DJ8QP	DL1HUF DJ8QP
AOU A2/SP5IXI	TA2KK VK6DXI
44/KH0DQ	JF1SQC
A4CW A9F	F8CVR KA4UFT
C2T	TA2MW
F/DL2JRM I8CBT	DL2JRM EA7FTR
J3SL	F5PSA
K/DF6ZY K/F1ADG	DF6ZY F1ADG
K9Z	EA4BT
M2C (06) M3NV	F6KUF F2WS
M5ECL	F8KIS
M7BV M8ANG	F6KVD F6KQK
P20CE	F5LGF
R8CA F8PK	F6CBC F4EGS
U/F5LDY	F1CGN
A0YAY A1ONY	IK2QPR RZ3EC
E0YDA	RA0WA
E1RLH/1 E2FGE	RA1QY OE3GEA
E3FAP (06) E3LRG	RA3ARS RV3LZ

	DX-Call	Manager
1	UE3NFF	RA3NN
1	UE3RGR/p UE3SSM	RA3RBL UA3SDY
1	UE6LRD	RK6LWA
1	UE6WAA (9/06) UN8GF	RA6AU IZ8CCW
1	UPOL	DL8KAC
1	UP1AF UQ1D	DL8KAC EA5KB
1	UU7J (1)	UU0JM
1	UV8M (1) UW5Q (1)	UX3MR UR3QCW
1	UW5Û (1) UW8I (1)	UY2UA UT2IZ
1	UZ4E	UR4EYN
1	V31AN V31AN	FISTS WZ8C*
1	V31DU (9/06)	K9DUR
1	V31EA (06) V31EA (06)	FISTS WF5W*
1	V31MD	NM2D
ı	V31MR V31MR	FISTS K5WQG*
ı	V31OR V31PW	K9DUR
ı	V31PW V31TN	K9DUR K9DUR
ı	V31UU	FISTS
1	V31UU V5/DF3GY	WB5IUU* DF3GY
ı	V5/DF6QP	DF6QP
ı	V5/DJ8VC V5/DL8JS	DJ8VC DL8JS
ı	V5/G3RWF	G3RWF
ı	V5/HB9QQ V51LK	HB9QQ DJ4LK
ı	V55O/p (9/06) VE1/F5AHO	DJ4LK
ı	VEI/F5FAC	F5AHO F5PAC
ı	VEIOTA (10/06)	VE1VOX*
ı	VK0JLX VP2V/AH6HY	VK2JLX AH6HY
ı	VQ9JK	G4FJK
1	VY0/VE2XB VY0ICE	VE2XB VE2AWR
ı	VY2/F5AHO VY2/F5FAC	F5AHO F5PAC
1	VY2/N3DXX	N3DXX
1	W0L	K9ZTV
ı	W1A (8/06) W4PL/4	NIIW K4KWK
ı	W6A (9/06) W6B (9/06)	K9ONA KI9A
ı	W6C (9/06)	K0DEW
1	W6D (9/06) W6E (9/06)	KB0STN N0YKG
1	W6F (9/06)	W5GGW
1	W6G (9/06) W6H (9/06)	AE5MH KC9VF
1	W6I (9/06)	WA5ETK
l	W6J (9/06) W6L (9/06)	K6HFA W7KU
1	W6N (9/06)	AD6WL
1	W6O (9/06) W9S (9/06)	W6OGV KB9YXV
1	W9T (9/06)	W9EM
ı	WP3C(1) XE1L	W3HNK WA3HUP
ı	XE2MX	K6VNX
ı	XU7POS (>6/06) XU7TAS (>6/06)	ON7PP ON7PP
l	XU7TZG (>6/06) XW1A	ON7PP E21EIC
ı	XW8KPL	RU3DX
ı	YA/IK1UGX YB0DPO	IK1UGX K3AIR
ı	YB0IR	W4JS
ı	YB8TAF YE1AA	EA5KB ON4RU
	YI9DXX	KAIZFE
	YI9RKB YN2N	SP1RKB TI2OHL
	YT3B YV1FM	UA3AB
ı	YVIFM YX5IOTA	IT9DAA IT9DAA
ı	YZ6AMD (>9/06)	EA7FTR
ı	Z22JE Z33Z	K3PD DJ0LZ*
ı	Z36A	DJ0LZ*
ı	ZA/UT7DW ZA/Z35M	DK6CW* Z35M*
ı	ZAIE	I2MQP
ı	ZB2FX ZC4VJ	G3RFX G3AB
ı	ZD8I ZG2FX	G4LTI G3RFX
	ZL4IR	W8WC
	ZL9BSJ ZP8AE	ZL2BSJ EA7FTR
	ZS1/G3RWF	G3RWF
	ZS2BS ZV100SD	DJ5MS PS7AHR
	ZW5B (2)	W3HC*
	ZW5F	PP5BZ PY2MNL
	ZX2B (2) ZX5J (>1/06)	AI4U*
	ZX7A(1) ZY1A(>1/06)	PS7TKS AI4U*
	<ul> <li>nur direkt</li> </ul>	
1	(1) WWDXRTTY200 (2) WAEDXSSB2000	)6 5

## **QSL-Splitter**

Im Berichtszeitraum gab es u.a. die folgenden direkten OSL-Eingänge: 9H3LEO, 9H3MR (IK1PMR), EA9IB, T77EB, TY5LEO, VU4AN/ VU3TLY, VU4AN/VU3PLM, ZB2EO; sowie via Büro (meist über einen Manager): 3V8SM, 5B/HA5PP, 5K5Z, 5Z4/OM2DX, 6M0MM, 7P8/JH4RHF, 7Z1UG, 8Q7EA, 9G5TF, 9K2CO, 9M2AX, C21DL, CP6CW, CO2T, CT9P, CU2/CU3AA/p, CU3AA, CU9X, CW2A, EK0B, EO60G, EP3HR, ET3TK, FM/ F5TGR, FM/IV3JVJ, FR/F6BUM, FS/ W3ARS, GU3UOQ, H44MS, HA7TM/HI9, HLOC, J75RZ, LX/DK4ARL, MJ/K8PT, MJ/ PA3GIO/p, MM/DH5JBR/p, MU0EXV, N2TK/ NP2, OD5RMK, OY/DL2RMC, OY9UR, P29VMS, PA3HHT/6Y5, PJ2B, P3J, P49Y, PJ2/DL8OBQ, PY0F/EA2RC, R0K, R1MVC, R1MVW, S79MH, S92RI, SV5/DL2RPS, SV9/OH4FR, ST2YJ, SU9ZZ, SX9G, T33C, T88CC, T96C, TA4/DL6RO, TF7/LX9EG, TT8AMO, TT8M, V47UY, VK9AA, WB9CIF/ J6, XU7ACJ, XU7ALI, XU7AYY, YI/ OM2DX, YM0KA, ZA1UT, ZA/DL3OCH, ZA/DM5TI sowie ZB2/ON6NP.

QSL-Karten für **4W1BK** (Mai 2003) gehen nicht mehr an Stu, WA2MOE (†), sondern nunmehr an Garth, VE3HO.

G3TEV, QSL-Manager von **9J2BO**, beantwortet künftig nur noch Direktanfragen.

QSLs für die indische Sonderstation AT6MYL (aktiv während des World Wide YL Meetings in Mumbai bis 29.10.06) gehen ausschließlich via VU2SWS.

Büro-QSLs für Gerds, **DL7VOG**, Aktivitäten von HK0 können ganz einfach per E-Mail über *hk0qu@dl7voq.de* angefordert werden.

D44TD-Karten (OP John, IZ2DPX) kommen ausschließlich direkt von Antonio Jose Xara' Costa, CT1EKF, Centro Vidreiro 917, Bustelo 3720 262 Oliveira Azemeis, Portugal.

Die kongolesische PTT-Behörde hat nunmehr die lang erwarteten ersten Rufzeichen zugeteilt: **9Q1D** an Gus Jagero, SM5DIC (QSL via SM5BFJ); **9Q1EK** an Georges, VE2EK (QSL







Jovica, T98A, im Shack als ST0RM.

direkt an Georges Schleger, United Nations-Monuc-Radio Okapi, Kinshasa 12 Av. des Aviateurs B.P. 8811, Democratic Republic of Congo); **9Q1NT** an Ghis Penny, ON5NT (QSL via ON5NT); und **9Q1TB** an Philippe Trottet, F5LTB.

QSL-Wünsche betreffs C31LJ gehen neuerdings an VE3EXY, da sein bisheriger Manager (VE3GEJ) verstorben ist.

In diesem Jahr geht die QSL von C56X über DL9USA. Roy, DL7UBA, hatte 1993 dieses Rufzeichen inne und bekommt noch heute viel Post, da er in einigen Listen als einziger Manager aufgeführt ist.

Antonio, EA5RM, verweist darauf, dass das **S01R-**Log nun im LoTW verfügbar ist. Büro-QSLs gehen inzwischen ebenfalls raus.

Wie QSL-Manager, Boris, T93Y, berichtet, funkt Jovica, T98A, nach Ablauf der ST0RM-Lizenz unter dem neuen Rufzeichen ST2A weiter. QSLs gehen an Boris Knezovic, P.O. Box 59, BA-71000 Sarajevo, Bosnia and Herzegovina.

Die Aktivitäten von TT8LN (12.2. bis 5.6.06) wurde vom DXCC-Gremium für das DXCC-Diplom anerkannt.

Bei YU6AO (Montenegro) waren bis Ende September bereits 8000 Direktbriefe eingetroffen, allerdings hat man schon 25 000 Verbindungen (QSOs bis 15.8.06) bestätigt. Fotos und die Online-Logs findet man unter www.yu6ao.info.

Tnx für die QSL-Karten via DG0ZB, DJ1TO und DL7VEE.





#### Rufzeichen Adresse

	Rufzeichen	Adresse
	34J7WMF	Alexandr Protasov, Box 18, Baku, AZ 1000
	4L4ND	David Nozadze, Box 7, 282500 Gori
	7K3BKY	Yuichi Yamamoto, 2-B Parmelhouse 440-1, Aoyagi, Maebashi Gumma 371-0056
	8P6GU	Haschel Bynoe, Dayrells Hill Christ Church, Bridgetown
	8P9NX	Peter Cross, 90 Greenpoint, St. Philip, Barbados
	9Q1EK	Georges Schleger, United Nations MONUC-Radio OKAPI, 12 Ave. des Aviateurs BP 8812, Kinshasa
	9V1FJ	Barry Fletcher, 54 Coronation Road West# 03-04, 269266 Singapore
	AI4U	Jeffrey R. Folk, 233 North St., Lewisville, NC 27023
	AISP DA4VA	Richard H. Harris, D3-323, 8201 Golf Course Rd. NW, Albuquerque, NM 87120
	BA4XA	Kevin Yang, Box 59, Lian Yun Gang, JS 222002
	BDIDRJ	He Lei, Rm 1705, Tower B, No.36 Beisanhuan East Road, Dongcheng Dist., Beijing 100013
	BG7LHY C94AH	Jordan Lv, Box 003-20, Shen Zhen 518003
	E20WXA	Bernardo, Box 329, Quelimane
.	EA4BT	Chai Nanmai, Box 6, Sapamai 10221 Francisco Crespo Campo, Box 1315, E-28800 Alcala de Henares
	ET3BN	Peter Haferkorn, Box 150194, Addis Abeba
	EX8AB	Narynbek Djunushev, Box 2677, 13802 Tallinn
	F1CGN	Fabrice Plet, 58 Avennue Rene Lebail, F-91210 Draveil,
	F5AHO	Jean-Pierre Kaeuffeur, 15 bis chemin des Bucherons, F-68400 Riedisheim
	F5PAC	Joel Sutterlin, 1 rue du Rossberg, F-68310 Wittelsheim
	F5PSA	Lionel Schneider, 43 Ave Pasteur, F-19380 Forges
	FISTS	FISTS QSL Bureau, 1020 Long Island Drive, Moneta, VA 24121, USA
	FJSDX	Phil Delcroix, Box 213, F-97096 St. Barthelemy Cedex
	FS5PL	Lionel Phalier, Residence de la Baie Orientale Lotissement Nr. 241, BP 58, F-97051 St. Martin
	G3KHZ	Derek Cox, 18 Station Road, Castle Bytham, Grantham, Lincs NG33 4SB
	НАЗЛВ	Gabor Kutasi, Box 243, H-8601 Siofok
	HB9BOU	Herbert Aeby, Rte du Moulin 1, CH-1782 Belfaux
	IT9DAA	Corrado Ruscica, Via Cap. Salemi 45, I–96019 Rosolini - SR
	JE1SYN	Toshikazu Ikeda, 1-34-8, Amagawaoshima, Maebashi, Gumma, 379-2154
	ЛF1SQC ЛH1UUT	Sei Morikawa, 24-8-506, Tatsunocho, Hiratsuka, Kanagawa, 254 Sadayuki Satoh, 5-1-10, Oozo, Utsunomiya, Tochigi,
	JP11OF	320-0014 Toshio Kobayashi, 409, Kamisano, Takasaki,
	JR1VAY	Gunma, 370-0857 Akira Fujimoto, 6-33-3, Nagao, Tamaku, Kawasaki-City,
	JR3STX	Kanagawa, 214-0023 Nob Hase, 28-5-101, Fujigaoka Cyou, Suita-City,
		Osaka, 564-0081
	LWIEXU	Box 907, La Plata, 1900 Buenos Aires
	LY4F	Viaceslav Cerlin, Zadeikos Str. 24-25, LT-06321 Vilnius
	OH2BH OK1XC	Martti Laine, Savasundintie 4C, FIN-02380 Espoo Josef Miksatko, Drachov 79, 39201 Sobeslav
	ON7PP	Patrick Piesen, Hermans Lybaertstraat 35 bus 1, B–8301 Knokke-Heist
	PD0NTB	J.C. van Ouwerkerk, Willem de Zwijgerlaan 6, NL-2316 GB Leiden
	PS7AHR	The Brazilian Amateur Radio Historical Archive, Box 2021, 59094-970 Natal - RN
	R7C	Found & Academy "World Encyclopedia of Travel", Box 2007, Moscow 101000
	RK1PWA	Nick Shapkin, Box 73, Amderma 164744
	RX3RC	Roman A. Novikov, Box 21, Tambov 392000
	S57DX SM5BFJ	Slavko Celarc, Ob Igriscu 8, 1360 Vrhnika Leif Hammarstrom, Lerklockan 4, S-730 91, Riddarhyttan
	SM6CVX SV8CS	Hans-Olof Hjelmström, Källtorpsv 2, S-543 35 Tibro Spiros Chimarios, Box 114, GR-29100 Zakynthos Island
	T93Y	Boris Knezovic, P.O. Box 59, Sarajevo BA-71000,
	TI8II	Carlos S. Bedoya, Box 119, Puntarenas 5400
	TR8JCV	Jean Claude, Box 4110, Libreville
	VE2AWR	Serge Langlois, 1291 Du Comte, Charlesbourg, QC G2L 1B8
	VK4VB	Ralph Karhammar, 2123rd St. NW, Washington, DC 20008-1908
	VK8ZMA	Mike Alsop, Box 42955, Casuarina, NT 0811
1	VK9NS	Jim Smith, Box 90, Norfolk NI 2899
	VP8LP	Bob McLeod, PO Box 474, 75 Davis Street, Stanley, Falkland Islands
- 1	VI 12 IHM	Lion Aloy Pay 272 Mollowerom Pangalora \$60002

W2IK/WTC911 Robert J. Hejl, Box 6731, San Antonio, TX 78209

Lion Ajoy, Box 373, Malleswaram, Bangalore 560003 Sarla Narayana Sharma, 7 Gaurav Appt., Nagar Nahur, Mulund West, Bombay 400080

Evan A. Roberts, Box 8288, Horseshoe Bay, TX 78657

Toshihiko Furuya, Box 746, Mercer Island, WA 98040

VU2JHM

VU2SWS

W5IQS

WB6Z

## Jubiläum an der TU Dresden

Im März 1956 fanden sich sieben Studenten des 2. Semesters Elektrotechnik der Technischen Hochschule Dresden zusammen und gründeten die Klubstation DM3KML (später DM3ML, Y41ZL). Sie zogen in ein Nebengebäude des Rektorats auf der Mommsenstraße. Am 13. Oktober 1956 wurde der von ihnen aufgebaute 80-m-Sender durch die Deutsche Post zum Funkbetrieb freigegeben. Dieses Datum markiert den Start des Amateurfunks an der TH/TU Dresden. Wegen der großen Nachfrage kamen 1958 die Klubstation DM3KVL (später



Festaktteilnehmer während einer Pause vor dem Haupteingang des Barkhausenbaus; im Antennenturm darüber befindet sich das Shack von DLOTUD.

DM3VL, Y48ZL) im überwiegend von Elektrotechnik-Studenten belegten Studentenwohnheim Güntzstraße und 1960 die Station DM3XL (später Y51ZL) im ehemaligen Gerichtsgebäude, Neute Schumann-Bau, dazu.

Die Station DM4SL (später Y67ZL) gehörte zur Ingenieurschule für Elektrotechnik, die Mitte der 80er-Jahre in die Sektion 8 (Informationsverarbeitung) der TU Dresden integriert wurde. Das Personal an den Stationen wechselte in der Regel mit den Studenten- und Assistentengenerationen, während TU-Mitarbeiter und in Dresden gebliebene Oldtimer eine Art Stamm bildeten. Die Gegenwart hat die vier Klubs im DARC-OV S07 mit der Klubstation DL0TUD (http://dl0tud.tu-dresden.de) vereint. Das Organisationskomitee der Jubiläumsveranstaltung hatte fast 250 ehemalige Mitstreiter angeschrieben, etwa 100 waren der Einladung gefolgt. Eike Barthels, von 1960 bis 1962 DM3NML und 1962 bis 1964 sowie jetzt wieder DM3ML, hielt, sozusagen als "Traditionsbewahrer", die Festrede und führte durchs Programm. Während des Festaktes wurde auch der vier OMs gedacht, die dieser Veranstaltung nicht mehr beiwohnen konnten: Bernd-Dieter Bauers, ex DM3RML†, Günter Böhme, ex DM3SML†, Dietrich Ebert, ex DM3PML†, Dr. Gerold Müller, DL1DXX†.

Die aktive Beschäftigung mit der Amateurfunktechnik übt damals wie heute positive Effekte auf das Studium aus, sodass aus dem genannten Personenkreis viele Doktoren sowie einige Professoren, wie z. B. Alexander Neidenoff, DK4JN, ex DM9ADL, Dietrich Schindler, ex DM2BSL, ex DM3UVL, Heinrich Stötzel, ex DM2ARL, ex DM3KML, hervorgingen. Last but not least funkten auch Fachbuchautor Detlef Lechner, DL4FT, ex DM2ATD, sowie die FA-Redakteure Bernd Petermann, DJ1TO, ex DM2BTO, und der Unterzeichnende an der TU Dresden.

Nicht nur mit der 70-cm-Erstverbindung DL/SP 1959 und zahlreichen Siegen oder vorderen Plätzen in Contesten (speziell UKW), sondern auch mit einer Vielzahl von Veröffentlichungen im FUNKAMATEUR haben die Funkamateure der TH/TU Dresden ein Stück deutscher Amateurfunkgeschichte entscheidend mitgeprägt. Heute ist die UKW-Contestgruppe der TU Dresden unter DM7A von 144 MHz bis 76 GHz QRV, wie Fabian Kurz, DJ1YFK, und Dr. Hartmut Siegel, DG2DWL, in eindrucksvollen Vorträgen auf der Festveranstaltung berichteten.

Dr. W. Hegewald, DL2RD, ex DM3CVL



Teil der Geräteausstellung zur Festveranstaltung: hinten links der legendäre S23-Handfunksprecher mit "Geweih" (FA 2+4/80), daneben 2-m-Geräte mit 600-kHz-ZF (FA 12/83 ... 4/84), rechts unten 150-W-PA zum 10-Band-KW-TRX ML-77 (FA 11/78 ... 4/82). Fotos: DL2RD, DL3VL

## CW-QTC

#### ■ Plädoyer für die Telegrafie

Friedrich II., der "Alte Fritz", hat einmal gesagt: "In meinem Staat kann jeder nach seiner Fasson selig werden". Eine Aussage, die uneingeschränkt auch auf das weite Feld des Amateurfunks zutrifft

Jeder findet hier sein Interessengebiet: DXer, Contester, Diplomsammler, Inseljäger, hoch spezialisierte Entwickler, die kaum noch zum Funken kommen, ebenso wie rein kommunikativ arbeitende HAMs, die Freunde der Big-Guns wie auch die QRPP-Enthusiasten, die Längstwellenspezialisten ebenso wie Höchstfrequenzler. Nimmt man nun noch die unterschiedlichsten Modulationsarten hinzu, angefangen bei CW und Fonie bis zu den modernen digitalen Betriebsarten, die nur noch mit Hilfe eines Computers codier- und decodierbar sind, so vervielfachen sich die Möglichkeiten, die das Hobby Amateurfunk bereitstellt. Warum also sollte man sich angesichts dieser Fülle an Variationen (die angeführten Beispiele erheben bei weitem keinen Anspruch auf Vollständigkeit) mit CW, der einfachsten und ältesten, jedoch auch effektivsten Betriebsart beschäftigen?

Der Hauptgrund: CW macht Spaß, kann mit minimalem Aufwand erlernt und betrieben werden und erzeugt ein außerordentlich befriedigendes Gefühl, weil hier, mehr als bei allen anderen Be-

triebsarten, eine eigene Leistung erbracht werden muss: die Decodierung und Codierung des empfangenen bzw. gesendeten Textes durch unser "human interface" – also der Kette aus Ohr, Kopf und Finger.

In den Zeiten der schwarzen Einheitstransceiver, maschinell gefertigter Antennen sowie der konfektionierten Kabel ist CW oft die einzige Möglichkeit, eine eigene Leistung in unser Hobby einzubringen. Es gibt jedoch noch weitere gute Gründe – beispielhaft seien genannt: internationale Kontakte ohne Fremdsprachenkenntnisse, zuverlässige europaweite Verbindungen bei niedrigster Leistung ohne BEMFV-Anzeige, erfolgreiches Arbeiten seltener Stationen, unauffällige Antennen, preiswerte Transceiver, die oft selbst gebaut werden können, "lautlose" Familien schonende Arbeitsweise, urlaubsfreundliches Equipment...

Weitere Informationen, Literatur, Hilfen für Einsteiger, Hilfestellung zum Erlernen der Telegra-



fie nach verschiedenen Methoden und Links zu computergestützten Lernprogrammen sowie wichtigen CW-Homepages, Übungstexte und Gebevorlagen finden Sie auf unserer Homepage www.agcw.org genauso, wie unser Diplomprogramm und unsere Contestausschreibungen. Nicht vergessen werden soll die periodisch er-

scheinende AGCW-DL-Info mit vielen interessanten Themen rund um CW sowie unsere Mailingliste. Hier können Sie Ihre CW-Themen einbringen oder Fragen stellen zu allen Themen der Telegrafie, gleich ob Einsteiger, Anfänger, Wiedereinsteiger oder praktizierender Telegrafist. Jede Frage wird kompetent von erfahrenen OPs beantwortet. Diese Liste wurde für Mitglieder und Freunde der Arbeitsgemeinschaft Telegrafie (AGCW-DL) eingerichtet. Sie ist offen, das heißt, dass jeder Interessent die Liste abonnieren kann. Um an der Mailingliste teilzunehmen, senden Sie eine E-Mail mit folgendem Inhalt an agcw-request@mailman.qth.net; Titel

Ein Probeheft unserer Klubzeitschrift, der AGCW-Info, erhalten Sie bei Lutz Schröer, DL3BZZ, Am Niederfeld 6, 35066 Frankenberg, Tel. (06451) 25285, Fax: (0721) 151 526877, E-Mail d/3bzz@agcw.de.

(Feld bleibt leer); Inhalt subscribe.

Vergessen wir aber eins nicht: Telegrafie lernt und praktiziert man nicht im Internet oder in CW-Foren, Telegrafie lebt auf den Bändern. Greifen Sie zur Taste und genießen Sie Ihre CW-QSOs.

Dr. Detlef Petrausch, DL7NDF

## **QRP-QTC**

Bearbeiter:
Peter Zenker, DL2FI
Saarstr. 13, 12161 Berlin
E-Mail: dl2fi@dl-qrp-ag.de
Packet-Radio: DL2FI@DB0GR

#### ■ QRP an der See

Am 23.9.06 veranstaltete der OV E 09 sein 4. "QRP an der See"-Treffen in Todendorf bei Hamburg. Vor vier Jahren von der DL-QRP-AG angeregt, ist es inzwischen zu einer echten Tradition geworden. Die aufgewandte Zeit sowie die Arbeit im Umfeld haben sich gelohnt.

Der Spaß, den die Teilnehmer hatten, zeigt, dass Bedarf an solchen lokalen Treffen vorhanden ist. Da wir die gleichen Erfahrungen in Illingen, Regensburg, Jena und Gelsenkirchen machten, gebe ich den Bericht des OV im Original wieder, um anderen Ortsverbänden Mut zu ähnlichen Veranstaltungen zu machen. Die DL-QRP-AG wird interessierten Ortsverbänden beim Start eigener Treffen selbstverständlich zur Seite stehen. "Auch die vierte Auflage unseres Treffens "QRP an der See" war mit mehr als 80 Teilnehmern ein Erfolg. Obwohl aufgrund einer organisatorischen Panne keine Ankündigung im Hamburg-Rundspruch erfolgte und wir auch sonst wenig Werbung für das Treffen machten, standen schon eine halbe Stunde nach dem offiziellen Start 30 Besucher im Gästebuch. Bis zu Beginn des ersten Vortrags trafen viele weitere YLs und OMs ein und besuchten den Shop von QRPproject oder trafen sich zu einem ersten Kaffee in der Halle. Der weitest angereiste Teilnehmer war Johannes, LU7OC, aus Argentinien, der zudem noch seinen Geburtstag bei uns feierte.



Impression vom 4. "QRP an der See"-Treffen in Todendorf bei Hamburg Foto: DL2FI

Auch die Ausstellung der selbst gebauten Geräte unserer Mitglieder stieß auf großes Interesse. Vor den gut dokumentierten Exponaten von DL5KUA, DL9HAF, DL2LHG, DO1LKG und DL9HCW fanden sich immer wieder angeregt diskutierende Gruppen.

Um 11.30 Uhr startete das Vortragsprogramm mit Ralph, DL3LED, der uns sein Konzept des "shack-in-a-rack" vorstellte. Dabei handelt es sich um ein Road Case mit 19"-Einschüben, in dem sich vom Transceiver über die KW-Bandfilter bis hin zum komplettem PC inkl. TFT-Monitor alles "unter Dach und Fach" befindet. Ralph hat viele interessante Detaillösungen gefunden. Wir brauchen bestimmt nicht lange auf das "shack-in-a-backpack" zu warten.

Nach einer Mittagspause, während der sich die Besucher mit Essen und Trinken aus der Küche stärken konnten, ging es mit Andy, DG3XA, und seinem Vortrag "UKW-Contest, aber richtig" weiter. Andy, der über 20 Jahre Erfahrung im Contestgeschehen hat, ließ uns an seinem reichen Erfahrungsschatz teilhaben und schilderte,

woran man denken muss, um im Contest erfolgreich zu bestehen. Es müssen keineswegs die 175 000 W EIRP der Big Guns sein, um auf den vorderen Plätzen mitzuspielen. Wichtig sind optimale Vorbereitung sowie eine gute Betriebstechnik (der Standort tut allerdings noch ein Übriges – UU).

Im Anschluss an den Vortrag führte Niko, DL7NIK, sein Praxisseminar SMD-Löten durch. Etliche Zuhörer nutzten die Gelegenheit, aus erster Hand wertvolle Tipps für den Umgang mit SMD-Bauteilen zu erhalten.

Wir lernten, dass mit dem richtigen Werkzeug, einer vernünftigen Ausleuchtung des Arbeitsplatzes und ein paar Tricks auch ungeübte Selbstbauer keine Angst vor den "Insekten" haben müssen.

Aufgrund der großen Nachfrage wiederholte Olaf, DL2OH, anschließend seinen Vortrag über Blitzschutz aus dem vergangenen Jahr. Ergänzt um weiterführende Informationen brachte Olaf den Zuschauern die schwierige Materie nahe und sensibilisierte sie für angemessene Maßnahmen. Den Abschluss des Vortragsprogrammes bildete Udo, DL9HCU, der uns seine komplette QRP-DXpeditionsausrüstung vorstellte.

Überraschenderweise passt sein umfangreiches Equipment in einen Aktenkoffer und kann so als Handgepäck mit ins Flugzeug genommen werden. Udo faszinierte die Anwesenden mit einer ganzen Reihe von miniaturisierten Gerätschaften und pfiffigen Ideen.

Alle Organisatoren haben sich über die rege Teilnahme und die interessanten Vorträge gefreut. Wie wir am Rande der Veranstaltung von unserem OVV Lutz, DL5KUA, erfuhren, ist vorgesehen, den fünften Geburtstag unseres QRP-Treffens an einem neuen Veranstaltungsort zu begehen. Also, lasst Euch überraschen"!

# 1. Viadrina HAM-Radio Meeting

Am 16.9.06 ging unser Versuch, ein Amateurfunktreffen für Osteuropa ins Leben zu rufen, erfolgreich über die Bühne. Um es gleich vorweg zu nehmen: Es war ein voller Erfolg – das Viadrina HAM-Radio-Meeting lebt, ist nun installiert und wird im nächsten Jahr noch größer, noch besser, noch aufregender sein. Denn die Vorbereitungen zum 2. Viadrina HAM-Radio-Meeting 2007 haben bereits begonnen!

Bereits eine halbe Stunde vor Beginn strömten Funkamateure und am Amateurfunk Interessierte in die Halle 2 der Messe in Frankfurt (Oder). Leider waren unsere Kassiererinnen zu diesem Zeitpunkt noch gar nicht an ihrem Platz, sodass die ersten Besucher noch den Vorzug des kostenlosen Eintritts genossen. Insgesamt haben sich im Laufe des Tages immerhin 274 Teilnehmer einen DL-QRP-AG-Stempel als Eintrittskarte auf die Hand drücken lassen, einschließlich der "Eintrittsfreien" kamen somit mehr als 300 Besucher.

In der Halle hatten etliche Firmen, viele Flohmarkthändler sowie diverse Amateurfunkgruppen ihre Stände aufgebaut, sodass dort vom Start weg rege Betriebsamkeit herrschte. Eindeutige Schwerpunkte des Tages waren die ungewöhnlich gut besuchten Vorträge sowie das Treiben im Forum der Halle, in dem fast zu

jeder Zeit alle Tische besetzt waren. Der Anteil der Funkamateure aus Polen war hoch – das zeigt, dass die Idee einer Amateurfunkveranstaltung für Osteuropa dort auf Interesse stößt. Die deutschen Teilnehmer reisten teilweise von weither an, wenn auch erwartungsgemäß in diesem Jahr die Brandenburger und Berliner OMs besonders stark vertreten waren.

Besonderer Dank gilt Roland, DH2UAI, ohne den das erste Viadrina HAM-Radio-Meeting wohl nicht stattgefunden hätte, da er von mir wegen meiner Gesundheitsprobleme außer moralischer Unterstützung nicht mehr viel Hilfe bekommen hatte. Die Ortsverbände Frankfurt (Oder), Y22, und BIG ATV, D24, haben an das Gelingen geglaubt und tatkräftig zum Erfolg beigetragen, was bei einer derartigen "Neuinstallation" nicht selbstverständlich ist. Herr Türk (Messe Frankfurt (Oder)) zeigte sich in einem Gespräch sehr beeindruckt und war erfreut, dass sowohl die Halle als auch Freundlichkeit und Hilfsbereitschaft des Messepersonals hoch gelobt wurden. Er versprach, die Idee des Viadrina HAM-Radio-Meetings auch zukünftig zu unterstützen.

Der Vorsitzende des DARC-Distriktes Brandenburg, Wolfgang, DL8UAA, und die stellvertretende Präsidentin des Polnischen Ama-



Am Stand des FUNKAMATEUR auf der Viadrina: Ingo, DK3RED, Knut, DG0ZB (v.r.) Foto: DL2FI

teurfunkverbandes PZK, Eva, SP1LOS, waren den ganzen Tag anwesend.

Um das Treffen im nächsten Jahr im größeren Rahmen durchführen zu können, werden bereits jetzt weitere Helfer gesucht. Es gibt viel zu tun, bis wir unserem Ziel, in spätestens fünf Jahren das Niveau der DNAT (Deutsch-Niederländische Amateurfunktage) zu erreichen, näher kommen.

Wer bei diesem großen Projekt der Verständigung mitmachen möchte, meldet sich bei Roland, DH2UAI (dh2uai@t-online.de) oder bei Peter, DL2FI (dl2fi@qrpprcject.de).

Peter Zenker, DL2FI

## **UKW-QTC**

Magic Band, Topliste, Conteste: Dipl.-Ing. Peter John, DL7YS Am Fort 6, 13591 Berlin E-Mail: dl7yspeter@gmx.de Packet-Radio: DL7YS@DB0BLO

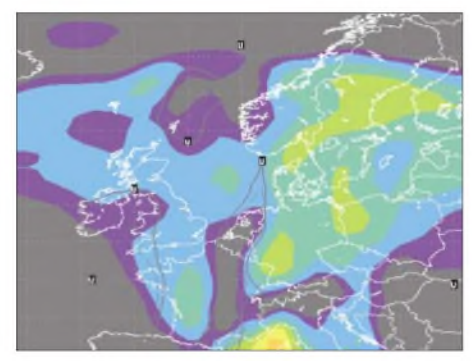
Aktuelles, Aurora, MS, EME: Dipl.-Ing. Bernd J. Mischlewski, DF2ZC Auf dem Scheid 36, 53547 Breitscheid E-Mail: df2zc@web.de

#### ■ DXpedition nach JN32CX

Gegenüber von Toulon in Südfrankreich befindet sich die Inselgruppe der Porquerolles, die aus UKW-Perspektive eine ganz besondere Eigenschaft besitzt. Sie liegt im Mittelfeld JN32, einem – von den Proquerolles einmal abgesehen – reinen Wasserfeld. Unter den Rufzeichen F5VHX/p und F1VJQ/p wird in der Zeit vom 27.10. bis 4.11.06 eine DXpedition von dort Meteorscatter- und Tropo-Betrieb durchführen. In FSK441 wollen die OMs auf 144,370 MHz mit QSY-Frequenz CQ rufen.

#### ■ Überreichweiten im September

Am 22. und 23.9.06 bauten sich troposphärische Überreichweiten auf 144 MHz von Finnland nach Polen und Tschechien auf. Sogar im Süden Bayerns konnte noch nach Finnland gefunkt werden, wie die Erfolge von Wolfgang, DL5MAE, in JN58VF aufzeigen.



Die von William Hepburn täglich im Internet (www.dxinfocentre.com/tropo\_nwe.html) herausgegebenen Vorhersagekarten für troposphärische Überreichweiten weisen für den 23.9.06 über der Ostsee deutlich bessere Bedingungen aus.

Wolfgang loggte mit seinen vier 17-Element-Yagis unter anderem ES6RQ (KO28), OH4LA (KP20), SM0KAK (JO89), ES5PC (KO38), SM1BSI (JO97) und OH1ND (KP00) – allesamt mit Entfernungen zwischen 1400 und 1700 km.

Nicht in jedem Fall gelang auch ein QSO, was an der "Wand" der OK- und SP6-Stationen im Pile-Up lag, die meist undurchdringbar war: In JN58 waren die DX-Stationen oft nur um die S2, während sie ein paar Hundert km nördlich mit S9 ankamen.

#### ■ HB0/DF0FA-QSL-Karten im Druck

Die QSL-Karten der Mikrowellen-DXpedition zum Sommer-BBT 2005 nach JN47SB sind im Druck und werden in Kürze versendet. Jens, DL7VTX, bittet um Entschuldigung für die QRL- und krankheitsbedingte einjährige Verzögerung. Seinerzeit gelangen in 48 Stunden



DXpedition unter erschwerten Bedingungen: HB0/ DF0FA Foto: Behrendt

vom 2560 m hohen Falknis 75 QSOs auf den Gigahertz-Bändern, bis ein drohender Schneesturm ein vorzeitiges Ende erzwang. Das ODX auf 23 cm mit 950 km brachte SK7MW aus JO65 und auf 3 cm DK5AI aus JO51 mit über 500 km.

Mit von der Partie waren Ragnar, DL7URH, Mirko, DG0LFG, Jens, DL7VTX, und Torsten Behrendt, der das Team beim Tragen der knapp 220 kg Ausrüstung über 5 km Bergpfade und 800 Höhenmeter bei Sonne, Regen und Schnee tatkräftig unterstützte.

## ■ Leoniden 2006 – ein letztes Aufflackern?

Alle 32 Jahre fällt der Leoniden-Meteoritenschauer durch eine besonders hohe Aktivität auf: Immer dann, wenn der Komet 55P/Tempel-Tuttle – die Quelle des Schauers – erneut sein Perihel (sonnennächster Bahnpunkt) durchschreitet. Im Jahr 1998 war dies der Fall, und tatsächlich erfreuten die Leoniden zwischen 1998 und 2002 die Funkamateure regelmäßig mit einer Fülle von Sternschnuppen, was im 6-m- und im 2-m-Band häufige, lange Meteoritenreflexionen bedeutete. Nach dem Jahr 2002 ließ die Leoniden-Aktivität dann wieder deutlich nach; die Schauer gingen auf ein vergleichsweise eher unterdurchschnittliches Normalmaß zurück.

2006 jedoch kann das noch einmal anders sein: Am 19.11. um 0445 UTC bewegt sich die Erde durch die Staubspur, die Tempel-Tuttle bei seiner Wiederkehr im Jahr 1932 hinterlassen hat. Astronomisch gesehen ist das eine sehr junge Spur; sie dürfte also noch recht kompakt sein. Deshalb kann es diesen November noch einmal zu einem "Outburst" mit hoher Schaueraktivität kommen. Bis zu 120 Reflexionen pro Stunde sind möglich, unter Umständen sogar mehr. Ein Meteoritensturm wie beispielsweise 1998 mit mehr als 1000 Reflexionen ist jedoch nicht zu erwarten.

2006 liegen Westeuropa und Westafrika günstig zum Schauer, sodass die UKW-DXer vom wohl für lange Zeit letzten intensiven Leonidenereignis gut profitieren sollten. Da es am 19.11.06 kurz vor Neumond ist und das Mond-

licht praktisch nicht stört, dürfte bei hoffentlich wolkenfreiem Himmel auch optisch einiges zu sehen sein.

#### ■ Contester in Skandinavien

Am Rande des Ham-Meetings anlässlich der 51. UKW-Tagung 2006 konnten DG0ZB und DL2RD in einem Gespräch mit OZ5TG, Contest-Manager des EDR, endlich einmal die Frage loswerden, warum in den IARU-Contesten so wenig skandinavische Stationen zu hören sind. OZ5TGs Antwort sinngemäß: Das QRM und der Andrang auf die CQ rufenden Stationen in Mitteleuropa ist einfach zu groß. Eine skandinavische Station mit Normalausrüstung wie etwa 100 W und Neunelement-Yagi muss unzählige Male anrufen, um mit ihrem wegen der Entfernung schon recht schwachen Signal gehört zu werden. Das ist auf die Dauer sehr frustrierend. Erst in der letzten Contest-Stunde, wenn viele Mitteleuropäer bereits beim Abbauen oder Kaffe trinken sind, steigen die Chancen, und diese Zeit wird von etlichen Stationen aus Skandinavien auch gezielt genutzt.

Beim Nordic Activity Contest (NAC) verhält es sich umgekehrt, hier sind viele Skandinavier QRV und hören auch auf mitteleuropäische Stationen (leider werden dabei jedoch die Antennen, besonders in LY, YL und ES, zu selten nach Süd bzw. Südwest gedreht – d. Bearb.). Also, OMs, richtet in der letzten Stunde der großen Conteste sowie jeden ersten Dienstagabend im Monat (2 m, andere Bänder siehe Termine) Eure Antennen nach Norden und Nordwesten!

#### ■ Magic Band

Die zweifelsohne interessante Saison scheint auch im Oktober noch nicht zu Ende zu sein. Am 2.10.06 konnten am frühen Abend britische und schottische Stationen via  $E_s$  nach CT und EA arbeiten.

Dank DX-Cluster ließ sich zudem um 1730 UTC CN8IG aufs Magic Band locken. Er wurde auch von deutschen Stationen erreicht. Nur aus dem süddeutschen Raum ließ sich zur selben Zeit nach SV und von West-DL nach LZ arbeiten.

### ■ 51. Weinheimer UKW-Tagung

Die Veranstalter der 51. Weinheimer UKW-Tagung, die am 23. und 24.9.06 in Bensheim stattfand, zogen eine positive Bilanz. Das Themenspektrum der Fachvorträge war wieder einmal sehr vielfältig.

Während der etwas aus dem Rahmen fallenden Podiumsdiskussion zum Thema Relaisfunkstellen kamen hochaktuelle Themen, z.B. das Verhalten bei Störern, die bekannte S6-Problematik oder auch der weitere Ausbau des Relaisnetzes in Deutschland zur Sprache.

Ausführliche Informationen zur UKW-Tagung finden Sie in dieser Ausgabe auf den Seiten 1252 bis 1253.

#### ■ Ergebnisse vom September-Contest 2006

In der Ortsverbandswertung des Contestpokals sieht es nach Auswertung des September-Contests ganz nach einem Zweikampf zwischen den Ortsverbänden Elbe-Elster und Bergkamen aus. Die Entscheidung dürfte bereits im Oktober fallen, wenn der Mikrowellen-Wettbewerb ansteht. Hier die momentane Reihenfolge:

anstent. The die	momentar	ie Rememorge.
<ol> <li>Elbe-Elster</li> </ol>	Y43	20495
2. Bergkamen	O47	18988
3. Goch	L06	14571
4. Zeitz	W17	10349
5. Schwerin	V14	9883

September-Contest – Top-Ten					
144	MHz Ein	mann	1		
1.	DL4NAC	B06	JN59SV	620	204770
2.	DO2ML	C15	JN68GI	569	199750
3.	DH9NFM	B21	JO50RF	509	160416
4.	DK1KC/p	B10	JN58QH	462	159718
5.	DF5GZ/p	A05	JN47AX	380	131112
6.	DC6BB/p		JO32SV	409	129669
7.	DK5DQ	O32	JO31PG	480	127391
8.	DK3DM		JO41DM	432	126186
9.	DK2MN	N41	JO32PC	433	107380
10	DJ8UV/p	D16	JO41IN	380	96882
10.	DJ&O V/P	KIU	JOHIIN	200	90002
10.	DJ&U V/P	KIU	JO4IIN	200	90002
	MHz Mehi			360	90002
	·	rman		1137	446797
144	MHz Mehi	rman	n		
144	MHz Mehi DR9A	rman A24	n JN48EQ JO50JP	1137	446797
144 1 1. 2.	MHz Mehi DR9A DL0GTH	r <mark>man</mark> A24 X17	n JN48EQ JO50JP	1137 1117	446797 358171
144 1 1. 2. 3.	MHz Mehi DR9A DL0GTH DK0BN	r <mark>man</mark> A24 X17 K15	n JN48EQ JO50JP JN39VX JO40QL	1137 1117 941	446797 358171 345081
144 1 1. 2. 3. 4.	MHz Mehr DR9A DL0GTH DK0BN DR2X	A24 X17 K15 F17	n JN48EQ JO50JP JN39VX JO40QL	1137 1117 941 975	446797 358171 345081 333445
144 1 1. 2. 3. 4. 5.	MHz Mehr DR9A DL0GTH DK0BN DR2X DF0OL	A24 X17 K15 F17 O26	JN48EQ JO50JP JN39VX JO40QL JO40BP JN48CO	1137 1117 941 975 885	446797 358171 345081 333445 295733
144 ) 1. 2. 3. 4. 5. 6.	MHz Mehr DR9A DL0GTH DK0BN DR2X DF0OL DK0A	A24 X17 K15 F17 O26 A02	JN48EQ JO50JP JN39VX JO40QL JO40BP JN48CO	1137 1117 941 975 885 817	446797 358171 345081 333445 295733 290910
144 1 1. 2. 3. 4. 5. 6. 7.	MHZ Mehr DR9A DL0GTH DK0BN DR2X DF0OL DK0A DR5A	A24 X17 K15 F17 O26 A02 R11	n JN48EQ JO50JP JN39VX JO40QL JO40BP JN48CO JO30EM	1137 1117 941 975 885 817 703	446797 358171 345081 333445 295733 290910 231470

#### ■ Amtsblattverfügung zu 50 MHz

Im September hat die Bundesnetzagentur in ihrem Amtsblatt Nr. 18 in Verfügung 36/2006 Nutzungsbestimmungen für den Frequenzbereich 50,08 bis 51 MHz durch den Amateurfunkdienst veröffentlicht.

Dort wird ausdrücklich klargestellt, dass es für die Genehmigungsklasse A keiner Sondergenehmigung mehr bedarf. Eine Einschränkung hinsichtlich des Rufzeichentyps gibt es nicht; es kommen also auch Klubstations- und Ausbildungsrufzeichen in Frage. 50 MHz darf übrigens erstmals auch von ausländischen Funkamateuren mit CEPT-konformer Genehmigungsklasse nach Empfehlung T/R 61-01 in Deutschland genutzt werden. Bereits erteilte Sondergenehmigungen haben Bestand.

Neu bei 50 MHz ist, dass der Sendebetrieb, der im Übrigen nur an festen Standorten erlaubt ist, der Bundesnetzagentur schriftlich angezeigt werden muss. Dazu enthält die Verfügung ein entsprechendes Formular. Einen Genehmigungsvorbehalt gibt es dabei aber nicht.

Es gelten bis auf weiteres die selben Nutzungsbedingungen, die bereits seit vielen Jahren für die Sonderzuteilungen gelten. Für Details sei auf den Text der Verfügung, die u.a. im Internetangebot der AGZ e.V. (www.agz-ev.de) zu finden ist, verwiesen.

Ärgerlich ist, dass nach wie vor lediglich die Sendearten J3E (SSB) und A1A (CW) erlaubt sind. Diese Beschränkung ist einem wissenschaftlichen Experimentalfunkdienst nicht angemessen. Gerade weil die Strahlungsleistung auf 25 W ERP begrenzt wurde, ist die Verwendung moderner digitaler Sendearten angezeigt und zur Steigerung der Reichweiten bei kleinen Feldstärken geradezu zwingend notwendig. Im internationalen Umfeld ist es unvermittel-

bar, warum gerade in Deutschland, das bei jeder Gelegenheit seine Hightech-Nähe betont, Datenfunkbetrieb – z.B. moderne digitale Protokolle wie etwa JT6M, PSK31 und Pactor Level 3 – ausdrücklich verboten ist, obwohl sein Störpotenzial gegenüber dem Primärnutzer keineswegs höher ist als das von CW und SSB. Die AGZ will sich nicht nur für die Freigabe des sogenannten "Datenfunkbetriebs" auf 50 MHz einsetzen, sondern weitergehend auch in diesem Frequenzsegment für eine reine Bandbreitenregelung eintreten.

Quelle: HamRadio 2day 246-2006

#### ■ SV/OE6IWG/p - UKW-DX im Urlaub

Walter, OE6IWG, ist dafür bekannt, dass er während seiner Urlaubsreisen in südliche Länder auch das eine oder andere seltene Mittelfeld befunkt. Im August dieses Jahres ging es mit dem Wohnmobil nach langer Zeit wieder einmal nach Griechenland, auf die Halbinsel Chalkidiki im Norden des Landes. Schon in den Jahren 1989 und 1990 hatten Walter und seine XYL dort in KM19UW Station gemacht. Auch diesmal wollte Walter das recht seltene Feld KM19 via Meteorscatter aktivieren.

Zunächst sah es aber eher so aus, als ob es mit dem Urlaub nichts würde, denn in der Nähe des Campingplatzes wüteten heftige Waldbrände. Glücklicherweise wechselte der Wind, und die Feuer machten nur 4 km entfernt kehrt. Walter und seine Frau konnten also in Graz losfahren. Glück hatte OE6IWG auch mit dem eigentlichen Standort auf dem Campingplatz: Der Standplatz von 1989 und 1990 war nicht mehr frei, aber der "Ersatzplatz" verfügte sogar über eine günstigere Abstrahlung Richtung Mitteleuropa.

Nach dem Antennenaufbau zeigten sich – nicht ganz unerwartet – Schwierigkeiten. Die Netzspannung schwankte zwischen nur 150 und maximal 180 V, sodass die PA nicht mehr als 100 W abgab. Das absolute Minimum lag sogar bei nur 121 V, sodass Walter zu Recht um sein Equipment fürchtete. Bei derartig exotischen Standorten zeigte sich wieder einmal, dass die Kombination von 12-V-Batterie mit Pufferung während der Empfangsperioden zweifelsohne technisch sicherer ist.

Hinzu kam, dass ab und zu für Zeiträume von 15 bis 20 min Prasselstörungen mit S6 auftraten, wahrscheinlich von einer Wasserpumpe. Während solcher Perioden konnte Walter logischerweise dann nichts empfangen.



Blick ins Wohnmobil-Shack bei SV/OE6IWG/p. Am eingeschalteten DTR und dem auf dem PC laufenden WINMSDSP sieht man, dass das Foto während eines HSCW-Skeds gemacht wurde.



Wie viele andere DXpeditionäre arbeitete auch SV/OE6IWG/p mit einer Neunelement-Tonna.

Trotz dieser Widrigkeiten gelangen in der Zeit vom 28.8. bis 6.9.06 31 Meteorscatter-QSOs, 27 in FSK441 und vier in HSCW. Das ODX beträgt 1964 km (OZ1IEP in JO55XU). Zwei Tropo-Verbindungen mit SV2JL und SV7DHO rundeten das Log ab: SSB scheint in dieser Gegend Griechenlands weniger populär zu sein.

#### **■ EME-Erlebnistage**

Guido, DL8EBW, erlebte in der Zeit vom 3. bis 8.10.06 einige der aufregendsten Tage seines Afu-Lebens: "Ich machte ab 1.10. Herbstferien und konnte somit die EME-Logger beobachten. Seit dem 4.10. ließ sich eine deutliche Aktivitätssteigerung feststellen, auch Moonsked von GM4JJJ zeigte gute EME-Bedingungen. Normalerweise kann ich mit meinen 2 × 12-Element und 500 W nur drei bis vier Stationen am Tag arbeiten. Doch in der ersten Oktoberwoche gelangen mehr als 40 QSOs via Mond! Natürlich waren die Verbindungen in JT65 einfacher und komfortabler, aber auch in CW (und das mit SSB-Bandbreite) gelangen QSOs. Es müssen nur die richtigen Bedingungen herrschen, dann ist auch mit kleinem Setup sehr viel möglich".

## VLF-/LF-QTC

Bearbeiter: Holger Kinzel, DK8KW Bürgerhausstr. 7, 31226 Peine E-Mail: holger@dk8kw.de

#### ■ Erste QSOs auf 500 kHz

Nachdem am 15.9.06 die Sondergenehmigungen für amerikanische Funkamateure unter dem Rufzeichen WD2XSH ausgestellt wurden, werden nun die ersten QSOs vermeldet. Zumeist überbrückt man Entfernungen knapp unterhalb von 500 km. Allerdings konnte die Station WD2XSH/20 aus Oregon in Iowa bei W0RPK aufgenommen werden, was einer Entfernung von etwa 2400 km entspricht.

Der Projektleiter Fritz Raab, W1FR, kündigte weiterhin an, dass vermutlich bereits im Oktober das 600-m-Band für alle amerikanischen Funkamateure mit HF-Genehmigungen freigegeben wird. Lediglich eine Beschränkung der Stationen im Mittleren Westen von 505 bis 508 kHz soll es geben. Nähere Informationen gibt es im Internet unter www.arrl.org.

## **Diplome**

#### Waldviertler Moor- und Naturparkdiplom

Das "Waldviertler Moor- und Naturparkdiplom" wird vom Amateurfunkklub Heidenreichstein mit dem Ziel herausgegeben, den Naturpark zu unterstützen. Es ist vom ÖVSV anerkannt und kann von allen lizenzierten Funkamateuren und in gleicher Weise von allen SWLs beantragt werden. Es zählen Verbindungen ab 1.1.06.



Das Waldviertler Moor- und Naturparkdiplom ist im Format DIN A4 auf 220 g/m² Hochglanzkarton im Mehrfarbdruck hergestellt.

Für die Erlangung des Diploms sind folgende Bedingungen zu erfüllen:

OE-Stationen benötigen 4 Punkte;

EU-Stationen benötigen 3 Punkte;

DX-Stationen benötigen 2 Punkte.

Dabei zählen Verbindungen mit OE3FPA, OE3MFC, OE3PLW, OE3RGB und OE3SER jeweils 1 Punkt, Verbindungen mit der Klubstation OE3XHA 2 Punkte. Jede Station darf nur einmal gearbeitet werden.

Alle Bänder und Betriebsarten werden für das Diplom gewertet. Ausgenommen sind Verbindungen über Echolink.

Anträge mit Logauszug und 10 € gehen an den Diplommanager Rainer Gangl, OE3RGB, A. Ullrich Gasse 4, 3860 Heidenreichstein, Österreich (E-Mail rainer.gangl@aon.at).

Bankverbindung: Raiffeisenbank Oberes Waldviertel, BLZ 32415, Konto Nr. 116830, IBAN AT 81 3241 5000 0011 6830, BIC: RLN-WATWWOWS.

#### ■ Drei-Türme-Diplom

Das Drei-Türme-Diplom wird vom Deutschen Amateur-Radio-Club e.V., Ortsverband Hagen (DOK O 08), für Verbindungen nach dem 1.1.1979 herausgegeben. Das Diplom kann von allen lizenzierten Funkamateuren sowie entsprechend auch von SWLs beantragt werden.

Dabei sind folgende Punkte zu erreichen:
DL-Stationen 50 Punkte;
EU-Stationen 30 Punkte;
DX-Stationen 15 Punkte.

Jede Verbindung mit einer Station der Ortsverbände Hagen (DOK O 08), Wetter (DOK O 19) und VFDB Hagen (DOK Z 38) zählt pro Band 2 Punkte, in Telegrafie 4 Punkte. Verbindungen mit den Klubstationen DL0HA (DOK O 08),



Das Drei-Türme-Diplom ist DIN A4 groß und auf 200 g/m² schwerem Karton vierfarbig gedruckt.

DL0HAG (DOK O 08), DF0FR (DOK O 08), DL0WD (DOK O 19) und DK0CJ (DOK Z 38) zählen 5 Punkte auf jedem Band. Es gibt keinerlei Band- oder Betriebsarteneinschränkung. Der Diplomantrag geht mit GCR-Liste sowie einer Gebühr von 10 € oder US-\$ 10 an folgende Anschrift: Wolfgang Conrad, DJ5UH, Karl-Ernst-Osthaus-Str. 70, 58093 Hagen.

## SWL-QTC

#### Bearbeiter:

Andreas Wellmann, DL7UAW
Angerburger Allee 55, 14055 Berlin
E-Mail: andreas.wellmann@t-online.de
Packet-Radio: DL7UAW@DB0GR

## ■ Contest-Wochenende – Fluch oder Segen?

Wer kennt nicht die folgende Situation: Es ist Wochenende und beim Wellenbummel über die Amateurfunkbänder sind statt der sonst ruhigen QSOs fast überall nur noch die hektischen "CQ-Contest"-Rufe zu vernehmen. Was hat es mit dieser flotten Betriebsamkeit genau auf sich?

Conteste sind Wettkämpfe, bei denen Funkamateure in einer vorgegebenen Zeitspanne möglichst viele Funkverbindungen herstellen. Je nach Contest gibt es noch die verschiedensten Kriterien, nach denen die Funkkontakte bewertet werden. So können beispielsweise die Anzahl der neu gearbeiteten Länder zusätzlich je einen Multiplikatorpunkt ergeben. In anderen Wettbewerben sind vielleicht die Rufzeichenpräfixe oder die DOKs gefragt. Ist der Contest nicht nur auf ein Band begrenzt, dann ergeben sich zusätzlich auch für jedes QSO auf einem anderen Band weitere Multiplikatorpunkte.

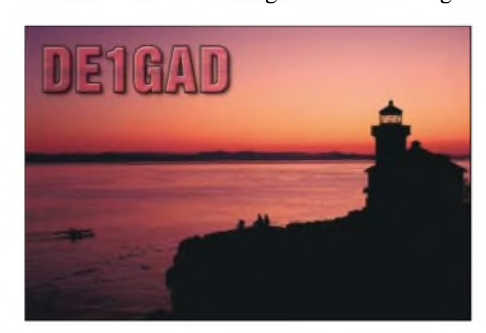
Wer an einem Contest teilnehmen möchte, sollte sich unbedingt vor Wettbewerbsbeginn immer mit den aktuell gültigen Regeln für den ausgewählten Wettbewerb vertraut machen.

Die Amateurfunkzeitschriften oder die Rundspruchsendungen der Amateurfunkverbände helfen da weiter.

Die aktuellsten Informationen sind im Internet zu finden. So veröffentlichen die Referate DX-und HF-Funksport bzw. UKW-Funksport des DARC die Informationen in Form eines Contestkalenders unter www.darc.de/referate/dx/cqdlcont/fgdcc.htm. Dort sind beispielsweise für den Monat November 25 Conteste und die dazugehörigen Ausschreibungsbedingungen aufgeführt. Noch mehr Contesttermine finden Sie auf S. 1356.

An einer Vielzahl der Wettbewerbe können sich auch SWLs beteiligen. Große internationale Conteste gehen teilweise über 48 Stunden. So ein Funkmarathon ist sicher nicht jedermanns Sache. Es gibt alternativ aber auch regionale Conteste oder Wettbewerbe von speziellen Gruppen. Diese gehen mitunter nur über einige wenige Stunden und werden in einer bestimmten Betriebsart ausgetragen.

In den Ausschreibungen zum Contest sind auch die konkreten Abrechnungsmodalitäten festge-



legt. Bei kleineren Wettbewerben werden teilweise noch Logs in Papierform akzeptiert. Bei allen großen internationalen Contesten ist die Abrechnung in elektronischer Form inzwischen Pflicht.

Werden die QSO-Daten im Computer festge-

halten, dann ist bereits während des Contests erkennbar, wie der aktuelle Punktestand aussieht, ob es zu doppelten QSO-Einträgen gekommen ist oder welche Länder als Multiplikatorpunkte vielleicht noch fehlen. Contestprogramme gibt es in den verschiedensten Ausführungen. Von Freewareprogrammen, die auf DOS-Rechnern, aber auch unter Windows XP funktionieren, bis zu kommerziellen Produkten ist alles vertreten. Auf der DARC-Homepage (www.darc.de) sind einige davon aufgeführt. Für SWLs kann so ein Contestwochenende aber auch ohne aktive Teilnahme an einem solchem Wettbewerb sehr informativ sein. In relativ kurzer Zeit erhält man auch als Hörer einen guten Überblick über die unterschiedlichsten QSO-Techniken und deren Erfolgsaussichten beim Wettbewerb. Vom 11.11., 0700 UTC, bis 12.11.06, 1300 UTC, findet z.B. der JA-DX-Contest in Fonie statt. An diesem Wochenende werden auf allen klassischen KW-Bändern verstärkt Stationen aus den verschiedensten Präfekturen Japans aktiv sein. Damit steigt auch

Das Getöse an manchen Contest-Wochenenden kann also durchaus auch ein Segen sein. Vielleicht kommt so das bisher noch fehlende Gebiet nun endlich doch noch ins Logbuch.

für SWLs mit bescheidener Antennenanlage

die Chance, Signale aus dieser Region zu emp-

## Sat-QTC

Bearbeiter: Thomas Frey, HB9SKA Holzgasse 2, 5242 Birr E-Mail: hb9ska@amsat.org Packet-Radio: HB9SKA@HB9PD.CHE.EU

#### ■ OSCAR-11

Der Satellit fliegt bis zum kommenden Jahr im Sonnenlicht. Wenn der "watchdog timer" funktioniert, sollte UO-11 im üblichen Zehntages-Rhythmus zu empfangen sein. Doch schon nach dem 6.9.06 war UO-11 nicht mehr zu hören.

#### ■ OSCAR-29

Fuji-OSCAR-29 (JAS-2) wurde vor zehn Jahren (17.8.1996) gestartet. Der Satellit verfügt über einen analogen und einen digitalen Transponder. Der analoge SSB/CW-Transponder ist immer noch der beliebteste mit einem Uplink zwischen 145,900 und 146,000 MHz sowie einem Downlink von 435,800 bis 435,900 MHz.

#### **■ ISS**

Das ARISS-Team koordinierte mit Kommandant Pavel Vinogradov, RV3BS, und Sergei Samburov, RV3DR, die Fehlersuche am SSTV-System. SSTV blieb bis jetzt ausgeschaltet. Laut Kenneth Ransom, N5VHO, ist die Aktivierung des autonomen "slide show"-Modus nicht möglich. Dieser dürfte die permanente Aktivierung von SSTV hinauszögern.

#### ■ HITSat gestartet

HITSat, gebaut im Hokkaido Institute of Technology, wurde am 22.9.06 als sekundäre Nutzlast in einen sonnensynchronen Orbit gestartet. HITSat ist ein 2,2 kg schwerer CubeSat mit einer Kantenlänge von nur 12 cm. Die koordi-



Der HITSat

Foto: www.dk3wn.info

nierten Frequenzen lauten: CW-Telemetrie: 437,275 MHz; Downlink: 437,425 MHz (FM); Uplink: 145,980 MHz.

Weitere Informationen gibt es auf www.hit.ac. ip/~satori/hitsat/index-e.html.

### ■ SuitSat-1 (AO-54) verglüht

Am 7.9.06 verglühte der Orlan-Raumanzug SuitSat-1 um 1600 UTC in der Erdatmosphäre. Der Wiedereintritt erfolgte 1400 km süd/südwestlich der westaustralischen Küste.

Am 3.2.06 während eines Außenbordeinsatzes der ISS ausgesetzt, sendete SuitSat-1 ein schwaches Signal, das trotzdem rund um die Welt empfangen wurde. SuitSat-1 entfachte zudem ein beachtliches Medienecho.

## SOTA-QTC

#### Bearbeiter:

Dipl.-Ing. Harald Schönwitz, DL2HSC Försterweg 8, 09437 Börnichen E-Mail: dl2hsc@darc.de



#### ■ SOTA-DL Jugendpokal 2006

Leider nahmen im Wertungszeitraum 2006 nur zwei Mannschaften an diesem Pokalwettbewerb teil.

Nachdem die Jugendgruppe DN2FDX/p unter Leitung von Wolfgang, DH3ZK, bereits am 3.1.06 den Meißner (DL/HE-018) aktivierte und dabei 84 Punkte erreichte, folgten am 1.4. der Ebersberg (DL/HE-026) mit 176 Punkten und am 2.4. die Maulkuppe (DL/HE-022) mit 80 Punkten. Zum ersten Mal nahm die Jugendpokalmannschaft DN1ERW, eine Kooperation

telgebirge (DL/BM-207), Baden-Württemberg (DL/BW-088; 089; 001), Niedersachsen und Sachsen-Anhalt (Harz) zu hören.

#### ■ SOTA-DL Winterwanderung 2006

Am 16. und 17.12.06 findet unsere Winterwanderung statt. Um Planungen zu erleichtern, sollten feststehende Aktivierungen bereits jetzt in SOTAwatch (http://sotawatch.sota.org.uk/activations.php) veröffentlicht werden.

#### ■ Schwierigkeitsgrade

Unter www.sota.org.uk/association\_status.htm werden die Schwierigkeitsgrade der verschiedenen Assoziationen miteinander verglichen. Die Unterschiede liegen in der Topografie, der Erschließung der Gebirgsregionen mit Straßen, der regionalen Verteilung der Berge und der Höhen-/Punktetabelle. Auf der o.g. Internetseite findet man eine interessante Grafik. Von den zehn führenden Aktivieren (HB: 3, HA: 4, OE: 2) wurden die Aktivierungen pro Punkt und



Marissa, DN1ERW, beim Kurzwellenfunkbetrieb. Sie ist tatsächlich gerade erst zehn Jahre jung.

Foto: DD1WKS

des OV Q21 mit der Erweiterten Realschule Weiskirchen, am Pokalwettbewerb teil. Mit nur einer Aktivierung des Trautzberges (DL/SR-006) am 9. 4. 06 erreichten sie auf Anhieb 897 Punkte. Da anschließend keine weiteren Abrechnungen eingegangen sind, steht mit DN1ERW unter Leitung von Wolfgang, DD1WKS, der diesjährige Erste im Jugendpokalwettbewerb fest. Das Management-Team SOTA Deutsche Mittelgebirge gratuliert zum Titelgewinn. Der Mannschaft DL0GYM war in diesem Jahr aus verschiedenen Gründen eine Teilnahme nicht möglich, was sich jedoch im kommenden Jahr ändern dürfte.

#### ■ Herbstwanderung 2006

Am 30.9, und 1.10.06 fand die diesiährige Herbstwanderung statt. Laut Bergaktivierungsliste ergab sich am 5.10.06 folgendes Bild: Kay, DM2KL, und Uli, DL2LTO, waren im Harz (Sachsen-Anhalt und Niedersachsen) unterwegs. Von den Thüringer Bergen ließ sich DJ3AX hören. In Sachsen nutzten u.a. DH0DK, DO1UZ, DH7WW und DK4KW das trockene, aber stürmische Wetter zu Bergaktivitäten; in Baden-Württemberg DO1UA, DO1AHR und DF2GN. DM2KL und XYL Petra sowie Erik, DN2KL, bestiegen bei ihrem Aufenthalt im Harz an den Wandertagen 13 Berge. Bis zum 3.10.06 gerieten insgesamt 21 Harzberge ins Visier. Am verlängerten Wochenende bis zum 3.10.06 waren weitere Berge aus den Ammergauer Alpen (DL/AM-043), Bayerischen Mitdaraus der Durchschnittswert für die Assoziation gebildet. Das Ergebnis gibt an, für wen es am leichtesten ist, viele Punkte zu erreichen. Die Ergebnisse wurden auf einer Skale von 0 (am einfachsten) bis 1 (am schwierigsten) dargestellt.

Mit Stand vom 14.8.06 ergab sich folgende Wertung: In Deutschland ist es einfach, sehr viele Berge mit hoher Punktwertung zu aktivieren, das bringt ein stolzes Punkte-pro-Aktivierungs-Verhältnis und bedeutet einen geringen Schwierigkeitsgrad (0,14). Weitere Werte: GW (0,21), G (0,23), GM (0,27), HB (0,28), OE (0,32) HA (0,34). Dabei stellen die Daten von HB, OE und HA auf Grund der geringen Aktivierungsanzahl keinen repräsentativen Stand dar.

#### ■ SOTA-Stammtisch München

Am 21.9.06 fand zum dritten Mal der Stammtisch der SOTA-Interessierten im Raum München statt. Hans, DK3YD, berichtete von seinen SOTA-Vorbereitungen für **DL/EW-023**; Andy, DL2DVE, erzählte von den Aktivierungen im Karwendel-Gebirge und den Allgäuer Alpen und Axel, DO1UXL, steuerte Berichte aus Thüringen bei. Technische Themen waren: PK3-Keyer, Elecraft-QRP-Tuner und 10-W-CW-PA mit hohem Wirkungsgrad.

Das nächste Treffen findet am 16.11.06 um 19 Uhr in Markt Schwaben statt. Anmeldung via dl2dve@darc.de.

Danke für die Informationen an DL2LTO sowie DL2DVE.

# Termine – November 2006

1.11.

0700/1200 UTC Holzhammer-Contest (All)

1.-7.11.

0000/2400 UTC **HA-QRP-Contest** (CW)

2.11.

1800/2200 UTC NAC 10 m (CW/SSB/FM/Digi)

3.11.

2000/2200 UTC **PSK63 Sprint** (**P**SK)

3. -5. 11.

**PC-Seminar** des OV Dortmund-West (O 52). Weitere Infos unter *www.o-52.de.* 

4.11.

0600/1000 UTC IPA Radio Club Contest (1) (CW) 1400/1800 UTC IPA Radio Club Contest (2) (CW)

4.-5.11.

1200/1200 UTC Ukrainian DX Contest (CW/SSB/RTTY) 1400/1400 UTC IARU Reg.-1 VHF Marconi (CW)

4.-6.11.

2100/0300 UTC ARRL Sweepstakes (CW) 2100/0300 UTC NA Collegiate ARC Championship (CW)

5.11.

**5. YL-Treffen** des Distrikts Hamburg (HH-Walterdorf). Mehr Infos unter www.darc-hamburg.de.

0600/1000 UTC IPA Radio Club Contest (3) (SSB)
0900/1100 UTC High Speed Club CW Contest (1) (CW)
1100/1700 UTC DARC 10-m-Digital-Contest (DIGI)
1400/1800 UTC IPA Radio Club Contest (4) (SSB)
1500/1700 UTC High Speed Club CW Contest (2) (CW)

6.-12.11.

1600/1800 UTC VFDB-Aktivitätstage (CW/SSB)

7. 11.

0200/0400 UTC **ARS Spartan Sprint** (CW) 1800/2200 UTC **NAC/LYAC 144 MHz** (CW/SSB/FM)

8.11.

0000/0200 UTC SKCC Sprint (CW)

9.11.

1800/2200 UTC NAC/LYAC 50 MHz (CW/SSB)

11.11.

 $0800/1200~{\rm UTC~\textbf{Herbstcontest~K\"oln-Aachen~(}CW/SSB/FM)}$ 

#### Aktivitäten des VFBD

**1. Sonnabend im Monat:** Z-Runde mit Rundspruch ab 1500 UTC – 3,630 MHz.

**3. Sonnabend im Monat:** Z-Runde ohne Rundspruch ab 1500 UTC – 3,630 MHz.

1. Montag im Monat: Z-Runde in CW ab 1800 UTC – 3,530 MHz.

**Jeden Montag:** Z-Runde auf 160 m ab 1900 UTC – 1,866 MHz.

**Jeden Mittwoch:** Rentner-/Pensionärsrunde auf 80 m/RPZ/SSB ab 0730 UTC – 3,642/3,648 MHz.

1100/1200 UTC SL-Contest (CW)

1230/1330 UTC SL-Contest (SSB)

1600/2000 UTC Herbstcontest Köln-Aachen (CW/SSB/FM)

11.-12.11.

**16. Nierstein-Seminar** in Oppenheim. Ausführliches unter www.darc.de/k33.

0000/2359 UTC Worked All Europe DX-Contest (RTTY) 0000/2359 UTC ARRL EME Contest 50-1296 MHz (3) 0700/1300 UTC Japan International DX Contest (Fonie) 1200/1200 UTC OK/OM DX Contest (CW)

12.11.

0700/1700 UTC Schleswig-Holstein-Aktivität (CW/SSB/FM) 1300/1800 UTC DARC VHF/UHF-RTTY-Contest

14.11.

1800/2200 UTC NAC/LYAC 432 MHz (CW/SSB/FM)

17.11.

1600/2200 UTC YO International Contest (PSK31)

18.11.

**Funkflohmarkt** des OV F 11 in Bad Homburg. Nähere Auskünfte unter *www.fox11.de*.

**80-m-Herbst-Fuchswanderung** des Ortsverbandes Main-Taunus (F 27) ab 10.30 Uhr am Bahnhof in Eppstein am Taunus. Infos und Anmeldung bei *df7zs@darc.de.* 

1500/1700 UTC EUCW Fraternizing Party (1) (CW) 1800/2000 UTC EUCW Fraternizing Party (2) (CW)

18. - 19.11.

1000/1000 UTC SARL Fieldday-Contest (CW/SSB)
1200/1200 UTC INORC Contest (CW)
1200/1200 UTC LZ DX Contest (CW/SSB)
1500/1200 UTC EUCW Fraternizing QSO-Party (CW)
1600/0700 UTC All Austrian 160-m-Contest (CW)
2100/0100 UTC RSGB 1,8-MHz-Contest (CW)

18.-20.11.

2100/0300 UTC ARRL Sweepstakes (SSB) 2100/0300 UTC Collegiate ARC Championship (SSB)

19.11.

Leoniden-Meteoritenschauer (Maximum ab 0400 UTC) 0000/2400 UTC EPC PSK63-QSO-Party (BPSK63) 0700/0900 UTC EUCW Fraternizing QSO Party (3) (CW) 0800/1100 UTC OK/OM-V/U/SHF-Contest (CW/SSB) 1000/1200 UTC EUCW Fraternizing QSO Party (4) (CW) 1300/1700 UTC HOT Party (CW)

20.11.

0200/0400 UTC Run for the Bacon QRP (CW/SSB)

21.11.

1800/2200 UTC NAC/LYAC 1,3 GHz (CW/SSB/FM)

25. - 26. 11.

0000/2400 UTC **CQ WW DX Contest** (CW) 0000/2359 UTC **CQ WW SWL Challenge** (CW)

26.11.

0930/1200 UTC IGARAG St. Barbara Party (CW/SSB/FM)

28.11.

1800/2200 UTC NAC 2320+ MHz (CW/SSB)

30.11.

0000/0600 UTC QRP ARCI Topband Sprint (CW/SSB) 1800/1900 UTC LZCWC Contest (CW)

Quellen: ARRL Contest Branch, BCC-Contest-Kalender, DARC-Contest-Kalender, DL-Contest-Journal, SM3CER Contest-Service, UKSMG 50 MHz Diary und WA7BNM Contest Calendar. Für die Richtigkeit bzw. Vollständigkeit der Angaben übernimmt FUNKAMATEUR keine Gewähr.



#### ■ Fragenkatalog für Klasse E verfügbar

Bisherige Fragenkataloge für die Prüfungen zum Erwerb von Amateurfunkzeugnissen gelten bis drei Monate nach der Herausgabe neuer Fragenkataloge. Ab 1.2.07 erscheinen nunmehr die folgenden drei neuen Fragenkataloge:

- Prüfungsfragen im Prüfungsteil "Technische Kenntnisse" bei Prüfungen zum Erwerb von Amateurfunkzeugnissen der Klasse E;
- Prüfungsfragen in den Prüfungsteilen "Betriebliche Kenntnisse" und "Kenntnisse von Vorschriften" bei Prüfungen zum Erwerb von Amateurfunkzeugnissen der Klassen A und E:
- Prüfungsfragen im Prüfungsteil "Technische Kenntnisse" bei Prüfungen zum Erwerb von Amateurfunkzeugnissen der Klasse A.

Der Technik-Fragenkatalog für die Klasse E ist inzwischen auf www.bundesnetzagentur.de/media/archive/7637.pdf verfügbar, während die beiden folgenden in Vorbereitung sind.

**Quelle: BNetzA** 

#### ■ Amtsblattverfügungen zum Amateurfunkdienst

Im Amtsblatt der Bundesnetzagentur Nr. 18/2006 (13.9.06) hat die Bundesnetzagentur weitere Nutzungsbestimmungen zum Amateurfunkdienst bekannt gegeben. Konkret geht es um Einzelheiten zu Zusatzprüfungen von Klasse E nach Klasse A sowie Nutzungsbestimmungen im Frequenzbereich 50.08 bis 51.00 MHz. Sie stützen sich auf Artikel 1, Ziffer 2, sowie Artikel 1, Ziffer 6 und 7 der ersten Verordnung zur Änderung der Amateurfunkverordnung vom 25.8.06. Die Zusatzprüfung von E nach A besteht aus dem kompletten Prüfungsteil technische Kenntnisse der Klasse A mit gleichen Inhalten, Anforderungen, Fragebögen und gleichen sonstigen Bedingungen. Hierüber wird es noch einmal eine neue Amtsblattverfügung geben, die dies regelt. Nach Rücksprache mit der Bundesnetzagentur sollen ab 1.2.07 dann drei Fragenkataloge gelten (siehe oben).

Zudem hat die BNetzA Informationen zu 6 m konkretisiert und wiederholt die Meldepflicht von festen Standorten betont. Zwar kann man mehrere 50-MHz-Standorte melden, jedoch ist es nicht zulässig, mit einem Rufzeichen zeitgleich von verschiedenen Standorten aus am 6-m-Funkbetrieb teilzunehmen. Alle mit dem gleichen Rufzeichen gemeldeten 50-MHz-Standorte müssen während des Funkbetriebs mit der gleichen Telefonnummer erreichbar sein.

Quelle: BNetzA

#### ■ Pokal zum 20. Geburtstag des Radioklubs des Europarates

Der Jubiläumspokal des Radioklubs des Europarates konnte bisher nicht vergeben werden. Aus diesem Grunde wird er für die nächste Aktivität der Sonderstation TP20CE neu ausgeschrieben. Diese findet vom 8.12., 0800 UTC, bis 10.12.06, 1000 UTC, auf allen (außer WARC) Bändern, in CW, SSB, RTTY und PSK, statt. Es zählt nur ein QSO für jedes Band



Die Antennenanlage von TP20CE Foto: DL3MBE

und jede Betriebsart; auf 160, 80 und 40 m pro QSO zwei Punkte, auf 20, 15 und 10 m jeweils einen Punkt

Die besten fünf Teilnehmer erhalten einen Pokal, gestiftet vom Radioklub des Europarates (CERAC). Die nachfolgenden Stationen bekommen ein Geschenk des Europarates. Einsendeschluss der Logs ist der 2.1.07; sie gehen an Francis Kremer, F6FQK, 31, rue Louis Pasteur, F-67490 Dettwiller, Frankreich oder per E-Mail an f6fqk@free.fr. Weitere Informationen gibt es auf http://ewwa.free.fr.

Hans J. Scharfen, DL3MBE

#### Bronzemedaille bei High Speed CW-Meisterschaft

Der 22-jährige Fabian Kurz, DJ1YFK, hat für seine Leistung bei der 5. IARU High Speed Telegrafie-Meisterschaft in Bulgarien die Bronzemedaille errungen – die erste Medaille für

Deutschland überhaupt. Er konnte sich gegen seine Mitstreiter aus Osteuropa im Morserunner-Pile-Up-Wettbewerb behaupten.

#### DL-Rundspruch des DARC e.V. 41/2006

#### ■ Afu-Kurs in Berlin

Ab November (bis März/April 2007) bietet der Ortsverband Berlin-Wilmersdorf (DOK D11) nun bereits seit über zehn Jahren in Folge seinen klassenunabhängigen Kurs zur Ausbildung zum Funkamateur, mit dem Ziel, die Amateurfunkprüfung der Klasse A oder E vor der Bundesnetzagentur zu bestehen, an.

Kandidaten der Klasse E entscheiden während des Kurses, für welche Prüfung sie sich anmelden. Die Termine sind jeweils dienstags von 19 bis 21.45 Uhr. Vorkenntnisse in Technik (Schwerpunkt), Betriebstechnik und Gesetzeskunde sind nicht erforderlich, können jedoch hilfreich sein. Der Veranstaltungsort befindet sich in 10713 Wilmersdorf, Sigmaringer-Str. 30, in unseren eigenen Klubräumlichkeiten mit für Rollstuhlfahrer geeignetem Zugang.

Auch wenn für DL nicht mehr notwendig, bieten wir bei ausreichender Teilnehmerzahl weiterhin einen Telegrafie-Kurs an. Dieser findet dann nach Absprache statt.

Weitere Informationen finden Sie unter www. mydarc.de/dl7ank/kurs; Anmeldung sind erbeten unter Tel. (0 30) 23 18 01 91 oder per E-Mail an dl7ank@darc.de.

Norbert Kruse, DL7ANK

#### Kabinett verabschiedet neuen EMVG-Entwurf

#### Kommentierungsbedarf für RTA

Das bisher gültige EMVG (1998) soll ab Mitte 2007 durch eine neue Version als "Gesetz über die elektromagnetische Verträglichkeit von Betriebsmitteln (EMVG)" entsprechend der EMV-Richtlinie 2004/108/EG ersetzt werden.

Das Gesetz soll das Inverkehrbringen, Weitergeben, Ausstellen, Inbetriebnehmen und Betreiben von Betriebsmitteln, das heißt von elektrischen Geräten und Anlagen, die elektromagnetische Störungen verursachen oder die durch sie beeinträchtigt werden können, regeln. Ferner soll es den Handlungsrahmen für die BNetzA zur Ausführung des Gesetzes im Rahmen der Störungsbearbeitung definieren, die allein in nationalstaatlicher Verantwortung erfolgt.

Das Bundeskabinett hat am 20.9.06 den vom BMWI vorgelegten Gesetzentwurf (siehe [1] oder [2]) verabschiedet. Zur weiteren Beratung/Lesung geht der Entwurf zunächst an den Bundesrat und später an den Bundestag. Das Gesetz kann frühestens am 20.7.07 in Kraft gesetzt werden. Insbesondere im Hinblick auf den Schutz aller Funkdienste, nicht nur von Sicherheits-Funkdiensten, sondern u.a. Rundfunk und Amateurfunk, haben der Erwägungsgrund 2 [3] und weitere in der Richtlinie genannte Erwägungsgründe auch im neuen EMVG-Entwurf noch nicht ausreichenden Ausdruck gefunden. Entsprechende Kommentierungen (u.a. vom RTA) zum vorhergegangenen Entwurf [4] scheinen ignoriert worden zu sein.

Durch mehrere "kann"-Formulierungen in der Begründung zum Gesetzentwurf wird keine Rechtssicherheit hergestellt, sondern spitzfindigen juristischen Argumentationen bei eventuelen "Störfällen" Vorschub geleistet. Beispiel: "Eine elektromagnetische Störung i.S.d.G. kann auch ... eine gewollte Funkaussendung sein". Wird damit gewollt oder ungewollt per Gesetz jeder Funkdienst bei Bedarf zum Störer ernannt?

Sind z.B. alle Rundfunksender potenzielle Störer? Nach dem Gesetzentwurf soll es in den meisten Fällen von elektromagnetischen Unverträglichkeiten ("Störfälle") bei denen "keine hochwertigen Rechtsgüter" betroffen sind, von der BNetzA keine Maßnahmenbescheide sondern nur noch Abhilfevorschläge (Anm. d. Ref.: und Gebührenbescheide!) geben. Der Verwaltungsrechtsweg wird damit stark eingeschränkt (die Behörde zieht sich aus der Sachverantwortung zurück). "Störprobleme" und sich daraus ergebende Streitigkeiten werden auf den langwierigen und kostenträchtigen Zivilrechtsweg verwiesen. Nicht die Berücksichtigung physikalischer Gesetze und Randbedingungen sondern rein formal-juristische Betrachtungsweisen (nach BGB §1004 und ein so genanntes "öffentliches Interesse") drohen zu Entscheidungsgrundlagen zu werden. Statt Rechtssicherheit entstehen Unklarheiten und Rechtsunsicherheit ("wem es nicht passt, der kann ja klagen...").

Es ist zu hoffen, dass neue Kommentierungen der Freiraum-Funknutzer wie Rundfunk, Amateurfunk (u.a. RTA) usw. zu dem Gesetzentwurf doch noch ausreichend Berücksichtigung finden und eine auf politischer Ebene stark intensivierte Lobbyarbeit positive Resonanzen auslöst.

## Dipl.-Ing. Horst-Dieter Zander, DJ2EV

- [1] www.bmwi.de/BMWi/Redaktion/PDF/Gesetz/emvgentwurf,property=pdf
- [2] www.bmwi.de/BMWi/Navigation/Service/suche.html Suche: EMVG-Entwurf
- [3] EMV-Richtlinie 2004/108/EG, Erwägungsgrund 2: "Die Mitgliedstaaten haben zu gewährleisten, dass Funkdienstnetze, einschließlich Rundfunkempfang und Amateurfunkdienst, die gemäß der Vollzugsordnung für den Funkdienst der Internationalen Fernmeldeunion (ITU) tätig werden, ... gegen elektromagnetische Störungen geschützt werden."
- [4] Zander, H.-D., DJ2EV: Kommentare zum Entwurf der EMVG-Neufassung: "Gesetz über die elektromagnetische Verträglichkeit von Betriebsmitteln". FUNKAMA-TEUR 56 (2006) H. 6, S. 737

## Amateurfunkwelt

#### ■ Australien: 1000. Foundation Licence



Am 19.10.05 trat in Australien ein neues, dreigliedriges System für Amateurfunklizenzen in Kraft. Mit ihm wurde u.a. die neue Foundation

Licence geschaffen. Dieser Tage vermeldete der nationale Verband WIA nun die 1000. ausgestellte Foundation Licence (vierstelliger Suffix mit "F" beginnend, z.B. VK4FRED). Der Präsident der WIA, Michael Owen, VK3KI, hob hervor, dass die neue Foundation Lizenz nicht nur 1000 neue Funkamateure hervorgebracht hat, sondern auch einen signifikanten Mitgliederzuwachs bewirkt habe.

#### ■ USA: Änderungen beim Amateurfunk



Am 11.10.06 hat die FCC den Entwurf für diverse Änderungen der Amateurfunkvorschriften bekanntgegeben. Demnach können Inhaber der Advanced und General Class mit erweiterten SSB-Frequenzbereichen auf 75, 40 und 15 m rechnen. Durch die Ausweitung des 40-m-SSB-Bereiches um

25 kHz nach unten (Extra Class bisher ab 7150 kHz, neu: Extra Class und Advanced Class ab 7125 kHz) wird das auch für uns noch neue, erweiterte 40-m-Band zwischen 7100 und 7200 kHz aufgewertet. Die angestrebte Abschaffung der Morseprüfung als Zugangsvoraussetzung für die Kurzwelle wurde allerdings nicht in den Entwurf aufgenommen. Der Änderungsentwurf soll frühestens Mitte November in Kraft treten. Nähere Informationen auf www.arrl.org/news/.

#### **■** Luxemburg: Neue Frequenzen



Seit dem 27.9.06 ist es Luxemburger Funkamateuren zusätzlich erlaubt, im 160-m-Band auf den Frequenzen 1850 bis 2000 kHz mit sekundärem Status sowie maximal 10 W ERP zu senden. Das nutzbare Band erstreckt sich somit von 1810 bis 2000 kHz. Gleichzeitig wurde das 3,4-GHz-Band

von 3300 bis 3400 auf 3400 bis 3410 MHz umgestellt. Weitere Informationen auf www.rlx.lu.

#### ■ Marconis Atlantik-QSO wird erforscht

Wie war es möglich, dass Guglielmo Marconi am 12.12.1901 den Atlantik mit Funksignalen überbrücken konnte? Diese Frage soll nun näher erforscht werden, da die derzeitigen Ausbreitungsbedingungen so gut wie identisch mit denen im Dezember 1901 sind. Besonders die benutzte Sendefrequenz (800...900 kHz) und der Tageszeitpunkt werfen sehr kontroverse Fragen auf. Aus diesem Grunde installiert man in Cornwall (England) eine Funkbake, die vom 1.11.06 bis Februar 2007 unter GB3SSS auf 1960 kHz sendet. VO1NA und W2AN koordinieren das Projekt empfangsseitig. Empfangsberichte sind herzlich willkommen, bitte per E-Mail an qb3sss@yahoo.co.uk senden.

Sämtliche Meldungen: Dennis M. Härtig, DL7RBI (DARC-Auslandsreferat)



Bearbeiter: Ing. Claus Stehlik, OE6CLD Murfeldsiedlung 39, 8111 Judendorf E-Mail: oe6cld@oevsv.at

#### ■ Neues aus dem Dachverband



Not- und Katastrophenfunk-Veranstaltung

Gemeinsam mit den Wiener Hilfs- und Einsatzorganisationen präsentiert sich das Referat Notfunk am 26.10.06 im Rahmen der Veranstaltung zum Nationalfeiertag am Wiener Rathausplatz. Zu-

gesagt wurde Unterstützung aus OE1, OE3, OE4 und OE6.

Geboten werden Notfunk-Flightcases, Funkbus, Funkprojekt der HTL-Eisenstadt, SSTV sowie ein lokales 70-cm-Relais. Auf zahlreiche Besucher freut sich Michael, OE1MMU, und die Mannschaft aus den Landesverbänden.

#### **■ Flohmarkt in Schwechat**

Der traditionelle Flohmarkt der Schwechater Funkamateure (ADL 322), der stets zu den Amateurfunk-Höhepunkten im Dezember gehört, findet heuer am Samstag, den 2.12.06, ab 10 Uhr statt.

Der Flohmarkt, der bereits seit mehr als 25 Jahren Tradition ist, bietet nicht nur eine Vielzahl an Amateurfunk- und Elektronikartikeln sondern alles, was einen Elektronik-, Bastel-, Computer- und Foto-Interessierten erfreut. Alle, die selbst etwas anbieten möchten, sind herzlich willkommen. Teilweise stehen Tische zur Verfügung. Der Flohmarkt findet in diesem Jahr an einem neuen Ort statt: Restaurant "Zum schwarzen Adler" in Wien-Simmering, Kaiser-Ebersdorfer Str. 330 (Endstation Line 71).

Die Ortsgruppe Schwechat würde sich über zahlreiche Besucher freuen.

#### ■ DVB-T-Tagung in Geiersberg

Am 16.9.06 konnte man im Rahmen der ATV-Tagung in Geiersberg interessante Vorträge über DVB-T hören. Dipl.-Ing. Bruno Jossek vom Grazer DVB-T-Projekt berichtete über Vorzüge und Probleme bei dieser künftigen TV-Ausstrahlungsnorm. Vorzüge sind vor allem die Mobilität durch portable Empfangsmöglichkeit, die Interaktivität, die Bildqualität sowie der elektronische Programmguide (EPG). Probleme gibt es noch bei MHP (eine Art erweiterter Teletext) sowie bei den derzeitigen Set-Top-Boxen.

Im Anschluss erklärte ein Mitarbeiter der Firma Rohde & Schwarz die Funktionsweise von DVB-T, z.B. die Komprimierung des 270-MBit-Datenstroms auf sendbare Größe und die Nutzung des Mehrwegeempfangs zur Signaloptimierung. Danach folgten aufschlussreiche praktische Messungen mit den zahlreich vorhandenen Messgeräten.

Letzte Meldung: Der ATV-Link vom Wienerberg/Exelberg Richtung Westen arbeitet (Ausgabe auf 10,440 GHz, horizontal, 100 km Reichweite Richtung Westen bei bei 40° Öffnungswinkel). Für die Verbindung Bisamberg

(digitale Ausgabe) und Wienerberg fehlt nur noch ein digitaler Sat-Receiver am Wienerberg. Auch der Hochkogelberg ist am Exelberg bereits einwandfrei zu empfangen.

#### ■ Klubabend der Ortsgruppe Linz

Die Klubabende der Ortsgruppe Rotes Kreuz (ADL 505) finden ab November 2006 jeden 1. Donnerstag im Monat im Askö BBSV-Linz "Neue Heimat", Flötzerweg 99, Linz, statt.

#### ■ MFCA-Aktivitäten

Am 2.9.06 fand im Restaurant-Schiff "DDS Johann Strauss" am Donaukanal die 7. Jahreshauptversammlung des MFCA statt. Insgesamt konnte der bis dato 1. Vorsitzende Werner, OE6NFK, 21 Mitglieder begrüßen. Nach verschiedenen Berichten wurde auch der Vorstand neu gewählt: 1. Vorsitzender ist nun Werner, OE6NFK; 2. Vorsitzender Nik, OE8NIK, und als Schatzmeister fungiert Karl, OE6CAG. Für die Aktivitäten im kommenden Jahr wurden bereits Beschlüsse gefasst:

 Die 8. MFCA-Jahreshauptversammlung wird mit dem Zehn-Jahres-Jubiläum im Sommer 2007 auf einem Wörthersee-Schiff in Kärnten stattfinden, ein genauer Termin steht noch nicht fest.



- Anlässlich 150 Jahre erste österreichische Weltumsegelung mit der Fregatte "Novara" (1857/1859) arbeitet die Sonderstation OE6XMF aus dem Heeresgeschichtlichen Museum.
- Das Patrouillenboot "Niederösterreich" soll auf Grund der Aktivitäten und Verbundenheit Funk- und Flaggschiff des MFCA werden und damit die "Frederic Mistral" ablösen.
- Ein eigener MFCA-Rundspruch (drei Monate Probebetrieb) soll etabliert werden. Der kurze Rundspruch soll jeden Montag von 1200 bis 1230 ME(S)Z auf 7060 kHz (QSY 3667 kHz) in SSB durch die Leitstelle OE6XMF stattfinden sowie anschließend als Kontaktfrequenz dienen.

## HB9-QTC

Angesichts dessen, dass gut ein Drittel aller Schweizer Funkamateure den FA lesen, möchten wir unsere QTC-Seiten baldmöglichst mit einem HB9-QTC ergänzen. Wenn Sie Lust und Zeit haben, allmonatlich die wichtigsten Meldungen aus der Schweiz für die Leser des FUNKAMATEUR zusammenzufassen, dann senden Sie uns bitte eine kurze E-Mail an qtc@funkamateur.de.

tnx, Knut, DG0ZB

## **Inserentenverzeichnis**

III 2 CI CII I CII A CI Z CI CIII I I 2	
Al-Towers Hummel	1313
Andy Fleischer; Bremen	1313/1315
BEKO-Elektronik; Dachau	1326
Bogerfunk Funkanlagen GmbH	1317
Communication Systems Rosenberg	1316
Dieter Knauer; Funkelektronik	1312
Dortmunder Amateurfunkmarkt	1312
Elektronik-Service; R. Dathe	3.US
Fernschule Weber	1312
FlexaYagi	1312
Funktechnik Grenz	1315
Funktechnik Seipelt	
Haro electronic; Burgau	1315
Hau; IngBüro f. Elektronik	1317
Heinz Bolli AG; Niederteufen	
ICOM (Europe) GmbH	
IPRT Darmstadt	
KCT Weißenfels; D. Lindner	
Kelemen Elektronik	
Kneisner + Doering: Braunschweig	
KN-Electronic; K. Nathan	
K & S Elektronik: Chemnitz	
Kusch; Dortmund	
Lextronix Germany: Berlin	
maas funk-elektronik Importeur	
QRP project	
QSL collection; Wien	
Radau Funktechnik; Wittlingen	
Reimesch GmbH; Bergisch Gladbach	
Roleiware	
Rudolf Ille Nachrichtentechnik; Lörrach	
Sander electronIC; Berlin	
Schönherr electronic; Chemnitz	
Segor electronics; Berlin	
SSB Electronic GmbH; Iserlohn	
UKW Berichte Telecommunications	
von der Ley; Kunststoff-Technik	
VTH; Baden-Baden	
WiMo Antennen und Elektronik GmbH:	1322
Herxheim 1311/	1319/1330
Winradio.deYAESU EUROPE B.V.	
TAESU EUKUPE B.V.	2.05



# ANZEIGENSEITE

# ANZEIGENSEITE